J812 V. 40 INDEX 1979 PER

TUTC C. AUG 8 1980 LIBRARY

# JOURNAL de PHYSIQUE

Index Général des
Publications 1979



PUBLICATION DE LA SOCIÉTÉ FRANÇAISE DE PHYSIQUE SUBVENTIONNÉE PAR LE C.N.R.S.



EUROPHYSICS JOURNAL



### JOURNAL DE PHYSIQUE

Tome 40 — 1979

#### PHYSIQUE MATHÉMATIQUE

Constantinescu (D. H.), Michel (L.) and Radicati (L. A.).  — Spontaneous symmetry breaking and bifurcations from the Maclaurin and Jacobi ellipsoids	Michel (L.). — Voir Constantinescu (D. H.)	147 147
MÉCANIOLIE L	YDRODYNAMIQUE	
MECANIQUE, H	IDRODINAVIQUE	
Currie (P. K.). — Apparent viscosity during viscometric flow of nematic liquid crystals	Perio (P.). — Voir Wu (F.).	799
<b>Dubois-Violette (E.) and Rothen (F.).</b> — Non linearities close to the thermal threshold in a planar nematic liquid	Petit (L.) et Guyon (E.). — Sur une nouvelle méthode d'étude de la diffusivité turbulente	1207 1013
crystal	bilities of nematic liquid layers : new theoretical predic-	
sonore soumise à un vent acoustique dans l'air	Wu (F.) et Perio (P.). — La phase en acoustique musicale.	725
Manneville (P.). — Theoretical analysis of Poiseuille flow instabilities in nematics	Zúñiga (I.). — Voir Velarde (M. G.)	799 725
MÉCANIOU	E STATISTIQUE	
Des Cloizeaux (J.) and Mehta (M. L.). — Topological constraints on polymer rings and critical indices 66	I II	
<b>Duarte (J. A. M. S.).</b> — Site and bond percolation distributions: a survey of perimeters for all values of $p \dots 84$ :	hopping to free conduction  Ottavi (H.). — Majorant et minorant du seuil de percolation	225
Iche (G.). — Voir Nozières (P.)	de lien du kagomé	233
Mehta (M. L.). — Voir Des Cloizeaux (J.)		969
All the pure of the control of the pure of	NILCUTATION	
PHYSIQUI	E NUCLÉAIRE	
SELL AND THE PROPERTY OF THE PARTY OF THE PA		
Abragam (A.). — Voir Glättli (H.)		
Bacchella (G. L.). — Voir Glättli (H.). 62 Beaumevieille (H.). — Voir Stoquert (J. P.). 81		629
Beer (H.). — Investigation of the validity of the valence	Guillaume (G.). — Voir Fintz (P.)	511
model for neutron capture in the mass range	Jundt (F.). — Voir Fintz (P.)	511
$40 < A < 70 \dots 33$		629
Bendjaballah (N.). — Voir Stoquert (J. P.)		629
Bertsch (G.) and Schaeffer (R.). — Application of the semi- classical method to polarization	Min (D. P.). — Influence of vibration mode and orientation of deformed nucleus on the deflection function in heavy	
Bruge (G.). — Scattering and reaction cross-sections	ion reactions	431
measured at SPES I		629
Fintz (P.), Riedinger-Ordoñez (I.), Guillaume (G.), Jundt (F.)	Riedinger-Ordonez (I.). — Voir Fintz (P.)	511
et Gallmann (A.). — Vies moyennes de niveaux de	Roubeau (P.). — Voir Glättli (H.)	629
<sup>53</sup> Mn excités par la réaction $^{50}$ Cr( $\alpha$ , $P_{\gamma}$ ) $^{53}$ Mn		1
Fourmond (M.). — Voir Glättli (H.)		813
Gallmann (A.). — Voir Fintz (P.)		
Gerardin (C.). — Voir Stoquert (J. P.)		010
Gizon (A.). — Voir Yoshikawa (N.)		813
Gizon (J.). — Voir Yoshikawa (N.)	Yoshikawa (N.), Gizon (J.) and Gizon (A.). — Investigation of the neutron-deficient isotrope <sup>123</sup> Ba	209

#### PHYSIQUE ATOMIQUE ET MOLÉCULAIRE

Auvert (G.) and Maréchal (Y.) H-bonds of adipic acid			510
		Giacobino (E.). — Voir Biraben (F.)	519
crystals III: measurement of the various anharmonic		Giacobino (E.). — Voir Grynberg (G.)	533
Crystais III . Ineasurement of the various annuments	725	Giacobino (E.), Biraben (F.), De Clercq (E.), Wohrer-	
couplings of the O-H (O-D) stretching bands	735	Giacobino (E.), Biraben (F.), De cierca (E.), Wester	
Bassini (M.) Voir Biraben (F.)	445	Beroff (K.) and Grynberg (G.). — Doppler-free two-	
Beroff (K.). — Voir Biraben (F.)	519	photon spectroscopy of neon — III. Isotopic shift	
Beroff (K.). — Voir Grynberg (G.)	533	and fine structure for the 2p5 4d and 2p5 5s configu-	
		rations	1139
Bigeon (M. C.). — Voir Huet (M.)	541		
Biraben (F.), Bassini (M.) and Cagnac (B.). — Line shapes		Gough (W.). — Voir Evans (W. D.)	961
in Doppler-free two-photon spectroscopy. The effect		Gounand (F.). — Calculation of radial matrix elements and	
	115	radiative lifetimes for highly excited states of alkali	
of finite transit time	445	Tadiative inclines for highly excited states of annual	457
Biraben (F.), Beroff (K.), Grynberg (G.) and Giacobino (E.).		atoms using the Coulomb approximation	
Relaxation of the sodium atom in the 4D level by colli-		Grandin (J. P.). — Voir Husson (X.)	551
sions with noble gases. I. Experimental aspects	519	Grynberg (G.). — Voir Biraben (F.)	519
		Grynberg (G.), Giacobino (E.), Biraben (F.) and Beroff (K.).	
Biraben (F.). — Voir Grynberg (G.)	533		
Biraben (F.). — Voir Giacobino (E.)	1139	Relaxation of the sodium atom in the 4D level by	
Bonamy (J.). — Voir Robert (D.)	923	collisions with noble gases. II. Theoretical aspects	533
	343	Grynberg (G.). — Doppler-free multi-photon excitation:	
Boquillon (JP.). — Voir Moret-Bailly (J.)			657
Borde (Ch. J.). — Voir Druet (S. A. J.)	819	light shift and saturation	037
Bouchiat (C.). — Voir Bouchiat (M. A.)	1127	Grynberg (G.). — Three-photon absorption : selection rules	
Bouchiat (M. A.), Poirier (M.) and Bouchiat (C.). — New		and line intensities	965
		Grynberg (G.). — Voir Giacobino (E.)	1139
possible manifestations of parity violation in forbidden		Grynberg (G.). — von Giacobiilo (E.)	1137
magnetic transitions : chiral absorption of plane		Huet (M.), Kucal (H.), Bigeon (M. C.) et Husson (X.).	
polarized light and circular dichroïsm in crossed trans-		Mesure par interférométrie optique de facteurs de	
verse de electric and magnetic fields	1127		
		Landé du xénon	541
Boulmer (J.). — Voir Devos (F.)	215	Husson (X.). — Voir Huet (M.)	541
Bousquet (C.). — Voir Bras (N.)	945	Husson (X.), Grandin (J. P.) et Kucal (H.). — Mesure de la	. 7
Bras (N.) et Bousquet (C.) Spectre d'absorption de la			
raie 1 849 Å du mercure élargie par effet de pression		structure hyperfine de niveaux 6p, 7p, 4f et 5f du <sup>129</sup> Xe	
		et <sup>131</sup> Xe	551
des divers gaz rares. Détermination des potentiels			
d'interaction Hg-Xe	945	Kaftandjian (V. P.), Talin (B.) and Klein (L.). — Two photon	and the
Cagnac (B.). — Voir Biraben (F.)	445	polarization spectroscopy	1037
		Klein (L.). — Voir Kaftandjian (V. P.)	1037
Chantepie (M.) et Tsika (M.). — Effet Stark des niveaux	1001	Kucal (H.). — Voir Huet (M.)	541
de la configuration 5s 5d du cadmium	1031		
Combet Farnoux (F.). — Voir Lamoureux (M.)	545	Kucal (H.). — Voir Husson (X.)	551
Damany (H.). — Voir Laporte (P.)	9	Lamoureux (M.) and Combet Farnoux (F.) Photo-	
	1139		
De Clercq (E.). — Voir Giacobino (E.)		ionization cross section of the open 3p subshell in	
Delpech (JF.). — Voir Devos (F.)	215	atomic chlorine	545
Denis (A.) et Désesquelles (J.). — Etude par battements		Laporte (P.) and Damany (H.). — High density self-broaden-	
quantiques de l'interaction d'un faisceau d'ions <sup>4</sup> He <sup>+</sup>		ing of the first xenon and krypton resonance line	9
et d'une feuille de carbone	127		
	437	Lattanzi (F.). — Voir Di Lauro (C.)	129
			735
Désesquelles (J.). — Voir Denis (A.)	437	Manachal (V) Vair Assest (C)	/ 3.3
Désesquelles (J.). — Voir Denis (A.)	437	Maréchal (Y.). — Voir Auvert (G.).	
Désesquelles (J.). — Voir Denis (A.)	437	Maréchal (Y.). — Voir Auvert (G.).  Morellec (J.). — Voir Petite (G.).	115
Désesquelles (J.). — Voir Denis (A.)		Morellec (J.). — Voir Petite (G.)	
Désesquelles (J.). — Voir Denis (A.)	215	Moret-Bailly (J.) et Boquillon (JP.). — Variation avec la	
Désesquelles (J.). — Voir Denis (A.)		Moret-Bailly (J.) et Boquillon (JP.). — Variation avec la pression de l'intensité observée en diffusion Raman anti-	115
Désesquelles (J.). — Voir Denis (A.)		Morellec (J.). — Voir Petite (G.).  Moret-Bailly (J.) et Boquillon (JP.). — Variation avec la pression de l'intensité observée en diffusion Raman antistokes cohérente	
Désesquelles (J.). — Voir Denis (A.).  Devos (F.), Boulmer (J.) and Delpech (JF.). — Transitions between Rydberg levels of helium induced by electron and neutral collisions.  Di Lauro (C.) et Lattanzi (F.). — Sur le problème des phases dans le couplage entre le spin électronique et la rotation	215	Morellec (J.). — Voir Petite (G.).  Moret-Bailly (J.) et Boquillon (JP.). — Variation avec la pression de l'intensité observée en diffusion Raman antistokes cohérente	343
Désesquelles (J.). — Voir Denis (A.).  Devos (F.), Boulmer (J.) and Delpech (JF.). — Transitions between Rydberg levels of helium induced by electron and neutral collisions.  Di Lauro (C.) et Lattanzi (F.). — Sur le problème des phases dans le couplage entre le spin électronique et la rotation moléculaire		Morellec (J.). — Voir Petite (G.).  Moret-Bailly (J.) et Boquillon (JP.). — Variation avec la pression de l'intensité observée en diffusion Raman antistokes cohérente  Normand (D.). — Voir Petite (G.).	115
Désesquelles (J.). — Voir Denis (A.).  Devos (F.), Boulmer (J.) and Delpech (JF.). — Transitions between Rydberg levels of helium induced by electron and neutral collisions.  Di Lauro (C.) et Lattanzi (F.). — Sur le problème des phases dans le couplage entre le spin électronique et la rotation moléculaire.  Druet (S. A. J.), Taran (JP. E.) and Borde (Ch. J.). — Line	215	Morellec (J.). — Voir Petite (G.).  Moret-Bailly (J.) et Boquillon (JP.). — Variation avec la pression de l'intensité observée en diffusion Raman antistokes cohérente  Normand (D.). — Voir Petite (G.).  Petite (G.), Morellec (J.) and Normand (D.). — Resonant	343 115
Désesquelles (J.). — Voir Denis (A.).  Devos (F.), Boulmer (J.) and Delpech (JF.). — Transitions between Rydberg levels of helium induced by electron and neutral collisions.  Di Lauro (C.) et Lattanzi (F.). — Sur le problème des phases dans le couplage entre le spin électronique et la rotation moléculaire  Druet (S. A. J.), Taran (JP. E.) and Borde (Ch. J.). — Line shape and Doppler broadening in resonant CARS and	215	Morellec (J.). — Voir Petite (G.).  Moret-Bailly (J.) et Boquillon (JP.). — Variation avec la pression de l'intensité observée en diffusion Raman antistokes cohérente.  Normand (D.). — Voir Petite (G.).  Petite (G.), Morellec (J.) and Normand (D.). — Resonant multiphoton ionization of caesium atoms.	343 115 115
Désesquelles (J.). — Voir Denis (A.).  Devos (F.), Boulmer (J.) and Delpech (JF.). — Transitions between Rydberg levels of helium induced by electron and neutral collisions.  Di Lauro (C.) et Lattanzi (F.). — Sur le problème des phases dans le couplage entre le spin électronique et la rotation moléculaire.  Druet (S. A. J.), Taran (JP. E.) and Borde (Ch. J.). — Line	215	Morellec (J.). — Voir Petite (G.).  Moret-Bailly (J.) et Boquillon (JP.). — Variation avec la pression de l'intensité observée en diffusion Raman antistokes cohérente  Normand (D.). — Voir Petite (G.).  Petite (G.), Morellec (J.) and Normand (D.). — Resonant	343 115
Désesquelles (J.). — Voir Denis (A.).  Devos (F.), Boulmer (J.) and Delpech (JF.). — Transitions between Rydberg levels of helium induced by electron and neutral collisions.  Di Lauro (C.) et Lattanzi (F.). — Sur le problème des phases dans le couplage entre le spin électronique et la rotation moléculaire.  Druet (S. A. J.), Taran (JP. E.) and Borde (Ch. J.). — Line shape and Doppler broadening in resonant CARS and related nonlinear processes through a diagrammatic	215 129	Morellec (J.). — Voir Petite (G.).  Moret-Bailly (J.) et Boquillon (JP.). — Variation avec la pression de l'intensité observée en diffusion Raman antistokes cohérente.  Normand (D.). — Voir Petite (G.).  Petite (G.), Morellec (J.) and Normand (D.). — Resonant multiphoton ionization of caesium atoms.  Poirier (M.). — Voir Bouchiat (M. A.).	343 115 115
Désesquelles (J.). — Voir Denis (A.)  Devos (F.), Boulmer (J.) and Delpech (JF.). — Transitions between Rydberg levels of helium induced by electron and neutral collisions.  Di Lauro (C.) et Lattanzi (F.). — Sur le problème des phases dans le couplage entre le spin électronique et la rotation moléculaire  Druet (S. A. J.), Taran (JP. E.) and Borde (Ch. J.). — Line shape and Doppler broadening in resonant CARS and related nonlinear processes through a diagrammatic approach	215	Morellec (J.). — Voir Petite (G.).  Moret-Bailly (J.) et Boquillon (JP.). — Variation avec la pression de l'intensité observée en diffusion Raman antistokes cohérente.  Normand (D.). — Voir Petite (G.).  Petite (G.), Morellec (J.) and Normand (D.). — Resonant multiphoton ionization of caesium atoms.  Poirier (M.). — Voir Bouchiat (M. A.).  Robert (D.) and Bonamy (J.). — Short range force effects	343 115 115 1127
Désesquelles (J.). — Voir Denis (A.)  Devos (F.), Boulmer (J.) and Delpech (JF.). — Transitions between Rydberg levels of helium induced by electron and neutral collisions.  Di Lauro (C.) et Lattanzi (F.). — Sur le problème des phases dans le couplage entre le spin électronique et la rotation moléculaire  Druet (S. A. J.), Taran (JP. E.) and Borde (Ch. J.). — Line shape and Doppler broadening in resonant CARS and related nonlinear processes through a diagrammatic approach  Easa (S. I.) and Shukla (G. C.). — Static multipole polariza-	215 129	Morellec (J.). — Voir Petite (G.).  Moret-Bailly (J.) et Boquillon (JP.). — Variation avec la pression de l'intensité observée en diffusion Raman antistokes cohérente.  Normand (D.). — Voir Petite (G.).  Petite (G.), Morellec (J.) and Normand (D.). — Resonant multiphoton ionization of caesium atoms.  Poirier (M.). — Voir Bouchiat (M. A.).  Robert (D.) and Bonamy (J.). — Short range force effects in semiclassical molecular line broadening calculations	343 115 115
Désesquelles (J.). — Voir Denis (A.)  Devos (F.), Boulmer (J.) and Delpech (JF.). — Transitions between Rydberg levels of helium induced by electron and neutral collisions.  Di Lauro (C.) et Lattanzi (F.). — Sur le problème des phases dans le couplage entre le spin électronique et la rotation moléculaire  Druet (S. A. J.), Taran (JP. E.) and Borde (Ch. J.). — Line shape and Doppler broadening in resonant CARS and related nonlinear processes through a diagrammatic approach  Easa (S. I.) and Shukla (G. C.). — Static multipole polarizabilities of S atoms or ions using the frozen-core approxi-	215 129	Morellec (J.). — Voir Petite (G.).  Moret-Bailly (J.) et Boquillon (JP.). — Variation avec la pression de l'intensité observée en diffusion Raman antistokes cohérente.  Normand (D.). — Voir Petite (G.).  Petite (G.), Morellec (J.) and Normand (D.). — Resonant multiphoton ionization of caesium atoms.  Poirier (M.). — Voir Bouchiat (M. A.).  Robert (D.) and Bonamy (J.). — Short range force effects in semiclassical molecular line broadening calculations	343 115 115 1127 923
Désesquelles (J.). — Voir Denis (A.)  Devos (F.), Boulmer (J.) and Delpech (JF.). — Transitions between Rydberg levels of helium induced by electron and neutral collisions.  Di Lauro (C.) et Lattanzi (F.). — Sur le problème des phases dans le couplage entre le spin électronique et la rotation moléculaire  Druet (S. A. J.), Taran (JP. E.) and Borde (Ch. J.). — Line shape and Doppler broadening in resonant CARS and related nonlinear processes through a diagrammatic approach  Easa (S. I.) and Shukla (G. C.). — Static multipole polarizabilities of S atoms or ions using the frozen-core approxi-	215 129 819	Morellec (J.). — Voir Petite (G.).  Moret-Bailly (J.) et Boquillon (JP.). — Variation avec la pression de l'intensité observée en diffusion Raman antistokes cohérente.  Normand (D.). — Voir Petite (G.).  Petite (G.), Morellec (J.) and Normand (D.). — Resonant multiphoton ionization of caesium atoms.  Poirier (M.). — Voir Bouchiat (M. A.).  Robert (D.) and Bonamy (J.). — Short range force effects in semiclassical molecular line broadening calculations Shukla (G. C.). — Voir Easa (S. I.)	343 115 115 1127 923 137
Désesquelles (J.). — Voir Denis (A.)  Devos (F.), Boulmer (J.) and Delpech (JF.). — Transitions between Rydberg levels of helium induced by electron and neutral collisions.  Di Lauro (C.) et Lattanzi (F.). — Sur le problème des phases dans le couplage entre le spin électronique et la rotation moléculaire  Druet (S. A. J.), Taran (JP. E.) and Borde (Ch. J.). — Line shape and Doppler broadening in resonant CARS and related nonlinear processes through a diagrammatic approach  Easa (S. I.) and Shukla (G. C.). — Static multipole polarizabilities of S atoms or ions using the frozen-core approximation	215 129	Morellec (J.). — Voir Petite (G.).  Moret-Bailly (J.) et Boquillon (JP.). — Variation avec la pression de l'intensité observée en diffusion Raman antistokes cohérente.  Normand (D.). — Voir Petite (G.).  Petite (G.), Morellec (J.) and Normand (D.). — Resonant multiphoton ionization of caesium atoms.  Poirier (M.). — Voir Bouchiat (M. A.).  Robert (D.) and Bonamy (J.). — Short range force effects in semiclassical molecular line broadening calculations Shukla (G. C.). — Voir Easa (S. I.).  Talin (B.). — Voir Kaftandjian (V. P.).	343 115 115 1127 923 137 1037
Désesquelles (J.). — Voir Denis (A.)  Devos (F.), Boulmer (J.) and Delpech (JF.). — Transitions between Rydberg levels of helium induced by electron and neutral collisions.  Di Lauro (C.) et Lattanzi (F.). — Sur le problème des phases dans le couplage entre le spin électronique et la rotation moléculaire  Druet (S. A. J.), Taran (JP. E.) and Borde (Ch. J.). — Line shape and Doppler broadening in resonant CARS and related nonlinear processes through a diagrammatic approach  Easa (S. I.) and Shukla (G. C.). — Static multipole polarizabilities of S atoms or ions using the frozen-core approximation  Evans (W. D.) and Gough (W.). — Observation of modulation	215 129 819	Morellec (J.). — Voir Petite (G.).  Moret-Bailly (J.) et Boquillon (JP.). — Variation avec la pression de l'intensité observée en diffusion Raman antistokes cohérente.  Normand (D.). — Voir Petite (G.).  Petite (G.), Morellec (J.) and Normand (D.). — Resonant multiphoton ionization of caesium atoms.  Poirier (M.). — Voir Bouchiat (M. A.).  Robert (D.) and Bonamy (J.). — Short range force effects in semiclassical molecular line broadening calculations Shukla (G. C.). — Voir Easa (S. I.).  Talin (B.). — Voir Kaftandjian (V. P.).  Taran (JP. E.). — Voir Druet (S. A. J.).	343 115 115 1127 923 137
Désesquelles (J.). — Voir Denis (A.)  Devos (F.), Boulmer (J.) and Delpech (JF.). — Transitions between Rydberg levels of helium induced by electron and neutral collisions.  Di Lauro (C.) et Lattanzi (F.). — Sur le problème des phases dans le couplage entre le spin électronique et la rotation moléculaire  Druet (S. A. J.), Taran (JP. E.) and Borde (Ch. J.). — Line shape and Doppler broadening in resonant CARS and related nonlinear processes through a diagrammatic approach  Easa (S. I.) and Shukla (G. C.). — Static multipole polarizabilities of S atoms or ions using the frozen-core approximation  Evans (W. D.) and Gough (W.). — Observation of modulation in the transfer of orientation by collisions of the second	215 129 819	Morellec (J.). — Voir Petite (G.).  Moret-Bailly (J.) et Boquillon (JP.). — Variation avec la pression de l'intensité observée en diffusion Raman antistokes cohérente.  Normand (D.). — Voir Petite (G.).  Petite (G.), Morellec (J.) and Normand (D.). — Resonant multiphoton ionization of caesium atoms.  Poirier (M.). — Voir Bouchiat (M. A.).  Robert (D.) and Bonamy (J.). — Short range force effects in semiclassical molecular line broadening calculations Shukla (G. C.). — Voir Easa (S. I.).  Talin (B.). — Voir Kaftandjian (V. P.).  Taran (JP. E.). — Voir Druet (S. A. J.).  Tsika (M.). — Voir Chantepie (M.).	343 115 115 1127 923 137 1037
Désesquelles (J.). — Voir Denis (A.)  Devos (F.), Boulmer (J.) and Delpech (JF.). — Transitions between Rydberg levels of helium induced by electron and neutral collisions.  Di Lauro (C.) et Lattanzi (F.). — Sur le problème des phases dans le couplage entre le spin électronique et la rotation moléculaire  Druet (S. A. J.), Taran (JP. E.) and Borde (Ch. J.). — Line shape and Doppler broadening in resonant CARS and related nonlinear processes through a diagrammatic approach  Easa (S. I.) and Shukla (G. C.). — Static multipole polarizabilities of S atoms or ions using the frozen-core approximation  Evans (W. D.) and Gough (W.). — Observation of modulation	215 129 819	Morellec (J.). — Voir Petite (G.).  Moret-Bailly (J.) et Boquillon (JP.). — Variation avec la pression de l'intensité observée en diffusion Raman antistokes cohérente.  Normand (D.). — Voir Petite (G.).  Petite (G.), Morellec (J.) and Normand (D.). — Resonant multiphoton ionization of caesium atoms.  Poirier (M.). — Voir Bouchiat (M. A.).  Robert (D.) and Bonamy (J.). — Short range force effects in semiclassical molecular line broadening calculations Shukla (G. C.). — Voir Easa (S. I.).  Talin (B.). — Voir Kaftandjian (V. P.).  Taran (JP. E.). — Voir Druet (S. A. J.).  Tsika (M.). — Voir Chantepie (M.).	343 115 115 1127 923 137 1037 819 1031
Désesquelles (J.). — Voir Denis (A.)  Devos (F.), Boulmer (J.) and Delpech (JF.). — Transitions between Rydberg levels of helium induced by electron and neutral collisions.  Di Lauro (C.) et Lattanzi (F.). — Sur le problème des phases dans le couplage entre le spin électronique et la rotation moléculaire  Druet (S. A. J.), Taran (JP. E.) and Borde (Ch. J.). — Line shape and Doppler broadening in resonant CARS and related nonlinear processes through a diagrammatic approach  Easa (S. I.) and Shukla (G. C.). — Static multipole polarizabilities of S atoms or ions using the frozen-core approximation  Evans (W. D.) and Gough (W.). — Observation of modulation in the transfer of orientation by collisions of the second	215 129 819 137	Morellec (J.). — Voir Petite (G.).  Moret-Bailly (J.) et Boquillon (JP.). — Variation avec la pression de l'intensité observée en diffusion Raman antistokes cohérente.  Normand (D.). — Voir Petite (G.).  Petite (G.), Morellec (J.) and Normand (D.). — Resonant multiphoton ionization of caesium atoms.  Poirier (M.). — Voir Bouchiat (M. A.).  Robert (D.) and Bonamy (J.). — Short range force effects in semiclassical molecular line broadening calculations Shukla (G. C.). — Voir Easa (S. I.).  Talin (B.). — Voir Kaftandjian (V. P.).  Taran (JP. E.). — Voir Druet (S. A. J.).	343 115 115 1127 923 137 1037 819
Désesquelles (J.). — Voir Denis (A.)  Devos (F.), Boulmer (J.) and Delpech (JF.). — Transitions between Rydberg levels of helium induced by electron and neutral collisions.  Di Lauro (C.) et Lattanzi (F.). — Sur le problème des phases dans le couplage entre le spin électronique et la rotation moléculaire  Druet (S. A. J.), Taran (JP. E.) and Borde (Ch. J.). — Line shape and Doppler broadening in resonant CARS and related nonlinear processes through a diagrammatic approach  Easa (S. I.) and Shukla (G. C.). — Static multipole polarizabilities of S atoms or ions using the frozen-core approximation  Evans (W. D.) and Gough (W.). — Observation of modulation in the transfer of orientation by collisions of the second	215 129 819 137	Morellec (J.). — Voir Petite (G.).  Moret-Bailly (J.) et Boquillon (JP.). — Variation avec la pression de l'intensité observée en diffusion Raman antistokes cohérente.  Normand (D.). — Voir Petite (G.).  Petite (G.), Morellec (J.) and Normand (D.). — Resonant multiphoton ionization of caesium atoms.  Poirier (M.). — Voir Bouchiat (M. A.).  Robert (D.) and Bonamy (J.). — Short range force effects in semiclassical molecular line broadening calculations Shukla (G. C.). — Voir Easa (S. I.).  Talin (B.). — Voir Kaftandjian (V. P.).  Taran (JP. E.). — Voir Druet (S. A. J.).  Tsika (M.). — Voir Chantepie (M.).	343 115 115 1127 923 137 1037 819 1031
Désesquelles (J.). — Voir Denis (A.)  Devos (F.), Boulmer (J.) and Delpech (JF.). — Transitions between Rydberg levels of helium induced by electron and neutral collisions.  Di Lauro (C.) et Lattanzi (F.). — Sur le problème des phases dans le couplage entre le spin électronique et la rotation moléculaire  Druet (S. A. J.), Taran (JP. E.) and Borde (Ch. J.). — Line shape and Doppler broadening in resonant CARS and related nonlinear processes through a diagrammatic approach  Easa (S. I.) and Shukla (G. C.). — Static multipole polarizabilities of S atoms or ions using the frozen-core approximation  Evans (W. D.) and Gough (W.). — Observation of modulation in the transfer of orientation by collisions of the second kind	215 129 819 137 961	Morellec (J.). — Voir Petite (G.).  Moret-Bailly (J.) et Boquillon (JP.). — Variation avec la pression de l'intensité observée en diffusion Raman antistokes cohérente.  Normand (D.). — Voir Petite (G.).  Petite (G.), Morellec (J.) and Normand (D.). — Resonant multiphoton ionization of caesium atoms.  Poirier (M.). — Voir Bouchiat (M. A.).  Robert (D.) and Bonamy (J.). — Short range force effects in semiclassical molecular line broadening calculations Shukla (G. C.). — Voir Easa (S. I.).  Talin (B.). — Voir Kaftandjian (V. P.).  Taran (JP. E.). — Voir Druet (S. A. J.).  Tsika (M.). — Voir Chantepie (M.).  Wohrer-Beroff (K.). — Voir Giacobino (E.).	343 115 115 1127 923 137 1037 819 1031
Désesquelles (J.). — Voir Denis (A.)  Devos (F.), Boulmer (J.) and Delpech (JF.). — Transitions between Rydberg levels of helium induced by electron and neutral collisions.  Di Lauro (C.) et Lattanzi (F.). — Sur le problème des phases dans le couplage entre le spin électronique et la rotation moléculaire  Druet (S. A. J.), Taran (JP. E.) and Borde (Ch. J.). — Line shape and Doppler broadening in resonant CARS and related nonlinear processes through a diagrammatic approach  Easa (S. I.) and Shukla (G. C.). — Static multipole polarizabilities of S atoms or ions using the frozen-core approximation  Evans (W. D.) and Gough (W.). — Observation of modulation in the transfer of orientation by collisions of the second kind	215 129 819 137 961	Morellec (J.). — Voir Petite (G.).  Moret-Bailly (J.) et Boquillon (JP.). — Variation avec la pression de l'intensité observée en diffusion Raman antistokes cohérente.  Normand (D.). — Voir Petite (G.).  Petite (G.), Morellec (J.) and Normand (D.). — Resonant multiphoton ionization of caesium atoms.  Poirier (M.). — Voir Bouchiat (M. A.).  Robert (D.) and Bonamy (J.). — Short range force effects in semiclassical molecular line broadening calculations Shukla (G. C.). — Voir Easa (S. I.).  Talin (B.). — Voir Kaftandjian (V. P.).  Taran (JP. E.). — Voir Druet (S. A. J.).  Tsika (M.). — Voir Chantepie (M.).  Wohrer-Beroff (K.). — Voir Giacobino (E.).	343 115 115 1127 923 137 1037 819 1031
Désesquelles (J.). — Voir Denis (A.)  Devos (F.), Boulmer (J.) and Delpech (JF.). — Transitions between Rydberg levels of helium induced by electron and neutral collisions.  Di Lauro (C.) et Lattanzi (F.). — Sur le problème des phases dans le couplage entre le spin électronique et la rotation moléculaire  Druet (S. A. J.), Taran (JP. E.) and Borde (Ch. J.). — Line shape and Doppler broadening in resonant CARS and related nonlinear processes through a diagrammatic approach  Easa (S. I.) and Shukla (G. C.). — Static multipole polarizabilities of S atoms or ions using the frozen-core approximation  Evans (W. D.) and Gough (W.). — Observation of modulation in the transfer of orientation by collisions of the second kind	215 129 819 137 961	Morellec (J.). — Voir Petite (G.).  Moret-Bailly (J.) et Boquillon (JP.). — Variation avec la pression de l'intensité observée en diffusion Raman antistokes cohérente.  Normand (D.). — Voir Petite (G.).  Petite (G.), Morellec (J.) and Normand (D.). — Resonant multiphoton ionization of caesium atoms.  Poirier (M.). — Voir Bouchiat (M. A.).  Robert (D.) and Bonamy (J.). — Short range force effects in semiclassical molecular line broadening calculations Shukla (G. C.). — Voir Easa (S. I.).  Talin (B.). — Voir Kaftandjian (V. P.).  Taran (JP. E.). — Voir Druet (S. A. J.).  Tsika (M.). — Voir Chantepie (M.).	343 115 115 1127 923 137 1037 819 1031
Désesquelles (J.). — Voir Denis (A.)  Devos (F.), Boulmer (J.) and Delpech (JF.). — Transitions between Rydberg levels of helium induced by electron and neutral collisions.  Di Lauro (C.) et Lattanzi (F.). — Sur le problème des phases dans le couplage entre le spin électronique et la rotation moléculaire  Druet (S. A. J.), Taran (JP. E.) and Borde (Ch. J.). — Line shape and Doppler broadening in resonant CARS and related nonlinear processes through a diagrammatic approach  Easa (S. I.) and Shukla (G. C.). — Static multipole polarizabilities of S atoms or ions using the frozen-core approximation  Evans (W. D.) and Gough (W.). — Observation of modulation in the transfer of orientation by collisions of the second kind	215 129 819 137 961	Morellec (J.). — Voir Petite (G.).  Moret-Bailly (J.) et Boquillon (JP.). — Variation avec la pression de l'intensité observée en diffusion Raman antistokes cohérente.  Normand (D.). — Voir Petite (G.).  Petite (G.), Morellec (J.) and Normand (D.). — Resonant multiphoton ionization of caesium atoms.  Poirier (M.). — Voir Bouchiat (M. A.).  Robert (D.) and Bonamy (J.). — Short range force effects in semiclassical molecular line broadening calculations Shukla (G. C.). — Voir Easa (S. I.).  Talin (B.). — Voir Kaftandjian (V. P.).  Taran (JP. E.). — Voir Druet (S. A. J.).  Tsika (M.). — Voir Chantepie (M.).  Wohrer-Beroff (K.). — Voir Giacobino (E.).	343 115 115 1127 923 137 1037 819 1031
Désesquelles (J.). — Voir Denis (A.)  Devos (F.), Boulmer (J.) and Delpech (JF.). — Transitions between Rydberg levels of helium induced by electron and neutral collisions.  Di Lauro (C.) et Lattanzi (F.). — Sur le problème des phases dans le couplage entre le spin électronique et la rotation moléculaire  Druet (S. A. J.), Taran (JP. E.) and Borde (Ch. J.). — Line shape and Doppler broadening in resonant CARS and related nonlinear processes through a diagrammatic approach  Easa (S. I.) and Shukla (G. C.). — Static multipole polarizabilities of S atoms or ions using the frozen-core approximation  Evans (W. D.) and Gough (W.). — Observation of modulation in the transfer of orientation by collisions of the second kind  PHYSIQI  Bliman (S.), Dousson (S.), Geller (R.), Jacquot (B.), Jac-	215 129 819 137 961	Morellec (J.). — Voir Petite (G.).  Moret-Bailly (J.) et Boquillon (JP.). — Variation avec la pression de l'intensité observée en diffusion Raman antistokes cohérente.  Normand (D.). — Voir Petite (G.).  Petite (G.), Morellec (J.) and Normand (D.). — Resonant multiphoton ionization of caesium atoms.  Poirier (M.). — Voir Bouchiat (M. A.).  Robert (D.) and Bonamy (J.). — Short range force effects in semiclassical molecular line broadening calculations Shukla (G. C.). — Voir Easa (S. I.)  Talin (B.). — Voir Kaftandjian (V. P.).  Taran (JP. E.). — Voir Druet (S. A. J.).  Tsika (M.). — Voir Chantepie (M.).  Wohrer-Beroff (K.). — Voir Giacobino (E.).	343 115 115 1127 923 137 1037 819 1031 1139
Désesquelles (J.). — Voir Denis (A.)  Devos (F.), Boulmer (J.) and Delpech (JF.). — Transitions between Rydberg levels of helium induced by electron and neutral collisions.  Di Lauro (C.) et Lattanzi (F.). — Sur le problème des phases dans le couplage entre le spin électronique et la rotation moléculaire  Druet (S. A. J.), Taran (JP. E.) and Borde (Ch. J.). — Line shape and Doppler broadening in resonant CARS and related nonlinear processes through a diagrammatic approach  Easa (S. I.) and Shukla (G. C.). — Static multipole polarizabilities of S atoms or ions using the frozen-core approximation  Evans (W. D.) and Gough (W.). — Observation of modulation in the transfer of orientation by collisions of the second kind  PHYSIQI  Bliman (S.), Dousson (S.), Geller (R.), Jacquot (B.), Jac-	215 129 819 137 961	Morellec (J.). — Voir Petite (G.).  Moret-Bailly (J.) et Boquillon (JP.). — Variation avec la pression de l'intensité observée en diffusion Raman antistokes cohérente.  Normand (D.). — Voir Petite (G.).  Petite (G.), Morellec (J.) and Normand (D.). — Resonant multiphoton ionization of caesium atoms.  Poirier (M.). — Voir Bouchiat (M. A.).  Robert (D.) and Bonamy (J.). — Short range force effects in semiclassical molecular line broadening calculations Shukla (G. C.). — Voir Easa (S. I.)  Talin (B.). — Voir Kaftandjian (V. P.).  Taran (JP. E.). — Voir Druet (S. A. J.).  Tsika (M.). — Voir Chantepie (M.).  Wohrer-Beroff (K.). — Voir Giacobino (E.).	343 115 115 1127 923 137 1037 819 1031 1139
Désesquelles (J.). — Voir Denis (A.)  Devos (F.), Boulmer (J.) and Delpech (JF.). — Transitions between Rydberg levels of helium induced by electron and neutral collisions.  Di Lauro (C.) et Lattanzi (F.). — Sur le problème des phases dans le couplage entre le spin électronique et la rotation moléculaire  Druet (S. A. J.), Taran (JP. E.) and Borde (Ch. J.). — Line shape and Doppler broadening in resonant CARS and related nonlinear processes through a diagrammatic approach  Easa (S. I.) and Shukla (G. C.). — Static multipole polarizabilities of S atoms or ions using the frozen-core approximation  Evans (W. D.) and Gough (W.). — Observation of modulation in the transfer of orientation by collisions of the second kind  PHYSIQI  Bliman (S.), Dousson (S.), Geller (R.), Jacquot (B.), Jacquot (C.) et Tsekeris (J.). — Etude expérimentale de la	215 129 819 137 961	Morellec (J.). — Voir Petite (G.).  Moret-Bailly (J.) et Boquillon (JP.). — Variation avec la pression de l'intensité observée en diffusion Raman antistokes cohérente.  Normand (D.). — Voir Petite (G.).  Petite (G.), Morellec (J.) and Normand (D.). — Resonant multiphoton ionization of caesium atoms.  Poirier (M.). — Voir Bouchiat (M. A.).  Robert (D.) and Bonamy (J.). — Short range force effects in semiclassical molecular line broadening calculations Shukla (G. C.). — Voir Easa (S. I.)  Talin (B.). — Voir Kaftandjian (V. P.).  Taran (JP. E.). — Voir Druet (S. A. J.).  Tsika (M.). — Voir Chantepie (M.).  Wohrer-Beroff (K.). — Voir Giacobino (E.).  ES PLASMAS  Terrier (M.). — Voir Vervish (P.).  Tsekeris (J.). — Voir Bliman (S.).	343 115 115 1127 923 137 1037 819 1031 1139
Désesquelles (J.). — Voir Denis (A.)  Devos (F.), Boulmer (J.) and Delpech (JF.). — Transitions between Rydberg levels of helium induced by electron and neutral collisions.  Di Lauro (C.) et Lattanzi (F.). — Sur le problème des phases dans le couplage entre le spin électronique et la rotation moléculaire  Druet (S. A. J.), Taran (JP. E.) and Borde (Ch. J.). — Line shape and Doppler broadening in resonant CARS and related nonlinear processes through a diagrammatic approach  Easa (S. I.) and Shukla (G. C.). — Static multipole polarizabilities of S atoms or ions using the frozen-core approximation  Evans (W. D.) and Gough (W.). — Observation of modulation in the transfer of orientation by collisions of the second kind  PHYSIQI  Bliman (S.), Dousson (S.), Geller (R.), Jacquot (B.), Jacquot (C.) et Tsekeris (J.). — Etude expérimentale de la production de deutérons négatifs par double échange de	215 129 819 137 961 UE DI	Morellec (J.). — Voir Petite (G.).  Moret-Bailly (J.) et Boquillon (JP.). — Variation avec la pression de l'intensité observée en diffusion Raman antistokes cohérente.  Normand (D.). — Voir Petite (G.).  Petite (G.), Morellec (J.) and Normand (D.). — Resonant multiphoton ionization of caesium atoms.  Poirier (M.). — Voir Bouchiat (M. A.).  Robert (D.) and Bonamy (J.). — Short range force effects in semiclassical molecular line broadening calculations Shukla (G. C.). — Voir Easa (S. I.).  Talin (B.). — Voir Kaftandjian (V. P.).  Taran (JP. E.). — Voir Druet (S. A. J.).  Tsika (M.). — Voir Chantepie (M.).  Wohrer-Beroff (K.). — Voir Giacobino (E.).  ES PLASMAS  Terrier (M.). — Voir Vervish (P.).  Tsekeris (J.). — Voir Bliman (S.).  Valentin (P.). — Voir Vervish (P.).	343 115 115 1127 923 137 1037 819 1031 1139
Désesquelles (J.). — Voir Denis (A.)  Devos (F.), Boulmer (J.) and Delpech (JF.). — Transitions between Rydberg levels of helium induced by electron and neutral collisions.  Di Lauro (C.) et Lattanzi (F.). — Sur le problème des phases dans le couplage entre le spin électronique et la rotation moléculaire  Druet (S. A. J.), Taran (JP. E.) and Borde (Ch. J.). — Line shape and Doppler broadening in resonant CARS and related nonlinear processes through a diagrammatic approach  Easa (S. I.) and Shukla (G. C.). — Static multipole polarizabilities of S atoms or ions using the frozen-core approximation  Evans (W. D.) and Gough (W.). — Observation of modulation in the transfer of orientation by collisions of the second kind  PHYSIQI  Bliman (S.), Dousson (S.), Geller (R.), Jacquot (B.), Jacquot (C.) et Tsekeris (J.). — Etude expérimentale de la production de deutérons négatifs par double échange de charges dans le xénon	215 129 819 137 961	Morellec (J.). — Voir Petite (G.).  Moret-Bailly (J.) et Boquillon (JP.). — Variation avec la pression de l'intensité observée en diffusion Raman antistokes cohérente.  Normand (D.). — Voir Petite (G.).  Petite (G.), Morellec (J.) and Normand (D.). — Resonant multiphoton ionization of caesium atoms.  Poirier (M.). — Voir Bouchiat (M. A.).  Robert (D.) and Bonamy (J.). — Short range force effects in semiclassical molecular line broadening calculations Shukla (G. C.). — Voir Easa (S. I.).  Talin (B.). — Voir Kaftandjian (V. P.).  Taran (JP. E.). — Voir Druet (S. A. J.).  Tsika (M.). — Voir Chantepie (M.).  Wohrer-Beroff (K.). — Voir Giacobino (E.).  ES PLASMAS  Terrier (M.). — Voir Vervish (P.).  Tsekeris (J.). — Voir Bliman (S.).  Valentin (P.). — Voir Vervish (P.).	343 115 115 1127 923 137 1037 819 1031 1139
Désesquelles (J.). — Voir Denis (A.)  Devos (F.), Boulmer (J.) and Delpech (JF.). — Transitions between Rydberg levels of helium induced by electron and neutral collisions.  Di Lauro (C.) et Lattanzi (F.). — Sur le problème des phases dans le couplage entre le spin électronique et la rotation moléculaire  Druet (S. A. J.), Taran (JP. E.) and Borde (Ch. J.). — Line shape and Doppler broadening in resonant CARS and related nonlinear processes through a diagrammatic approach  Easa (S. I.) and Shukla (G. C.). — Static multipole polarizabilities of S atoms or ions using the frozen-core approximation  Evans (W. D.) and Gough (W.). — Observation of modulation in the transfer of orientation by collisions of the second kind  PHYSIQ  Bliman (S.), Dousson (S.), Geller (R.), Jacquot (B.), Jacquot (C.) et Tsekeris (J.). — Etude expérimentale de la production de deutérons négatifs par double échange de charges dans le xénon  Dousson (S.). — Voir Bliman (S.).	215 129 819 137 961 UE D	Morellec (J.). — Voir Petite (G.).  Moret-Bailly (J.) et Boquillon (JP.). — Variation avec la pression de l'intensité observée en diffusion Raman antistokes cohérente.  Normand (D.). — Voir Petite (G.).  Petite (G.), Morellec (J.) and Normand (D.). — Resonant multiphoton ionization of caesium atoms.  Poirier (M.). — Voir Bouchiat (M. A.).  Robert (D.) and Bonamy (J.). — Short range force effects in semiclassical molecular line broadening calculations Shukla (G. C.). — Voir Easa (S. I.).  Talin (B.). — Voir Kaftandjian (V. P.).  Taran (JP. E.). — Voir Druet (S. A. J.).  Tsika (M.). — Voir Chantepie (M.).  Wohrer-Beroff (K.). — Voir Giacobino (E.).  ES PLASMAS  Terrier (M.). — Voir Vervish (P.).  Tsekeris (J.). — Voir Vervish (P.).  Valentin (P.). — Voir Vervish (P.).  Vervisch (P.), Terrier (M.) et Valentin (P.). — Influence du	343 115 115 1127 923 137 1037 819 1031 1139
Désesquelles (J.). — Voir Denis (A.)  Devos (F.), Boulmer (J.) and Delpech (JF.). — Transitions between Rydberg levels of helium induced by electron and neutral collisions.  Di Lauro (C.) et Lattanzi (F.). — Sur le problème des phases dans le couplage entre le spin électronique et la rotation moléculaire  Druet (S. A. J.), Taran (JP. E.) and Borde (Ch. J.). — Line shape and Doppler broadening in resonant CARS and related nonlinear processes through a diagrammatic approach  Easa (S. I.) and Shukla (G. C.). — Static multipole polarizabilities of S atoms or ions using the frozen-core approximation  Evans (W. D.) and Gough (W.). — Observation of modulation in the transfer of orientation by collisions of the second kind  PHYSIQ  Bliman (S.), Dousson (S.), Geller (R.), Jacquot (B.), Jacquot (C.) et Tsekeris (J.). — Etude expérimentale de la production de deutérons négatifs par double échange de charges dans le xénon  Dousson (S.). — Voir Bliman (S.).	215 129 819 137 961 UE DI	Morellec (J.). — Voir Petite (G.).  Moret-Bailly (J.) et Boquillon (JP.). — Variation avec la pression de l'intensité observée en diffusion Raman antistokes cohérente.  Normand (D.). — Voir Petite (G.).  Petite (G.), Morellec (J.) and Normand (D.). — Resonant multiphoton ionization of caesium atoms.  Poirier (M.). — Voir Bouchiat (M. A.).  Robert (D.) and Bonamy (J.). — Short range force effects in semiclassical molecular line broadening calculations Shukla (G. C.). — Voir Easa (S. I.).  Talin (B.). — Voir Kaftandjian (V. P.).  Taran (JP. E.). — Voir Druet (S. A. J.).  Tsika (M.). — Voir Chantepie (M.).  Wohrer-Beroff (K.). — Voir Giacobino (E.).  ES PLASMAS  Terrier (M.). — Voir Vervish (P.).  Tsekeris (J.). — Voir Vervish (P.).  Valentin (P.). — Voir Vervish (P.).  Vervisch (P.), Terrier (M.) et Valentin (P.). — Influence du rayonnement de résonance sur l'émission électronique	343 115 115 1127 923 137 1037 819 1031 1139
Désesquelles (J.). — Voir Denis (A.)  Devos (F.), Boulmer (J.) and Delpech (JF.). — Transitions between Rydberg levels of helium induced by electron and neutral collisions.  Di Lauro (C.) et Lattanzi (F.). — Sur le problème des phases dans le couplage entre le spin électronique et la rotation moléculaire  Druet (S. A. J.), Taran (JP. E.) and Borde (Ch. J.). — Line shape and Doppler broadening in resonant CARS and related nonlinear processes through a diagrammatic approach  Easa (S. I.) and Shukla (G. C.). — Static multipole polarizabilities of S atoms or ions using the frozen-core approximation  Evans (W. D.) and Gough (W.). — Observation of modulation in the transfer of orientation by collisions of the second kind  PHYSIQI  Bliman (S.), Dousson (S.), Geller (R.), Jacquot (B.), Jacquot (C.) et Tsekeris (J.). — Etude expérimentale de la production de deutérons négatifs par double échange de charges dans le xénon  Dousson (S.). — Voir Bliman (S.).  Geller (R.). — Voir Bliman (S.).	215 129 819 137 961 UE DI	Morellec (J.). — Voir Petite (G.).  Moret-Bailly (J.) et Boquillon (JP.). — Variation avec la pression de l'intensité observée en diffusion Raman antistokes cohérente.  Normand (D.). — Voir Petite (G.).  Petite (G.), Morellec (J.) and Normand (D.). — Resonant multiphoton ionization of caesium atoms.  Poirier (M.). — Voir Bouchiat (M. A.).  Robert (D.) and Bonamy (J.). — Short range force effects in semiclassical molecular line broadening calculations Shukla (G. C.). — Voir Easa (S. I.).  Talin (B.). — Voir Kaftandjian (V. P.).  Taran (JP. E.). — Voir Druet (S. A. J.).  Tsika (M.). — Voir Chantepie (M.).  Wohrer-Beroff (K.). — Voir Giacobino (E.).  ES PLASMAS  Terrier (M.). — Voir Vervish (P.).  Tsekeris (J.). — Voir Bliman (S.).  Valentin (P.). — Voir Vervish (P.).  Vervisch (P.), Terrier (M.) et Valentin (P.). — Influence du rayonnement de résonance sur l'émission électronique de la paroi dans une couche limite de plasma d'argon	343 115 115 1127 923 137 1037 819 1031 1139
Désesquelles (J.). — Voir Denis (A.)  Devos (F.), Boulmer (J.) and Delpech (JF.). — Transitions between Rydberg levels of helium induced by electron and neutral collisions.  Di Lauro (C.) et Lattanzi (F.). — Sur le problème des phases dans le couplage entre le spin électronique et la rotation moléculaire  Druet (S. A. J.), Taran (JP. E.) and Borde (Ch. J.). — Line shape and Doppler broadening in resonant CARS and related nonlinear processes through a diagrammatic approach  Easa (S. I.) and Shukla (G. C.). — Static multipole polarizabilities of S atoms or ions using the frozen-core approximation  Evans (W. D.) and Gough (W.). — Observation of modulation in the transfer of orientation by collisions of the second kind  PHYSIQ  Bliman (S.), Dousson (S.), Geller (R.), Jacquot (B.), Jacquot (C.) et Tsekeris (J.). — Etude expérimentale de la production de deutérons négatifs par double échange de charges dans le xénon  Dousson (S.). — Voir Bliman (S.).	215 129 819 137 961 UE DI	Morellec (J.). — Voir Petite (G.).  Moret-Bailly (J.) et Boquillon (JP.). — Variation avec la pression de l'intensité observée en diffusion Raman antistokes cohérente.  Normand (D.). — Voir Petite (G.).  Petite (G.), Morellec (J.) and Normand (D.). — Resonant multiphoton ionization of caesium atoms.  Poirier (M.). — Voir Bouchiat (M. A.).  Robert (D.) and Bonamy (J.). — Short range force effects in semiclassical molecular line broadening calculations Shukla (G. C.). — Voir Easa (S. I.)  Talin (B.). — Voir Kaftandjian (V. P.).  Taran (JP. E.). — Voir Druet (S. A. J.).  Tsika (M.). — Voir Chantepie (M.).  Wohrer-Beroff (K.). — Voir Giacobino (E.).  ES PLASMAS  Terrier (M.). — Voir Vervish (P.).  Tsekeris (J.). — Voir Vervish (P.).  Vervisch (P.). — Torrier (M.) et Valentin (P.). — Influence du rayonnement de résonance sur l'émission électronique de la paroi dans une couche limite de plasma d'argon	343 115 115 1127 923 137 1037 819 1031 1139

#### PHYSIQUE DE LA MATIÈRE CONDENSÉE

Abenoza (M.). — Voir Luu Dang Vinh	597	Brot (C.), Lassier-Govers (B.), Lechner (R. E.) and Volino (F.).	
Abraham-Ibrahim (S.), Caroli (B.), Caroli (C.) and Rou-		- Rotational motion in plastic quinuclidine : results	
let (B.). — Effect of interactions on deep-hole inter-		from quasielastic neutron scattering	563
ferences in photon-induced Auger emission from solids  Achard (J. C.). Voir Escorne (M.)	861	Brot (C.). — Voir Virlet (J.).	573
Aldebert (P.), Dianoux (A. J.) and Traverse (J. P.). — Neu-	315	Buisson (R.). — Voir Vial (J. C.).	913
tron scattering evidence for fast ionic oxygen diffusion in		Burlet (P.), Rossat-Mignod (J.), Bartholin (H.) and Vogt (O.).  — Magnetic phase diagram of CeSb for a field applied	
the high temperature phases of La <sub>2</sub> O <sub>3</sub>	1005	along < 111 > direction	47
Allain (C.) and Lallemand (P.). — Phenomenological models	1000	Canit (J. C.). — Voir Visnovsky (S.).	73
compatible with acoustical and thermal properties of		Capponi (J. J.). — Voir Meyer (C.).	403
viscous liquids	679	Caroli (B.). — Voir Abraham-Ibrahim (S.)	861
Allain (C.) and Lallemand (P.). — Light scattering and calo-		Caroli (C.). — Voir Abraham-Ibrahim (S.)	861
rimetric study of the thermal diffusivity of glycerol,		Carton (JP.). — Voir André (G.).	479
liquid and glass	693	Castaing (B.) and Nozières (P.). — Phase transitions of spin	
André (G.), Bidaux (R.), Carton (JP.), Conte (R.) and	1199	polarized <sup>3</sup> He: a thermodynamical nuclear orientation	257
De Seze (L.). — Frustration in periodic systems:		technique ?  Chaikin (P. M.). — Voir Andrieux (A.)	257
exact results for some 2D Ising models	479	Cibert (J.), Edel (P.), Merle d'Aubigné (Y.) and Rome-	1199
Andrieux (A.), Chaikin (P. M.), Duroure (C.), Jerome (D.),	112	stain (R.). — Relaxation in the <sup>3</sup> T <sub>1u</sub> state of F centres	
Weyl (C.), Bechgaard (K.) and Andersen (J. R.). —		in CaO	1149
Transport properties of the metallic state of TMTSF-		Cladis (P. E.), White (A. E.) and Brinkman (W. F.) The	
DMTCNQ	1199	cholesteric defect structure near the smectic A transition	325
Asher (S. A.) and Pershan (P. S.). — Parabolic focal conics		Coles (H. J.). — Voir Strazielle (C.)	895
and polygonal textures in lipid liquid crystals	161	Conte (R.). — Voir André (G.)	479
Bardet (J. P.). — Etats stationnaires et régimes évolutifs de la charge d'espace dans les diélectriques. Influence		Cotton (J. P.). — Voir Nierlich (M.).	701
de la nature de l'interface sur les distributions de charges		Currat (R.). — Voir Joffrin (C.).  Cyrot (M.) and Lavagna (M.). — Density of states and	1185
et de potentiel	607	magnetic properties of the rare-earth compounds RFe <sub>2</sub> ,	
Bartholin (H.). — Voir Burlet (P.).	47	RCo <sub>2</sub> and RNi <sub>2</sub>	763
Bates (C. A.), Steggles (P.), Vasson (A.) and Vasson (AM.).		Danon (J.). — Voir Mattievich (E.)	1195
— Studies of 3d <sup>4</sup> ions in Al <sub>2</sub> O <sub>3</sub> by cross-relaxation	977	Daoud (M.). — Voir Nierlich (M.)	701
Bechgaard (K.). — Voir Andrieux (A.)	1199	Dash (J. G.). — Voir Shechter (H.)	467
Benguigui (L.). — Theory of the dielectric constant of the		De Gennes (P. G.). — Voir Nierlich (M.)	701
smectic phases, and comparison with experiments	705	De Gennes (P. G.). — Conjectures on the transition from	702
Benoit (J. P.). — Voir Joffrin (C.)	1185	Poiseuille to plug flow in suspensions	783 989
Bensahel (D.). — Effects of zinc anneals in the (400-550 °C) range on the acceptor concentration in ZnTe	1063	De Jeu (W. H.). — Voir Leenhouts (F.)	989
	1005	Derrida (B.), Pomeau (Y.), Toulouse (G.) and Vannimenus (J.).	707
Bensoussan (M.) and Lannoo (M.). — Trends in the band structure of defect tetrahedral compound semiconduc-		— Fully frustrated simple cubic lattices and the over-	
tors: oxides and other systems with 4-2 local coordi-		blocking effect	617
nation	749	Des Cloizeaux (J.). — Voir Weill (G.)	99
Benton (W. J.), Toor (E. W.), Miller (C. A.) and Fort (T.) Jr.		De Seze (L.). — Voir André (G.).	479
— Observation of the parabolic focal conic structure and		Deville (A.). — Voir Blanchard (C.).	1179
a disclination/dislocation relationship in a dilute lyotro-		Deville (A.), Gaillard (B.), Blanchard (C.) and Landi (A.).	
pic phase	107	Spin-lattice relaxation of Fe <sup>3+</sup> in ZnS; experimental evidence for optical phonons	1173
Berthier (S.) and Lafait (J.). — Black chromium coatings:		Devreux (F.), Jeandey (Cl.), Nechtschein (M.), Fabre (J. M.)	1175
experimental and calculated optical properties using		and Giral (L.). — Electron-proton couplings and local	
inhomogeneous medium theories	1093	susceptibilities in TTF and TCNQ salts	671
Betbeder-Matibet (O.) and Hulin (M.). — A generalization		Dianoux (A. J.) and Volino (F.). — Molecular orientational	
of the Leman-Weaire-Thorpe theorem	901	order in the mesophases of TBBA: results of a consistent	
Bidaux (R.). — Voir André (G.)	479	analysis of neutron, NQR and NMR data	181
Biget (M.), Maury (F.), Vajda (P.), Lucasson (A.) and		Dianoux (A. J.). — Voir Aldebert (P.)	1005
Lucasson (P.). — Atomic displacements in low tempe-	202	Diehl (L. M. A.). — Voir Mattievich (E.).	1195
rature irradiated chromium crystals	293	Doukhan (N.), Duclos (R.) and Escaig (B.). — Sessile disso-	381
Blanchard (C.), Gaillard (B.) and Deville (A.). — Relative		ciation in the stoichiometric spinel MgAl <sub>2</sub> O <sub>4</sub>	
importance of the T <sup>-5</sup> and T <sup>-7</sup> terms in spin-lattice relaxation time	1179	Duclos (R.). — Voir Doukhan (N.).  Duroure (C.). — Voir Andrieux (A.)	381 1199
	1173	Dürr (U.). — Voir Regnard (J. R.).	997
Blanchard (C.). — Voir Deville (A.)	39	Duval (P.). — Voir Peyre (H.)	
Boidron (M.). — Voir Janot (Ch.) Boon (J. P.). — Voir Herpigny (B.)	1085	Edel (P.). — Voir Cibert (J.).	1149
Boué (F.). — Voir Nierlich (M.)	701	Escaig (B.). — Voir Doukhan (N.)	381
Bouligand (Y.) et Kléman (M.). — Topologie des lignes		Escorne (M.), Mauger (A.), Godart (C.) and Achard (J. C.).	
singulières des smectiques C non chiraux	79	— Reflectivity spectra of EuO near the absorption edge	315
Bowen (D. K.). — Voir Miltat (J.)		Escorne (M.) and Mauger (A.). — Magnetic order effects on	CALLY I
Briat (B.). — Voir Visnovsky (S.)	73	electric susceptibility hole mass of $Sn_{1-x}Mn_xTe$	347
Brinkman (W. F.) Voir Cladis (P. E.)	225		671
	325	Fabre (J. M.). — Voir Devreux (F.)	671
Brochard (F.). — Theory of polymer gels with liquid crystal solvents	1049	Farnoux (B.). — Voir Devreux (F.).  Farnoux (B.). — Voir Nierlich (M.).  Feidmann (P.). — Voir Guillot (M.).	701 883

		- and the time desiration of force	
Ferré (J.), Petit (R. H.) and Solomon (E. I.) Piezospec-	11501	Lannoo (M.). — A tight-binding derivation of force	461
troscopic studies of the triplet states of RbMnF <sub>3</sub>	175	constants : application to covalent systems	
Fontaine (D.) et Pick (R. M.). — Etude des spectres de		Lannoo (M.). — Voir Bensoussan (M.)	749
diffusion Raman des cyanures de sodium et de potas-		Lassier-Govers (B.). — Voir Brot (C.)	563
sium en phase plastique	1105	Lavagna (M.). — Voir Cyrot (M.)	763
Fort (T.), Jr. — Voir Benton (W. J.)	107	Leadbetter (A. J.), Frost (J. C.), Gaughan (J. P.), Gray (G. W.)	
Fourme (R.). — Disordered structure of the cubic phase		and Mosley (A.). — The structure of smectic A phases	
of quinuclidine at 295 K	557	of compounds with cyano end groups	375
Friedel (J.). — Voir Pieranski (P.)	853	Lechner (R. E.). — Voir Brot (C.)	563
Frost (J. C.). — Voir Leadbetter (A. J.)	375	Le Cleac'h (X.). — Lois de variations et ordre de grandeur	
Gaillard (B.). — Voir Deville (A.)	1173	de la conductivité alternative des chalcogénures massifs	
Gaillard (B.). — Voir Blanchard (C.)	1179	non cristallins	417
Gaughan (J. P.). — Voir Leadbetter (A. J.)	375	Leenhouts (F.), De Jeu (W. H.) and Dekker (A. J.)	
George (B.). — Voir Janot (Ch.)	39	Physical properties of nematic Schiff's bases	989
Gesland (JY.). — Voir Gosso (JP.)	1067	Le Gall (H.). — Voir Guillot (M.)	883
Giral (L.). — Voir Devreux (F.)	671	Lhuillier (C.) et Laloë (F.). — L'hélium trois polarisé : un	
Godart (C.). — Voir Escorne (M.)	315	« nouveau » fluide quantique ?	239
Göbl-Wunsch (A.), Heppke (G.) and Oestreicher (F.).		Lucasson (A.). — Voir Biget (M.)	293
Temperature independent threshold voltage for an		Lucasson (P.). — Voir Biget (M.)	293
electrooptic effect	773	Luu Dang Vinh, Abenoza (M.) et Rault (J.). — Etude des	
Gosso (JP.), Moch (P.), Quilichini (M.), Gesland (JY.)	.,,	modes Raman de déformation angulaire des CH <sub>2</sub> dans	
and Nouet (J.). — Inelastic scattering of light by magne-		le polyéthylène	597
tic excitons in the pseudo Ising antiferromagnets		Madeore (F.). — Voir Vial (J. C.)	913
K <sub>2</sub> CoF <sub>4</sub> and Rb <sub>2</sub> CoF <sub>4</sub>	1067	Makram-Ebeid (S.). — Voir Pons (D.)	1161
Gray (G. W.). — Voir Leadbetter (A. J.).	375	Malet (G.) et Martin (JC.). — Etude optique des struc-	1101
	403	tures des lignes de Grandjean dans les cholestériques	
Gros (Y.). — Voir Meyer (C.)	403	à très grands pas	355
Temperature and high magnetic field dependence of the		Martin (J. C.). — Voir Malet (G.)	355
Faraday rotation in the terbium iron garnet	883	Martinoty (P.). — Voir Thiriet (Y.).	789
Gupta (S. K.) and Pandey (S. D.). — Dielectric loss in RbCl	003		109
	779	Masuda (K.). — Chemisorption on a model transition	
crystals doped with Co <sup>2+</sup> ions		metal: ordered overlayers with $C(2 \times 2)$ and $(2 \times 1)$	299
Haase (W.). — Voir Ibrahim (I. H.).	191	structures	
Hartmann-Boutron (F.). — On the use of Liouville relaxation	57	Mathieu (J. P.). — Voir Poulet (H.)	1079
supermatrices in Mössbauer studies II	57	Mattievich (E.), Vugman (N. V.), Diehl (L. M. A.) and	
Hartmann-Boutron (F.). — Voir Meyer (C.)	403	Danon (J.). — Analytical interpretation of temperature	
Henry (L.). — Voir Peyre (H.).	489	dependent combined quadrupolar and magnetic hyper-	
Heppke (G.). — Voir Göbl-Wunsch (A.).	773	fine interaction in Fe <sup>2+</sup> Fe <sup>3+</sup> <sub>2</sub> (PO <sub>4</sub> ) <sub>2</sub> (OH) <sub>2</sub> (barbosalite)	1195
Herpigny (B.) and Boon (J. P.). — Photon correlation study	1005	Mauger (A.) Voir Escorne (M.)	315
of spermatozoa motility	1085	Mauger (A.). — Voir Escorne (M.)	347
Hinov (H. P.) and Vistin (L. K.). — Parallel and cross-like		Maury (F.). — Voir Biget (M.)	293
domains due to d.c. and low frequency (< 2 Hz) electric		Merle d'Aubigné (Y.). — Voir Cibert (J.)	1149
fields in nematic liquid crystal layers with negative	260	Meyer (C.), Gros (Y.), Hartmann-Boutron (F.) and Cap-	
anisotropy	269	poni (J. J.). — 170Yb Mössbauer study of the crystalline	
Hossain (K. A.) and Swift (J.). — The renormalization group		electric field and exchange interaction in YbFe <sub>2</sub>	403
approach to critical dynamics near the nematic-smectic-	1055	Miller (C. A.). — Voir Benton (W. J.).	107
A phase transition in liquid crystals	1055	Miltat (J.) and Bowen (D. K.). — Slip-initiation in iron-	
Hulin (M.). — Voir Betbeder-Matibet (O.)	901	silicon single crystals: a study by conventional and	
Ibrahim (I. H.) and Haase (W.). — Molecular properties of		synchroton X-ray topography	389
some nematic liquids. II. Refractive index and order	101	Minella (D.). — Voir Guillot (M.)	883
parameter	191	Moan (M.). — Voir Nierlich (M.)	701
Jannink (G.). — Voir Nierlich (M.)	701	Moch (P.). — Voir Gosso (JP.)	1067
Janot (Ch.), George (B.) and Boidron (M.). — A new way of		Mosley (A.). — Voir Leadbetter (A. J.)	375
using positron-lifetime measurements to study lattice		Nasser (J. A.). — FeCl <sub>2</sub> in a transverse magnetic field:	
defects	39	inequivalent behaviour of the two sublattices at 0 K	51
Jeandey (Cl.). — Voir Devreux (F.)	671	Nechtschein (M.). — Voir Devreux (F.)	671
Jerome (D.). — Voir Andrieux (A.)	1199	Nierlich (M.), Williams (C. E.), Boué (F.), Cotton (J. P.),	0,1
Jesser (R.). — Magnetic properties and giant moment		Daoud (M.), Farnoux (B.), Jannink (G.), Picot (C.),	
clusters in Be <sub>2</sub> Mn <sub>1-x</sub> Fe <sub>x</sub> compounds	23	Moan (M.), Wolff (C.), Rinaudo (M.) and De Gen-	
Joffrin (C.), Benoit (J. P.), Currat (R.) et Lambert (M.).		nes (P. G.). — Small angle neutron scattering by semi-	
Transition de phase ferroélastique du phosphate de		dilute solutions of polyelectrolyte	701
plomb. Etude par diffusion inélastique des neutrons	1185	Nouet (J.). — Voir Gosso (JP.)	1067
Katircioglu (B.) et Pautrat (J. L.). — Observation par photo-		Nozières (P.). — Voir Castaing (B.)	257
capacité du dépiégeage au bord de la charge d'espace	321	Oestreicher (F.) Voir Göbl-Wunsch (A.)	
Kléman (M.). — Voir Bouligand (Y.)	79	Pandey (S. D.). — Voir Gupta (S. K.).	773
Krishnan (R.). — Voir Visnovsky (S.)	73	Pautrat (J. L.). — Voir Katircioglu (B.)	779
Lafait (J.). — Voir Berthier (S.)	1093	Perrin (N.). — Phonon spectrum in photoexcited super-	321
Lajzerowicz (J.). — Voir Vallade (M.)	589	conducting films	1000
Lallemand (P.). — Voir Allain (C.)	679	Pershan (P. S.). — Voir Asher (S. A.).	1089
Lallemand (P.). — Voir Allain (C.)	693	Petit (R. H.). — Voir Ferré (J.)	161
Laloë (F.). — Voir Lhuillier (C.)	239	Peyre (H.), Duval (P.) et Henry (L.). — Calcul de l'influence	175
Lambert (M.). — Voir Joffrin (C.)	1185	des diffusions inélastiques sur le contraste des images de	
Landi (A.). — Voir Deville (A.)	1173	défauts d'empilement en microscopie électronique	489
		and the state of the coscopie electronique	

D'I (D M)			
Pick (R. M.). — Voir Fontaine (D.).	1105	Strazielle (C.) and Coles (H. J.). — Depolarized light scatter-	
Picot (C.). — Voir Nierlich (M.).	701	ing studies of the nematogen pentyl cyanobiphenyl	895
Pieranski (P.), Strzelecki (L.) and Friedel (J.). — Obser-		Strzelecki (L.). — Voir Pieranski (P.)	853
vation of edge dislocations in ordered polystyrene		Suzanne (J.). — Voir Shechter (H.)	467
latexes	853	Swift (J.). — Voir Hossain (K. A.)	1055
Poirier (M.). — Voir Vial (J. C.)	913	Thiriet (Y.) and Martinoty (P.). — Ultrasonic study of the	
Pomeau (Y.). — Voir Derrida (B.)	617	nematic-isotropic phase transition in PAA	789
Pons (D.) and Makram-Ebeid (S.). — Phonon assisted tunnel		Toor (E. W.). — Voir Benton (W. J.)	107
emission of electrons from deep levels in GaAs	1161	Toulouse (G.). — Voir Derrida (B.)	617
Porteseil (J. L.) et Vergne (R.). — Quelques aspects nou-		Traverse (J. P.). — Voir Aldebert (P.)	1005
veaux d'un vieux problème : l'aimantation d'un poly-		Vajda (P.). — Voir Biget (M.)	293
cristal	871	Vallade (M.) and Lajzerowicz (J.). — Critical behaviour of	
Poulet (H.) et Mathieu (J. P.). — Etude par effet Raman de		compressible Ising models at marginal dimensionalities	589
la transition de phase du α-NH <sub>4</sub> HglC <sub>3</sub>	1079	Vannimenus (J.). — Voir Derrida (B.)	617
Prost (J.). — Smectic A to smectic A phase transition	581	Vasson (A.). — Voir Bates (C. A.)	977
Quilichini (M.). — Voir Gosso (JP.)	1067	Vasson (AM.). — Voir Bates (C. A.).	977
Rajalakshmi (P. K.). — Voir Shashidhara Prasad (J.)	309	Vergne (R.). — Voir Porteseil (J. L.).	871
Rault (J.). — Voir Luu Dang Vinh	597	Vial (J. C.), Buisson (R.), Madeore (F.) and Poirier (M.).	0,1
Rault (J.). — Voir Servet (B.)	1145	Up-conversion studied by selective time resolved	
	1143	excitation techniques in $Pr^{3+}$ : $LaF_3$	913
Regnard (J. R.) and Dürr (U.). — Electronic properties of the		Virlet (J.) and Brot (C.). — Anisotropic molecular reorien-	7.10
Fe <sup>2+</sup> ion in CaF <sub>2</sub> from Mössbauer and far infrared	005	tations of quinuclidine in its plastic solid phase: <sup>1</sup> H and	
spectroscopy	997	<sup>14</sup> N NMR relaxation study	573
Rinaudo (M.). — Voir Nierlich (M.)	701	Visnovsky (S.), Canit (J. C.), Briat (B.) and Krishnan (R.).	373
Romestain (R.). — Voir Cibert (J.)	1149	Magnetic circular dichroism study on YIG films	73
Rossat-Mignod (J.). — Voir Burlet (P.)	47	Vistin (L. K.). — Voir Hinov (H. P.).	269
Roulet (B.). — Voir Abraham-Ibrahim (S.)	861	Vogt (O.). — Voir Burlet (P.)	47
Servet (B.) and Rault (J.). — Polymorphism of poly (viny-		Volino (F.). — Voir Dianoux (A. J.)	181
lidene fluoride) induced by poling and annealing	1145	Volino (F.). — Voir Brot (C.)	563
Shashidhara Prasad (J.) and Rajalakshmi (P. K.). — Thermal		Vugman (N. V.). — Voir Mattievich (E.)	1195
stabilities, packing coefficients and molecular packings		Weill (G.) and Des Cloizeaux (J.). — Dynamics of polymers	1175
in a series of homologous liquid crystals	309	in dilute solutions : an explanation of anomalous indices	
Shechter (H.), Suzanne (J.) and Dash (J. G.). — Diffusion		by cross-over effects	99
and melting of adsorbed monolayers by Mössbauer		Weyl (C.). — Voir Andrieux (A.)	1199
spectroscopy	467	White (A. E.). — Voir Cladis (P. E.).	325
Solomon (E. I). — Voir Ferré (J.)	175	Williams (C. E.). — Voir Claus (I · E.).	701
Steggles (P.). — Voir Bates (C. A.)	977	Wolff (C.). — Voir Nierlich (M.)	701
Designed (2.1).	,,,	TOM THE TAKEN (TAKE)	
COMMENT	AIRES	S ET ADDENDA	
COMMENT			
Winner (II) and Coffee fall (III) Cloback Conden and		Suffczyński (M.). — Voir Kúnert (H.)	199
<b>Kúnert (H.) and Suffczyński (M.).</b> — Clebsch-Gordan coefficients for M × M in beta tungsten	199	Suitezyniski (1914).	177
Heichts for the variational canadating stone	4//		

The or play the second of the

# JOURNAL DE PHYSIQUE — LETTRES

Tome 40 — 1979

#### MÉCANIQUE, HYDRODYNAMIQUE

Berge (P.) and Dubois (M.). — Study of unsteady convection through simultaneous velocity and interferometric measurements	L-505	Manneville (P.). — Voir Pomeau (Y.)	L-609
Dubois (M.). — Voir Berge (P.)	L-505	tautions of a spatially periodic convective now	E-005
MÉCAN	IQUE	STATISTIQUE	
Bariśić (S.). — Voir Batistić (I.)	L-613	Jullien (R.), Penson (K. A.) and Pfeuty (P.). — The Ising model in a transverse field on comb-like ramified linear	
functional integral method	L-613	structures	L-237
De Dominicis (C.) and Garel (T.). — A solution of Sher-		Penson (K. A.). — Voir Jullien (R.)	L-237
rington Kirkpatrick model for Ising spin glass with physically acceptable entropy	L-575	Pfeuty (P.). — Voir Jullien (R.)	L-237
Garel (T.). — Voir De Dominicis (C.)	L-575	near the critical point of xenon	L-257
PHYS	IQUE	NUCLÉAIRE	
Boisson (J. P.), Silvestre-Brac (B.) and Liotta (R. J.).		Jungclas (H.). — Voir Hirdes (D.).	L-97
A shell-model calculation in terms of correlated sub-		Klein (A.). — Voir Gillet (V.)	L-359
systems	L-263	Kota (V. K. B.). — A symmetry for the widths of the eigen	
Brandt (R.). — Voir Hirdes (D.)	L-97	value spectra of Boson and Fermion systems	L-579
Bystricky (J.), Lehar (F.) and Winternitz (P.). — Can		Lehar (F.). — Voir Bystricky (J.) Liotta (R. J.). — Voir Boisson (J. P.)	L-117
phase shift analysis above the inelastic threshold provide unambiguous results ?	L-117	Lund (T.). — Voir Hirdes (D.)	L-263 L-97
Colombani (P.). — Voir Tricoire (H.)	L-181	Magnac (D.). — Voir Warde (E.)	L-1
Costa (G.). — Voir Warde (E.)	L-1	Małecki (A.). — Voir Dymarz (R.)	L-425
Da Silveira (R.). — Sur une classification topologique des		Molzahn (D.). — Voir Hirdes (D.)	L-97
courbes de distribution de masse des fragments de	T 210	Paya (D.). — Voir Tricoire (H.)	L-181
fission	L-319	Perrin (N.). — Voir Tricoire (H.)	L-181
potentials of the nucleon-nucleus elastic scattering at		measurement with a cyclotron	L-241
medium energies	L-425	Rowe (D. J.). — Voir Giraud (B. G.)	L-177
Fintz (P.). — Voir Guillaume (G.)	L-93	Seltz (R.). — Voir Warde (E.)	L-1
Frascaria (N.). — Voir Tricoire (H.)	L-181	Silvestre-Brac (B.). — Voir Boisson (J. P.)	L-263
Garron (J. P.). — Voir Tricoire (H.)	L-181 L-1	Stéphan (C.). — Voir Tricoire (H.)	L-181 L-241
Gerardin (C.). — Voir Warde (E.)	L-181	Tricoire (H.), Colombani (P.), Gerschel (C.), Paya (D.),	L-241
Gillet (V.) and Klein (A.). — Supermultiplet mass	·	Perrin (N.), Valentin (L.), Frascaria (N.), Garron (J. P.)	
predictions for exotic nuclei	L-359	and Stéphan (C.). — New experimental results support-	
Giraud (B. G.) and Rowe (D. J.). — Curvature of the Slater		ing the hypothesis of the excitation of collective modes	T 101
determinant manifold	L-177	in the <sup>40</sup> Ca + <sup>40</sup> Ca reaction	L-181 L-181
Guillaur. 2 (C.) et Fintz (P.). — Vie moyenne de l'état 8 <sup>+</sup> à 6,38 MeV dans <sup>54</sup> Fe	L-93	Warde (E.), Seltz (R.), Costa (G.), Magnac (D.) and Gerar-	L-101
Hirdes (D.), Jungclas (H.), Lund (T.), Molzahn (D.) and	1 1	din (C.). — The ground state spin of <sup>180</sup> Ta is not 8 <sup>+</sup>	L-1
Brandt (R.). — On the evidence of high-energy alpha		Winternitz (P.). — Voir Bystricky (J.)	L-117
emitters ( $E \ge 10.6 \text{ MeV}$ ) in monazite	L-97	Yiou (F.). — Voir Raisbeck (G. M.)	L-241
PHYSIQUE ATO	OMIQU	UE ET MOLÉCULAIRE	
André (J.), Vedel (F.) et Vedel (M.). — Invariance tempo-		Bouchoule (A.). — Voir Pignolet (P.)	L-431
relle et propriétés statistiques énergétiques et spatiales		Brechignac (C.) and Cahuzac (Ph.). — Observation of two	
d'ions confinés dans une trappe quadrupolaire R.F.		visible Dicke — superradiant transitions in atomic	112.00
Azria (R.). — Voir Tronc (M.)	L-323	europium	L-123
Bastard (D.), Bretenoux (A.), Charru (A.) and Picherit (F.).  — Microwave spectroscopy of free OH radicals in the		Bretenoux (A.). — Voir Bastard (D.)	L-533
37 GHz range = determination of mean collision		ground state energy in inverse powers of the distance	
cross-sections with various gases	L-533	between the two protons	L-511

Cahuzac (Ph.). — Voir Brechignac (C.)	L-123	Morillon (C.). — Voir Camus (P.)	L-513
Camus (P.), Dieulin (M.) and Morillon (C.). — Optogalvanic		Morillon-Chapey (M.). — Voir Nordstrom (R. J.)	L-37
detection of barium high-lying levels with a two-step		Nordstrom (R. J.), Morillon-Chapey (M.), Deroche (JC.)	
pulsed laser excitation	L-513	and Jennings (D. E.). — A first study of the $v_6$ funda-	7 27
Carillon (A.). — Voir Jaeglé (P.)	L-551	mental of CF <sub>2</sub> Cl <sub>2</sub>	L-37
Charru (A.). — Voir Bastard (D.)	L-533	Paineau (R.). — Voir Tronc (M.)	L-323
Davy (P.). — Voir Pignolet (P.)	L-431	Peresse (J.). — Voir Tuffin (F.)	L-271
Deroche (JC.) Voir Nordstrom (R. J.)	L-37	Picherit (F.). — Voir Bastard (D.)	L-533
Dieulin (M.). — Voir Camus (P.)	L-513	Pignolet (P.), Bouchoule (A.), Davy (P.), Dubreuil (B.) and	
Dubreuil (B.). — Voir Pignolet (P.)	L-431	Wackherr (P.). — Shifts of the $n = 4$ hydrogen and	T 421
Faure (E.), Tribollet (B.), Vincent (F.), Valadier (F.) et		3 <sup>3</sup> D helium levels induced by TEA CO <sub>2</sub> laser radiation	L-431
Janin (J.). — Thermoluminescence de l'azote actif		Saint-Loup (R.). — Voir Lepage (P.)	L-63
condensé à 5 K	L-555	Tribollet (B.). — Voir Faure (E.)	L-555
Gouedard (G.) and Lehmann (J. C.) Landé factor		Tronc (M.), Azria (R.) and Paineau (R.). — Shape reso-	
measurements in the B ${}^3\Sigma_u^-$ state of ${}^{80}Se_2$ : a test of		nances in vibrational excitation of molecules: [100]	
molecular perturbations	L-119	symmetric stretch mode excitation in CO <sub>2</sub>	L-323
Jaeglé (P.), Carillon (A.), Jamelot (G.) and Wehenkel (C.).		Tuffin (F.), Le Coz (G.) and Peresse (J.). — Penning	
- Space-dependent shift of spectral lines in laser-		ionization of argon by metastable helium atoms: a	
produced plasmas	L-551	study of the energy and angular distributions of the	
Jamelot (G.). — Voir Jaeglé (P.)	L-551	ejected electrons	L-271
Janin (J.). — Voir Faure (E.)	L-555	Valadier (F.). — Voir Faure (E.)	L-555
Jennings (D. E.). — Voir Nordstrom (R. J.)	L-37	Vedel (F.). — Voir André (J.)	L-633
Le Coz (G.). — Voir Tuffin (F.)	L-271	Vedel (M.). — Voir André (J.)	L-633
Le Duff (Y.). — Facteur de dépolarisation de l'hélium		Vincent (F.). — Voir Faure (E.)	L-555
gazeux	L-267	Wackherr (P.). — Voir Pignolet (P.)	L-431
Lehmann (J. C.). — Voir Gouedard (G.)	L-119	Wehenkel (C.). — Voir Jaeglé (P.)	L-551
Lepage (P.) et Saint-Loup (R.). — Analyse de la bande		Zinn-Justin (J.). — Voir Brezin (E.)	L-511
2 v <sub>4</sub> de <sup>12</sup> CH <sub>4</sub>	L-63		
PHYSIC	UE DE	ES PLASMAS	
76.7	Towns.		
Mora (P.) and Pellat (R.). — Kinetic theory of magnetic		Taillet (J.). — Plasma physics: ion energy in RF plasma	
field generation in the resonant absorption of light	L-245	etching	L-223
Pellat (R.). — Voir Mora (P.)	L-245		
DUVELOUE DE	T 4 34	by (1) Islan (6) and Winnesday (6.1 - Can	
PHYSIQUE DE	LA M.		
		ATIÈRE CONDENSÉE	
Aadsen (D.). — Voir Guillon (D.)	L-459	ATIÈRE CONDENSÉE  Bartis (F. J.). — The transitional plasticity of ammonium	T 251
Aadsen (D.). — Voir Guillon (D.)		ATIÈRE CONDENSÉE  Bartis (F. J.). — The transitional plasticity of ammonium chloride	L-351
Aadsen (D.). — Voir Guillon (D.)	L-459	ATIÈRE CONDENSÉE  Bartis (F. J.). — The transitional plasticity of ammonium chloride	L-351
Aadsen (D.). — Voir Guillon (D.)	L-459 L-343	Bastard (G.) and Lewiner (C.). — Indirect exchange interaction in parabolic symmetry-induced zero gap	
Aadsen (D.). — Voir Guillon (D.)  Abelès (F.). — Voir Lopez-Rios (T.)  Abenoza (M.), Armengaud (A.) et Rault (J.). — Cristallisation à basse température du polybutène-1 : étude par effet Raman	L-459	ATIÈRE CONDENSÉE  Bartis (F. J.). — The transitional plasticity of ammonium chloride  Bastard (G.) and Lewiner (C.). — Indirect exchange interaction in parabolic symmetry-induced zero gap semiconductors	L-189
Aadsen (D.). — Voir Guillon (D.)  Abelès (F.). — Voir Lopez-Rios (T.)  Abenoza (M.), Armengaud (A.) et Rault (J.). — Cristallisation à basse température du polybutène-1: étude par effet Raman  Adam (M.) and Delsanti (M.). — Viscosity and reptation	L-459 L-343 L-445	Bastard (G.) and Lewiner (C.). — Indirect exchange interaction in parabolic symmetry-induced zero gap semiconductors.  Bechgaard (K.). — Voir Andrieux (A.)	L-189 L-381
Aadsen (D.). — Voir Guillon (D.)  Abelès (F.). — Voir Lopez-Rios (T.)  Abenoza (M.), Armengaud (A.) et Rault (J.). — Cristallisation à basse température du polybutène-1: étude par effet Raman  Adam (M.) and Delsanti (M.). — Viscosity and reptation time in polystyrene-benzene semidilute solutions	L-459 L-343	Bartis (F. J.). — The transitional plasticity of ammonium chloride  Bastard (G.) and Lewiner (C.). — Indirect exchange interaction in parabolic symmetry-induced zero gap semiconductors  Bechgaard (K.). — Voir Andrieux (A.)  Bechgaard (K.). — Voir Andrieux (A.)	L-189 L-381 L-385
Aadsen (D.). — Voir Guillon (D.)  Abelès (F.). — Voir Lopez-Rios (T.)  Abenoza (M.), Armengaud (A.) et Rault (J.). — Cristallisation à basse température du polybutène-1: étude par effet Raman  Adam (M.) and Delsanti (M.). — Viscosity and reptation time in polystyrene-benzene semidilute solutions	L-459 L-343 L-445	ATIÈRE CONDENSÉE  Bartis (F. J.). — The transitional plasticity of ammonium chloride  Bastard (G.) and Lewiner (C.). — Indirect exchange interaction in parabolic symmetry-induced zero gap semiconductors  Bechgaard (K.). — Voir Andrieux (A.)  Bechgaard (K.). — Voir Andrieux (A.)  Bellessa (G.). — Voir Duquesne (JY.)	L-189 L-381 L-385 L-193
Aadsen (D.). — Voir Guillon (D.)  Abelès (F.). — Voir Lopez-Rios (T.).  Abenoza (M.), Armengaud (A.) et Rault (J.). — Cristallisation à basse température du polybutène-1: étude par effet Raman  Adam (M.) and Delsanti (M.). — Viscosity and reptation time in polystyrene-benzene semidilute solutions.  Adam (M.), Delsanti (M.), Okasha (R.) and Hild (G.). — Viscosity study in the reaction bath of the radical	L-459 L-343 L-445 L-523	Bartis (F. J.). — The transitional plasticity of ammonium chloride  Bastard (G.) and Lewiner (C.). — Indirect exchange interaction in parabolic symmetry-induced zero gap semiconductors.  Bechgaard (K.). — Voir Andrieux (A.)  Bechgaard (K.). — Voir Ouquesne (JY.)  Benière (F.). — Voir Agrawal (V. K.)	L-189 L-381 L-385 L-193 L-49
Aadsen (D.). — Voir Guillon (D.)  Abelès (F.). — Voir Lopez-Rios (T.)  Abenoza (M.), Armengaud (A.) et Rault (J.). — Cristallisation à basse température du polybutène-1: étude par effet Raman  Adam (M.) and Delsanti (M.). — Viscosity and reptation time in polystyrene-benzene semidilute solutions.  Adam (M.), Delsanti (M.), Okasha (R.) and Hild (G.). — Viscosity study in the reaction bath of the radical copolymerization of styrene divinylbenzene	L-459 L-343 L-445	Bartis (F. J.). — The transitional plasticity of ammonium chloride  Bastard (G.) and Lewiner (C.). — Indirect exchange interaction in parabolic symmetry-induced zero gap semiconductors.  Bechgaard (K.). — Voir Andrieux (A.)  Bechgaard (K.). — Voir Andrieux (A.)  Bellessa (G.). — Voir Duquesne (JY.)  Benière (F.). — Voir Agrawal (V. K.)  Benoit (A.). — Voir Ribault (M.)	L-189 L-381 L-385 L-193 L-49 L-413
Aadsen (D.). — Voir Guillon (D.)  Abelès (F.). — Voir Lopez-Rios (T.).  Abenoza (M.), Armengaud (A.) et Rault (J.). — Cristallisation à basse température du polybutène-1: étude par effet Raman  Adam (M.) and Delsanti (M.). — Viscosity and reptation time in polystyrene-benzene semidilute solutions.  Adam (M.), Delsanti (M.), Okasha (R.) and Hild (G.). — Viscosity study in the reaction bath of the radical copolymerization of styrene divinylbenzene  Adam (M.), Delsanti (M.) and Pouyet (G.). — Diffusion	L-459 L-343 L-445 L-523	Bartis (F. J.). — The transitional plasticity of ammonium chloride  Bastard (G.) and Lewiner (C.). — Indirect exchange interaction in parabolic symmetry-induced zero gap semiconductors.  Bechgaard (K.). — Voir Andrieux (A.)  Bechgaard (K.). — Voir Andrieux (A.)  Bellessa (G.). — Voir Duquesne (JY.).  Benière (F.). — Voir Agrawal (V. K.).  Benoit (A.). — Voir Ribault (M.).  Benoit (C.). — Voir Bernier (P.)	L-189 L-381 L-385 L-193 L-49 L-413 L-297
Aadsen (D.). — Voir Guillon (D.)  Abelès (F.). — Voir Lopez-Rios (T.)  Abenoza (M.), Armengaud (A.) et Rault (J.). — Cristallisation à basse température du polybutène-1: étude par effet Raman  Adam (M.) and Delsanti (M.). — Viscosity and reptation time in polystyrene-benzene semidilute solutions  Adam (M.), Delsanti (M.), Okasha (R.) and Hild (G.). — Viscosity study in the reaction bath of the radical copolymerization of styrene divinylbenzene	L-459 L-343 L-445 L-523	Bartis (F. J.). — The transitional plasticity of ammonium chloride  Bastard (G.) and Lewiner (C.). — Indirect exchange interaction in parabolic symmetry-induced zero gap semiconductors  Bechgaard (K.). — Voir Andrieux (A.)  Bechgaard (K.). — Voir Andrieux (A.)  Bellessa (G.). — Voir Duquesne (JY.).  Benière (F.). — Voir Agrawal (V. K.).  Benoit (A.). — Voir Ribault (M.).  Benoit (C.). — Voir Bernier (P.)  Benoit (C.). — Voir Giordano (J.)	L-189 L-381 L-385 L-193 L-49 L-413
Aadsen (D.). — Voir Guillon (D.)  Abelès (F.). — Voir Lopez-Rios (T.)  Abenoza (M.), Armengaud (A.) et Rault (J.). — Cristallisation à basse température du polybutène-1: étude par effet Raman  Adam (M.) and Delsanti (M.). — Viscosity and reptation time in polystyrene-benzene semidilute solutions.  Adam (M.), Delsanti (M.), Okasha (R.) and Hild (G.). — Viscosity study in the reaction bath of the radical copolymerization of styrene divinylbenzene.  Adam (M.), Delsanti (M.) and Pouyet (G.). — Diffusion coefficient in a semi-dilute solution measured by concentration gradient technique and compared to	L-459 L-343 L-445 L-523 L-539	Bartis (F. J.). — The transitional plasticity of ammonium chloride  Bastard (G.) and Lewiner (C.). — Indirect exchange interaction in parabolic symmetry-induced zero gap semiconductors  Bechgaard (K.). — Voir Andrieux (A.)  Bechgaard (K.). — Voir Andrieux (A.)  Bellessa (G.). — Voir Duquesne (JY.).  Benière (F.). — Voir Agrawal (V. K.).  Benoit (A.). — Voir Ribault (M.).  Benoit (C.). — Voir Bernier (P.)  Benoit (C.). — Voir Giordano (J.)  Bernard (L.), Saint-Paul (M.) and Joffrin (J.). — Electric	L-189 L-381 L-385 L-193 L-49 L-413 L-297 L-153
Aadsen (D.). — Voir Guillon (D.)  Abelès (F.). — Voir Lopez-Rios (T.)  Abenoza (M.), Armengaud (A.) et Rault (J.). — Cristallisation à basse température du polybutène-1: étude par effet Raman  Adam (M.) and Delsanti (M.). — Viscosity and reptation time in polystyrene-benzene semidilute solutions.  Adam (M.), Delsanti (M.), Okasha (R.) and Hild (G.). — Viscosity study in the reaction bath of the radical copolymerization of styrene divinylbenzene.  Adam (M.), Delsanti (M.) and Pouyet (G.). — Diffusion coefficient in a semi-dilute solution measured by concentration gradient technique and compared to quasielastic light scattering results.	L-459 L-343 L-445 L-523	Bartis (F. J.). — The transitional plasticity of ammonium chloride  Bastard (G.) and Lewiner (C.). — Indirect exchange interaction in parabolic symmetry-induced zero gap semiconductors  Bechgaard (K.). — Voir Andrieux (A.)  Bechgaard (K.). — Voir Andrieux (A.)  Bellessa (G.). — Voir Duquesne (JY.)  Benière (F.). — Voir Agrawal (V. K.).  Benoit (A.). — Voir Ribault (M.).  Benoit (C.). — Voir Bernier (P.)  Benoit (C.). — Voir Giordano (J.)  Bernard (L.), Saint-Paul (M.) and Joffrin (J.). — Electric dipolar echoes in smoky quartz.	L-189 L-381 L-385 L-193 L-49 L-413 L-297
Aadsen (D.). — Voir Guillon (D.)  Abelès (F.). — Voir Lopez-Rios (T.)  Abenoza (M.), Armengaud (A.) et Rault (J.). — Cristallisation à basse température du polybutène-1: étude par effet Raman  Adam (M.) and Delsanti (M.). — Viscosity and reptation time in polystyrene-benzene semidilute solutions.  Adam (M.), Delsanti (M.), Okasha (R.) and Hild (G.). — Viscosity study in the reaction bath of the radical copolymerization of styrene divinylbenzene.  Adam (M.), Delsanti (M.) and Pouyet (G.). — Diffusion coefficient in a semi-dilute solution measured by concentration gradient technique and compared to quasielastic light scattering results.  Agrawal (V. K.) and Benière (F.). — Residual radioactivity	L-459 L-343 L-445 L-523 L-539	Bartis (F. J.). — The transitional plasticity of ammonium chloride  Bastard (G.) and Lewiner (C.). — Indirect exchange interaction in parabolic symmetry-induced zero gap semiconductors  Bechgaard (K.). — Voir Andrieux (A.)  Bechgaard (K.). — Voir Andrieux (A.)  Bellessa (G.). — Voir Duquesne (JY.)  Benière (F.). — Voir Agrawal (V. K.).  Benoit (A.). — Voir Ribault (M.).  Benoit (C.). — Voir Bernier (P.)  Benoit (C.). — Voir Giordano (J.)  Bernard (L.), Saint-Paul (M.) and Joffrin (J.). — Electric dipolar echoes in smoky quartz.  Bernier (P.), Rolland (M.), Galtier (M.), Montaner (A.),	L-189 L-381 L-385 L-193 L-49 L-413 L-297 L-153
Aadsen (D.). — Voir Guillon (D.)  Abelès (F.). — Voir Lopez-Rios (T.)  Abenoza (M.), Armengaud (A.) et Rault (J.). — Cristallisation à basse température du polybutène-1: étude par effet Raman  Adam (M.) and Delsanti (M.). — Viscosity and reptation time in polystyrene-benzene semidilute solutions.  Adam (M.), Delsanti (M.), Okasha (R.) and Hild (G.). — Viscosity study in the reaction bath of the radical copolymerization of styrene divinylbenzene.  Adam (M.), Delsanti (M.) and Pouyet (G.). — Diffusion coefficient in a semi-dilute solution measured by concentration gradient technique and compared to quasielastic light scattering results.  Agrawal (V. K.) and Benière (F.). — Residual radioactivity of silicon doped by transmutation	L-459 L-343 L-445 L-523 L-539 L-435 L-49	Bartis (F. J.). — The transitional plasticity of ammonium chloride  Bastard (G.) and Lewiner (C.). — Indirect exchange interaction in parabolic symmetry-induced zero gap semiconductors  Bechgaard (K.). — Voir Andrieux (A.)  Bechgaard (K.). — Voir Andrieux (A.)  Bellessa (G.). — Voir Duquesne (JY.)  Benière (F.). — Voir Agrawal (V. K.)  Benoit (A.). — Voir Ribault (M.)  Benoit (C.). — Voir Bernier (P.)  Benoit (C.). — Voir Giordano (J.)  Bernard (L.), Saint-Paul (M.) and Joffrin (J.). — Electric dipolar echoes in smoky quartz  Bernier (P.), Rolland (M.), Galtier (M.), Montaner (A.), Regis (M.), Candille (M.), Benoit (C.), Aldissi (M.),	L-189 L-381 L-385 L-193 L-49 L-413 L-297 L-153
Aadsen (D.). — Voir Guillon (D.)  Abelès (F.). — Voir Lopez-Rios (T.)  Abenoza (M.), Armengaud (A.) et Rault (J.). — Cristallisation à basse température du polybutène-1: étude par effet Raman  Adam (M.) and Delsanti (M.). — Viscosity and reptation time in polystyrene-benzene semidilute solutions.  Adam (M.), Delsanti (M.), Okasha (R.) and Hild (G.). — Viscosity study in the reaction bath of the radical copolymerization of styrene divinylbenzene.  Adam (M.), Delsanti (M.) and Pouyet (G.). — Diffusion coefficient in a semi-dilute solution measured by concentration gradient technique and compared to quasielastic light scattering results.  Agrawal (V. K.) and Benière (F.). — Residual radioactivity of silicon doped by transmutation  Aldissi (M.). — Voir Bernier (P.).	L-459 L-343 L-445 L-523 L-539 L-435 L-49 L-297	Bartis (F. J.). — The transitional plasticity of ammonium chloride  Bastard (G.) and Lewiner (C.). — Indirect exchange interaction in parabolic symmetry-induced zero gap semiconductors  Bechgaard (K.). — Voir Andrieux (A.)  Bechgaard (K.). — Voir Andrieux (A.)  Bellessa (G.). — Voir Duquesne (JY.)  Benière (F.). — Voir Agrawal (V. K.)  Benoit (A.). — Voir Ribault (M.)  Benoit (C.). — Voir Giordano (J.)  Bernard (L.), Saint-Paul (M.) and Joffrin (J.). — Electric dipolar echoes in smoky quartz  Bernier (P.), Rolland (M.), Galtier (M.), Montaner (A.), Regis (M.), Candille (M.), Benoit (C.), Aldissi (M.), Linaya (C.), Schué (F.), Sledz (J.), Fabre (J. M.) and	L-189 L-381 L-385 L-193 L-49 L-413 L-297 L-153
Aadsen (D.). — Voir Guillon (D.)  Abelès (F.). — Voir Lopez-Rios (T.)  Abenoza (M.), Armengaud (A.) et Rault (J.). — Cristallisation à basse température du polybutène-1: étude par effet Raman  Adam (M.) and Delsanti (M.). — Viscosity and reptation time in polystyrene-benzene semidilute solutions.  Adam (M.), Delsanti (M.), Okasha (R.) and Hild (G.). — Viscosity study in the reaction bath of the radical copolymerization of styrene divinylbenzene.  Adam (M.), Delsanti (M.) and Pouyet (G.). — Diffusion coefficient in a semi-dilute solution measured by concentration gradient technique and compared to quasielastic light scattering results.  Agrawal (V. K.) and Benière (F.). — Residual radioactivity of silicon doped by transmutation  Aldissi (M.). — Voir Bernier (P.).  Almairac (R.). — Voir Giordano (J.)	L-459 L-343 L-445 L-523 L-539 L-435 L-49	Bartis (F. J.). — The transitional plasticity of ammonium chloride  Bastard (G.) and Lewiner (C.). — Indirect exchange interaction in parabolic symmetry-induced zero gap semiconductors  Bechgaard (K.). — Voir Andrieux (A.)  Bechgaard (K.). — Voir Andrieux (A.)  Bellessa (G.). — Voir Duquesne (JY.)  Benière (F.). — Voir Agrawal (V. K.)  Benoit (A.). — Voir Ribault (M.)  Benoit (C.). — Voir Giordano (J.)  Bernard (L.), Saint-Paul (M.) and Joffrin (J.). — Electric dipolar echoes in smoky quartz  Bernier (P.), Rolland (M.), Galtier (M.), Montaner (A.), Regis (M.), Candille (M.), Benoit (C.), Aldissi (M.), Linaya (C.), Schué (F.), Sledz (J.), Fabre (J. M.) and Giral (L.). — Electronic properties of non-doped and	L-189 L-381 L-385 L-193 L-49 L-413 L-297 L-153
Aadsen (D.). — Voir Guillon (D.)  Abelès (F.). — Voir Lopez-Rios (T.)  Abenoza (M.), Armengaud (A.) et Rault (J.). — Cristallisation à basse température du polybutène-1: étude par effet Raman  Adam (M.) and Delsanti (M.). — Viscosity and reptation time in polystyrene-benzene semidilute solutions.  Adam (M.), Delsanti (M.), Okasha (R.) and Hild (G.). — Viscosity study in the reaction bath of the radical copolymerization of styrene divinylbenzene.  Adam (M.), Delsanti (M.) and Pouyet (G.). — Diffusion coefficient in a semi-dilute solution measured by concentration gradient technique and compared to quasielastic light scattering results.  Agrawal (V. K.) and Benière (F.). — Residual radioactivity of silicon doped by transmutation  Aldissi (M.). — Voir Bernier (P.).  Almairac (R.). — Voir Giordano (J.).  Andrieux (A.), Duroure (C.), Jérome (D.) and Bechgaard (K.).	L-459 L-343 L-445 L-523 L-539 L-435 L-49 L-297	Bartis (F. J.). — The transitional plasticity of ammonium chloride  Bastard (G.) and Lewiner (C.). — Indirect exchange interaction in parabolic symmetry-induced zero gap semiconductors  Bechgaard (K.). — Voir Andrieux (A.)  Bechgaard (K.). — Voir Andrieux (A.)  Bellessa (G.). — Voir Duquesne (JY.)  Benière (F.). — Voir Agrawal (V. K.)  Benoit (A.). — Voir Ribault (M.)  Benoit (C.). — Voir Bernier (P.)  Benoit (C.). — Voir Giordano (J.)  Bernard (L.), Saint-Paul (M.) and Joffrin (J.). — Electric dipolar echoes in smoky quartz.  Bernier (P.), Rolland (M.), Galtier (M.), Montaner (A.), Regis (M.), Candille (M.), Benoit (C.), Aldissi (M.), Linaya (C.), Schué (F.), Sledz (J.), Fabre (J. M.) and Giral (L.). — Electronic properties of non-doped and doped polyacetylene films studied by E.S.R.	L-189 L-381 L-385 L-193 L-49 L-413 L-297 L-153
Aadsen (D.). — Voir Guillon (D.)  Abelès (F.). — Voir Lopez-Rios (T.)  Abenoza (M.), Armengaud (A.) et Rault (J.). — Cristallisation à basse température du polybutène-1: étude par effet Raman  Adam (M.) and Delsanti (M.). — Viscosity and reptation time in polystyrene-benzene semidilute solutions.  Adam (M.), Delsanti (M.), Okasha (R.) and Hild (G.). — Viscosity study in the reaction bath of the radical copolymerization of styrene divinylbenzene.  Adam (M.), Delsanti (M.) and Pouyet (G.). — Diffusion coefficient in a semi-dilute solution measured by concentration gradient technique and compared to quasielastic light scattering results.  Agrawal (V. K.) and Benière (F.). — Residual radioactivity of silicon doped by transmutation  Aldissi (M.). — Voir Bernier (P.).  Almairac (R.). — Voir Giordano (J.).  Andrieux (A.), Duroure (C.), Jérome (D.) and Bechgaard (K.). — The metallic state of the organic conductor TMTSF-	L-459 L-343 L-445 L-523 L-539 L-435 L-49 L-297 L-153	Bartis (F. J.). — The transitional plasticity of ammonium chloride  Bastard (G.) and Lewiner (C.). — Indirect exchange interaction in parabolic symmetry-induced zero gap semiconductors  Bechgaard (K.). — Voir Andrieux (A.)  Bechgaard (K.). — Voir Andrieux (A.)  Bellessa (G.). — Voir Duquesne (JY.)  Benière (F.). — Voir Agrawal (V. K.)  Benoit (A.). — Voir Ribault (M.)  Benoit (C.). — Voir Bernier (P.)  Benoit (C.). — Voir Giordano (J.)  Bernard (L.), Saint-Paul (M.) and Joffrin (J.). — Electric dipolar echoes in smoky quartz.  Bernier (P.), Rolland (M.), Galtier (M.), Montaner (A.), Regis (M.), Candille (M.), Benoit (C.), Aldissi (M.), Linaya (C.), Schué (F.), Sledz (J.), Fabre (J. M.) and Giral (L.). — Electronic properties of non-doped and doped polyacetylene films studied by E.S.R.  Berton (A.), Chaussy (J.), Odin (J.), Rammal (R.), Sou-	L-189 L-381 L-385 L-193 L-49 L-413 L-297 L-153
Aadsen (D.). — Voir Guillon (D.)  Abelès (F.). — Voir Lopez-Rios (T.)  Abenoza (M.), Armengaud (A.) et Rault (J.). — Cristallisation à basse température du polybutène-1: étude par effet Raman  Adam (M.) and Delsanti (M.). — Viscosity and reptation time in polystyrene-benzene semidilute solutions.  Adam (M.), Delsanti (M.), Okasha (R.) and Hild (G.). — Viscosity study in the reaction bath of the radical copolymerization of styrene divinylbenzene.  Adam (M.), Delsanti (M.) and Pouyet (G.). — Diffusion coefficient in a semi-dilute solution measured by concentration gradient technique and compared to quasielastic light scattering results.  Agrawal (V. K.) and Benière (F.). — Residual radioactivity of silicon doped by transmutation  Aldissi (M.). — Voir Bernier (P.).  Almairac (R.). — Voir Giordano (J.).  Andrieux (A.), Duroure (C.), Jérome (D.) and Bechgaard (K.).  — The metallic state of the organic conductor TMTSF-DMTCNQ at low temperature under pressure	L-459 L-343 L-445 L-523 L-539 L-435 L-49 L-297	Bartis (F. J.). — The transitional plasticity of ammonium chloride  Bastard (G.) and Lewiner (C.). — Indirect exchange interaction in parabolic symmetry-induced zero gap semiconductors  Bechgaard (K.). — Voir Andrieux (A.)  Bechgaard (K.). — Voir Andrieux (A.)  Bellessa (G.). — Voir Duquesne (JY.)  Benière (F.). — Voir Agrawal (V. K.)  Benoit (A.). — Voir Ribault (M.)  Benoit (C.). — Voir Bernier (P.)  Benoit (C.). — Voir Giordano (J.)  Bernard (L.), Saint-Paul (M.) and Joffrin (J.). — Electric dipolar echoes in smoky quartz  Bernier (P.), Rolland (M.), Galtier (M.), Montaner (A.), Regis (M.), Candille (M.), Benoit (C.), Aldissi (M.), Linaya (C.), Schué (F.), Sledz (J.), Fabre (J. M.) and Giral (L.). — Electronic properties of non-doped and doped polyacetylene films studied by E.S.R.  Berton (A.), Chaussy (J.), Odin (J.), Rammal (R.), Souletie (J.) and Tournier (R.). — Energy relaxation in	L-189 L-381 L-385 L-193 L-49 L-413 L-297 L-153 L-593
Aadsen (D.). — Voir Guillon (D.)  Abelès (F.). — Voir Lopez-Rios (T.)  Abenoza (M.), Armengaud (A.) et Rault (J.). — Cristallisation à basse température du polybutène-1: étude par effet Raman  Adam (M.) and Delsanti (M.). — Viscosity and reptation time in polystyrene-benzene semidilute solutions.  Adam (M.), Delsanti (M.), Okasha (R.) and Hild (G.). — Viscosity study in the reaction bath of the radical copolymerization of styrene divinylbenzene.  Adam (M.), Delsanti (M.) and Pouyet (G.). — Diffusion coefficient in a semi-dilute solution measured by concentration gradient technique and compared to quasielastic light scattering results.  Agrawal (V. K.) and Benière (F.). — Residual radioactivity of silicon doped by transmutation  Aldissi (M.). — Voir Giordano (J.)  Andrieux (A.), Duroure (C.), Jérome (D.) and Bechgaard (K.).  — The metallic state of the organic conductor TMTSF-DMTCNQ at low temperature under pressure  Andrieux (A.), Schulz (H. J.), Jérome (D.) and Bech-	L-459 L-343 L-445 L-523 L-539 L-435 L-49 L-297 L-153	Bartis (F. J.). — The transitional plasticity of ammonium chloride  Bastard (G.) and Lewiner (C.). — Indirect exchange interaction in parabolic symmetry-induced zero gap semiconductors.  Bechgaard (K.). — Voir Andrieux (A.)  Bechgaard (K.). — Voir Andrieux (A.)  Bellessa (G.). — Voir Duquesne (JY.)  Benière (F.). — Voir Agrawal (V. K.)  Benoit (A.). — Voir Ribault (M.)  Benoit (C.). — Voir Bernier (P.)  Benoit (C.). — Voir Giordano (J.)  Bernard (L.), Saint-Paul (M.) and Joffrin (J.). — Electric dipolar echoes in smoky quartz.  Bernier (P.), Rolland (M.), Galtier (M.), Montaner (A.), Regis (M.), Candille (M.), Benoit (C.), Aldissi (M.), Linaya (C.), Schué (F.), Sledz (J.), Fabre (J. M.) and Giral (L.). — Electronic properties of non-doped and doped polyacetylene films studied by E.S.R.  Berton (A.), Chaussy (J.), Odin (J.), Rammal (R.), Souletie (J.) and Tournier (R.). — Energy relaxation in the spin glass AuFe 4% at low temperatures.	L-189 L-381 L-385 L-193 L-49 L-413 L-297 L-153 L-593
Aadsen (D.). — Voir Guillon (D.) Abelès (F.). — Voir Lopez-Rios (T.) Abenoza (M.), Armengaud (A.) et Rault (J.). — Cristallisation à basse température du polybutène-1: étude par effet Raman Adam (M.) and Delsanti (M.). — Viscosity and reptation time in polystyrene-benzene semidilute solutions. Adam (M.), Delsanti (M.), Okasha (R.) and Hild (G.). — Viscosity study in the reaction bath of the radical copolymerization of styrene divinylbenzene.  Adam (M.), Delsanti (M.) and Pouyet (G.). — Diffusion coefficient in a semi-dilute solution measured by concentration gradient technique and compared to quasielastic light scattering results.  Agrawal (V. K.) and Benière (F.). — Residual radioactivity of silicon doped by transmutation Aldissi (M.). — Voir Giordano (J.). Andrieux (A.), Duroure (C.), Jérome (D.) and Bechgaard (K.). — The metallic state of the organic conductor TMTSF-DMTCNQ at low temperature under pressure  Andrieux (A.), Schulz (H. J.), Jérome (D.) and Bechgaard (K.). — Fluctuation conductivity in 1-D con-	L-459 L-343 L-445 L-523 L-539 L-435 L-49 L-297 L-153	Bartis (F. J.). — The transitional plasticity of ammonium chloride  Bastard (G.) and Lewiner (C.). — Indirect exchange interaction in parabolic symmetry-induced zero gap semiconductors.  Bechgaard (K.). — Voir Andrieux (A.)  Bechgaard (K.). — Voir Andrieux (A.)  Bellessa (G.). — Voir Duquesne (JY.)  Benière (F.). — Voir Agrawal (V. K.)  Benoit (A.). — Voir Ribault (M.)  Benoit (C.). — Voir Bernier (P.)  Benoit (C.). — Voir Giordano (J.)  Bernard (L.), Saint-Paul (M.) and Joffrin (J.). — Electric dipolar echoes in smoky quartz.  Bernier (P.), Rolland (M.), Galtier (M.), Montaner (A.), Regis (M.), Candille (M.), Benoit (C.), Aldissi (M.), Linaya (C.), Schué (F.), Sledz (J.), Fabre (J. M.) and Giral (L.). — Electronic properties of non-doped and doped polyacetylene films studied by E.S.R.  Berton (A.), Chaussy (J.), Odin (J.), Rammal (R.), Souletie (J.) and Tournier (R.). — Energy relaxation in the spin glass AuFe 4% at low temperatures.  Besson (J. M.). — Voir Pinceaux (J. P.)	L-189 L-381 L-385 L-193 L-49 L-413 L-297 L-153 L-593
Aadsen (D.). — Voir Guillon (D.) Abelès (F.). — Voir Lopez-Rios (T.) Abenoza (M.), Armengaud (A.) et Rault (J.). — Cristallisation à basse température du polybutène-1: étude par effet Raman Adam (M.) and Delsanti (M.). — Viscosity and reptation time in polystyrene-benzene semidilute solutions. Adam (M.), Delsanti (M.), Okasha (R.) and Hild (G.). — Viscosity study in the reaction bath of the radical copolymerization of styrene divinylbenzene.  Adam (M.), Delsanti (M.) and Pouyet (G.). — Diffusion coefficient in a semi-dilute solution measured by concentration gradient technique and compared to quasielastic light scattering results.  Agrawal (V. K.) and Benière (F.). — Residual radioactivity of silicon doped by transmutation Aldissi (M.). — Voir Bernier (P.). Almairac (R.). — Voir Giordano (J.).  — The metallic state of the organic conductor TMTSF-DMTCNQ at low temperature under pressure Andrieux (A.), Schulz (H. J.), Jérome (D.) and Bechgaard (K.). — Fluctuation conductivity in 1-D conductor tetrathiafulvalene-tetracyanoquinodimethane (TTF-TCNQ)	L-459 L-343 L-445 L-523 L-539 L-435 L-49 L-297 L-153 L-381	Bartis (F. J.). — The transitional plasticity of ammonium chloride  Bastard (G.) and Lewiner (C.). — Indirect exchange interaction in parabolic symmetry-induced zero gap semiconductors.  Bechgaard (K.). — Voir Andrieux (A.)  Bechgaard (K.). — Voir Andrieux (A.)  Bellessa (G.). — Voir Duquesne (JY.)  Benière (F.). — Voir Agrawal (V. K.)  Benoit (A.). — Voir Ribault (M.)  Benoit (C.). — Voir Bernier (P.)  Benoit (C.). — Voir Giordano (J.)  Bernard (L.), Saint-Paul (M.) and Joffrin (J.). — Electric dipolar echoes in smoky quartz.  Bernier (P.), Rolland (M.), Galtier (M.), Montaner (A.), Regis (M.), Candille (M.), Benoit (C.), Aldissi (M.), Linaya (C.), Schué (F.), Sledz (J.), Fabre (J. M.) and Giral (L.). — Electronic properties of non-doped and doped polyacetylene films studied by E.S.R.  Berton (A.), Chaussy (J.), Odin (J.), Rammal (R.), Souletie (J.) and Tournier (R.). — Energy relaxation in the spin glass AuFe 4% at low temperatures.  Besson (J. M.). — Voir Pinceaux (J. P.).  Beuneu (B.). — Elastorésistivité des paires de Frenkel dans	L-189 L-381 L-385 L-193 L-49 L-413 L-297 L-153 L-593
Aadsen (D.). — Voir Guillon (D.) Abelès (F.). — Voir Lopez-Rios (T.) Abenoza (M.), Armengaud (A.) et Rault (J.). — Cristallisation à basse température du polybutène-1: étude par effet Raman Adam (M.) and Delsanti (M.). — Viscosity and reptation time in polystyrene-benzene semidilute solutions. Adam (M.), Delsanti (M.), Okasha (R.) and Hild (G.). — Viscosity study in the reaction bath of the radical copolymerization of styrene divinylbenzene.  Adam (M.), Delsanti (M.) and Pouyet (G.). — Diffusion coefficient in a semi-dilute solution measured by concentration gradient technique and compared to quasielastic light scattering results.  Agrawal (V. K.) and Benière (F.). — Residual radioactivity of silicon doped by transmutation Aldissi (M.). — Voir Bernier (P.). Almairac (R.). — Voir Giordano (J.).  — The metallic state of the organic conductor TMTSF-DMTCNQ at low temperature under pressure Andrieux (A.), Schulz (H. J.), Jérome (D.) and Bechgaard (K.). — Fluctuation conductivity in 1-D conductor tetrathiafulvalene-tetracyanoquinodimethane (TTF-TCNQ)	L-459 L-343 L-445 L-523 L-539 L-435 L-49 L-297 L-153 L-381	Bartis (F. J.). — The transitional plasticity of ammonium chloride  Bastard (G.) and Lewiner (C.). — Indirect exchange interaction in parabolic symmetry-induced zero gap semiconductors  Bechgaard (K.). — Voir Andrieux (A.)  Bechgaard (K.). — Voir Andrieux (A.)  Bellessa (G.). — Voir Duquesne (JY.)  Benière (F.). — Voir Agrawal (V. K.)  Benoit (A.). — Voir Ribault (M.)  Benoit (C.). — Voir Bernier (P.)  Benoit (C.). — Voir Giordano (J.)  Bernard (L.), Saint-Paul (M.) and Joffrin (J.). — Electric dipolar echoes in smoky quartz.  Bernier (P.), Rolland (M.), Galtier (M.), Montaner (A.), Regis (M.), Candille (M.), Benoit (C.), Aldissi (M.), Linaya (C.), Schué (F.), Sledz (J.), Fabre (J. M.) and Giral (L.). — Electronic properties of non-doped and doped polyacetylene films studied by E.S.R.  Berton (A.), Chaussy (J.), Odin (J.), Rammal (R.), Souletie (J.) and Tournier (R.). — Energy relaxation in the spin glass AuFe 4% at low temperatures.  Besson (J. M.). — Voir Pinceaux (J. P.).  Beuneu (B.). — Elastorésistivité des paires de Frenkel dans le cuivre.	L-189 L-381 L-385 L-193 L-49 L-413 L-297 L-153 L-593
Aadsen (D.). — Voir Guillon (D.) Abelès (F.). — Voir Lopez-Rios (T.) Abenoza (M.), Armengaud (A.) et Rault (J.). — Cristallisation à basse température du polybutène-1: étude par effet Raman Adam (M.) and Delsanti (M.). — Viscosity and reptation time in polystyrene-benzene semidilute solutions. Adam (M.), Delsanti (M.), Okasha (R.) and Hild (G.). — Viscosity study in the reaction bath of the radical copolymerization of styrene divinylbenzene.  Adam (M.), Delsanti (M.) and Pouyet (G.). — Diffusion coefficient in a semi-dilute solution measured by concentration gradient technique and compared to quasielastic light scattering results.  Agrawal (V. K.) and Benière (F.). — Residual radioactivity of silicon doped by transmutation Aldissi (M.). — Voir Bernier (P.). Almairac (R.). — Voir Giordano (J.).  Andrieux (A.), Duroure (C.), Jérome (D.) and Bechgaard (K.). — The metallic state of the organic conductor TMTSF-DMTCNQ at low temperature under pressure Andrieux (A.), Schulz (H. J.), Jérome (D.) and Bechgaard (K.). — Fluctuation conductivity in 1-D conductor tetrathiafulvalene-tetracyanoquinodimethane (TTF-TCNQ)  Armengaud (A.). — Voir Abenoza (M.)	L-459 L-343 L-445 L-523 L-539 L-435 L-49 L-297 L-153 L-381	Bartis (F. J.). — The transitional plasticity of ammonium chloride  Bastard (G.) and Lewiner (C.). — Indirect exchange interaction in parabolic symmetry-induced zero gap semiconductors.  Bechgaard (K.). — Voir Andrieux (A.)  Bechgaard (K.). — Voir Andrieux (A.)  Bellessa (G.). — Voir Duquesne (JY.)  Benière (F.). — Voir Agrawal (V. K.)  Benoit (A.). — Voir Ribault (M.)  Benoit (C.). — Voir Bernier (P.)  Benoit (C.). — Voir Giordano (J.)  Bernard (L.), Saint-Paul (M.) and Joffrin (J.). — Electric dipolar echoes in smoky quartz.  Bernier (P.), Rolland (M.), Galtier (M.), Montaner (A.), Regis (M.), Candille (M.), Benoit (C.), Aldissi (M.), Linaya (C.), Schué (F.), Sledz (J.), Fabre (J. M.) and Giral (L.). — Electronic properties of non-doped and doped polyacetylene films studied by E.S.R.  Berton (A.), Chaussy (J.), Odin (J.), Rammal (R.), Souletie (J.) and Tournier (R.). — Energy relaxation in the spin glass AuFe 4% at low temperatures.  Besson (J. M.). — Voir Pinceaux (J. P.).  Beuneu (B.). — Elastorésistivité des paires de Frenkel dans le cuivre.  Bevza (Yu. G.), Karamushko (V. I.) and Dmitrenko (I. M.).	L-189 L-381 L-385 L-193 L-49 L-413 L-297 L-153 L-593
Aadsen (D.). — Voir Guillon (D.) Abelès (F.). — Voir Lopez-Rios (T.) Abenoza (M.), Armengaud (A.) et Rault (J.). — Cristallisation à basse température du polybutène-1: étude par effet Raman Adam (M.) and Delsanti (M.). — Viscosity and reptation time in polystyrene-benzene semidilute solutions. Adam (M.), Delsanti (M.), Okasha (R.) and Hild (G.). — Viscosity study in the reaction bath of the radical copolymerization of styrene divinylbenzene.  Adam (M.), Delsanti (M.) and Pouyet (G.). — Diffusion coefficient in a semi-dilute solution measured by concentration gradient technique and compared to quasielastic light scattering results.  Agrawal (V. K.) and Benière (F.). — Residual radioactivity of silicon doped by transmutation Aldissi (M.). — Voir Bernier (P.). Almairac (R.). — Voir Giordano (J.).  Andrieux (A.), Duroure (C.), Jérome (D.) and Bechgaard (K.). — The metallic state of the organic conductor TMTSF-DMTCNQ at low temperature under pressure Andrieux (A.), Schulz (H. J.), Jérome (D.) and Bechgaard (K.). — Fluctuation conductivity in 1-D conductor tetrathiafulvalene-tetracyanoquinodimethane (TTF-TCNQ)  Armengaud (A.). — Voir Abenoza (M.)  Azema (A.). — Voir Saissy (A.).	L-459 L-343 L-445 L-523 L-539 L-435 L-49 L-297 L-153 L-381	Bartis (F. J.). — The transitional plasticity of ammonium chloride  Bastard (G.) and Lewiner (C.). — Indirect exchange interaction in parabolic symmetry-induced zero gap semiconductors.  Bechgaard (K.). — Voir Andrieux (A.)  Bechgaard (K.). — Voir Andrieux (A.)  Bellessa (G.). — Voir Duquesne (JY.)  Benière (F.). — Voir Agrawal (V. K.)  Benoit (A.). — Voir Ribault (M.)  Benoit (C.). — Voir Bernier (P.)  Benoit (C.). — Voir Giordano (J.)  Bernard (L.), Saint-Paul (M.) and Joffrin (J.). — Electric dipolar echoes in smoky quartz.  Bernier (P.), Rolland (M.), Galtier (M.), Montaner (A.), Regis (M.), Candille (M.), Benoit (C.), Aldissi (M.), Linaya (C.), Schué (F.), Sledz (J.), Fabre (J. M.) and Giral (L.). — Electronic properties of non-doped and doped polyacetylene films studied by E.S.R.  Berton (A.), Chaussy (J.), Odin (J.), Rammal (R.), Souletie (J.) and Tournier (R.). — Energy relaxation in the spin glass AuFe 4% at low temperatures.  Besson (J. M.). — Voir Pinceaux (J. P.).  Beuneu (B.). — Elastorésistivité des paires de Frenkel dans le cuivre.  Bevza (Yu. G.), Karamushko (V. I.) and Dmitrenko (I. M.). — Microwave irradiation stimulated superconductivity	L-189 L-381 L-385 L-193 L-413 L-297 L-153 L-593 L-593
Aadsen (D.). — Voir Guillon (D.) Abelès (F.). — Voir Lopez-Rios (T.) Abenoza (M.), Armengaud (A.) et Rault (J.). — Cristallisation à basse température du polybutène-1: étude par effet Raman Adam (M.) and Delsanti (M.). — Viscosity and reptation time in polystyrene-benzene semidilute solutions. Adam (M.), Delsanti (M.), Okasha (R.) and Hild (G.). — Viscosity study in the reaction bath of the radical copolymerization of styrene divinylbenzene. Adam (M.), Delsanti (M.) and Pouyet (G.). — Diffusion coefficient in a semi-dilute solution measured by concentration gradient technique and compared to quasielastic light scattering results.  Agrawal (V. K.) and Benière (F.). — Residual radioactivity of silicon doped by transmutation Aldissi (M.). — Voir Bernier (P.). Almairac (R.). — Voir Giordano (J.). Andrieux (A.), Duroure (C.), Jérome (D.) and Bechgaard (K.). — The metallic state of the organic conductor TMTSF-DMTCNQ at low temperature under pressure Andrieux (A.), Schulz (H. J.), Jérome (D.) and Bechgaard (K.). — Fluctuation conductivity in 1-D conductor tetrathiafulvalene-tetracyanoquinodimethane (TTF-TCNQ)  Armengaud (A.). — Voir Saissy (A.). Bacri (J. C.), Dumas (J.) and Levelut (A.). — Very slow propagating mode at audiofrequencies in gel.	L-459 L-343 L-445 L-523 L-539 L-435 L-49 L-297 L-153 L-381 L-385 L-445 L-23	Bartis (F. J.). — The transitional plasticity of ammonium chloride  Bastard (G.) and Lewiner (C.). — Indirect exchange interaction in parabolic symmetry-induced zero gap semiconductors  Bechgaard (K.). — Voir Andrieux (A.)  Bechgaard (K.). — Voir Andrieux (A.)  Bellessa (G.). — Voir Duquesne (JY.)  Benière (F.). — Voir Agrawal (V. K.)  Benoit (A.). — Voir Bernier (P.)  Benoit (C.). — Voir Giordano (J.)  Bernard (L.), Saint-Paul (M.) and Joffrin (J.). — Electric dipolar echoes in smoky quartz.  Bernier (P.), Rolland (M.), Galtier (M.), Montaner (A.), Regis (M.), Candille (M.), Benoit (C.), Aldissi (M.), Linaya (C.), Schué (F.), Sledz (J.), Fabre (J. M.) and Giral (L.). — Electronic properties of non-doped and doped polyacetylene films studied by E.S.R.  Berton (A.), Chaussy (J.), Odin (J.), Rammal (R.), Souletie (J.) and Tournier (R.). — Energy relaxation in the spin glass AuFe 4% at low temperatures.  Besson (J. M.). — Voir Pinceaux (J. P.).  Beuneu (B.). — Elastorésistivité des paires de Frenkel dans le cuivre.  Bevza (Yu. G.), Karamushko (V. I.) and Dmitrenko (I. M.). — Microwave irradiation stimulated superconductivity and Josephson effect in cross-like film structures.	L-189 L-381 L-385 L-193 L-49 L-413 L-297 L-153 L-593
Aadsen (D.). — Voir Guillon (D.) Abelès (F.). — Voir Lopez-Rios (T.) Abenoza (M.), Armengaud (A.) et Rault (J.). — Cristallisation à basse température du polybutène-1: étude par effet Raman Adam (M.) and Delsanti (M.). — Viscosity and reptation time in polystyrene-benzene semidilute solutions. Adam (M.), Delsanti (M.), Okasha (R.) and Hild (G.). — Viscosity study in the reaction bath of the radical copolymerization of styrene divinylbenzene. Adam (M.), Delsanti (M.) and Pouyet (G.). — Diffusion coefficient in a semi-dilute solution measured by concentration gradient technique and compared to quasielastic light scattering results.  Agrawal (V. K.) and Benière (F.). — Residual radioactivity of silicon doped by transmutation Aldissi (M.). — Voir Bernier (P.). Almairac (R.). — Voir Giordano (J.). Andrieux (A.), Duroure (C.), Jérome (D.) and Bechgaard (K.). — The metallic state of the organic conductor TMTSF-DMTCNQ at low temperature under pressure Andrieux (A.), Schulz (H. J.), Jérome (D.) and Bechgaard (K.). — Fluctuation conductivity in 1-D conductor tetrathiafulvalene-tetracyanoquinodimethane (TTF-TCNQ)  Armengaud (A.). — Voir Saissy (A.). Bacri (J. C.), Dumas (J.) and Levelut (A.). — Very slow propagating mode at audiofrequencies in gel.	L-459 L-343 L-445 L-523 L-539 L-435 L-49 L-297 L-153 L-381	Bartis (F. J.). — The transitional plasticity of ammonium chloride  Bastard (G.) and Lewiner (C.). — Indirect exchange interaction in parabolic symmetry-induced zero gap semiconductors  Bechgaard (K.). — Voir Andrieux (A.)  Bechgaard (K.). — Voir Andrieux (A.)  Bellessa (G.). — Voir Duquesne (JY.)  Benière (F.). — Voir Agrawal (V. K.).  Benoit (A.). — Voir Bernier (P.)  Benoit (C.). — Voir Giordano (J.)  Bernard (L.), Saint-Paul (M.) and Joffrin (J.). — Electric dipolar echoes in smoky quartz.  Bernier (P.), Rolland (M.), Galtier (M.), Montaner (A.), Regis (M.), Candille (M.), Benoit (C.), Aldissi (M.), Linaya (C.), Schué (F.), Sledz (J.), Fabre (J. M.) and Giral (L.). — Electronic properties of non-doped and doped polyacetylene films studied by E.S.R.  Berton (A.), Chaussy (J.), Odin (J.), Rammal (R.), Souletie (J.) and Tournier (R.). — Energy relaxation in the spin glass AuFe 4% at low temperatures.  Besson (J. M.). — Voir Pinceaux (J. P.).  Beuneu (B.). — Elastorésistivité des paires de Frenkel dans le cuivre.  Bevza (Yu. G.), Karamushko (V. I.) and Dmitrenko (I. M.). — Microwave irradiation stimulated superconductivity and Josephson effect in cross-like film structures.  Beysens (D.) and Gbadamassi (M.). — Shear-induced transers de Frenkel dans le cuivre.	L-189 L-381 L-385 L-193 L-413 L-297 L-153 L-593 L-297 L-391 L-307 L-547
Aadsen (D.). — Voir Guillon (D.) Abelès (F.). — Voir Lopez-Rios (T.) Abenoza (M.), Armengaud (A.) et Rault (J.). — Cristal- lisation à basse température du polybutène-1: étude par effet Raman Adam (M.) and Delsanti (M.). — Viscosity and reptation time in polystyrene-benzene semidilute solutions. Adam (M.), Delsanti (M.), Okasha (R.) and Hild (G.). — Viscosity study in the reaction bath of the radical copolymerization of styrene divinylbenzene.  Adam (M.), Delsanti (M.) and Pouyet (G.). — Diffusion coefficient in a semi-dilute solution measured by concentration gradient technique and compared to quasielastic light scattering results.  Agrawal (V. K.) and Benière (F.). — Residual radioactivity of silicon doped by transmutation Aldissi (M.). — Voir Bernier (P.).  Almairac (R.). — Voir Giordano (J.).  Andrieux (A.), Duroure (C.), Jérome (D.) and Bechgaard (K.).  — The metallic state of the organic conductor TMTSF- DMTCNQ at low temperature under pressure  Andrieux (A.), Schulz (H. J.), Jérome (D.) and Bech- gaard (K.). — Fluctuation conductivity in 1-D con- ductor tetrathiafulvalene-tetracyanoquinodimethane (TTF-TCNQ)  Armengaud (A.). — Voir Abenoza (M.)  Azema (A.). — Voir Saissy (A.)  Bacri (J. C.), Dumas (J.) and Levelut (A.). — Very slow propagating mode at audiofrequencies in gel.  Bacri (JC.) et Rajaonarison (R.). — Etude ultrasonore des phénomènes critiques dans les gels	L-459 L-343 L-445 L-523 L-539 L-435 L-49 L-297 L-153 L-381 L-385 L-445 L-23 L-231	Bartis (F. J.). — The transitional plasticity of ammonium chloride  Bastard (G.) and Lewiner (C.). — Indirect exchange interaction in parabolic symmetry-induced zero gap semiconductors  Bechgaard (K.). — Voir Andrieux (A.)  Bechgaard (K.). — Voir Andrieux (A.)  Bellessa (G.). — Voir Duquesne (JY.)  Benière (F.). — Voir Agrawal (V. K.).  Benoit (A.). — Voir Bernier (P.)  Benoit (C.). — Voir Giordano (J.)  Bernard (L.), Saint-Paul (M.) and Joffrin (J.). — Electric dipolar echoes in smoky quartz.  Bernier (P.), Rolland (M.), Galtier (M.), Montaner (A.), Regis (M.), Candille (M.), Benoit (C.), Aldissi (M.), Linaya (C.), Schué (F.), Sledz (J.), Fabre (J. M.) and Giral (L.). — Electronic properties of non-doped and doped polyacetylene films studied by E.S.R.  Berton (A.), Chaussy (J.), Odin (J.), Rammal (R.), Souletie (J.) and Tournier (R.). — Energy relaxation in the spin glass AuFe 4% at low temperatures.  Besson (J. M.). — Voir Pinceaux (J. P.).  Beuneu (B.). — Elastorésistivité des paires de Frenkel dans le cuivre.  Bevza (Yu. G.), Karamushko (V. I.) and Dmitrenko (I. M.). — Microwave irradiation stimulated superconductivity and Josephson effect in cross-like film structures.  Beysens (D.) and Gbadamassi (M.). — Shear-induced transition to mean-field critical behavior.	L-189 L-381 L-385 L-193 L-413 L-297 L-153 L-593 L-593
Aadsen (D.). — Voir Guillon (D.) Abelès (F.). — Voir Lopez-Rios (T.) Abenoza (M.), Armengaud (A.) et Rault (J.). — Cristallisation à basse température du polybutène-1: étude par effet Raman Adam (M.) and Delsanti (M.). — Viscosity and reptation time in polystyrene-benzene semidilute solutions. Adam (M.), Delsanti (M.), Okasha (R.) and Hild (G.). — Viscosity study in the reaction bath of the radical copolymerization of styrene divinylbenzene.  Adam (M.), Delsanti (M.) and Pouyet (G.). — Diffusion coefficient in a semi-dilute solution measured by concentration gradient technique and compared to quasielastic light scattering results.  Agrawal (V. K.) and Benière (F.). — Residual radioactivity of silicon doped by transmutation Aldissi (M.). — Voir Giordano (J.). Andrieux (A.), Duroure (C.), Jérome (D.) and Bechgaard (K.). — The metallic state of the organic conductor TMTSF-DMTCNQ at low temperature under pressure Andrieux (A.), Schulz (H. J.), Jérome (D.) and Bechgaard (K.). — Fluctuation conductivity in 1-D conductor tetrathiafulvalene-tetracyanoquinodimethane (TTF-TCNQ)  Armengaud (A.). — Voir Abenoza (M.)  Azema (A.). — Voir Saissy (A.).  Bacri (J. C.), Dumas (J.) and Levelut (A.). — Very slow propagating mode at audiofrequencies in gel.  Bacri (JC.) et Rajaonarison (R.). — Etude ultrasonore de phénomènes critiques dans les gels.  Bacri (JC.) et Rajaonarison (R.). — Etude ultrasonore de	L-459 L-343 L-445 L-523 L-539 L-435 L-49 L-297 L-153 L-381 L-385 L-445 L-23	Bartis (F. J.). — The transitional plasticity of ammonium chloride  Bastard (G.) and Lewiner (C.). — Indirect exchange interaction in parabolic symmetry-induced zero gap semiconductors  Bechgaard (K.). — Voir Andrieux (A.)  Bechgaard (K.). — Voir Andrieux (A.)  Bellessa (G.). — Voir Duquesne (JY.)  Benière (F.). — Voir Agrawal (V. K.).  Benoit (A.). — Voir Ribault (M.).  Benoit (C.). — Voir Bernier (P.)  Benoit (C.). — Voir Giordano (J.)  Bernard (L.), Saint-Paul (M.) and Joffrin (J.). — Electric dipolar echoes in smoky quartz.  Bernier (P.), Rolland (M.), Galtier (M.), Montaner (A.), Regis (M.), Candille (M.), Benoit (C.), Aldissi (M.), Linaya (C.), Schué (F.), Sledz (J.), Fabre (J. M.) and Giral (L.). — Electronic properties of non-doped and doped polyacetylene films studied by E.S.R.  Berton (A.), Chaussy (J.), Odin (J.), Rammal (R.), Souletie (J.) and Tournier (R.). — Energy relaxation in the spin glass AuFe 4% at low temperatures.  Besson (J. M.). — Voir Pinceaux (J. P.).  Beuneu (B.). — Elastorésistivité des paires de Frenkel dans le cuivre.  Bevza (Yu. G.), Karamushko (V. I.) and Dmitrenko (I. M.). — Microwave irradiation stimulated superconductivity and Josephson effect in cross-like film structures.  Beysens (D.) and Gbadamassi (M.). — Shear-induced transition to mean-field critical behavior.  Beysens (D.), Tufeu (R.) and Garrabos (Y.). — Universal	L-189 L-381 L-385 L-193 L-413 L-297 L-153 L-593 L-297 L-391 L-307 L-547
Aadsen (D.). — Voir Guillon (D.) Abelès (F.). — Voir Lopez-Rios (T.) Abenoza (M.), Armengaud (A.) et Rault (J.). — Cristallisation à basse température du polybutène-1: étude par effet Raman Adam (M.) and Delsanti (M.). — Viscosity and reptation time in polystyrene-benzene semidilute solutions. Adam (M.), Delsanti (M.), Okasha (R.) and Hild (G.). — Viscosity study in the reaction bath of the radical copolymerization of styrene divinylbenzene.  Adam (M.), Delsanti (M.) and Pouyet (G.). — Diffusion coefficient in a semi-dilute solution measured by concentration gradient technique and compared to quasielastic light scattering results.  Agrawal (V. K.) and Benière (F.). — Residual radioactivity of silicon doped by transmutation Aldissi (M.). — Voir Bernier (P.). Almairac (R.). — Voir Giordano (J.). Andrieux (A.), Duroure (C.), Jérome (D.) and Bechgaard (K.). — The metallic state of the organic conductor TMTSF-DMTCNQ at low temperature under pressure Andrieux (A.), Schulz (H. J.), Jérome (D.) and Bechgaard (K.). — Fluctuation conductivity in 1-D conductor tetrathiafulvalene-tetracyanoquinodimethane (TTF-TCNQ)  Armengaud (A.). — Voir Saissy (A.).  Bacri (J. C.), Dumas (J.) and Levelut (A.). — Very slow propagating mode at audiofrequencies in gel.  Bacri (JC.) et Rajaonarison (R.). — Etude ultrasonore	L-459 L-343 L-445 L-523 L-539 L-435 L-49 L-297 L-153 L-381 L-385 L-445 L-23 L-231	Bartis (F. J.). — The transitional plasticity of ammonium chloride  Bastard (G.) and Lewiner (C.). — Indirect exchange interaction in parabolic symmetry-induced zero gap semiconductors  Bechgaard (K.). — Voir Andrieux (A.)  Bechgaard (K.). — Voir Andrieux (A.)  Bellessa (G.). — Voir Duquesne (JY.)  Benière (F.). — Voir Agrawal (V. K.).  Benoit (A.). — Voir Bernier (P.)  Benoit (C.). — Voir Giordano (J.)  Bernard (L.), Saint-Paul (M.) and Joffrin (J.). — Electric dipolar echoes in smoky quartz.  Bernier (P.), Rolland (M.), Galtier (M.), Montaner (A.), Regis (M.), Candille (M.), Benoit (C.), Aldissi (M.), Linaya (C.), Schué (F.), Sledz (J.), Fabre (J. M.) and Giral (L.). — Electronic properties of non-doped and doped polyacetylene films studied by E.S.R.  Berton (A.), Chaussy (J.), Odin (J.), Rammal (R.), Souletie (J.) and Tournier (R.). — Energy relaxation in the spin glass AuFe 4% at low temperatures.  Besson (J. M.). — Voir Pinceaux (J. P.).  Beuneu (B.). — Elastorésistivité des paires de Frenkel dans le cuivre.  Bevza (Yu. G.), Karamushko (V. I.) and Dmitrenko (I. M.). — Microwave irradiation stimulated superconductivity and Josephson effect in cross-like film structures.  Beysens (D.) and Gbadamassi (M.). — Shear-induced transition to mean-field critical behavior.	L-189 L-381 L-385 L-193 L-413 L-297 L-153 L-593 L-297 L-391 L-307 L-547

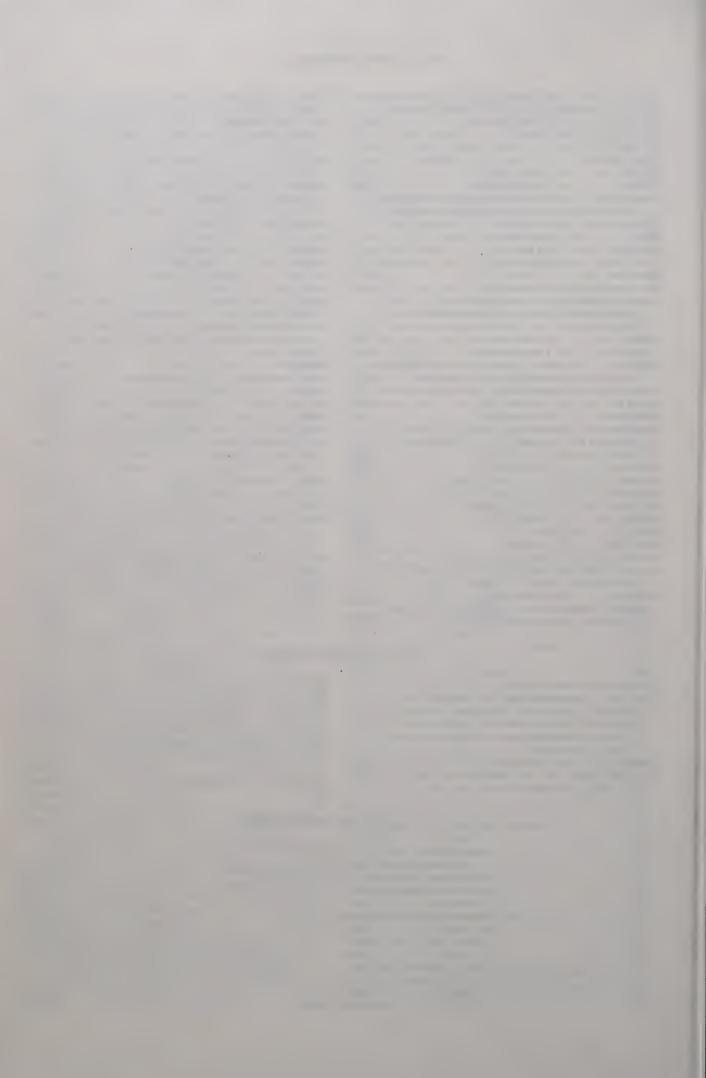
THE RELEASE CO. C. L.			
Bienfait (M.). — Voir Glachant (A.)	L-543	Delsanti (M.). — Voir Adam (M.)	L-435
Biljaković-Franulović (K.), Tomić (S.), Prester (M.) and		Delsanti (M.). — Voir Adam (M.)	L-523
Djurek (D.). — Calorimetric study of the phase tran-		Delsanti (M.). — Voir Adam (M.).	L-539
sitions in HMTTF-TCNQ	T 151		L-339
Bœuf (A.), Fournier (J. M.), Gueugnon (J. F.), Manes (L.),	L-151	Desjonquères (M. C.). — Surface relaxation and electronic	
Pobinant (I) I D (II III (B)), Wranes (L.),		structure of Mo and W(100)	L-249
Rebizant (J.) and Rustichelli (F.). — Neutron dif-		Destrade (C.). — Voir Cotrait (M.)	L-519
fraction study of <sup>243</sup> AmO <sub>2</sub>	L-335	Deutscher (G.) and Rappaport (M. L.). — Critical currents	
Bon (A. M.). Voir Giordano (J.)	L-153	of superconducting aluminium-germanium and lead-	
Detino (T) Y7 C H (A)	L-23	germanium thin film alloys near the metal-insulator	
Bourgoin (J. C.). — Voir Mooney (P. M.)	L-19		I 210
Brochard (F.) et De Gennes (P. G.). — Conformations de	L-17	transition	L-219
malum has for the delines (F. G.). — Conformations de		Devoret (M.). — Voir Sullivan (N. S.)	L-559
polymères fondus dans des pores très petits	L-399	Dianoux (A. J.). — Voir Volino (F.)	L-583
Bulou (A.), Theveneau (H.), Trokiner (A.) and Papon (P.).		Djurek (D.). — Voir Biljaković-Franulović (K.)	L-151
<sup>87</sup> Rb NMR study at the cubic to tetragonal phase		Dmitrenko (I. M.). — Voir Bevza (Yu. G.)	L-101
transition in RbCaF <sub>3</sub>	L-277	Dmitriev (V. M.) and Khristenko (E. V.). — Nonequilibrium	_ 101
Bunge (H. J.) and Esling (C.). — Determination of the odd	D Z / /		T 05
	1 (27	superconductivity in microwave field	L-85
part of the texture function	L-627	Dolino (G.), Pique (J. P.) and Vallade (M.). — Second	
Burlet (P.), Rossat-Mignod (J.) and Matsuura (M.).		harmonic measurement of the order parameter	
Magnetic structure of cobalt formate dihydrate: a		variation near the multicritical point of NH <sub>4</sub> Cl	L-303
single crystal determination	L-455	Doucet (J.). — Relation between the herringbone packing	
Cabos (C.), Delord (P.) et Martin (J. C.). — Etude, par		and the chain behaviour in the ordered smetic phases	L-185
diffusion des neutrons, de l'ordre local dans une phase			100
	I 407	Doukhan (N.). — T.E.M. investigations of room tempe-	T (00
micellaire ionique directe	L-407	rature microplasticity in MgAl <sub>2</sub> O <sub>4</sub> spinel	L-603
Calmettes (P.). — Universal ratios of critical amplitudes for		<b>Duclos (R.).</b> — Study of the precipitation in MgO. 3.5 Al <sub>2</sub> O <sub>3</sub>	
the shear viscosity	L-535	during creep experiments	L-109
Candille (M.). — Voir Bernier (P.)	L-297	Dumas (J.). — Voir Bacri (J. C.)	L-231
Capiomont (Y.). — Voir Cinti (R. C.)	L-377	Duquesne (JY.) and Bellessa (G.). — Ultrasound propa-	
Castaing (B.). — Voir Schumacher (G.)	L-143	gation in amorphous polystyrene at low temperature	L-193
Cazaux (J.). — Microanalyse par radiographie X à	2 1 13		L-173
	Y 005	Dural (J.) et Quéré (Y.). — Déformation sous contrainte	
balayage et fluorescence X : une conception nouvelle	L-227	de LiF irradié à 20 K	L-369
Chabre (Y.). — Voir Schumacher (G.)	L-143	Duroure (C.). — Voir Andrieux (A.)	L-381
Chakraverty (B. K.). — Possibility of insulator to super-		Economou (E. N.). — Voir Zdetsis (A. D.)	L-253
conductor phase transition	L-99	El Alaoui-Bichri. — Voir Giordano (J.)	
Charvolin (J.), Levelut (A. M.) and Samulski (E. T.).			L-153
		Esling (C.). — Voir Bunge (H. J.)	L-627
Lyotropic nematics : molecular aggregation and	¥ 505	Fabre (J. M.). — Voir Bernier (P.)	L-297
susceptibilities	L-587	Flouquet (J.). — Voir Ribault (M.)	L-413
Chassagne (G.). — Voir Treilleux (M.)	L-161	Fournier (J. M.). — Voir B œuf (A.)	L-335
Chassagne (G.). — Voir Treilleux (M.)	L-283		
Chaussemy (G.). — Viscosity, hard sphere diameter and		Frossati (G.). — Voir Hebral (B.)	L-41
interionic potential for liquid lead	L-347	Frost (J. C.). — Voir Leadbetter (A. J.)	L-325
	D-3-1	Evachout (D) Voir Toscomo (C V)	L-105
		Fruchart (R.). — Voir Tessema (G. X.)	L-103
Chaussemy (G.) and Laugier (A.). — Viscosity and radial		Fruchart (D.). — Voir Commandre (M.).	L-639
Chaussemy (G.) and Laugier (A.). — Viscosity and radial distribution function in $Pb_xSe_{(1-x)}$ melts for stoe-		Fruchart (D.). — Voir Commandre (M.)	L-639
Chaussemy (G.) and Laugier (A.). — Viscosity and radial	L-529	Fruchart (D.). — Voir Commandre (M.)	
Chaussemy (G.) and Laugier (A.). — Viscosity and radial distribution function in $Pb_xSe_{(1-x)}$ melts for stoe-	L-529 L-391	Fruchart (D.). — Voir Commandre (M.)	L-639 L-171
<ul> <li>Chaussemy (G.) and Laugier (A.). — Viscosity and radial distribution function in Pb<sub>x</sub>Se<sub>(1-x)</sub> melts for stoe-chiometric and peritectic compositions.</li> <li>Chaussy (J.). — Voir Berton (A.).</li> </ul>	L-391	Fruchart (D.). — Voir Commandre (M.)	L-639 L-171 L-73
Chaussemy (G.) and Laugier (A.). — Viscosity and radial distribution function in Pb <sub>x</sub> Se <sub>(1-x)</sub> melts for stoe-chiometric and peritectic compositions		Fruchart (D.). — Voir Commandre (M.)	L-639 L-171
Chaussemy (G.) and Laugier (A.). — Viscosity and radial distribution function in Pb <sub>x</sub> Se <sub>(1-x)</sub> melts for stoe-chiometric and peritectic compositions	L-391	Fruchart (D.). — Voir Commandre (M.)	L-639 L-171 L-73
Chaussemy (G.) and Laugier (A.). — Viscosity and radial distribution function in Pb <sub>x</sub> Se <sub>(1-x)</sub> melts for stoe-chiometric and peritectic compositions	L-391 L-19	Fruchart (D.). — Voir Commandre (M.).  Fukuro (H.). — Voir Okano (K.).  Galerne (Y.). — Apparent biaxiality due to oriented defects in samples of lamellar liquid crystals.  Galtier (M.). — Voir Bernier (P.).  Garrabos (Y.). — Voir Beysens (D.)	L-639 L-171 L-73 L-297 L-623
Chaussemy (G.) and Laugier (A.). — Viscosity and radial distribution function in Pb <sub>x</sub> Se <sub>(1-x)</sub> melts for stoe-chiometric and peritectic compositions	L-391 L-19	Fruchart (D.). — Voir Commandre (M.).  Fukuro (H.). — Voir Okano (K.).  Galerne (Y.). — Apparent biaxiality due to oriented defects in samples of lamellar liquid crystals.  Galtier (M.). — Voir Bernier (P.).  Garrabos (Y.). — Voir Beysens (D.).  Gbadamassi (M.). — Voir Beysens (D.).	L-639 L-171 L-73 L-297
Chaussemy (G.) and Laugier (A.). — Viscosity and radial distribution function in Pb <sub>x</sub> Se <sub>(1-x)</sub> melts for stoe-chiometric and peritectic compositions	L-391 L-19 L-377 L-459	Fruchart (D.). — Voir Commandre (M.).  Fukuro (H.). — Voir Okano (K.).  Galerne (Y.). — Apparent biaxiality due to oriented defects in samples of lamellar liquid crystals.  Galtier (M.). — Voir Bernier (P.).  Garrabos (Y.). — Voir Beysens (D.).  Gbadamassi (M.). — Voir Beysens (D.).  Geissler (E.) and Hecht (A. M.). — Translational and	L-639 L-171 L-73 L-297 L-623 L-565
Chaussemy (G.) and Laugier (A.). — Viscosity and radial distribution function in Pb <sub>x</sub> Se <sub>(1-x)</sub> melts for stoe-chiometric and peritectic compositions	L-391 L-19	Fruchart (D.). — Voir Commandre (M.).  Fukuro (H.). — Voir Okano (K.).  Galerne (Y.). — Apparent biaxiality due to oriented defects in samples of lamellar liquid crystals.  Galtier (M.). — Voir Bernier (P.).  Garrabos (Y.). — Voir Beysens (D.).  Gbadamassi (M.). — Voir Beysens (D.).  Geissler (E.) and Hecht (A. M.). — Translational and collective diffusion in semi-dilute gels.	L-639 L-171 L-73 L-297 L-623 L-565 L-173
Chaussemy (G.) and Laugier (A.). — Viscosity and radial distribution function in Pb <sub>x</sub> Se <sub>(1-x)</sub> melts for stoe-chiometric and peritectic compositions	L-391 L-19 L-377 L-459	Fruchart (D.). — Voir Commandre (M.).  Fukuro (H.). — Voir Okano (K.).  Galerne (Y.). — Apparent biaxiality due to oriented defects in samples of lamellar liquid crystals.  Galtier (M.). — Voir Bernier (P.).  Garrabos (Y.). — Voir Beysens (D.).  Gbadamassi (M.). — Voir Beysens (D.).  Geissler (E.) and Hecht (A. M.). — Translational and collective diffusion in semi-dilute gels.  Gerland (M.). — Voir Woirgard (J.).	L-639 L-171 L-73 L-297 L-623 L-565
Chaussemy (G.) and Laugier (A.). — Viscosity and radial distribution function in Pb <sub>x</sub> Se <sub>(1-x)</sub> melts for stoe-chiometric and peritectic compositions. — Chaussy (J.). — Voir Berton (A.). — Cherki (M.). — Voir Mooney (P. M.) — Cinti (R. C.), Nguyen (T. T. A.) and Capiomont (Y.). — UV photoemission from Pt (111) and Pt(S) [6(111) × (100)] surfaces — Cladis (P.). — Voir Guillon (D.) — Colliex (C.). — Voir Sudraud (P.) — Commandre (M.), Fruchart (D.), Rouault (A.), Sauvage (D.),	L-391 L-19 L-377 L-459	Fruchart (D.). — Voir Commandre (M.).  Fukuro (H.). — Voir Okano (K.)	L-639 L-171 L-73 L-297 L-623 L-565 L-173 L-339
Chaussemy (G.) and Laugier (A.). — Viscosity and radial distribution function in Pb <sub>x</sub> Se <sub>(1-x)</sub> melts for stoe-chiometric and peritectic compositions	L-391 L-19 L-377 L-459 L-207	Fruchart (D.). — Voir Commandre (M.).  Fukuro (H.). — Voir Okano (K.).  Galerne (Y.). — Apparent biaxiality due to oriented defects in samples of lamellar liquid crystals.  Galtier (M.). — Voir Bernier (P.).  Garrabos (Y.). — Voir Beysens (D.).  Gbadamassi (M.). — Voir Beysens (D.).  Geissler (E.) and Hecht (A. M.). — Translational and collective diffusion in semi-dilute gels.  Gerland (M.). — Voir Woirgard (J.).	L-639 L-171 L-73 L-297 L-623 L-565 L-173
Chaussemy (G.) and Laugier (A.). — Viscosity and radial distribution function in Pb <sub>x</sub> Se <sub>(1-x)</sub> melts for stoe-chiometric and peritectic compositions	L-391 L-19 L-377 L-459	Fruchart (D.). — Voir Commandre (M.).  Fukuro (H.). — Voir Okano (K.)	L-639 L-171 L-73 L-297 L-623 L-565 L-173 L-339
Chaussemy (G.) and Laugier (A.). — Viscosity and radial distribution function in Pb <sub>x</sub> Se <sub>(1-x)</sub> melts for stoe-chiometric and peritectic compositions	L-391 L-19 L-377 L-459 L-207	Fruchart (D.). — Voir Commandre (M.)	L-639 L-171 L-73 L-297 L-623 L-565 L-173 L-339
Chaussemy (G.) and Laugier (A.). — Viscosity and radial distribution function in Pb <sub>x</sub> Se <sub>(1-x)</sub> melts for stoe-chiometric and peritectic compositions	L-391 L-19 L-377 L-459 L-207	Fruchart (D.). — Voir Commandre (M.).  Fukuro (H.). — Voir Okano (K.)	L-639 L-171 L-73 L-297 L-623 L-565 L-173 L-339 L-153 L-297
Chaussemy (G.) and Laugier (A.). — Viscosity and radial distribution function in Pb <sub>x</sub> Se <sub>(1-x)</sub> melts for stoe-chiometric and peritectic compositions	L-391 L-19 L-377 L-459 L-207	Fruchart (D.). — Voir Commandre (M.).  Fukuro (H.). — Voir Okano (K.).  Galerne (Y.). — Apparent biaxiality due to oriented defects in samples of lamellar liquid crystals.  Galtier (M.). — Voir Bernier (P.).  Garrabos (Y.). — Voir Beysens (D.).  Gbadamassi (M.). — Voir Beysens (D.).  Geissler (E.) and Hecht (A. M.). — Translational and collective diffusion in semi-dilute gels.  Gerland (M.). — Voir Woirgard (J.).  Giordano (J.), El Alaoui-Bichri, Benoit (C.), Almairac (R.) and Bon (A. M.). — Infrared spectrum of FeF2  Giral (L.). — Voir Bernier (P.).  Giraud (B. G.). — Converging approximations for the calculation of the energy in terms of Planck's constant	L-639 L-171 L-297 L-623 L-565 L-173 L-339 L-153 L-297
Chaussemy (G.) and Laugier (A.). — Viscosity and radial distribution function in Pb <sub>x</sub> Se <sub>(1-x)</sub> melts for stoe-chiometric and peritectic compositions	L-391 L-19 L-377 L-459 L-207	Fruchart (D.). — Voir Commandre (M.).  Fukuro (H.). — Voir Okano (K.).  Galerne (Y.). — Apparent biaxiality due to oriented defects in samples of lamellar liquid crystals.  Galtier (M.). — Voir Bernier (P.).  Garrabos (Y.). — Voir Beysens (D.).  Gbadamassi (M.). — Voir Beysens (D.).  Geissler (E.) and Hecht (A. M.). — Translational and collective diffusion in semi-dilute gels.  Gerland (M.). — Voir Woirgard (J.).  Giordano (J.), El Alaoui-Bichri, Benoit (C.), Almairac (R.) and Bon (A. M.). — Infrared spectrum of FeF2  Giral (L.). — Voir Bernier (P.).  Giraud (B. G.). — Converging approximations for the calculation of the energy in terms of Planck's constant Gires (F.). — Voir Saïssy (A.).	L-639 L-171 L-73 L-297 L-623 L-565 L-173 L-339 L-153 L-297
Chaussemy (G.) and Laugier (A.). — Viscosity and radial distribution function in Pb <sub>x</sub> Se <sub>(1-x)</sub> melts for stoe-chiometric and peritectic compositions.  Chaussy (J.). — Voir Berton (A.)  Cherki (M.). — Voir Mooney (P. M.)  Cinti (R. C.), Nguyen (T. T. A.) and Capiomont (Y.). —  UV photoemission from Pt (111) and  Pt(S) [6(111) × (100)] surfaces  Cladis (P.). — Voir Guillon (D.)  Colliex (C.). — Voir Sudraud (P.)  Commandre (M.), Fruchart (D.), Rouault (A.), Sauvage (D.),  Shoemaker (C. B.) et Shoemaker (D. P.). — Etude  par diffraction neutronique des composés Mn <sub>23</sub> Y <sub>6</sub> D <sub>x</sub> Cotrait (M.), Marsau (P.), Destrade (C.) and Malthete (J.).  — Crystalline arrangement of some disc like compounds  Coulomb (J. P.). — Voir Glachant (A.)	L-391 L-19 L-377 L-459 L-207 L-639 L-519 L-543	Fruchart (D.). — Voir Commandre (M.).  Fukuro (H.). — Voir Okano (K.).  Galerne (Y.). — Apparent biaxiality due to oriented defects in samples of lamellar liquid crystals.  Galtier (M.). — Voir Bernier (P.).  Garrabos (Y.). — Voir Beysens (D.).  Gbadamassi (M.). — Voir Beysens (D.).  Geissler (E.) and Hecht (A. M.). — Translational and collective diffusion in semi-dilute gels.  Gerland (M.). — Voir Woirgard (J.).  Giordano (J.), El Alaoui-Bichri, Benoit (C.), Almairac (R.) and Bon (A. M.). — Infrared spectrum of FeF2  Giral (L.). — Voir Bernier (P.).  Giraud (B. G.). — Converging approximations for the calculation of the energy in terms of Planck's constant	L-639 L-171 L-297 L-623 L-565 L-173 L-339 L-153 L-297
Chaussemy (G.) and Laugier (A.). — Viscosity and radial distribution function in Pb <sub>x</sub> Se <sub>(1-x)</sub> melts for stoe-chiometric and peritectic compositions	L-391 L-19 L-377 L-459 L-207 L-639 L-519 L-543 L-45	Fruchart (D.). — Voir Commandre (M.).  Fukuro (H.). — Voir Okano (K.).  Galerne (Y.). — Apparent biaxiality due to oriented defects in samples of lamellar liquid crystals.  Galtier (M.). — Voir Bernier (P.).  Garrabos (Y.). — Voir Beysens (D.).  Gbadamassi (M.). — Voir Beysens (D.).  Geissler (E.) and Hecht (A. M.). — Translational and collective diffusion in semi-dilute gels.  Gerland (M.). — Voir Woirgard (J.).  Giordano (J.), El Alaoui-Bichri, Benoit (C.), Almairac (R.) and Bon (A. M.). — Infrared spectrum of FeF2  Giral (L.). — Voir Bernier (P.).  Giraud (B. G.). — Converging approximations for the calculation of the energy in terms of Planck's constant Gires (F.). — Voir Saïssy (A.).  Glachant (A.), Coulomb (J. P.), Bienfait (M.) and	L-639 L-171 L-297 L-623 L-565 L-173 L-339 L-153 L-297
Chaussemy (G.) and Laugier (A.). — Viscosity and radial distribution function in Pb <sub>x</sub> Se <sub>(1-x)</sub> melts for stoe-chiometric and peritectic compositions	L-391 L-19 L-377 L-459 L-207 L-639 L-519 L-543 L-45 L-459	Fruchart (D.). — Voir Commandre (M.).  Fukuro (H.). — Voir Okano (K.).  Galerne (Y.). — Apparent biaxiality due to oriented defects in samples of lamellar liquid crystals.  Galtier (M.). — Voir Bernier (P.).  Garrabos (Y.). — Voir Beysens (D.).  Gbadamassi (M.). — Voir Beysens (D.).  Geissler (E.) and Hecht (A. M.). — Translational and collective diffusion in semi-dilute gels.  Gerland (M.). — Voir Woirgard (J.).  Giordano (J.), El Alaoui-Bichri, Benoit (C.), Almairac (R.) and Bon (A. M.). — Infrared spectrum of FeF2  Giral (L.). — Voir Bernier (P.).  Giraud (B. G.). — Converging approximations for the calculation of the energy in terms of Planck's constant Gires (F.). — Voir Saïssy (A.).  Glachant (A.), Coulomb (J. P.), Bienfait (M.) and Dash (J. G.). — A first order two-dimensional melting	L-639 L-171 L-73 L-297 L-623 L-565 L-173 L-339 L-153 L-297
Chaussemy (G.) and Laugier (A.). — Viscosity and radial distribution function in Pb <sub>x</sub> Se <sub>(1-x)</sub> melts for stoe-chiometric and peritectic compositions	L-391 L-19 L-377 L-459 L-207 L-639 L-519 L-543 L-45 L-459 L-201	Fruchart (D.). — Voir Commandre (M.).  Fukuro (H.). — Voir Okano (K.).  Galerne (Y.). — Apparent biaxiality due to oriented defects in samples of lamellar liquid crystals.  Galtier (M.). — Voir Bernier (P.).  Garrabos (Y.). — Voir Beysens (D.)  Gbadamassi (M.). — Voir Beysens (D.)  Geissler (E.) and Hecht (A. M.). — Translational and collective diffusion in semi-dilute gels  Gerland (M.). — Voir Woirgard (J.).  Giordano (J.), El Alaoui-Bichri, Benoit (C.), Almairac (R.) and Bon (A. M.). — Infrared spectrum of FeF2  Giral (L.). — Voir Bernier (P.)  Giraud (B. G.). — Converging approximations for the calculation of the energy in terms of Planck's constant Gires (F.). — Voir Saïssy (A.)  Glachant (A.), Coulomb (J. P.), Bienfait (M.) and Dash (J. G.). — A first order two-dimensional melting transition: methane adsorbed on (0001) graphite	L-639 L-171 L-73 L-297 L-623 L-565 L-173 L-339 L-153 L-297 L-15 L-23
Chaussemy (G.) and Laugier (A.). — Viscosity and radial distribution function in Pb <sub>x</sub> Se <sub>(1-x)</sub> melts for stoe-chiometric and peritectic compositions	L-391 L-19 L-377 L-459 L-207 L-639 L-519 L-543 L-45 L-459	Fruchart (D.). — Voir Commandre (M.).  Fukuro (H.). — Voir Okano (K.).  Galerne (Y.). — Apparent biaxiality due to oriented defects in samples of lamellar liquid crystals.  Galtier (M.). — Voir Bernier (P.).  Garrabos (Y.). — Voir Beysens (D.).  Gbadamassi (M.). — Voir Beysens (D.).  Geissler (E.) and Hecht (A. M.). — Translational and collective diffusion in semi-dilute gels.  Gerland (M.). — Voir Woirgard (J.).  Giordano (J.), El Alaoui-Bichri, Benoit (C.), Almairac (R.) and Bon (A. M.). — Infrared spectrum of FeF2  Giral (L.). — Voir Bernier (P.).  Giraud (B. G.). — Converging approximations for the calculation of the energy in terms of Planck's constant Gires (F.). — Voir Saïssy (A.).  Glachant (A.), Coulomb (J. P.), Bienfait (M.) and Dash (J. G.). — A first order two-dimensional melting transition: methane adsorbed on (0001) graphite  Godfrin (H.). — Voir Hebral (B.)	L-639 L-171 L-73 L-297 L-623 L-565 L-173 L-339 L-153 L-297
Chaussemy (G.) and Laugier (A.). — Viscosity and radial distribution function in Pb <sub>x</sub> Se <sub>(1-x)</sub> melts for stoe-chiometric and peritectic compositions	L-391 L-19 L-377 L-459 L-207 L-639 L-519 L-543 L-45 L-459 L-201	Fruchart (D.). — Voir Commandre (M.).  Fukuro (H.). — Voir Okano (K.).  Galerne (Y.). — Apparent biaxiality due to oriented defects in samples of lamellar liquid crystals.  Galtier (M.). — Voir Bernier (P.).  Garrabos (Y.). — Voir Beysens (D.).  Gbadamassi (M.). — Voir Beysens (D.).  Geissler (E.) and Hecht (A. M.). — Translational and collective diffusion in semi-dilute gels.  Gerland (M.). — Voir Woirgard (J.).  Giordano (J.), El Alaoui-Bichri, Benoit (C.), Almairac (R.) and Bon (A. M.). — Infrared spectrum of FeF2  Giral (L.). — Voir Bernier (P.).  Giraud (B. G.). — Converging approximations for the calculation of the energy in terms of Planck's constant Gires (F.). — Voir Saïssy (A.).  Glachant (A.), Coulomb (J. P.), Bienfait (M.) and Dash (J. G.). — A first order two-dimensional melting transition: methane adsorbed on (0001) graphite  Godfrin (H.). — Voir Hebral (B.).  Golovashkin (A. I.), Lykov (A. N.), Novikov (V. I.) and	L-639 L-171 L-73 L-297 L-623 L-565 L-173 L-339 L-153 L-297 L-15 L-23
Chaussemy (G.) and Laugier (A.). — Viscosity and radial distribution function in Pb <sub>x</sub> Se <sub>(1-x)</sub> melts for stoe-chiometric and peritectic compositions	L-391 L-19 L-377 L-459 L-207 L-639 L-519 L-543 L-45 L-459 L-201	Fruchart (D.). — Voir Commandre (M.).  Fukuro (H.). — Voir Okano (K.).  Galerne (Y.). — Apparent biaxiality due to oriented defects in samples of lamellar liquid crystals.  Galtier (M.). — Voir Bernier (P.).  Garrabos (Y.). — Voir Beysens (D.).  Gbadamassi (M.). — Voir Beysens (D.).  Geissler (E.) and Hecht (A. M.). — Translational and collective diffusion in semi-dilute gels.  Gerland (M.). — Voir Woirgard (J.).  Giordano (J.), El Alaoui-Bichri, Benoit (C.), Almairac (R.) and Bon (A. M.). — Infrared spectrum of FeF2  Giral (L.). — Voir Bernier (P.).  Giraud (B. G.). — Converging approximations for the calculation of the energy in terms of Planck's constant Gires (F.). — Voir Saïssy (A.).  Glachant (A.), Coulomb (J. P.), Bienfait (M.) and Dash (J. G.). — A first order two-dimensional melting transition: methane adsorbed on (0001) graphite  Godfrin (H.). — Voir Hebral (B.)	L-639 L-171 L-73 L-297 L-623 L-565 L-173 L-339 L-153 L-297 L-15 L-23
Chaussemy (G.) and Laugier (A.). — Viscosity and radial distribution function in Pb <sub>x</sub> Se <sub>(1-x)</sub> melts for stoe-chiometric and peritectic compositions	L-391 L-19 L-377 L-459 L-207 L-639 L-519 L-543 L-45 L-459 L-201	Fruchart (D.). — Voir Commandre (M.).  Fukuro (H.). — Voir Okano (K.).  Galerne (Y.). — Apparent biaxiality due to oriented defects in samples of lamellar liquid crystals.  Galtier (M.). — Voir Bernier (P.).  Garrabos (Y.). — Voir Beysens (D.).  Gbadamassi (M.). — Voir Beysens (D.).  Geissler (E.) and Hecht (A. M.). — Translational and collective diffusion in semi-dilute gels.  Gerland (M.). — Voir Woirgard (J.).  Giordano (J.), El Alaoui-Bichri, Benoit (C.), Almairac (R.) and Bon (A. M.). — Infrared spectrum of FeF2  Giral (L.). — Voir Bernier (P.).  Giraud (B. G.). — Converging approximations for the calculation of the energy in terms of Planck's constant Gires (F.). — Voir Saïssy (A.).  Glachant (A.), Coulomb (J. P.), Bienfait (M.) and Dash (J. G.). — A first order two-dimensional melting transition: methane adsorbed on (0001) graphite  Godfrin (H.). — Voir Hebral (B.).  Golovashkin (A. I.), Lykov (A. N.), Novikov (V. I.) and	L-639 L-171 L-73 L-297 L-623 L-565 L-173 L-339 L-153 L-297 L-15 L-23
Chaussemy (G.) and Laugier (A.). — Viscosity and radial distribution function in Pb <sub>x</sub> Se <sub>(1-x)</sub> melts for stoe-chiometric and peritectic compositions.  Chaussy (J.). — Voir Berton (A.)	L-391 L-19 L-377 L-459 L-207 L-639 L-519 L-543 L-45 L-459 L-201 L-543	Fruchart (D.). — Voir Commandre (M.).  Fukuro (H.). — Voir Okano (K.).  Galerne (Y.). — Apparent biaxiality due to oriented defects in samples of lamellar liquid crystals.  Galtier (M.). — Voir Bernier (P.).  Garrabos (Y.). — Voir Beysens (D.).  Gbadamassi (M.). — Voir Beysens (D.).  Geissler (E.) and Hecht (A. M.). — Translational and collective diffusion in semi-dilute gels.  Gerland (M.). — Voir Woirgard (J.).  Giordano (J.), El Alaoui-Bichri, Benoit (C.), Almairac (R.) and Bon (A. M.). — Infrared spectrum of FeF2  Giral (L.). — Voir Bernier (P.).  Giraud (B. G.). — Converging approximations for the calculation of the energy in terms of Planck's constant Gires (F.). — Voir Saïssy (A.).  Glachant (A.), Coulomb (J. P.), Bienfait (M.) and Dash (J. G.). — A first order two-dimensional melting transition: methane adsorbed on (0001) graphite  Godfrin (H.). — Voir Hebral (B.).  Golovashkin (A. I.), Lykov (A. N.), Novikov (V. I.) and Zhurkin (B. G.). — AC Josephson effect in Nb <sub>3</sub> Sn thin-film bridges.	L-639 L-171 L-73 L-297 L-623 L-565 L-173 L-339 L-153 L-297 L-15 L-23 L-543 L-41
Chaussemy (G.) and Laugier (A.). — Viscosity and radial distribution function in Pb <sub>x</sub> Se <sub>(1-x)</sub> melts for stoe-chiometric and peritectic compositions.  Chaussy (J.). — Voir Berton (A.)	L-391 L-19 L-377 L-459 L-207 L-639 L-519 L-543 L-45 L-459 L-201 L-543	Fruchart (D.). — Voir Commandre (M.).  Fukuro (H.). — Voir Okano (K.).  Galerne (Y.). — Apparent biaxiality due to oriented defects in samples of lamellar liquid crystals.  Galtier (M.). — Voir Bernier (P.).  Garrabos (Y.). — Voir Beysens (D.).  Gbadamassi (M.). — Voir Beysens (D.).  Geissler (E.) and Hecht (A. M.). — Translational and collective diffusion in semi-dilute gels.  Gerland (M.). — Voir Woirgard (J.).  Giordano (J.), El Alaoui-Bichri, Benoit (C.), Almairac (R.) and Bon (A. M.). — Infrared spectrum of FeF2  Giral (L.). — Voir Bernier (P.).  Giraud (B. G.). — Converging approximations for the calculation of the energy in terms of Planck's constant Gires (F.). — Voir Saïssy (A.).  Glachant (A.), Coulomb (J. P.), Bienfait (M.) and Dash (J. G.). — A first order two-dimensional melting transition: methane adsorbed on (0001) graphite  Godfrin (H.). — Voir Hebral (B.).  Golovashkin (A. I.), Lykov (A. N.), Novikov (V. I.) and Zhurkin (B. G.). — AC Josephson effect in Nb <sub>3</sub> Sn thin-film bridges.  Graciaa (A.). — Voir Lachaise (J.).	L-639 L-171 L-73 L-297 L-623 L-565 L-173 L-339 L-153 L-297 L-15 L-23 L-543 L-41
Chaussemy (G.) and Laugier (A.). — Viscosity and radial distribution function in Pb <sub>x</sub> Se <sub>(1-x)</sub> melts for stoe-chiometric and peritectic compositions.  Chaussy (J.). — Voir Berton (A.).  Cherki (M.). — Voir Mooney (P. M.).  Cinti (R. C.), Nguyen (T. T. A.) and Capiomont (Y.). — UV photoemission from Pt (111) and Pt(S) [6(111) × (100)] surfaces.  Cladis (P.). — Voir Guillon (D.).  Colliex (C.). — Voir Sudraud (P.).  Commandre (M.), Fruchart (D.), Rouault (A.), Sauvage (D.), Shoemaker (C. B.) et Shoemaker (D. P.). — Etude par diffraction neutronique des composés Mn <sub>23</sub> Y <sub>6</sub> D <sub>x</sub> Cotrait (M.), Marsau (P.), Destrade (C.) and Malthete (J.). — Crystalline arrangement of some disc like compounds  Coulomb (J. P.). — Voir Glachant (A.).  Cyrot-Lackmann (F.). — Voir Khanna (S. N.)  Daniels (W. B.). — Voir Guillon (D.).  Daoud (M.). — Vulcanization and critical exponents  Debray (D.), Decker (D. L.) and Saint-James (R.). — Neutron diffraction study of the compressibility of the quasi-one-dimensional conductor KCP(Br) under hydrostatic pressures.  Decker (D. L.). — Voir Debray (D.)	L-391 L-19 L-377 L-459 L-207 L-639 L-519 L-543 L-45 L-459 L-201 L-543	Fruchart (D.). — Voir Commandre (M.).  Fukuro (H.). — Voir Okano (K.).  Galerne (Y.). — Apparent biaxiality due to oriented defects in samples of lamellar liquid crystals.  Galtier (M.). — Voir Bernier (P.).  Garrabos (Y.). — Voir Beysens (D.).  Gbadamassi (M.). — Voir Beysens (D.).  Geissler (E.) and Hecht (A. M.). — Translational and collective diffusion in semi-dilute gels.  Gerland (M.). — Voir Woirgard (J.).  Giordano (J.), El Alaoui-Bichri, Benoit (C.), Almairac (R.) and Bon (A. M.). — Infrared spectrum of FeF2  Giral (L.). — Voir Bernier (P.).  Giraud (B. G.). — Converging approximations for the calculation of the energy in terms of Planck's constant Gires (F.). — Voir Saissy (A.)	L-639 L-171 L-73 L-297 L-623 L-565 L-173 L-339 L-153 L-297 L-15 L-23 L-543 L-41
Chaussemy (G.) and Laugier (A.). — Viscosity and radial distribution function in Pb <sub>x</sub> Se <sub>(1-x)</sub> melts for stoe-chiometric and peritectic compositions.  Chaussy (J.). — Voir Berton (A.).  Cherki (M.). — Voir Mooney (P. M.)  Cinti (R. C.), Nguyen (T. T. A.) and Capiomont (Y.). — UV photoemission from Pt (111) and Pt(S) [6(111) × (100)] surfaces.  Cladis (P.). — Voir Guillon (D.)  Colliex (C.). — Voir Sudraud (P.)  Commandre (M.), Fruchart (D.), Rouault (A.), Sauvage (D.), Shoemaker (C. B.) et Shoemaker (D. P.). — Etude par diffraction neutronique des composés Mn <sub>23</sub> Y <sub>6</sub> D <sub>x</sub> Cotrait (M.), Marsau (P.), Destrade (C.) and Malthete (J.). — Crystalline arrangement of some disc like compounds  Coulomb (J. P.). — Voir Glachant (A.)  Cyrot-Lackmann (F.). — Voir Glachant (A.)  Daniels (W. B.). — Voir Guillon (D.)  Daoud (M.). — Vulcanization and critical exponents  Dash (J. G.). — Voir Glachant (A.)  Debray (D.), Decker (D. L.) and Saint-James (R.). — Neutron diffraction study of the compressibility of the quasi-one-dimensional conductor KCP(Br) under hydrostatic pressures  Decker (D. L.). — Voir Debray (D.)  De Gennes (P. G.). — Effect of cross-links on a mixture of	L-391 L-19 L-377 L-459 L-207 L-639 L-519 L-543 L-45 L-459 L-201 L-543	Fruchart (D.). — Voir Commandre (M.).  Fukuro (H.). — Voir Okano (K.).  Galerne (Y.). — Apparent biaxiality due to oriented defects in samples of lamellar liquid crystals.  Galtier (M.). — Voir Bernier (P.).  Garrabos (Y.). — Voir Beysens (D.).  Gbadamassi (M.). — Voir Beysens (D.).  Geissler (E.) and Hecht (A. M.). — Translational and collective diffusion in semi-dilute gels.  Gerland (M.). — Voir Woirgard (J.).  Giordano (J.), El Alaoui-Bichri, Benoit (C.), Almairac (R.) and Bon (A. M.). — Infrared spectrum of FeF2  Giral (L.). — Voir Bernier (P.).  Giraud (B. G.). — Converging approximations for the calculation of the energy in terms of Planck's constant Gires (F.). — Voir Saissy (A.).  Glachant (A.), Coulomb (J. P.), Bienfait (M.) and Dash (J. G.). — A first order two-dimensional melting transition: methane adsorbed on (0001) graphite  Godfrin (H.). — Voir Hebral (B.).  Golovashkin (A. I.), Lykov (A. N.), Novikov (V. I.) and Zhurkin (B. G.). — AC Josephson effect in Nb <sub>3</sub> Sn thin-film bridges.  Graciaa (A.). — Voir Lachaise (J.).  Gueugnon (J. F.). — Voir B œuf (A.).  Guillon (D.), Cladis (P.), Stamatoff (J.), Aadsen (D.) et	L-639 L-171 L-73 L-297 L-623 L-565 L-173 L-339 L-153 L-297 L-15 L-23 L-543 L-41
Chaussemy (G.) and Laugier (A.). — Viscosity and radial distribution function in Pb <sub>x</sub> Se <sub>(1-x)</sub> melts for stoe-chiometric and peritectic compositions.  Chaussy (J.). — Voir Berton (A.).  Cherki (M.). — Voir Mooney (P. M.)  Cinti (R. C.), Nguyen (T. T. A.) and Capiomont (Y.). —  UV photoemission from Pt (111) and  Pt(S) [6(111) × (100)] surfaces.  Cladis (P.). — Voir Guillon (D.)  Colliex (C.). — Voir Sudraud (P.).  Commandre (M.), Fruchart (D.), Rouault (A.), Sauvage (D.),  Shoemaker (C. B.) et Shoemaker (D. P.). — Etude par diffraction neutronique des composés Mn <sub>23</sub> Y <sub>6</sub> D <sub>x</sub> Cotrait (M.), Marsau (P.), Destrade (C.) and Malthete (J.).  — Crystalline arrangement of some disc like compounds  Coulomb (J. P.). — Voir Glachant (A.).  Cyrot-Lackmann (F.). — Voir Khanna (S. N.)  Daniels (W. B.). — Voir Guillon (D.).  Daoud (M.). — Vulcanization and critical exponents  Dash (J. G.). — Voir Glachant (A.)  Debray (D.), Decker (D. L.) and Saint-James (R.). —  Neutron diffraction study of the compressibility of the quasi-one-dimensional conductor KCP(Br) under hydrostatic pressures  Decker (D. L.). — Voir Debray (D.)  De Gennes (P. G.). — Effect of cross-links on a mixture of polymers	L-391 L-19 L-377 L-459 L-207 L-639 L-519 L-543 L-45 L-459 L-201 L-543	Fruchart (D.). — Voir Commandre (M.).  Fukuro (H.). — Voir Okano (K.).  Galerne (Y.). — Apparent biaxiality due to oriented defects in samples of lamellar liquid crystals.  Galtier (M.). — Voir Bernier (P.).  Garrabos (Y.). — Voir Beysens (D.).  Gbadamassi (M.). — Voir Beysens (D.).  Geissler (E.) and Hecht (A. M.). — Translational and collective diffusion in semi-dilute gels.  Gerland (M.). — Voir Woirgard (J.).  Giordano (J.), El Alaoui-Bichri, Benoit (C.), Almairac (R.) and Bon (A. M.). — Infrared spectrum of FeF2  Giral (L.). — Voir Bernier (P.).  Giraud (B. G.). — Converging approximations for the calculation of the energy in terms of Planck's constant Gires (F.). — Voir Saissy (A.)	L-639 L-171 L-73 L-297 L-623 L-565 L-173 L-339 L-153 L-297 L-15 L-23 L-41 L-77 L-599 L-335
Chaussemy (G.) and Laugier (A.). — Viscosity and radial distribution function in Pb <sub>x</sub> Se <sub>(1-x)</sub> melts for stoe-chiometric and peritectic compositions.  Chaussy (J.). — Voir Berton (A.).  Cherki (M.). — Voir Mooney (P. M.)  Cinti (R. C.), Nguyen (T. T. A.) and Capiomont (Y.). —  UV photoemission from Pt (111) and  Pt(S) [6(111) × (100)] surfaces.  Cladis (P.). — Voir Guillon (D.)  Colliex (C.). — Voir Sudraud (P.).  Commandre (M.), Fruchart (D.), Rouault (A.), Sauvage (D.),  Shoemaker (C. B.) et Shoemaker (D. P.). — Etude par diffraction neutronique des composés Mn <sub>23</sub> Y <sub>6</sub> D <sub>x</sub> Cotrait (M.), Marsau (P.), Destrade (C.) and Malthete (J.).  — Crystalline arrangement of some disc like compounds  Coulomb (J. P.). — Voir Glachant (A.).  Cyrot-Lackmann (F.). — Voir Khanna (S. N.)  Daniels (W. B.). — Voir Guillon (D.).  Daoud (M.). — Vulcanization and critical exponents  Dash (J. G.). — Voir Glachant (A.)  Debray (D.), Decker (D. L.) and Saint-James (R.). —  Neutron diffraction study of the compressibility of the quasi-one-dimensional conductor KCP(Br) under hydrostatic pressures  Decker (D. L.). — Voir Debray (D.)  De Gennes (P. G.). — Effect of cross-links on a mixture of polymers	L-391 L-19 L-377 L-459 L-207 L-639 L-543 L-45 L-459 L-201 L-543	Fruchart (D.). — Voir Commandre (M.).  Fukuro (H.). — Voir Okano (K.).  Galerne (Y.). — Apparent biaxiality due to oriented defects in samples of lamellar liquid crystals.  Galtier (M.). — Voir Bernier (P.).  Garrabos (Y.). — Voir Beysens (D.).  Gbadamassi (M.). — Voir Beysens (D.).  Geissler (E.) and Hecht (A. M.). — Translational and collective diffusion in semi-dilute gels.  Gerland (M.). — Voir Woirgard (J.).  Giordano (J.), El Alaoui-Bichri, Benoit (C.), Almairac (R.) and Bon (A. M.). — Infrared spectrum of FeF2  Giral (L.). — Voir Bernier (P.).  Giraud (B. G.). — Converging approximations for the calculation of the energy in terms of Planck's constant Gires (F.). — Voir Saissy (A.).  Glachant (A.), Coulomb (J. P.), Bienfait (M.) and Dash (J. G.). — A first order two-dimensional melting transition: methane adsorbed on (0001) graphite  Godfrin (H.). — Voir Hebral (B.).  Golovashkin (A. I.), Lykov (A. N.), Novikov (V. I.) and Zhurkin (B. G.). — AC Josephson effect in Nb <sub>3</sub> Sn thin-film bridges.  Graciaa (A.). — Voir Lachaise (J.).  Gueugnon (J. F.). — Voir B œuf (A.).  Guillon (D.), Cladis (P.), Stamatoff (J.), Aadsen (D.) et	L-639 L-171 L-73 L-297 L-623 L-565 L-173 L-339 L-153 L-297 L-15 L-23 L-543 L-41
Chaussemy (G.) and Laugier (A.). — Viscosity and radial distribution function in Pb <sub>x</sub> Se <sub>(1-x)</sub> melts for stoe-chiometric and peritectic compositions.  Chaussy (J.). — Voir Berton (A.).  Cherki (M.). — Voir Mooney (P. M.)  Cinti (R. C.), Nguyen (T. T. A.) and Capiomont (Y.). —  UV photoemission from Pt (111) and  Pt(S) [6(111) × (100)] surfaces.  Cladis (P.). — Voir Guillon (D.)  Colliex (C.). — Voir Sudraud (P.)  Commandre (M.), Fruchart (D.), Rouault (A.), Sauvage (D.),  Shoemaker (C. B.) et Shoemaker (D. P.). — Etude par diffraction neutronique des composés Mn <sub>23</sub> Y <sub>6</sub> D <sub>x</sub> Cotrait (M.), Marsau (P.), Destrade (C.) and Malthete (J.).  — Crystalline arrangement of some disc like compounds  Coulomb (J. P.). — Voir Glachant (A.)  Cyrot-Lackmann (F.). — Voir Khanna (S. N.)  Daniels (W. B.). — Voir Guillon (D.)  Daoud (M.). — Vulcanization and critical exponents  Dash (J. G.). — Voir Glachant (A.)  Debray (D.), Decker (D. L.) and Saint-James (R.). —  Neutron diffraction study of the compressibility of the quasi-one-dimensional conductor KCP(Br) under hydrostatic pressures  Decker (D. L.). — Voir Debray (D.)  De Gennes (P. G.). — Effect of cross-links on a mixture of polymers  De Gennes (P. G.). — Incoherent scattering near a sol gel	L-391 L-19 L-377 L-459 L-207 L-639 L-543 L-45 L-459 L-201 L-543 L-127 L-127 L-127	Fruchart (D.). — Voir Commandre (M.).  Fukuro (H.). — Voir Okano (K.).  Galerne (Y.). — Apparent biaxiality due to oriented defects in samples of lamellar liquid crystals.  Galtier (M.). — Voir Bernier (P.).  Garrabos (Y.). — Voir Beysens (D.).  Gbadamassi (M.). — Voir Beysens (D.).  Geissler (E.) and Hecht (A. M.). — Translational and collective diffusion in semi-dilute gels.  Gerland (M.). — Voir Woirgard (J.).  Giordano (J.), El Alaoui-Bichri, Benoit (C.), Almairac (R.) and Bon (A. M.). — Infrared spectrum of FeF2  Giral (L.). — Voir Bernier (P.).  Giraud (B. G.). — Converging approximations for the calculation of the energy in terms of Planck's constant Gires (F.). — Voir Saïssy (A.).  Glachant (A.), Coulomb (J. P.), Bienfait (M.) and Dash (J. G.). — A first order two-dimensional melting transition: methane adsorbed on (0001) graphite  Godfrin (H.). — Voir Hebral (B.).  Golovashkin (A. I.), Lykov (A. N.), Novikov (V. I.) and Zhurkin (B. G.). — AC Josephson effect in Nb <sub>3</sub> Sn thin-film bridges.  Graciaa (A.). — Voir Lachaise (J.).  Gueugnon (J. F.). — Voir Bœuf (A.).  Guillon (D.), Cladis (P.), Stamatoff (J.), Aadsen (D.) et Daniels (W. B.). — Etude diffractométrique d'un composé smectique C* sous pression	L-639 L-171 L-73 L-297 L-623 L-565 L-173 L-339 L-153 L-297 L-15 L-23 L-41 L-77 L-599 L-335
Chaussemy (G.) and Laugier (A.). — Viscosity and radial distribution function in Pb <sub>x</sub> Se <sub>(1-x)</sub> melts for stoe-chiometric and peritectic compositions.  Chaussy (J.). — Voir Berton (A.).  Cherki (M.). — Voir Mooney (P. M.)  Cinti (R. C.), Nguyen (T. T. A.) and Capiomont (Y.). —  UV photoemission from Pt (111) and  Pt(S) [6(111) × (100)] surfaces  Cladis (P.). — Voir Guillon (D.)  Colliex (C.). — Voir Sudraud (P.)  Commandre (M.), Fruchart (D.), Rouault (A.), Sauvage (D.),  Shoemaker (C. B.) et Shoemaker (D. P.). — Etude  par diffraction neutronique des composés Mn <sub>23</sub> Y <sub>6</sub> D <sub>x</sub> Cotrait (M.), Marsau (P.), Destrade (C.) and Malthete (J.).  — Crystalline arrangement of some disc like  compounds  Coulomb (J. P.). — Voir Glachant (A.)  Cyrot-Lackmann (F.). — Voir Khanna (S. N.)  Daniels (W. B.). — Voir Guillon (D.)  Daoud (M.). — Vulcanization and critical exponents  Dash (J. G.). — Voir Glachant (A.)  Debray (D.), Decker (D. L.) and Saint-James (R.). —  Neutron diffraction study of the compressibility of  the quasi-one-dimensional conductor KCP(Br) under  hydrostatic pressures  Decker (D. L.). — Voir Debray (D.)  De Gennes (P. G.). — Effect of cross-links on a mixture of  polymers  De Gennes (P. G.). — Incoherent scattering near a sol gel  transition	L-391 L-19 L-377 L-459 L-207 L-639 L-519 L-543 L-45 L-459 L-201 L-543 L-127 L-127 L-127	Fruchart (D.). — Voir Commandre (M.).  Fukuro (H.). — Voir Okano (K.).  Galerne (Y.). — Apparent biaxiality due to oriented defects in samples of lamellar liquid crystals.  Galtier (M.). — Voir Bernier (P.).  Garrabos (Y.). — Voir Beysens (D.).  Gbadamassi (M.). — Voir Beysens (D.).  Geissler (E.) and Hecht (A. M.). — Translational and collective diffusion in semi-dilute gels.  Gerland (M.). — Voir Woirgard (J.).  Giordano (J.), El Alaoui-Bichri, Benoit (C.), Almairac (R.) and Bon (A. M.). — Infrared spectrum of FeF2  Giral (L.). — Voir Bernier (P.).  Giraud (B. G.). — Converging approximations for the calculation of the energy in terms of Planck's constant Gires (F.). — Voir Saïssy (A.).  Glachant (A.), Coulomb (J. P.), Bienfait (M.) and Dash (J. G.). — A first order two-dimensional melting transition: methane adsorbed on (0001) graphite.  Godfrin (H.). — Voir Hebral (B.).  Golovashkin (A. I.), Lykov (A. N.), Novikov (V. I.) and Zhurkin (B. G.). — AC Josephson effect in Nb <sub>3</sub> Sn thin-film bridges.  Graciaa (A.). — Voir Lachaise (J.).  Gueugnon (J. F.). — Voir Bœuf (A.).  Guillon (D.), Cladis (P.), Stamatoff (J.), Aadsen (D.) et Daniels (W. B.). — Etude diffractométrique d'un composé smectique C* sous pression.  Guillot (G.). — Voir Nouailhat (A.).	L-639 L-171 L-73 L-297 L-623 L-565 L-173 L-339 L-153 L-297 L-15 L-23 L-543 L-41 L-77 L-599 L-335
Chaussemy (G.) and Laugier (A.). — Viscosity and radial distribution function in Pb <sub>x</sub> Se <sub>(1-x)</sub> melts for stoe-chiometric and peritectic compositions.  Chaussy (J.). — Voir Berton (A.).  Cherki (M.). — Voir Mooney (P. M.)  Cinti (R. C.), Nguyen (T. T. A.) and Capiomont (Y.). —  UV photoemission from Pt (111) and  Pt(S) [6(111) × (100)] surfaces.  Cladis (P.). — Voir Guillon (D.)  Colliex (C.). — Voir Sudraud (P.)  Commandre (M.), Fruchart (D.), Rouault (A.), Sauvage (D.),  Shoemaker (C. B.) et Shoemaker (D. P.). — Etude par diffraction neutronique des composés Mn <sub>23</sub> Y <sub>6</sub> D <sub>x</sub> Cotrait (M.), Marsau (P.), Destrade (C.) and Malthete (J.).  — Crystalline arrangement of some disc like compounds  Coulomb (J. P.). — Voir Glachant (A.)  Cyrot-Lackmann (F.). — Voir Khanna (S. N.)  Daniels (W. B.). — Voir Guillon (D.)  Daoud (M.). — Vulcanization and critical exponents  Dash (J. G.). — Voir Glachant (A.)  Debray (D.), Decker (D. L.) and Saint-James (R.). —  Neutron diffraction study of the compressibility of the quasi-one-dimensional conductor KCP(Br) under hydrostatic pressures  Decker (D. L.). — Voir Debray (D.)  De Gennes (P. G.). — Effect of cross-links on a mixture of polymers  De Gennes (P. G.). — Incoherent scattering near a sol gel	L-391 L-19 L-377 L-459 L-207 L-639 L-519 L-543 L-45 L-459 L-201 L-543 L-127 L-127 L-127 L-69 L-197 L-399	Fruchart (D.). — Voir Commandre (M.).  Fukuro (H.). — Voir Okano (K.).  Galerne (Y.). — Apparent biaxiality due to oriented defects in samples of lamellar liquid crystals.  Galtier (M.). — Voir Bernier (P.).  Garrabos (Y.). — Voir Beysens (D.).  Gbadamassi (M.). — Voir Beysens (D.).  Geissler (E.) and Hecht (A. M.). — Translational and collective diffusion in semi-dilute gels.  Gerland (M.). — Voir Woirgard (J.).  Giordano (J.), El Alaoui-Bichri, Benoit (C.), Almairac (R.) and Bon (A. M.). — Infrared spectrum of FeF2  Giral (L.). — Voir Bernier (P.).  Giraud (B. G.). — Converging approximations for the calculation of the energy in terms of Planck's constant Gires (F.). — Voir Saïssy (A.).  Glachant (A.), Coulomb (J. P.), Bienfait (M.) and Dash (J. G.). — A first order two-dimensional melting transition: methane adsorbed on (0001) graphite  Godfrin (H.). — Voir Hebral (B.).  Golovashkin (A. I.), Lykov (A. N.), Novikov (V. I.) and Zhurkin (B. G.). — AC Josephson effect in Nb <sub>3</sub> Sn thin-film bridges.  Graciaa (A.). — Voir Lachaise (J.).  Gueugnon (J. F.). — Voir Bœuf (A.).  Guillon (D.), Cladis (P.), Stamatoff (J.), Aadsen (D.) et Daniels (W. B.). — Etude diffractométrique d'un composé smectique C* sous pression	L-639 L-171 L-73 L-297 L-623 L-565 L-173 L-339 L-153 L-297 L-15 L-23 L-41 L-77 L-599 L-335

		Massignon (D.). — Voir Le Gressus (C.)	L-309
Halperin (W. P.). — On the use of CMN thermometry in	Y 050	Mathuni (O.). — Voir Zeile (H.)	L-53
specific heat measurements below 10 mK	L-373	Matsuura (M.). — Voir Burlet (P.)	L-455
Hebral (B.), Frossati (G.), Godfrin (H.), Schumacher (G.)		Maurer (J.) and Libchaber (A.). — Rayleigh-Bénard experi-	2
and Thoulouze (D.). — Specific heat measurements on	- 44	ment in liquid helium; frequency locking and the	
bcc <sup>3</sup> He from 3 to 300 mK	L-41	ment in inquid nentini, frequency locking and the	L-419
Hecht (A. M.), — Voir Geissler (E.)	L-173	onset of turbulence	L-307
Heidemann (A.). — Voir Volino (F.)	L-583	Maury (J. P.). — Voir Pinceaux (J. P.)	L-325
Héritier (M.). — Antiferromagnetic indirect exchange in		Mazid (M. A.). — Voir Leadbetter (A. J.)	L-343
<sup>3</sup> He adsorbed layers	L-451	Meerschaut (A.), Rouxel (J.), Haen (P.), Monceau (P.) and	
Hild (G.). — Voir Adam (M.)	L-539	Núñez-Regueiro (M.). — Obtention of a new phase of	
Hiramatsu (H.) Voir Okano (K.)	L-171	the one-dimensional compound TaS <sub>3</sub> : X-ray characte-	
Hoareau (A.). — Voir Joyes (P.)	L-131	rization and electrical measurements	L-157
Iosilevskii (Ya. A.). — Density of states of quasiparticles		Millaud (B.), Thierry (A.) et Skoulios (A.). — Polymères	
in an isotropic flat slab	L-11	nématogènes : seuil d'apparition de la texture à fils	
Jérome (D.). — Voir Andrieux (A.)	L-381	fins	L-607
Jérome (D.). — Voir Andrieux (A.)	L-385	Millot (F.). — Adsorption of the first layer of argon on	
Joffrin (J.). — Voir Bernard (L.)	L-593	graphite	L-9
Joffrin (J.). — Voir Schumacher (G.)	L-143	Mircea (A.) and Mitonneau (A.). — Strongly anisotropic	
Joyes (P.), Leleyter (M.) et Hoareau (A.) Propriétés		field ionization of a common deep level in GaAs	L-31
électroniques des agrégats $Cr_pC_n$ et $Fe_pC_n$ mises en		Mitonneau (A.). — Voir Mircea (A.)	L-31
évidence par spectrométrie de masse	L-131	Monceau (P.). — Voir Meerschaut (A.)	L-157
Karamushko (V. I.). — Voir Bevza (Yu. G.)	L-101	Montaner (A.). — Voir Bernier (P.)	L-297
Kats (E. I.) and Volovik (G. E.). — The dynamics of ac		Mooney (P. M.), Cherki (M.) and Bourgoin (J. C.)	
Josephson effect in nematic liquid crystals	L-149	Energy levels in electron irradiated n-type germanium	L-19
Khanna (S. N.) and Cyrot-Lackmann (F.). — Structure of		Mulvaney (B. J.). — Voir Swift (J.)	L-287
liquid transition and rare earth metals	L-45	Nemoz (A.). — Voir Tessema (G. X.)	L-105
Khristenko (E. V.). — Voir Dmitriev (V. M.)	L-85		L-165
Kléman (M.) and Sadoc (J. F.). — A tentative description	2 00	Niez (J. J.). — Voir Lajzerowicz (J.)	
of the crystallography of amorphous solids	L-569	Nguyen (T. T. A.). — Voir Cinti (R. C.)	L-377
Kurita (K.). — Voir Okano (K.)	L-171	Noiray (J. C.). — Voir Laheurte (J. P.)	L-619
Lachaise (J.), Graciaa (A.), Martinez (A.) and Rousset (A.).	D-171	Nouailhat (A.), Guillot (G.), Truong Van Khiem and	
— Measurement of low interfacial tensions from the		Ortega (J. M.). — Evidence for the interaction bet-	
intensity of the light scattered by liquid interfaces	L-599	ween the free exciton and the F centres in KI	L-313
Laguës (M.). — Electrical conductivity of microemulsions:	L-377	Novikov (V. I.). — Voir Golovashkin (A. I.)	L-77
	L-331	Núñez-Regueiro (M.). — Voir Meerschaut (A.)	L-157
a case of stirred percolation	L-331	Odin (J.). — Voir Berton (A.)	L-391
Laheurte (J. P.), Noiray (J. C.) and Romagnan (J. P.).		Okano (K.), Wada (E.), Kurita (K.), Hiramatsu (H.) and	
Third sound measurements as capillary condensation	I 610	Fukuro (H.). — Binary and ternary cluster integrals	
probe in porous materials	L-619	of polymer segments as determined by small angle	
domain wall	L-165	neutron scattering	L-171
Lassmann (K.), — Voir Zeile (H.)	L-103	Okasha (R.). — Voir Adam (M.)	L-539
Laugier (A.). — Voir Chaussemy (G.)	L-529	Ortega (J. M.). — Voir Nouailhat (A.)	L-313
Leadbetter (A. J.), Frost (J. C.) and Mazid (M. A.).	L-329	Palleau (J.). — Voir Ribault (M.)	L-413
	Y 225	Papaconstantopoulos (D. A.). — Voir Zdetsis (A. D.)	L-253
Interlayer correlations in smectic B phases	L-325	Papon (P.). — Voir Bulou (A.)	L-277
Le Gressus (C.), Massignon (D.) et Pellerin (F.). — Spectres		Pellerin (F.). — Voir Le Gressus (C.)	L-309
de pertes d'énergie caractéristiques sur Ta et Pt sous	T 200	Pershan (P. S.) and Prost (J.). — Landau theory of the	L-309
hydrogène  Liebert (L.) and Martinet (A.). — Coupling between nema-	L-309	reentrant nematic-smectic A phase transition	L-27
	1 262	Peyrard (J.). — Voir Tessema (G. X.)	
tic lyomesophases and ferrofluids	L-363	Pinceaux (I D) Moure (I D) and Person (I M)	L-105
Leleyter (M.). — Voir Joyes (P.)	L-131	Pinceaux (J. P.), Maury (J. P.) and Besson (J. M.).	
Levelut (A.). — Voir Bacri (J. C.)	L-231	Solidification of helium, at room temperature under	T 207
Levelut (A. M.). — Structure of a disk-like mesophase  Levelut (A. M.). — Voir Charvolin (J.)	L-81	high pressure	L-307
	L-587	Pique (J. P.). — Voir Dolino (G.)	L-303
Lévy (Y.). — Voir Rivière (D.)	L-215	Plumier (R.) and Sougi (M.). — Neutron diffraction	
Lewiner (C.). — Voir Bastard (G.)	L-189	study in magnetic field of antiferromagnetic garnet	
Libchaber (A.). — Voir Maurer (J.)	L-419	Ca <sub>3</sub> Mn <sub>2</sub> Ge <sub>3</sub> O <sub>12</sub>	L-213
Linaya (C.). — Voir Bernier (P.)	L-297	Pouyet (G.). — Voir Adam (M.)	L-435
Lopez-Rios (T.), Abelès (F.) and Vuye (G.). — Investigation		Prester (M.). — Voir Biljaković-Franulović (K.)	L-151
of metallic surface layers on metals by surface plasmon		Prost (J.). — Voir Pershan (P. S.)	L-27
ATR spectroscopy	L-343	Ptak (M.). — Voir Sy (D.)	L-137
Lykov (A. N.). — Voir Golovashkin (A. I.)	L-77	Quéré (Y.). — Voir Dural (J.)	L-369
Malthete (J.). — Voir Cotrait (M.)	L-519	Rajaonarison (R.). — Voir Bacri (JC.)	L-5
Manes (L.). — Voir Bœuf (A.)	L-335	Rajaonarison (R.). — Voir Bacri (JC.)	L-403
Marsau (P.). — Voir Cotrait (M.)	L-519	Rammal (R.). — Voir Berton (A.)	L-391
Martin (J. C.). — Voir Cabos (C.)	L-407	Rappaport (M. L.). — Voir Deutscher (G.)	L-219
Martinet (A.). — Voir Liebert (L.)	L-363	Rault (J.). — Voir Abenoza (M.)	L-445
Martinez (A.). — Voir Lachaise (J.)	L-599	Rebizant (J.). — Voir Bæuf (A.)	L-335
Martinoty (P.). — Relative behaviour of sound absorption		Régis (M.). — Voir Bernier (P.)	L-297
and dispersion near the nematic-smectic-A phase		Ribault (M.), Benoit (A.), Flouquet (J.) and Palleau (J.).	
transition in TBBA and CBOOA : comment and new		Thermal expansion of Al <sub>3</sub> Ce at very low temperatures	L-413
results	L-291	Rivier (N.). — Voir Spalek (J.)	L-57
Masri (P.). — Sur les phonons d'interface	L-629	Rivière (A.) Voir Woirgard (I.)	I 220

Rivière (D.), Lévy (Y.) and Guyon (E.). — Determination of anchoring energies from surface tilt angle measurements in a nematic liquid crystal	L-215 L-297 L-619 L-455	Sullivan (N. S.), Devoret (M.) and Vaissière (J. M.). — Quadrupolar glass ordering in solid deuterium  Swift (J.) and Mulvaney (B. J.). — Sound attenuation and dispersion near the nematic-smectic A phase transition of a liquid crystal.	L-559 L-287
Rouault (A.). — Voir Tessema (G. X.)  Rouault (A.). — Voir Commandre (M.)  Rousseau (M.). — A new model for the phase transitions	L-105 L-639	Sy (D.) and Ptak (M.). — Empirical calculations of interactions between two mesogenic molecules  Tessema (G. X.), Peyrard (J.), Nemoz (A.), Senateur (J. P.), Rouault (A.) and Fruchart (R.). — Change in valence	L-137
due to octahedra rotations in the perovskite structure	L-439	of Ce ions induced by hydrogen absorption: CeRu <sub>2</sub>	L-105
Rousset (A.). — Voir Lachaise (J.)	L-599	Theveneau (H.). — Voir Bulou (A.)	L-277
Rouxel (J.). — Voir Meerschaut (A.)	L-157	Thierry (A.). — Voir Millaud (B.)	L-607
Rustichelli (F.). — Voir Bœuf (A.).	L-335	Thoulouze (D.). — Voir Hebral (B.)	L-41
Sadoc (J. F.). — Voir Kleman (M.)	L-569	Thoulouze (D.). — Voir Schumacher (G.)	L-143
Saint-James (R.). — Voir Debray (D.)	L-127	Tomić (S.). — Voir Biljaković-Franulović (K.)	L-151
Saint-Paul (M.). — Voir Bernard (L.)	L-593	Tournier (R.). — Voir Berton (A.)	L-391
Saissy (A.), Azema (A.), Botineau (J.) et Gires (F.). — Dif-		Treilleux (M.) et Chassagne (G.). — Précipitation dans	
fusion Raman stimulée dans une fibre en silice dopée au		MgO implanté avec des ions alcalins	L-161
phosphore	L-23	Treilleux (M.) and Chassagne (G.). — Orientation relation-	
Samulski (E. T.). — Voir Charvolin (J.)	L-587	ship and structure of lithium precipitates in MgO	
Sauvage (D.). — Voir Commandre (M.)	L-639	single crystals	L-283
Schmitt (A.). — Paramètres de transport et lois d'échelle	1	Trokiner (A.). — Voir Bulou (A.)	L-277
dans les solutions diluées de polymères flexibles	L-317	Truong Van Khiem. — Voir Nouailhat (A.)	L-313
Schué (F.). — Voir Bernier (P.)	L-297	Tufeu (R.). — Voir Beysens (D.)	L-623
Schulz (H. J.). — Voir Andrieux (A.)	L-385	Vaissière (J. M.). — Voir Sullivan (N. S.)	L-559
Schumacher (G.). — Voir Hebral (B.)	L-41	Vallade (M.). — Voir Dolino (G.)	L-303
Schumacher (G.), Thoulouze (D.), Castaing (B.), Chabre (Y.),		Van de Walle (J.). — Voir Sudraud (P.)	L-207
Segransan (P.) and Joffrin (J.). — Observation of a	T 440	Volino (F.), Dianoux (A. J.) and Heidemann (A.). — Self-	
highly polarized liquid <sup>3</sup> He state	L-143	diffusion coefficients of TBBA: comparison between	*
Segransan (P.). — Voir Schumacher (G.)	L-143	neutron and NMR results	L-583
Senateur (J. P.). — Voir Tessema (G. X.)	L-105	Volovik (G. E.). — Voir Kats (E. I.)	L-149
Shoemaker (C. B.). — Voir Commandre (M.)	L-639	Vuye (G.). — Voir Lopez-Rios (T.)	L-343
Shoemaker (D. P.). — Voir Commandre (M.)	L-639	Wada (E.). — Voir Okano (K.)	L-171
Skoulios (A.). — Voir Millaud (B.)	L-607	Woirgard (J.), Gerland (M.) et Rivière (A.). — Sur les	
Sledz (J.). — Voir Bernier (P.)	L-297 L-213	pics de frottement intérieur dus à des mécanismes fai-	L-339
Sougi (M.). — Voir Plumier (R.)	L-391	sant intervenir des volumes d'activation importants.	L-339
Souletie (J.). — Voir Berton (A.)	T-321	Zdetsis (A. D.), Economou (E. N.) and Papaconstanto- poulos (D. A.). — Theoretical calculation of $T_c$ for lead	L-253
Spalek (J.) and Rivier (N.). — On spin-wave spectrum of	L-57	Zeile (H.), Mathuni (O.) and Lassmann (K.). — Ultrasonic	1233
systems without long-range magnetic order  Stamatoff (J.). — Voir Guillon (D.)	L-459	spectroscopy in p-type silicon	L-53
Sudraud (P.), Colliex (C.) and Van de Walle (J.). — Energy	L-457	Zhurkin (B. G.). — Voir Golovashkin (A. I.)	L-77
distribution of EHD emitted gold ions	L-207	Ziluikii (D. Go). Voii Golovasiikii (21. 1.)	<b>D</b> -77
distribution of Errb chitted gold lond	1 20 /		
PHYS	IQUE	APPLIQUÉE	
Azema (A.). — Voir Saïssy (A.)	L-355	Ferreirinho (J.). — Voir Blair (D. G.)	L-113
Blair (D. G.), Buckingham (M. J.), Edwards (C.), Fer-		Gires (F.). — Voir Saïssy (A.)	L-355
reirinho (J.), Howe (D.), James (R.), Van Kann (F.)		Howe (D.). — Voir Blair (D. G.)	L-113
and Mann (A. G.). — Operation of prototype niobium		James (R.). — Voir Blair (D. G.)	L-113
gravitational radiation antenna with microwave para-		Mann (A. G.). — Voir Blair (D. G.)	L-113
metric accelerometer	L-113	Saïssy (A.), Botineau (J.), Azema (A.) et Gires (F.).	
Botineau (J.). — Voir Saïssy (A.)	L-355	Diffusion Raman spontanée dans $(P_2O_5)_x$ - $(SiO_2)_{1-x}$	
Buckingham (M. J.). — Voir Blair (D. G.)	L-113	et $(B_2O_3)_x$ - $(SiO_2)_{1-x}$	L-355
Edwards (C.). — Voir Blair (D. G.)	L-113	Van Kann (F.). — Voir Blair (D. G.)	L-113

#### PHYSIQUE MATHÉMATIQUE

Fried (H. M.). — Representations approximatives de pro-	
pagateurs dans un champ extérieur	L-89
Julia (B.) and Toulouse (G.). — The many-defect problem:	
gauge-like variables for ordered media containing	
defects	
Toulouse (G.). — Voir Julia (B.)	L-395



## REVUE DE PHYSIQUE APPLIQUÉE

Tome 14 — 1979

#### PHYSIQUE APPLIQUÉE

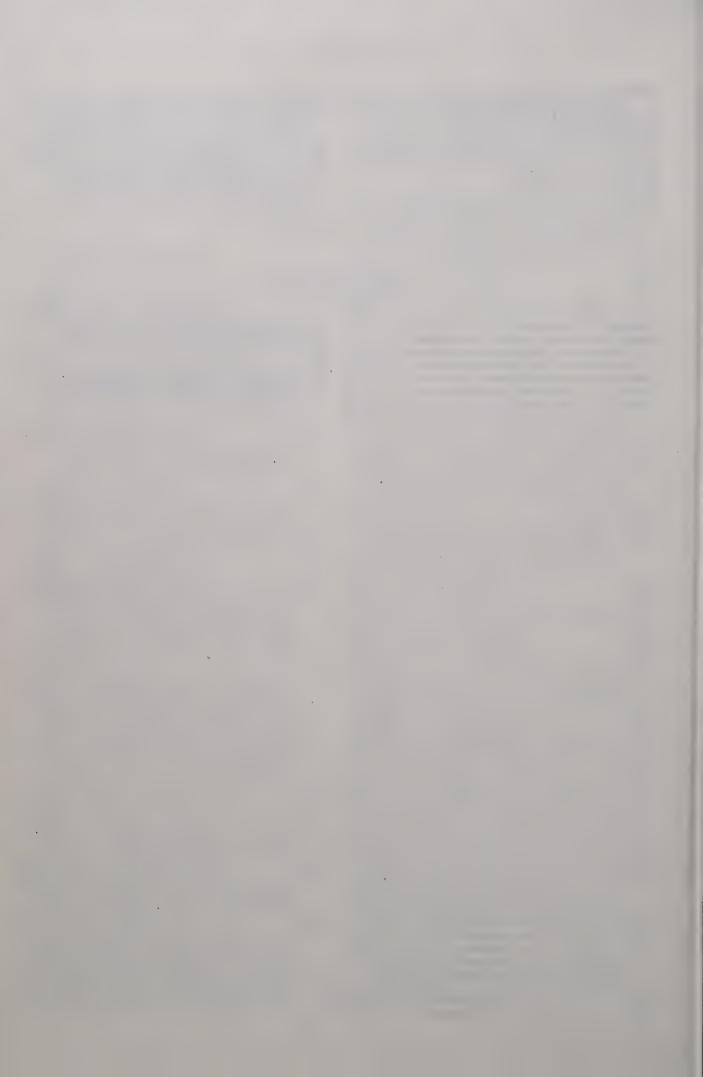
PHYSIQUE ET MECANIQUE DES MATÉRIAU	
Andro (P.) Voir Chevalier (J.)	trodes métalliques dans les hydrocarbures liquides de résistivité élevée
	0 ( ),
TR. 44 32 (4.5 X200) (60.5 1 70. 3 4 4 60.5 1.4 1.4	
du rayonnement 12 et 8 mm par les vapeurs de propane	la microplasticité des solides isotopes
Bernède (J. C.) et Trégouet (Y.). — Etude par microanalyse	, , , , , , , , , , , , , , , , , , ,
	tion at high temperature in a ferritic alloy
	551       Gerland (M.). — Voir Woirgard (J.).       691         601       Gosse (J. P.). — Voir Felici (N.).       629
Beysens (D.) and Tufeu (R.). — Pressure variation of the	Goyal (D. R.). — Voir Srivastava (K. K.) 465
critical temperature in nitroethane-isooctane and nitro-	Habraken (L.). — Voir Gaspard (C.)
	907 Hagenmuller (P.). — Voir Campet (G.)
températures et sous atmosphère oxydante de mono-	Janot (Chr.). — Voir Nalovic (Lj.)
	619 Kachaturyan (V. M.). — Voir Zharcova (G. M.)
, ,	731 <b>Kittinger (E.) and Bertagnolli (E.).</b> — A method for the visualization of secondary Dauphiné twinning in
Bugnet (P.), Baillou (J.), Daunay (J.) et Daunay (Jac.).	$\alpha$ -quartz
Influence de la biréfringence due aux défauts natifs sur	Kumar (A.). — Voir Srivastava (K. K.)
	Lefaucheux (F.) et Robert (M. C.). — L'hydrodynamique,
	749 une composante importante dans la croissance des
	405 cristaux en solution
Cabrera-Cano (J.), Dominguez-Rodriguez (A.), Marquez (R.)	Leroy (V.). — Voir Gaspard (C.)
and Castaing (J.). — Microhardness of aged NiO single	MacLachlan (D. S.). — Voir Souffaché (B.)
	559 Marquez (R.). — Voir Cabrera-Cano (J.)
Campet (G.), Claverie (J.), Hagenmuller (P.) et Perigord	Nalovic (Lj.) and Janot (Chr.). — Mössbauer study of the
(M.). — Caractéristiques de couches minces d'oxides	crystallogenesis of iron hydroxides
	415 Naudin (F.). — Voir Varret (F.)
A TOTAL CONTRACT OF THE PROPERTY OF THE PROPER	559 <b>Parisot (A.).</b> — Voir Fougères (R.)
Chevalier (J.), Baixeras (J.) et Andro (P.). — Propriétés	Peguin (P.). — Voir Deterre (Ph.)
thermométriques de couches minces de nitrure de	Perez (J.). — Voir Etienne (S.)
	663 <b>Perigord (M.).</b> — Voir Campet (G.)
	415 Pichard (C. R.) and Tellier (C. R.). — Linearization of
Carrotte (cry)	polycrystalline film gauge factors
Dadina) (01)1	259 Robert (M. C.). — Voir Lefaucheux (F.)
Deterre (Ph.), Peguin (P.) et Vanoni (F.). — Etude, par	Saleh (M.), Buxo (J.), Dorville (G.) and Sarrabayrouse (G.).—
mesures ultrasonores, des premiers mouvements des	Electrical and elastoresistance properties of evaporated
lignes de dislocations dans l'aluminium pur, à basse	thin films of bismuth
	807 Sarrabayrouse (G.). — Voir Saleh (M.)
De Vos (A.) and Van Dhelsen (D.). — The temperature depen-	Souffaché (B.), MacLachlan (D. S.) et Burger (J. P.). —
	Préparation par électrolyse à basse température d'hydru-
Dominguez-Rodriguez (A.). — Voir Cabrera-Cano (J.) 5	res de Palladium
Dorville (G.). — Voir Saleh (M.)	405 Srivastava (K. K.), Kumar (A.) and Goyal (D. R.). — Relative
Escaig (B.). — Mass transport by dislocation climb in the	behaviour of electrical conductance for solid and molten
spinel lattice4	469 mercuric halides
Etienne (S.) et Perez (J.). — Observation d'un phénomène	Tellier (C. R.). — Voir Pichard (C. R.)
de relaxation structurale dans le sélénium vitreux par	Théolier (M.). — Voir Fougères (R.)
	607 Trégonet (Y.). — Voir Bernède (J. C.)
Faisant (P.). — Voir Blanchin (M. G.)	619 Tufeu (R.). — Voir Beysens (D.) 907

Van Dhelsen (D.). — Voir De Vos (A.)	815	Millan (J.), Serra-Mestres (F.) and Buxo (J.). — A criterion	
Vanoni (F.). — Voir Deterre (Ph.)	807	for determining the switching voltage of a metal-thin	
Varret (F.) et Naudin (F.). — Spectres Mössbauer d'impu-		insulator-Si(n)-Si(p+) device	921
retés Fe <sup>2+</sup> , Fe <sup>3+</sup> diluées dans un verre silicaté industriel :		Mircea (A.). — Voir Mitonneau (A.)	853
mesure du taux Fe <sup>2+</sup>	613	Mitonneau (A.), Mircea (A.), Martin (G. M.) and Pons (D.). —	
Villa (G.). — Voir Battaglia (A.)	801	Electron and hole capture cross-sections at deep centers	
Woirgard (J.) and Gerland (M.). — Investigation of the glass		in gallium arsenide	853
transition on atactic polystyrene by isothermal friction		Müller (F.). — Voir Schadt (M.)	265
measurements	691	Nguyen Tuong Viet. — Voir Kayyali (A.)	869
Zharkova (G. M.) and Kachaturyan (V. M.). — Time depen-	071	Pananakakis (G.), Kamarinos (G.) and Viktorovitch (P.).	
dence of colour-temperature characteristics of liquid-		Influence of kinetic and electrostatic properties of inter-	
*	555	face states on the efficiency of a MIS tunnel solar cell	639
crystalline thermoindicators	555	Perbet (J. N.), Hareng (M.) and Le Berre (S.). — A new	057
DILLIGIO DE DES DESDOSTERES		investigation of the acoustic imaging with nematic liquid	560
PHYSIQUE DES DISPOSITIFS		crystals	569
ÉLECTRONIQUES		Pham Tu Manh. — Voir Kayyali (A.)	869
		Pons (D.). — Voir Mitonneau (A.)	853
Balland (B.) Voir Blondeau (R.)	563	Rossel (P.), Guégan (G.) et Martinot (H.). — Propriétés en	
Batailler (G.), Bernard (J.) et Garcia (P.). — Influence des		hautes fréquences des transistors MOS à canal court.	
durées de vie sur les caractéristiques statiques modélisées		Analyse théorique des propriétés de la zone active	763
de diodes vertes au GaP	587	Rossel (P.), Gamboa (M.), Tranduc (H.) et Martinot (H.). —	
Berchier (J. L.) and Sanchez (D. H.). — Finite size arrays	507	Influence de la contre-réaction thermique sur l'impé-	
	757	dance de sortie des transistors MOS à canaux courts	911
of proximity effect bridges	587	Rouvaen (J. M.), Waxin (G.), Bridoux (E.) et Torguet (R.). —	
Bernard (J.). — Voir Batailler (G.)	201	Etude de convoluteurs et corrélateurs acoustiques	575
Blasquez (G.), Caminade (J.) et Le Gac (G.). — Influence		Roux-Nogatchewsky (M.). — Voir Blasquez (G.)	821
de la nature distribuée de la base sur le facteur de bruit	605	Sanchez (D. H.). — Voir Berchier (J. L.)	757
des transistors bipolaires	695	Schadt (M.) and Müller (F.). — Class specific elastic, viscous,	, , ,
Blasquez (G.) et Roux-Nogatchewsky (M.). — Effets des		optical and dielectric properties of some nematic liquid	
rayonnements ionisants sur le facteur de bruit des		crystals and correlation with their performance in	
transistors bipolaires aux moyennes fréquences	821		265
Blondeau (R.), Balland (B.), Hirtz (P.) et De Cremoux (B.). —		twisted nematic displays	265
Vieillissement accéléré et dégradation des diodes électro-		Sculfort (J. L.). — Propriétés électrochimiques d'électrodes	
luminescentes à double hétérostructure (GaAl)As-GaAs	563	monocristallines de tellurure de zinc non intentionnel-	
Bourée (J. E.). — Voir Gave (G.)	875	lement dopées	829
Bourgoin (J. C.). — Voir Krynicki (J.)	481	Serra-Mestres (F.). — Voir Millan (J.)	921
Bridoux (E.) Voir Rouvaen (J. M.)	575	Torguet (R.). — Voir Rouvaen (J. M.)	575
Buxo (J.). — Voir Millan (J.)	921	Tranduc (H.). — Voir Rossel (P.)	911
Calligaro (M.). — Centres profonds associés au palladium		Vassal (G.). — Voir Krynicki (J.)	481
dans le silicium	635	Viktorovitch (P.). — Voir Pananakakis (G.)	639
Caminade (J.). — Voir Blasquez (G.)	695	Wartski (L.). — Voir Kayyali (A.)	869
Chartier (G. H.). — Voir Guez (A.)	847	Waxin (G.). — Voir Rouvaen (J. M.)	575
De Cremoux (B.). — Voir Blondeau (R.)	563		
Gamboa (M.). — Voir Rossel (P.)	911	PHYSIQUE DES PARTICULES	
Garcia (P.). — Voir Batailler (G.)	587	DANS LE VIDE ET LES PLASMAS	
Gave (G.), Le Métayer (M.) et Bourée (J. E.). — Approche	507	DANG LE VIDE ET LES TLASMAS	
théorique de la cinétique de croissance des dépôts épi-		Amouroux (J.). — Voir Rapakoulias (D.)	041
			961
taxiés d'arséniure de gallium par CVD-OM et confron- tation avec les résultats expérimentaux	075	Amouroux (J.), Cavvadias (S.) et Rapakoulias (D.). — Réac-	
	875	teur de synthèse et de trempe dans un plasma hors	
Guégan (G.). — Voir Rossel (P.)	763	d'équilibre : application à la synthèse des oxydes	
Guez (A.), Jaussaud (P. C.) and Chartier (G. H.). — Déter-		d'azote	969
mination of the index profile in a graded index optical		Andanson (P.) et Cheminat (B.). — Contamination d'un	
waveguide: a comparison between perturbation and	0.46	plasma d'argon par des vapeurs anodiques de cuivre	775
W.K.B. analysis	847	Baril (M.). — Voir Berger (C.)	783
Hareng (M.). — Voir Perbet (J. N.)	569	Berger (C.) et Baril (M.). — Les aberrations des miroirs	
Hirtz (P.). — Voir Blondeau (R.)	563	bicylindres et leurs effets sur les propriétés des spectro-	
Jaussaud (P. C.). — Voir Guez (A.)	847	mètres de masse magnétiques à multiples passages	783
Kamarinos (G.). — Voir Pananakakis (G.)	639	Cavvadias (S.). — Voir Amouroux (J.)	969
Kayyali (A.), Pham Tu Manh, Nguyen Tuong Viet et Wartski		Chardon (J. C.), Genty (C.), Miller (J. J.) et Théobald (J. G.).	,0,
(L.). — Oscillateur micro-onde à diode Gunn de haute		- Modulation spatio-temporelle en spectroscopie des	
pureté spectrale stabilisée en fréquence par une cavité		jets moléculaires. Déplacement radiatif	649
supraconductrice et électroniquement accordable	869	Cheminat (B.). — Voir Andanson (P.)	
Krynicki (J.), Bourgoin (J. C.) and Vassal (G.). — Energy		Fomin (N. A.) and Soloukhin (R. I.). — Gasdynamic problems	775
dependence of defect energy levels in electron irradiated		for optically inverse media	40.1
silicon	481	Cauthier (I -C) and Coindro (I D)	421
Le Berre (S.). — Voir Perbet (J. N.)	569	Gauthier (JC.) and Geindre (JP.). — Laser-induced gas-	
Le Gac (G.). — Voir Blasquez (G.)	695	breakdown model	887
Le Métayer (M.). — Voir Gave (G.)	875	Geindre (JP.). — Voir Gauthier (JC.).	887
Madelon (R.). — Mesure du coefficient d'absorption et de	013	Genty (C.). — Voir Chardon (J. C.)	649
la transmission dérivée dans $Ga_{1-x}Al_xAs$ épitaxial	862	Gerstenkorn (S.) and Luc (P.). — Absolute iodine (I <sub>2</sub> ) stan-	
Martin (G. M.). — Voir Mitonneau (A.)	863	dards measured by means of Fourier transform spectro-	
Martinot (H.). — Voir Rossel (P.)	853	scopy	791
Martinot (H.). — Voir Rossel (P.)	763	Luc (P.). — Voir Gerstenkorn (S.)	791
TOTAL RUSSEL (I .)	911	Miller (J. J.). — Voir Chardon (J. C.)	640

Rapakoulias (D.) et Amouroux (J.). — Réacteur de synthèse		Guesdon (J. P.). — Voir Segura (A.)	253
et de trempe dans un plasma hors d'équilibre : appli-		Johan (A.). — Voir Gasset (G.)	209
cation à la synthèse de C <sub>2</sub> H <sub>2</sub> et HCN	961	Jousse (D.). — Voir Viktorovitch (P.)	201
Rapakoulias (D.). — Voir Amouroux (J.)	969	Kuhn (G.). — Voir Gobrecht (K.)	165
Soloukhin (R. I.). — Voir Fomin (N. A.)	421	Lafait (J.). — Voir Spitz (J.)	67
Theobald (J. G.). — Voir Chardon (J. C.)	649	Laugier (A.). — Voir Mayet (L.)	223
		Leroux (B.) et Rioux-Damidau (F.). — Etude de disjoncteurs	220
PHYSIQUE DE LA PRODUCTION		rapides pour courants intenses	705
ET DE L'UTILISATION DE L'ÉNERGIE		Lestienne (R.). — Application du modèle Markovien simpli-	
ENERGIE SOLAIRE		fié à l'étude du comportement du stockage d'une	
ENERGIE SOLAIKE		centrale solaire	139
Alexandre (A.) et Martinet (J.) Aspects théorique et		Levesque (D.). — Voir Gobin (D.)	125
pratique des échanges thermiques dans la cavité vitre-		Luquet (H.), Moussalli (GM.), Bougnot (J.), Perotin (M.) et	
absorbeur d'un capteur plan	81	Savelli (M.). — Etudes du fonctionnement des photo-	
Aubert (A.). — Voir Spitz (J.)	67	piles solaires Cu <sub>2</sub> S-CdS type S.A.T	245
Authier (B.). — Voir Pouliquen (D.)	91	Machizaud (F.). — Voir Fléchon (J.)	97
Bailleux (R.). — Voir Pantaloni (J.)	113	Malifaud (P.). — Contribution à l'étude des conditions	
Behaghel (J. M.). — Voir Spitz (J.)	67	optimales de la concentration optique dans les projets	
Benard (C.). — Voir Gobin (D.)	125	de centrales solaires. Réduction de la tache de rayon-	
Benzohra (M.). — Voir Gasset (G.)	209	nement fournie par un champ d'héliostats, au moyen	
Berry (J. P.), Estève (D.), Follea (D.), Thérez (F.) et Vialaret		de miroirs coniques optimisés	21
(G.). — Cellules solaires au silicium sous concentration.		Manifacier (J. C.). — Voir Calderer (J.)	485
Eléments de conception. Un exemple d'application	193	Marchisio (J.). — Voir Pantaloni (J.)	113
Berthier (S.). — Voir Spitz (J.).	67	Martinet (J.). — Voir Alexandre (A.)	81
Besson (J. M.). — Voir Segura (A.)	253	Martinuzzi (S.), Oualid (J.), Cabane-Brouty (F.), Mostavan (A.) et Gervais (J.). — Photopiles solaires au Cu <sub>2</sub> S-CdS	
Bielle-Daspet (D.). — Voir Gasset (G.)	209		237
Boileau (R.). — Discussion d'un modèle statistique en		« spray »	231
météorologie solaire	145	l'aluminium, du phosphore et du zinc dans les hétéro-	
Bougnot (J.). — Voir Luquet (H.)	245	jonctions $Al_xGa_{1-x}P_yAs_{1-y}$ -GaAs réalisées par épi-	
Bros (J. P.) et Gaune-Escard (M.). — Estimation de l'enthal-		thaxie en phase liquide	223
pie de fusion de mélanges eutectiques de sels fondus	107	Mersier (Cl.). — Les centrales électrosolaires à tour. Opti-	
utilisables pour le stockage thermique de l'énergie	107	misation du champ de réflecteurs et application à l'effet	
Caldarer (I) Marifesian (I C) Sacressy (I) Develop	237	de taille du champ	1
Calderer (J.), Manifacier (J. C.), Szepessy (L.), Darolles (J. M.) et Perotin (M.). — Caractérisation des cellules		Mostavan (A.). — Voir Martinuzzi (S.)	237
solaires silicium (n)-In <sub>2</sub> O <sub>3</sub> (dopé Sn) préparées par une		Moussalli (GM.). — Voir Luquet (H.)	245
méthode de vaporisation	485	Noguet (C.). — Voir Tapiero (M.)	231
Chenevas-Paule (A.). — Voir Viktorovitch (P.)	201	Oualid (J.). — Voir Martinuzzi (S.)	237
Chevy (A.). — Voir Segura (A.)	253	Pantaloni (J.), Favre (O.), Bailleux (R.), Finiels (G.) et	
Darolles (J. M.). — Voir Calderer (J.)	485	Marchisio (J.). — Stockage thermique de l'énergie par	
Duban (M.). — Comparative efficiencies of solar energy		chaleur latente de fusion d'un sel minéral : étude d'un	
collectors	57	échangeur dynamique à contact direct avec cristalli-	
Estève (D.). — Voir Berry (J. P.)	193	sation du sel durant l'écoulement	113
Favre (O.). — Voir Pantaloni (J.)	113	Pasquetti (R.). — Optimisation du réseau de transfert ther-	
Finiels (G.). — Voir Pantaloni (J.)	113	mique des centrales solaires à convertisseurs hélio-	
Fléchon (J.) et Machizaud (F.). — Recherche d'un couple		thermiques distribués. Application aux capteurs de	
frigorigène adapté à la réfrigération solaire en zone		type THEK	35
tropicale	97	Perotin (M.). — Voir Luquet (H.)	245
Foggia (A.) et Sabonnadière (J. C.). — Les équations de		Perotin (M.). — Voir Calderer (J.)	485
Maxwell en électrotechnique et leur résolution numé-	420	Pierrat (D.). — Voir Tapiero (M.)	231
rique par une méthode d'éléments finis	439 193	fluidique dans les chaudières à veine hélicoïdale	91
Follea (D.). — Voir Berry (J. P.)	173	Rioux-Damidau (F.). — Voir Leroux (B.)	705
(P.) — Mesures de la durée de vie des porteurs, dans la		Rivory (J.). — Voir Spitz (J.)	67
base et l'émetteur de cellules solaires au silicium, à		Roulleau (M.). — Mesure des flux infrarouges dans la tropo-	
partir des photoréponses transitoires à une impulsion		sphère	159
laser	209	Routie (R.). — Voir Steinmetz (D.)	153
Gaune-Escard (M.). — Voir Bros (J. P.)	107	Roux (B.). — Voir Grondin (JC.)	49
Gavand (M.). — Voir Mayet (L.)	223	Sabonnadière (JC.). — Voir Foggia (A.)	439
Gervais (J.). — Voir Martinuzzi (S.)	237	Savelli (M.). — Voir Luquet (H.)	245
Gobin (D.), Levesque (D.) et Benard (C.) Stockage de		Schwab (C.). — Voir Tapiero (M.)	231
l'énergie solaire : simulation numérique de transfert		Segura (A.), Guesdon (JP.), Besson (JM.) and Chevy (A.).	
d'énergie par conduction et rayonnement dans un		- Photovoltaic effect in InSe. Application to solar	
milieu à deux phases	125	energy conversion	253
Gobrecht (K.) et Kuhn (G.). — Solarimètre intégrateur		Siffert (P.). — Nouvelles techniques de réalisation de photo-	
autonome et continu	165	piles au silicium (voir également l'addenda p. 946)	169
Grenier (Ph.). — Réfrigération radiative. Effet de serre	0.7	Spitz (J.), Aubert (A.), Behaghel (J. M.), Berthier (S.),	
inverse	87	Lafait (J.) et Rivory (J.). — Matériaux sélectifs pour la	67
Grondin (J. C.) et Roux (B.). — Recherche de corrélations		conversion photothermique de l'énergie solaire	67
simples exprimant les pertes convectives dans une		Steinmetz (D.), Routie (R.) et Vialaron (A.). — Production d'hydrogène au moyen d'un cycle thermoélectrochi-	
cavité bidimensionnelle, inclinée, chauffée différentiel-	49	mique mettant en œuvre l'énergie solaire	153
lement	77	midae merani on marie i mici Pie porameri i i i i i i i	

Szepessy (L.). — Voir Calderer (J.)	485 231 193	Viktorovitch (P.), Jousse (D.), Chenevas-Paule (A.) et Vieux-Rochas (L.). — Diodes Schottky et MIS tunnel sur silicium amorphe hydrogéné de qualité photovoltaïque préparé par pulvérisation cathodique. Caractérisation	
Vialaret (G.). — Voir Berry (J. P.)	193	électrique par mesures capacitives	201
Vialaron (A.). — Voir Steinmetz (D.)	153	Zielinger (JP.). — Voir Tapiero (M.)	231
Vieux-Rochas (L.). — Voir Viktorovitch (P.)	201		
Table attended (20)			
INSTI	RUMI	ENTATION	
INCEDIMENTATION I ACED		Deloche (R.). — Voir Monchicourt (P.)	451
INSTRUMENTATION LASER		Dembinski (K.). — Voir Billard (D.)	977
A 3 1 (P) 3 1 1 1 1 1 1 1 1 1 1 1 1 1 1 1 1 1 1	222	Ducasse (A.). — Voir Couillaud (B.)	331
Adde (R.). — Voir Lourtioz (JM.)	323	Duguet (A.). — Voir Lahman-Bennani (A.)	525
Ahrweiller (M.). — Voir Monchicourt (P.)	451	Dutuit (Y.). — La transformation de Fourier discrète en	0.20
d'un champ magnétique statique, dans la gamme 0,1 à		spectroscopie temporelle	939
2 T, par R.M.N. impulsionnelle; optimisation des		Enger (A.). — Voir Brunetaud (JM.)	385
performances	517	Flament (J. B.). — Voir Brunetaud (JM.)	385
Anthony (A. M.). — Voir Billard (D.)	977	Frey (R.). — Voir Pradère (F.)	295
Bath (A.) and Kleim (R.). — Apparatus for thermoelectric		Girardeau-Montaut (JP.). — Les lasers moléculaires ultra-	
power measurements on metals and alloys in the liquid		violets à excitation électronique transverse	311
state. Application to antimony and cadmium antimony		Hartmann (F.). — Voir Cachenaut (J.)	685
alloys	595	Hennequin (JF.) et Inglebert (RL.). — Transmission d'un	
Berjot (M.). — Voir Brunetaud (J. M.)	385	filtre de masse quadrupolaire. I. Etude expérimentale	
Billard (D.), Dembinski (K.) et Anthony (A. M.) Petit		de la transmission d'un faisceau fin	275
four de laboratoire (2 300 K, atmosphère oxydante).		Hennequin (JF.) et Couchouron (M.). — Appareillage pour	
Application à l'étude de l'absorption infrarouge de la		l'ionisation thermique des produits de pulvérisation	993
magnésie	977	Henry (M.) et Varret (F.). — Effets d'auto-absorption avec	
Bondeau (A.). — Voir Noyel (G.)	653	une source Mössbauer de <sup>57</sup> Co dans du fer, isotrope ou	200
Bonjour (P.). — A simple accurate expression of the potential	522	polarisée linéairement	289
in electrostatic lenses. Part. I. Two cylinder lenses	533	Henry (M.) et Varret (F.). — Mesure du taux de polarisation rectiligne des différentes raies d'une source Mössbauer.	500
Bonjour (P.). — A simple accurate expression of the poten-	715	Hernandez (D.), Bonet (C.) et Charette (A.). — Mesure de	509
tial in electrostatic lenses. Part II: triple cylinder lenses.  Bonet (C.). — Voir Hernandez (D.)	715 985	la température de particules en mouvement par pyro-	
Bonnet (J.). — Voir Soonckindt (L.)	795	métrie photographique monochromatique	985
Bosq-Rolland (J.). — Voir Volochine (B.)	391	Huck (J.). — Voir Noyel (G.)	653
Bresson (J.) et Longuemard (JP.). — Mesure du coefficient	371	Inglebert (RL.). — Voir Hennequin (JF.)	275
de réflexion d'ondes ultrasonores à proximité du fond		Jimenez (JJ.). — Synthèse et mesure des fréquences optiques	353
marin à des fréquences comprises entre 20 et 100 kHz.		Jourdan (A.). — Voir Cachenaut (J.)	685
Application à la détermination de certaines qualités		Joussot-Dubien (J.). — Voir Rullière (C.)	303
géotechniques des sédiments du plateau continental			
français	837	Kleim (R.). — Voir Bath (A.)	595
Brillet (A.). — Voir Cerez (P.)	347	Lahman-Bennani (A.) et Duguet (A.). — Jet moléculaire	
Brillet (A.) Voir Cachenaut (J.)	685	formé par une buse à multicanaux : II. Etude complé-	
Brunetaud (JM.), Enger (A.), Flament (JB.), Petit (J.),		mentaire	525
Berjot (M.) et Moschetto (Y.). — Utilisation d'un laser		Lassabatère (L.). — Voir Soonckindt (L.)	795
à argon ionisé en endoscopie digestive : photocoagu-		Laurent (M.). — Voir Degiovanni (A.)	927
lation des lésions hémorragiques	385	Lourtioz (JM.), Adde (R.) and Pontnau (J.). — Design and	837
Cachenaut (J.), Man (C.), Cerez (P.), Brillet (A.), Stoeckel		performances of a CW CH <sub>3</sub> OH waveguide laser	222
(F.), Jourdan (A.) and Hartmann (F.). — Description and accuracy tests of an improved lambdameter	605		323
Cerez (P.), Brillet (A.) et Man (C.). — Lasers hélium-néon	685	Man (C.) — Voir Cerez (P.)	347
stabilisés en fréquence. Applications	347	Man (C.). — Voir Cachenaut (J.).	685
Cerez (P.). — Voir Cachenaut (J.)	685	Marks (J. M.). — Improved solution resistors for high voltage applications	(00
Charpenel (M.). — Mesures instantanées par pyrométrie	065	Megie (G.). — Application des lasers à l'étude de l'atmo-	683
infrarouge de températures de gaz de combustion.		sphère	260
Application à la turbulence thermique	491	Mermet (A.). — Voir Delobelle (P.)	369
Charette (A.). — Voir Hernandez (D.)	985	Miro (L.). — Les applications biologiques médicales et	933
Couchouron (M.). — Voir Hennequin (JF.)	993	chirurgicales du laser	270
Couillaud (B.) et Ducasse (A.). — Production d'impulsions	773	Monchicourt (P.), Ahrweiller (M.) et Deloche (R.). — Déter-	379
picosecondes et subpicosecondes par lasers à colorant		mination temporelle et spatiale de la fonction de distri-	
continus à modes bloqués	331	bution en énergie des électrons dans une post-décharge.	451
Dagois (JP.). — Voir Alizon (J.)	517	Moschetto (Y.). — Voir Brunetaud (J. M.)	451 385
Degiovanni (A.), Laurent (M.) et Prost (R.). — Mesure auto-		Noyel (G.), Huck (J.) et Bondeau (A.). — Traitement de	202
matique de la diffusivité thermique	927	l'absorption et de la dispersion diélectriques dans le	
Delobelle (P.), Oytana (C.) et Mermet (A.). — Appareillage		domaine des très basses fréquences par une méthode	
pour l'étude des propriétés rhéologiques des matériaux		d'échantillonnage	653
en régime biaxial à, vitesses linéaires, contraintes		Oytana (C.). — Voir Delobelle (P.)	933
$(\sigma_{xz}, \sigma_{z\theta})$ ou déformation $(\varepsilon_{zz}, \varepsilon_{z\theta})$ , constantes	933	Petit (J.). — Voir Brunetaud (J. M.)	385

Poinsot (A.). — Tables et diagrammes universels des résonances de cavités coaxiales ou concentriques.  Pontnau (J.). — Voir Lourtioz (JM.)  Pradère (F.) et Frey (R.). — La diffusion Raman stimulée : un moyen efficace pour créer une source laser accordable	445 323	Stoeckel (F.). — Voir Cachenaut (J.).  Taquin (J.). — Line-shape and resolution enhancement of high-resolution F.T.N.M.R. in an inhomogeneous magnetic field  Varret (F.). — Voir Henry (M.)	685 669 289
du proche infrarouge aux ondes submillimétriques	295	Varret (F.). — Voir Henry (M.).	509
Prost (R.). — Voir Degiovanni (A.) Robert (H.). — Voir Alizon (J.)	927	Volochine (B.) et Bosq-Rolland (J.). — Méthode de mesure	
Rullière (C.) et Joussot-Dubien (J.). — Conception de nou-	517	objective de la mobilité des spermatozoïdes humains par diffusion de la lumière. Application à l'immunologie de	
veaux composés organiques donnant lieu à l'effet laser	303	la reproduction	391
Soonckindt (L.), Bonnet (J.) et Lassabatère (L.). — Sur l'utilisation de la méthode de Kelvin pour l'étude des			
travaux de sortie des surfaces inhomogènes	795		
NOTES	S TEC	CHNIQUES	
Bodez (G.). — Voir Didelon (J.)	541	Gleitzer (C.). — Voir Didelon (J.)	541
Didelon (J.), Emeraux (J. P.), Bodez (G.) and Gleitzer (C.). — Diffractomètre $\theta$ - $\theta$ avec monochromateur, obtenu par		Guillet (JP.). — Mise en forme analytique de courbes et de surfaces fermées.	903
transformation d'un diffractomètre $\theta$ , $2\theta$	541	Merle (JC.). — Voir Wecker (C.)	799
Emeraux (JP.). — Voir Didelon (J.)  Fiorini (P.). — Voir Wecker (C.)	541 799	Wecker (C.), Gies (J. G.), Merle (JC.) et Fiorini (P.). — Adaptation d'une détection photoélectrique sur un	
Gies (J. G.). — Voir Wecker (C.)	799	spectrographe	799



# Fast ion spectroscopy. International Conference on beam foil spectroscopy 5th

#### Lyon, 1978

Ahlenius (T.) Voir Larsson (S.)	C1-10 C1-180 C1-295 C1-194 C1-14
Alton (G.D.) Voir Pegg (D.J.)	C1-10 C1-180 C1-295 C1-194 C1-14
Alvarez (E.) Voir Denne (B.)	C1-10 C1-180 C1-295 C1-194 C1-14
Andra (H.J.), Fröhling (R.), Plöhn (H.J.), Winter (H) and Wittmann (W.). Ion surface interaction at grazing incidence C1-275  Andresen (B.), Hultberg (S.), Jelenkovic (B.), Liljeby (L.), Mannervik (S.) and Veje (E.). A study of molecular effects in beam-foil spectroscopy	C1-10 C1-180 C1-295 C1-194 C1-14
Andresen (B.), Hultberg (S.), Jelenkovic (B.), Liljeby (L.), Mannervik (S.) and Veje (E.).— A study of molecular effects in beam-foil spectroscopy	C1-295 C1-194 C1-14
(B.), Liljeby (L.), Mannervik (S.) and Veje (E.).— A study of molecular effects in beam-foil spectroscopy	C1-194 C1-14
and Ramanujam (P.S.) A study of beam- foil excitation using carbon projecti- les	C1-14
foil excitation using carbon projecti- les	
les C1-263 Bruch (R.) Voir Bisgaard (P.)	C1-243
Andressen (R) and Voice (R) - Createment's	
Andresen (B.) and Veje (E.) Systematics Buchet (J.P.) Voir Ceyzeriat (P.)	C1-171
in Ryberg state excitations for beam- foil processes	C1-171
Armour (I.A.), Bashkin (S.), Jelley (N.A.),	
O'Brien (R.), Silver (J.D.) and Trabert  - A measurement of the 1s <sup>2</sup> p <sup>3</sup> P <sub>1</sub> life-  Bukow (H.H.) Voir Sander (U.)	
time in Helium like silicon C1-211  Bukow (H.H.) Voir Heine (G.)	
Baron (E.) Le grand accélérateur national	
classical model for the angular momen-	
Bashkin (S.) Voir Armour (I.A.) C1-211 tum transfer by beam-target inter-	C1-315
Bashkin (S.) Comments on beam-foil spectors troscopy	
Baudinet-Robinet (Y.), Dumont (P.D.), Gar-  Buttler (H.v.) Voir Sander (U.)	
nir (H.P.), Biemont (E.) and Grevesse	
1100 and 1900 A	
Bely-Dubau (F.) Voir Steenman-Clark (L) C1-98 (W.) Energy dependence of the polarization in zero field quantum beats	
Berry (H.G.) Voir Gabrielse (G.) C1-338 in H <sub>R</sub> emission	C1-335
Berry (H.G.) Voir Gay (T.J.) C1-298 Carre (M.) Voir Horani (M.)	·C1-57
Berry (H.G.) Voir Schectman (R.M.) C1-289 Carrington (A.) and Sarre (P.J.) Sub-Berry (H.G.) Voir To (K.X.) C1-3 Doppler laser spectroscopy of molecular	
Berry (H.G.), De Serio (R.) and Livingston	C1-54
(A.E.) Lamb shift and fine structure Ceyzeriat (P.), Buchet (J.P.), Buchet- of n=2 in <sup>35</sup> Cl XVI	
Beyer (H.F.), Folkmann (F.) et Schartner  Druetta (M.) Mesure et calul des durées de vie de niveaux n=3 et 4 de Al	
(K.H.) Few-electron states of Ne pro- duced by 1.4 MeV/amu heavy ion impact C1-17	C1-171
Biemont (E.) Voir Baudinet-Robinet (Y.) C1-175  Church (D.A.) Anisotropic excitation by foils and surfaces	. C1-304
Billy (N.), Lhuillier (C.) and Faroux (J.P.) Study of fine structures of He <sup>+</sup> and Ne by beam-gas spectroscopy C1-20	. C1-324
Bisgaard (P.), Bruch (R.), Dahl (P.) and	C1-46
Rødbro (M.) - Production of alignment in Crossley (R.) - Voir Larsson (S.)	. C1-6
autoionizing core-excited Be II states. CI-243 Curtis (L.J.) Voir Schectman (R.M.)	. C1-289
Bisgaard (P.), Bruch (R.) and Rødbro High resolution Auger spectra of Li, Be, B and C excited in single gas collisions C1-14	
	. C1-161
Bøving (E.G.), Edlund (K.) and Sørensen  (G.) Quasi-molecular effects in ion-  Dahl (P.) Voir Bisgaard (P.)	. C1-243
atom collisions at ion energies in the hundred-keV region	

Dehaes (J.C.) Voir Carmeliet (J.) C1-335	Gabriel (H.) et Kupfer (E.) Transfert of orbital angular momentum polarization
Denis (A.) et Desesquelles (J.) Largeur des composantes Stark de <sup>4</sup> He II (n=4) C1-24	to nuclear spin polarization in exter- nal fields A theoretical study C1-321
Denne (B.), Pegg (D.J.), Ishii (K.), Alva-	Gabriel (H.) Voir Brugdörfer (J.) C1-315
rez (E.), Hallin (R.), Pihl (J.) and Sjödin (R.) Radiative lifetimes of	Gabriel (A.H.) Voir Steenman-Clark (L.) C1-98
highly ionized and foil-excited Al C1-183	Gabrielse (G.) and Berry (H.G.) Measu- rement of the n=2 density operator for
Desclaux (J.P.) Relativistic effects in the calculation of oscillator strengths: "Ab initio" methods	hydrogen atoms produced by passing pro- tons through thin carbon targets C1-338
Desesquelles (J.) Voir Denis (A) C1-24	Gaillard (M.J.) Interactions of swift H,
Desesquelles (J.) Voir Ceyzeriat (P.) C1-171	$H_2^+$ and $H_3^+$ with thin foils
Dietrich (D.D.), Leavitt (J.A.), Gould (H.)	Gaillard (M.L.) Voir Horani (M.) C1-57
and Marrus (R.) Wavelengths and oscil-	Garnir (H.P.) Voir Baudinet-Robinet (Y.). C1-175
lator strengths of transitions in Kr XXXIII and Kr XXXIV	Gay (T.J.) and Berry (H.G.) Temperature dependence of the beam-foil interac-
Dietrich (D.D.) and Leavitt (J.A.) Mean lines in NV	tion
Dohmann (H.D.) and Mann (R.) High preci-	Gosselin (R.N.) Voir Pinnington (E.H.) C1-149
sion measurement of the lifetime of the	Gould (H.) Voir Dietrich (D.D.) C1-215
<sup>3</sup> P <sub>2</sub> and <sup>4</sup> P <sub>5</sub> / <sub>2</sub> -states in Ar <sup>16+</sup> and Ar <sup>15+</sup>	Gould (H.) and Marrus (R.) The lamb-shift in hydrogen like argon CI-30
Donnelly (K.E.)Voir O'Neill (J.A.) C1-194	Grevesse (N.) Voir Baudinet-Robinet (Y.) C1-175
Donnelly (K.E.)Voir Kernahan (J.A.) C1-180	Griffin (P.M.) Voir Pegg (D.J.) C1-205
Drawin (H.W.) Atomic, ionic and molecular	Griffin (P.M.) Voir Forester (J.P.) C1-208
data in thermo-nuclear fusion research C1-73  Drouin (R.) Voir To (K.X.) C1-3	Groeneveld (K.O.) Voir Schumann (S.) C1-221 Groeneveld (K.O.) Voir Schumann (S.) C1-354
Drouin (R.) Voir Knystautas (E.J.) C1-186	Hallin (R.) Voir Denne (B.)
Druetta (M.) Voir Knystautas (E.J.) C1-186	Hayden (H.C.) Voir Forester (J.P.) C1-208
Druetta (M.) Voir Ceyzeriat (P.) C1-171	Heckmann (P.H.) Voir Nitsche (W.) C1-266
Druetta (M.) Voir Horani (M.) C1-57	Heine (G.), Bukow (H.H.) and Buttlar (H.v.)
Dubau (J.) Voir Steenman-Clark (L.) C1-98	Relative initial populations of foil excited Helium and Lithium at ion ener-
Ducloy (M.) Time-resolved laser satura- tion spectroscopy	gies between 70 keV and 400 keV C1-269 Hibbert (A.) C.I. Calculations in the si-
Dumont (P.D.) Voir Baudinet-Robinet (Y) C1-175	licon sequence
Durup (J.) Voir Moseley (J.T.) C1-46	Horani (M.), Bukow (H.H.), Carre (M.), Dru-
Edlund (K.) Voir Béving (E.G.) C1-246	etta (M.) and Gaillard (M.L.) High resolution laser spectroscopy of the
Ellis (D.G.) Excitation and decay of bound states near the ionization limit C1-152	predissociated b ${}^4\Sigma^-$ state of $0^+_2$ in a fast ion beam
Elston (S.B.) Voir Pegg (D.J.) C1-205	Hultberg (S.) Voir Andresen (B.) C1-352
Elston (S.B.) Voir Forester (J.P.) C1-208	Hultberg (S.) Voir Bromander (J.) C1-259
Faroux (J.P.) Voir Billy (N.) C1-20	Hultberg (S.) Voir Bromander (S.) C1-10
Faucher (P.) Voir Steenman-Clark (L.) C1-98	Hultberg (S.), Liljeby (L.), Mannervik (S.),
Folkmann (F.) Voir Mann (R.) C1-236	Veje (E.) and Lindgard (A.) Extrac-
Folkmann (F.) Voir Beyer (H.F.) C1-17	tion of lifetimes from beam-foil decay curves
Fortner (R.J.) Voir Schneider (D.) C1-239	Huldt (S.), Curtis (L.J.) and Shectman (R.
Forester (J.P.), Pegg (D.J.), Griffin (P.M.), Alton (G.D.), Elston (S.B.), Hayden (H.C.)	M.) A convenient Doppler shift method for determining the velocity of a fast
Thoe (R.S.), Vane (C.R.) and Wright (J.J.) - A systematic study of 2s <sup>2</sup> 2p <sup>k</sup> - 2s2p <sup>k+1</sup> -	ion beam
2pk+2 transitions in multiply-charged Cl	Ishii (K.) Voir Denne (B.)
ions C1-208	Jaegle (P.) Voir Jamelot (G.) C1-91
Forester (J.R.) Voir Pegg (D.J.) C1-205	Jamelot (G.), Jaegle (P.), Carillon (A.), Wehenkel (C.) Intensity and shape of
rischkorn (H.J.) Voir Schumann (S.)	spectral lines from laser-produced plasmas
röhling (R.) Voir Andrä (H.J.) C1-275	Jelenkovic (B.) Voir Andresen (B.) C1-352
(11-2/3)	Jelenkovic (B.) Voir Bromander (J.) C1-259

Jelenkovic (B.) Voir Bromander (S.)	C1-10	Marrus (R.) Voir Gould (H.)	01-30
Jelly (N.A.) Voir Armour (I.A.)	C1-211	Moseley (J.T.), Cosby (P.C.), Durup (J.)	01 30
Jensen (S.B.) Voir Andresen (B.)	C1-263	and Ozenne (J.B.) Photofragment spec-	
Johnson (B.M.) Voir Pegg (D.J.)	C1-205	troscopy of molecular ions using fast	01-46
Jones (K.W.) Beam-foil spectroscopy of heavy ions at energies from 20 to 238 MeV	01 107	Murnick (D.E.), Patel (C.K.N.), Leventhal (M.), Wood II (O.R.) and Kugel (H.W.).	
Kernahan (J.A.), Pinnington (E.H.), Donnel-	C1-197	Lamb shift studies in Cl <sup>16+</sup>	C1-34
ly (K.E.), 0'Neill (J.A.) and Brooks (R. L.). Beam-foil spectroscopy of alumi-		Neugart (R.) Laser spectroscopy of unstable isotopes	C1-38
nium below 2000 Å	C1-180	Nir (D.), Mann (A.) and Rosner (B.) Cor- relations in the motions of molecular	
Kluge (R.) Voir Schumann (S.)	C1-354	fragments traversing thick foils	C1-350
Knystautas (E.J.), Drouin (R.) et Druetta (M.) Nouvelles identifications et durées de vie dans l'argon hautement ionisé	C1 104	Nitsche (W.), Träbert (E.) and Heckmann (P. H) Relative initial populations of hy- drogen-like ions after foil excitation	C1-266
Knystautas (E.) Voir To (K.X.)	C1-186 C1-3	Nussbaumer (H.) Oscillator strengths of	
Kugel (H.W.) Voir Murnick (D.E.)	C1-34	astrophysical interest	
		O'Brien (R.) Voir Armour (I.A.)	C1-211
<pre>Kupfer (E.) Voir Gabriel (H.) Lanham (G.M.) and Stoner (J.O.), Jr Sim- ple technique for observing quantum</pre>	C1-321	O'Neill (J.A.), Pinnington (E.H.), Donnelly (K.E.) and Brooks (R.L.).— Beam-foil spectroscopy of Iodine	C1-194
beats	C1-340	O'Neill (J.A.) Voir Kernahan (J.A.)	
Larsson (S.), Crossley (R.) and Ahlenius		Ozenne (J.B.) Voir Moseley (J.T.)	
(T.) On the quartet spectra of li- thium-like ions	C1-6	Patel (C.K.N.) Voir Murnick (D.E.)	C1-34
Leavitt (J.A.) Voir Dietrich (D.D.)	C1-0	Pegg (D.J.) Voir Forester (J.P.)	C1-208
	169-215	Pegg (D.J.), Forester (J.R.), Griffin (P.M.)	
Lee (C.S.) Voir Church (D.A.)	C1-324	Alton (G.D.), Elston (S.B.), Johnson (B.	
Leventhal (M.) Voir Murnick (D.E.)	C1-34	M.), Suter (M.), Thoe (R.S.) and Vane (C.R.) Oscillator strengths determina-	
Lhuillier (C.) Voir Billy (N.)	C1-20	tions for $\Delta n=0$ transitions in Be-like	
Liljeby (L.) Voir Andresen (B.)	C1-352	ions of the third period elements	
Liljeby (L.) Voir Bromander (J.)	C1-259	Pegg (D.J.) Voir Denne (B.)	
Liljeby (L.) Voir Hultberg (S.)	C1-155	Pihl (J.) Voir Denne (B.)	
Liljeby (L.) Voir Bromander (S.)	C1-10	Pinnington (E.H.) Voir Brooks (R.L.)	
Lindgärd (A.) Voir Hultberg (S.)	C1-155	Pinnington (E.H.) Voir Kernahan (J.A.)	
Livingston (A.E.) Voir Berry (H.G.)	C1-27	Pinnington (E.H.) Voir O'Neill (J.A.)	C1-194
Loulergue (M.) Voir Steenman-Clark (L.).	C1-98	Pinnington (E.H.) and Gosselin (R.N.) Can the ANDC method really overcome the cas- cading problem in B.F.S. Lifetime measu-	
Luc-Koenig (E.) Relativistic effects in the central field approximation : the		rement ?	
relativistic parametric potential me-		Plöhn (H.J.) Voir Andrä (H.J.)	C1-275
thod	C1-115	Ramanujam (P.S.) Voir Andresen (B.)	C1-263
Mann (A.) Voir Nir (D.)	C1-350	Ridder (D.) Voir Schneider (D.)	C1-239
Mann (R.) and Folkmann (F.) Selective electron capture effects at highly ioni-		Rødbro (M.) Voir Bisgaard (P.) C1-	-14-243
zed Ne target atom after 1.4 MeV/amu hea-	-	Rosich (D) Voir Schumann (S.) C1-2	221-354
vy ion impact	C1-236	Rosner (B.) Voir Nir (D.)	C1-350
Mann (R.) Voir Schumann (S.)	C1-221	Rosner (B.) Voir Maor (D.)	C1-250
Mann (R.) Voir Dohmann (H.D.)	C1-218	Sander (U.), Bukow (H.H.) and Buttlar (H.v.)	
Mannervik (S.) Voir Andresen (B.)	C1-352	Relation between crystallographic transformation and lifetime of ion-irra-	
Mannervik (S.) Voir Bromander (J.)	C1-259	diated carbon foils	
Mannervik (S.) Voir Hultberg (S.)	C1-155	Sarre (P.J.) Voir Carrington (A.)	C1-54
Mannervik (S.) Voir Bromander (S.)	C1-10	Schader (J.) Voir Schumann (S.)	C1-354
Maor (D.) and Rosner (B.) Charge exchanging processes in small impact parameter		Schartner (K.H.) Voir Beyer (H.F.)	C1-17
collisions between Stq ions and rare		Schectman (R.M.), Curtis (L.J.) and Berry	
gases		(H.G.) Alignment, orientation and the beam-foil interaction	C1-289
Marrus (R.) Voir Dietrich (D.D.)	C1-215	Deam Tory Interaction (1) (1) (1) (1)	J. 207

Schneider (D.), Werner (H.C.), Stolterfoht (N), Fortner (R.J.) and Ridder (D.) Absolute Auger yield measurements of 0+-, N+-, C+-, and B+-projectiles fol-
lowing foil excitation
in multiplet lines emitted after beam- surface interaction
Schumann (S.), Frischkorn (H.J.), Kluge (R.), Rosich (D.), Schader (J.), Groene- veld (K.O.) Beam foil - and beam gas - excitation of mono- and di-atomic pro- jectiles
Schumann (S.), Sellin (I.A.), Mann (R.), Frischkorn (H.J.), Rosich (D.), Szabo (G.) and Groeneveld (K.O.) Delayed coincidence Auger electron lifetime mea- surements
Sellin (I.A.) Electron "cusp" spectrosco- py of the forward peak in continuum electron capture and loss in gases and solids
Sellin (I.A.) Voir Schumann (S.) C1-221
De Serio (R.) Voir Berry (H.G.) C1-27
Shectman (R.M.) Voir Huldt (S.) C1-161
Silver (J.D.) Voir Armour (I.A.) C1-211
Singer (W.) Voir Carmeliet (J.) C1-335
Sjödin (R.) Voir Denne (B.) C1-183
Sørensen (G.) Voir Bøving (E.G.) C1-246
S∮rensen (G.) Beam-foil measurements of atomic lifetimes in Co I and Co II C1-190
Sørensen (G.) Spectroscopy in the grazing- incidence spectral region C1-157
Steenman-Clark (L.), Bely-Dubau (F.), Dubau (J.), Faucher (P.), Gabriel (A.H.), Loulergue (M.) and Volonte (S.). High dielectronic satellite lines in solar flare spectra
Stolterfoht (N.) Voir Schneider (D.) C1-239
Stoner (J.O.) Voir Lanham (G.M.) C1-340
Suter (M.) Voir Pegg (D.J.) C1-205
Szabo (G.) Voir Schumann (S.) C1-221
Thoe (R.S.) Voir Pegg (D.J.) C1-205
Thoe (R.S.) Voir Pegg (D.J.) C1-205 Thoe (R.S.) Voir Forester (J.P.) C1-208
Thoe (R.S.) Voir Forester (J.P.) C1-208  To (K.X.), Knystautas (E.), Drouin (R.) and  Berry (H.G.) Doubly excited states of
Thoe (R.S.) Voir Forester (J.P.) C1-208  To (K.X.), Knystautas (E.), Drouin (R.) and Berry (H.G.) Doubly excited states of the Lil isoelectronic sequence C1-3
Thoe (R.S.) Voir Forester (J.P.) C1-208  To (K.X.), Knystautas (E.), Drouin (R.) and Berry (H.G.) Doubly excited states of the Lil isoelectronic sequence C1-3  Trabert Voir Armour (I.A.)
Thoe (R.S.) Voir Forester (J.P.) C1-208  To (K.X.), Knystautas (E.), Drouin (R.) and Berry (H.G.) Doubly excited states of the Lil isoelectronic sequence C1-3  Trabert Voir Armour (I.A.) C1-211  Träbert (E.) Voir Nitsche (W.) C1-266
Thoe (R.S.) Voir Forester (J.P.) C1-208  To (K.X.), Knystautas (E.), Drouin (R.) and Berry (H.G.) Doubly excited states of the Lil isoelectronic sequence C1-3  Trabert Voir Armour (I.A.) C1-211  Träbert (E.) Voir Nitsche (W.) C1-266  Vane (C.R.) Voir Forester (J.P.) C1-208
Thoe (R.S.) Voir Forester (J.P.) C1-208  To (K.X.), Knystautas (E.), Drouin (R.) and Berry (H.G.) Doubly excited states of the Li1 isoelectronic sequence C1-3  Trabert Voir Armour (I.A.) C1-211  Träbert (E.) Voir Nitsche (W.) C1-266  Vane (C.R.) Voir Forester (J.P.) C1-208  Vane (C.R.) Voir Pegg (D.J.) C1-205
Thoe (R.S.) Voir Forester (J.P.) C1-208  To (K.X.), Knystautas (E.), Drouin (R.) and Berry (H.G.) Doubly excited states of the Lil isoelectronic sequence C1-3  Trabert Voir Armour (I.A.) C1-211  Träbert (E.) Voir Nitsche (W.) C1-266  Vane (C.R.) Voir Forester (J.P.) C1-208
Thoe (R.S.) Voir Forester (J.P.) C1-208  To (K.X.), Knystautas (E.), Drouin (R.) and Berry (H.G.) Doubly excited states of the Li1 isoelectronic sequence C1-3  Trabert Voir Armour (I.A.) C1-211  Träbert (E.) Voir Nitsche (W.) C1-266  Vane (C.R.) Voir Forester (J.P.) C1-208  Vane (C.R.) Voir Pegg (D.J.) C1-205  Veje (E.) Voir Andresen (B.)
Thoe (R.S.) Voir Forester (J.P.) C1-208  To (K.X.), Knystautas (E.), Drouin (R.) and Berry (H.G.) Doubly excited states of the Li1 isoelectronic sequence C1-3  Trabert Voir Armour (I.A.) C1-211  Träbert (E.) Voir Nitsche (W.) C1-266  Vane (C.R.) Voir Forester (J.P.) C1-208  Vane (C.R.) Voir Pegg (D.J.) C1-205  Weje (E.) Voir Andresen (B.) C1-263-352
Thoe (R.S.) Voir Forester (J.P.) C1-208  To (K.X.), Knystautas (E.), Drouin (R.) and Berry (H.G.) Doubly excited states of the Lil isoelectronic sequence C1-3  Trabert Voir Armour (I.A.) C1-211  Träbert (E.) Voir Nitsche (W.) C1-266  Vane (C.R.) Voir Forester (J.P.) C1-208  Vane (C.R.) Voir Pegg (D.J.) C1-205  Veje (E.) Voir Andresen (B.) C1-261-263-352  Veje (E.) Voir Bromander (J.) C1-259
Thoe (R.S.) Voir Forester (J.P.) C1-208  To (K.X.), Knystautas (E.), Drouin (R.) and Berry (H.G.) Doubly excited states of the Li1 isoelectronic sequence C1-3  Trabert Voir Armour (I.A.) C1-211  Träbert (E.) Voir Nitsche (W.) C1-266  Vane (C.R.) Voir Forester (J.P.) C1-208  Vane (C.R.) Voir Pegg (D.J.) C1-205  Veje (E.) Voir Andresen (B.) C1-261-263-352  Veje (E.) Voir Bromander (J.) C1-259  Veje (E.) Beam-foil excitation phenomena. C1-253

# International Conference on the applications of the Mössbauer effect

Kyoto, 1978

Abd Election 1 (M)			
Abd Elmeguid (M.) and Kaindl (G.)Volume dependence of Sn <sup>2+</sup> transferred hyperfine fields in europium monochal-		Barb (D.) and Rogalski (M.) Dichroism of polarized Mössbauer rays	C2-11
cogenides	C2-310	Barb (D.), Diamandescu (L.), Morariu (M.) and Georgescu (I.I.). Mossbauer and	
Abe (K.) Voir Sato (M.)	C2-72	chemical analyses of some sediments	
Abe (M., Kaneta (K.), Gomi (M.) and Nomura (S.) Mössbauer study of boron fer-		from the romanian shore of the Black Sea	C2-445
rites FeNi <sub>2</sub> BO <sub>5</sub> and FeNi BO <sub>4</sub>	C2-325	Barnet (C.D.) Voir Kimball (C.W.)	C2-671
Akashi (J.), Endo (K.) and Sano (H.) Spin equilibrium of $^6A_1 \rightleftharpoons ^2T_2$ in tris (monothio- $\beta$ -diketonato) iron (III)	C2-405	Bauminger (E.R.), Cohen (S.G.), Ofer (S.) and Rachmilewitz (E.A.). Mössbauer studies of ferritin-like iron in red blood cells of thalassemia, sickle-	
Ali (N.A.) Voir Sallam (H.A.)	C2-439	cell anemia and hemoglobin hammer-	
Alwardt (P.) Voir Winkler (H.)	C2-250	smith	C2-502
Annersten (H.) Voir Häggström (L.)	C2-327	Bauminger (E.R.), Cohen (S.G.), Dickson (D.P.E.), Levy (A.), Ofer (S.) and	
		Yariv (J.) Observation of iron -	
Apers (D.) Voir Ladrière (J.)	C2-434	storage protein in E. Coli by Möss-	
Artemiev (A.N.), Kabannik (V.A.), Kazakov		bauer spectroscopy	C2-523
(Y.), Kulipanov (G.N.), Meleshko		Belozerskii (G.) and Sumonyan (S.) The	
(E.A.), Sklyarevskii (V.V.), Strinsky		effect of precession of magnetiza-	
(A.N.), Stepanov (E.P.), Klestov (V.B.) and Chechin (A.I.) Project		tion vector on the Mössbauer spectra	
and the preliminary results of the		of superparamagnetic particles	C2-237
experiments on the <sup>57</sup> Fe Mössbauer level excitation using synchrotron		Benabed (A.) Voir Ladrière (J.)	C2-20
radiation	C2-23	Berger (R.L.) Voir Balco (B.)	C2-17
Asai (K.) and Sekizawa (H.) Mössbauer		Berger (R.L.)Voir Mielczarek (E.V.)	C2-495
study of <sup>57</sup> Fe in LaNi <sub>1-x</sub> Fe <sub>x</sub> O <sub>3</sub>		Bjarman (S.) Voir Häggström (L.)	C2-327
(x < 0.2)	C2-255	Bläsius (A.) Voir Nasu (S.)	C2-619
Asch (L.), Potzel (W.), Kalvius (G.M.), Spirlet (J.C.) and Müller (W.)		Boge (M.) Voir Ladrière (J.)	C2-20
Investigation of changes in hyperfi-		Boku (R.) Voir Negita (H.)	C2-403
ne interaction and Debye-Waller- Factor by $α$ -radiation self damage in		Boudart (M.) Voir Fujimoto (K.)	C2-81
<sup>241</sup> Am metal	C2-544	Bouchez (R.) Voir Ladrière (J.)	C2-20
Ashi (B.A.) Voir Eissa (N.A.)	C2-449	Bramwell (F.B.) Voir Wunter (C.I.)	C2-594
Auric (P.) Voir Ladrière (J.)	C2-20	Brossard (L.) Voir Oudet (H.)	C2-258
Bacaud (R.), Bussière (P.) and Figueras (F.) A NGR study of Pt-Sn/Al <sub>2</sub> O <sub>3</sub> catalysts and their reactivity	C2-94	Brossard (L.), Dormann (J.L.), Goldstein (L.), Gibart (P.) and Renaudin (P.) Second order phase transition in the ferrimagnetic thiospinel FeCr <sub>2</sub> S <sub>4</sub>	C2-301
Bade (n.) Voir Parak (F.)	C2-528	Bruyneel (W.) Voir Pollak (K.)	C2-455
Balko (B.), Mielczarek (E.V.) and Berger			02 433
(R.L.) The application of selec-		Burin (K.), Manalio (A.A.), Parellada (J.), Polcari (M.R.) and Rothberg (G.M.)	
tive excitation double Mössbauer techniques to the study of relaxa-		Conversion electron measurements of	
tion in ferrichrome A	C2-17	core polarizations in iron metal	C2-188
Balko (B.) Voir Mielczarek (E.V.)	C2-495	Burriesci (N.) Voir Fano (V.)	C2-624
Ballet (0.), Coey (J.M.D.) and Massenet		Buschow (K.H.J.) Voir Van deer Kraan	
(0) - Flectric field gradient at re-		(A.M.)	C2-190
sites in trioctahedral layer silicates.	C2-283	Bussière (P.) Voir Bacaud (R.)	C2-94
Bancroft (G.M.) - Mossbauer spectroscopic		Butt (N.M.) Voir Maetz (J.)	C2-337
studies of the chemical state of	C2-464	Campany (R.G.) - Voir Cranshaw (T.E.)	C2-589
iron in silicate minerals			
Bando (Y.) Voir Shigematsu (T.)	C2-153 C2-183	Campbell (S.J.) Voir Clark (P.E.) Cashion (J.D.) and Clark (P.E.) Phase	C2-613
Bansal (C.) Voir Chandra (G.)	32 103	coherence of frequency modulated	
Bansal (C.) and Chandra (G.) <sup>57</sup> Fe hyper- fine field distribution in Co and		Mössbauer gamma rays	C2-44
Mn substituted invar alloys	C2-202		

Chambaere (D.), Govaert (A.), de Grave (E.),		Danon (J.) Voir Scorzelli (R.)	C2-568
Harts (G.) and Robbrecht (G.) A		Danon (J.) Voir Pollak (H.)	C2-480
Mössbauer effect study of the quadru- pole interaction in paramagnetic		Danot (M.) Voir Fatséas (G.A.)	C2-367
chlorine and fluorine containing		Danson (D.P.) Voir Williams (J.M.)	C2-169
β-FeOOH	C2-350	Date (S.K.) Voir Gupta (M.P.)	C2-267
Chambaere (D.) Voir Govaert (A.)	C2-442	Date (S.K.) Voir Reschke (R.)	C2-280
Chambaere (D.) Voir de Grave (E.)	C2-669	Dauwe (C.), Govaert (A.) and Renard (B.)	
Chandler (L.) Voir Takashima (Y.)	C2-566	Size distribution and surface effects	
Chandra (G.) and Bansal (C.) - Mossbauer		in ultrafine particle NGR spectra	C2-97
effect study of <sup>57</sup> Co doped Ni <sub>1-X</sub> Au <sub>X</sub>	C2-183	Dauwe (C.) Voir Pollak (H.)	C2-480
alloys	C2-202	Dauwe (C.) Voir Quartier (R.)	C2-488
	02 202	Debrunner (P.G.) Voir Dwivedi (A.)	C2-531
Chappert (J.) Mössbauer spectroscopy of amorphous magnetic rare earth alloys	C2-107	Debrunner (P.G.) Voir Schulz (C.)	C2-534
Chechin (A.I.) Voir Artemiev (A.N.)	C2-23	De Bruyn (J.) Voir Langouche (G.)	C2-547
Chen (H.S.) Voir Chien (C.L.)	C2-118	De Bruyn (J.) Voir Dézsi (I.)	C2-573
Chiang (R.) Voir Schulz (C.)	C2-534	Delcroix (P.) Voir Janot (C.)	C2-650
Chien (C.L.) Voir Owens (A.H.)	C2-74	de Grave (E.) Voir Chambaere (D.)	C2-350
	02 /4	de Grave (E.) Voir Govaert (A.)	C2-442
Chien (C.L.) and Chen (H.S.) Correlation of isomer shift and hyperfine field			02 412
in amorphous (Fe <sub>0.2</sub> Co <sub>0.8</sub> ) <sub>80</sub> P <sub>17</sub> Al <sub>3</sub>	C2-118	de Grave (E.), Govaert (A.), Chambaere (D.)  Robbrecht (G.) A model for explai-	
Chien (C.L.) Musser (D.), Luborsky (F.E.)		ning the Mössbauer spectra of ferri-	
and Walter (J.L.) Mössbauer studies of amorphous $(Fe_XNi_{1-X})_{80}B_{20}$	C2-129	magnetic spinels with a high degree of diamagnetic substitution	C2-669
Chow (Y.W.), Fuchs (M.) and Mukerji (A.).		de Waard (H.) Hyperfine magnetic fields	
Helium refrigerator for temperature		of Sn in the Heusler alloy Pd <sub>2</sub> Mn <sub>0.95</sub>	
varying Mössbauer studies	C2-41	Sn <sub>1.05</sub>	C2-233
Clark (P.E.) Voir Cashion (J.D.)	C2-44	Dézsi (I.), Nagy (D.L.), Eszterle (M.) and	
Clark (S.J.) Voir Donaldson (J.D.)	C2-389	Guczi (L.) Mössbauer study of silica supported catalysts	C2-76
Clark (P.E.) and Campbell (S.J.) Diffu-		Dézsi (I.) Voir Langouche (G.)	C2-547
sion and aging in <u>Cu</u> -Fe alloys	C2-613	Dézsi (I.), Coussement (R.), Langouche (G.),	
Clausen (B.S.) Voir Mørup (S.)	C2-78	Pattyn (H.), Reintsema (S.), Van	
Clausen (B.S.) Voir Mørup (S.)	C2-88	Rossum (M.) and de Bruyn (J.). The isomer shift values of implanted	
Coey (J.M.D.) Voir Ballet (0.)	C2-283	/ <sup>133</sup> Xe/ <sup>133</sup> Cs in various hosts	C2-573
Coey (J.M.D.), Massenet (0.), Kasaya (M.) and Etourneau (J.). Influence of		Diamandescu (L.) Voir Barb (D.)	C2-445
conduction electrons in a heavily-		Dickson (D.P.E.) Voir Gupta (G.P.)	C2-304
doped magnetic semiconductors : A		Dickson (D.P.E.) Voir Bauminger (E.R.)	C2-523
<sup>151</sup> Eu Mössbauer study of europium hexaboride	C2-333	Dockum (B.) Voir Reiff (W.M.)	C2-230
Cogneau (M.) Voir Ladrière (J.)	C2-20	Dodikin (A.P.) and Lyubutin (I.S.) An	02 230
Cohen (S.G.) Voir Bauminger (E.R.)	C2-502	magnetic structure of highly dilu-	
Cohen (S.G.) Voir Bauminger (E.R.)	C2-523	ted iron garnets	C2-342
Cohen (D.) Voir Kalvius (G.M.)		Dombsky (M.) Voir Jones (C.H.W.)	C2-417
	C2-634	Dombsky (M.) Voir Jones (C.H.W.)	C2-481
Collins (R.L.) Quantitative Mössbauer spectroscopy	C2-36	Domonkos (L.) Voir Kuzmann (E.)	C2-627
Collins (R.L.) Voir Wynter (C.I.)	C2-594	Donaldson (J.D.), Grimsey (R.M.A.) and	
Corson (M.R.), Hoy (G.R.) and Kolk (B.)		Clark (S.J.) Mössbauer evidence	
. Ferromagnetic relaxation model of		for the direct population of solid- state bands by the non-bonding elec-	
magnetic ordering in Y(Fe <sub>0.022</sub> Co <sub>0.978</sub> ) <sub>2</sub> at low temperatures	C2-150	tron pairs in high symmetry tin(II)	
Coussement (R.) Voir Ladrière (J.)	C2-159	Antimony(III) and Tellurium(IV) compounds	C2-389
	C2-20	Dormann (J.L.), Renaudin (P.), Gibart (P.)	02-309
Coursement (R.) Voir Langouche (G.)	C2-547	and Sella (C.) Superparamagnetism	
Coussement (R.) Voir Dézsi (I.)	C2-573	in granular compounds as seen by	
Cranshaw (T.E.) The interaction between		Mössbauer spectroscopy	C2-96
iron alloys	C2-167	Dormann (J.L.) Voir Oudet (H.)	C2-258
Cranshaw (T.E.) and Campany (R.G.) The		Dormann (J.L.) Voir Brossard (L.)	C2-301
study of scoring and scuffing on		Dormann (J.L.) Voir Fatséas (G.A.)	C2-367
lubricated sliging surfaces by Möss-	C2_500	Dubois (J.M.) Voir Foct (J.)	C2-647

Dunlap (B.D.) Voir Viccaro (P.J.)	C2-157	Friedt (J.M.) Voir Sanchez (J.P.)	C2-398
Dunlap (B.D.) Voir Shenoy (G.K.)	C2-180	Fuchs (M.) Voir Chow (Y.W.)	C2-41
Dunlap (B.D.) Voir Viccaro (P.J.)	C2-198	Fujimoto (K.) and Boudart (M.) Prepara-	
Dunlap (B.D.) Voir Friedt (J.M.)	C2-243	tion of supported iron clusters and	C2-81
Dunlap (B.D.) Voir Kalvius (G.M.)	C2-634	their Mössbauer effect spectra  Fujimoto (K.) Voir Shimizu (M.)	C2-581
Dunlap (B.D.) Voir Kimball (C.W.)	C2-671	Fujio (Y.) Voir Snimizu (M.)	C2-661
Dwight (A.E.) Voir Shenoy (G.K.)	C2-180	Fujioka (M.) and Takashima (M.) Applica-	02-001
Dwivedi (A.), Pederson (T.) and Debrunner		tion of a new program of conversion-	
(P.G.) Recoilless fraction of iron proteins in frozen solution	C2-531	spectrum analysis, ACSEMP, to the derivation of outer-shell s-electron	
Eguchi (T.) Voir Oki (K.)	C2-611	density of Fe	C2-32
Ellid (M.) Voir Williamson (D.L.)	C2-601	Fujita (F.E.) Mössbauer effect study of	
Eisman (G.) Voir Reiff (W.M.)	C2-234	structure of amorphous alloys	C2-120
Eissa (N.A.), Sallam (H.A.) and Ashi (B.A.)		Fujita (F.E.) Voir Yamakawa (K.)	C2-101
Aging effect on Mössbauer spectrum		Fujita (F.E.) Voir Oshima (R.)	C2-132
of coprolite	C2-449	Fujita (F.E.) Voir Sohmura (T.)	C2-207
Eissa (N.A.), Sallam (H.A.) and Morcy (M.H.) Estimation of natural radia-		Fujita (F.E.) Voir Nasu (S.)	C2-619
tion dose and of the age of ancient	00 / 60	Fukamichi (K.) Voir Oshima (R.)	C2-132
pottery by Mössbauer effect	C2-462	Fukumura (K.) and Kobayashi (T.) Structure of cobalt ferricyanide	C2-373
Endoh (Y.) Voir Sato (M.)	C2-72 C2-405	Fukumura (K.) Voir Kobayashi (T.)	C2-415
Endo (K.) Voir Akashi (J.) Endo (K.), Havada (M.), Sakai (Y.) and	C2-403	Fukano (Y.) Voir Hayashi (M.)	C2-661
Sano (H.) After effects of EC-		Furubayashi (B.) Voir Sakamoto (I.)	C2-39
decay <sup>57</sup> Co-labelled TRIS(oxinato) cobalt(III) and tris(β-diketonato)		Furubayashi (B.) and Sakamoto (I.) Dyna-	
cobalt(III)	C2-420	mical aspects of the Morin transition	
Endo (K.) Voir Sakai (Y.)	C2-431	in hematite as revealed through a Mössbauer magnetic diffraction spec-	
Eszterle (M.) Voir Dézsi (I.)	C2-76	troscopy	C2-677
Ericsson (T.) Voir Häggström (L.)	C2-327	Gal (J.) Voir Hadari (Z.)	C2-185
Etourneau (J.) Voir Coey (J.M.D.)	C2-333	Galecski (G.) Voir Hirsch (A.A.)	C2-320
Evans (B.J.) Voir Vogel (R.)	C2-277	Garcin (C.), Gerard (A.), Imbert (P.) and Jehanno (G.) Abnormal populations	
Evans (B.J.) and Leung (L.K.) Mossbauer		and vibronic properties of the elec-	
spectroscopy of tektites and other natural glasses	C2-489	tronic levels of Fe <sup>2+</sup> ions in ZnS: <sup>57</sup> Co Mössbauer sources	C2-413
Fano (V.), Maniezzi (E.), Ortalli (I.),		Gartstein (E.) Voir Leibovitch (Ch.)	C2-604
Burriesci (N.) and Petrera (M.)		Georgescu (I.I.) - Voir Barb (D.)	C2-445
Mössbauer effect sutdy of the Sn <sub>0.9</sub> Gen. Te system	C2-624	Gerard (A.), Grandjean (F.), Preudhomme (J.)	
Fatséas (G.A.), Dormann (J.L.) and Danot		and Tarte (P.) Study by Mössbauer	
(M.) Vacancy-cation distribution		spectroscopy of new spinel compounds containing Fe <sup>3+</sup> and Sb <sup>5+</sup> ions	C2-339
in non stoichiometric layered iron- titanium chalcogenides	C2-367	Gerard (A.) Voir Garcin (C.)	C2-413
Fedeli (G.) Voir Ortalli (I.)	C2-596	Gerdau (E.) Voir Winkler (H.)	C2-250
Figueras (F.) Voir Bacaud (R.)	C2-94	Gettys (W.L.) Voir Stevens (V.E.)	C2-686
Fischer (H.) Voir Gonser (U.)		Ghafari (M.) Voir Gonser (U.)	C2-126
Fluck (E.) Voir Inoue (H.)	C2-126	Ondiali (). Toll compet (o.) Tittettitte	
Foct (J.), Senateur (J.P.), Dubois (J.M.)	C2-126 C2-361	Gibart (P.) Voir Dormann (J.L.)	C2-96
and Le Caer (G.) Mössbauer spec-		Gibart (P.) - Voir Dormann (J.L.)	C2-96
troscopy of different interstitial compounds and solid solutions con-	C2-361	Gibart (P.) Voir Dormann (J.L.)  Gibart (P.) Voir Oudet (H.)	C2-96 C2-258
troscopy of different interstitial compounds and solid solutions con- taining <sup>57</sup> Fe	C2-361	Gibart (P.) Voir Dormann (J.L.)	C2-96 C2-258 C2-301
troscopy of different interstitial compounds and solid solutions containing 57Fe	C2-361 C2-647 C2-29	Gibart (P.) Voir Dormann (J.L.)	C2-96 C2-258 C2-301 C2-20
troscopy of different interstitial compounds and solid solutions containing 57Fe	C2-361 C2-647 C2-29 C2-505	Gibart (P.) Voir Dormann (J.L.)	C2-96 C2-258 C2-301 C2-20 C2-258
troscopy of different interstitial compounds and solid solutions containing 57Fe	C2-361  C2-647  C2-29  C2-505  C2-671	Gibart (P.) Voir Dormann (J.L.)	C2-96 C2-258 C2-301 C2-20 C2-258 C2-301
troscopy of different interstitial compounds and solid solutions containing 57Fe	C2-361 C2-647 C2-29 C2-505	Gibart (P.) Voir Dormann (J.L.)  Gibart (P.) Voir Oudet (H.)  Gibart (P.) Voir Brossard (L.)  Godard (J.) Voir Ladrière (J.)  Goldstein (L.) Voir Oudet (H.)  Goldstein (L.) Voir Brossard (L.)  Gomi (M.) Voir Abe (M.)	C2-96 C2-258 C2-301 C2-20 C2-258 C2-301 C2-325
troscopy of different interstitial compounds and solid solutions containing 57Fe	C2-361  C2-647  C2-29  C2-505  C2-671	Gibart (P.) Voir Dormann (J.L.)	C2-96 C2-258 C2-301 C2-20 C2-258 C2-301 C2-325 C2-47
troscopy of different interstitial compounds and solid solutions containing 57Fe	C2-361  C2-647  C2-29  C2-505  C2-671	Gibart (P.) Voir Dormann (J.L.)  Gibart (P.) Voir Oudet (H.)  Gibart (P.) Voir Brossard (L.)  Godard (J.) Voir Ladrière (J.)  Goldstein (L.) Voir Oudet (H.)  Goldstein (L.) Voir Brossard (L.)  Gomi (M.) Voir Abe (M.)  Gonser (U.) Voir Wildner (W.)  Gonser (U.) Voir Keune (W.)	C2-96 C2-258 C2-301 C2-20 C2-258 C2-301 C2-325 C2-47

			00 500
Gonser (U.) Voir Maeda (Y.)	C2-500	Harami (T.) Voir Maeda (Y.)	C2-500
Gonser (U.) Voir Preston (R.S.)	C2-564	Harris (F.E.) Voir Reschke (R.)	C2-280
Gonser (U.) Voir Nasu (S.)	C2-619	Harts (G.) Voir Chambaere (D.)	C2-350
Gonser (U.) Concluding remarks	C2-689	Hashimoto (M.) Voir Ichinose (H.)	C2-542
Görlich (E.A.), Latka (K.), Kmieć (R.) and		Hassan (M.Y.) Voir Sallam (H.A.)	C2-439
Tomala (K.) Investigations of the hyperfine interactions in $Gd_{1-X}Y_X$		Hayashi (N.) Voir Sakamoto (I.)	C2-39
and Gd <sub>1-X</sub> Sc <sub>X</sub> alloys by the Mössbauer effect for <sup>155</sup> Gd isotope	02 (5)	Hayashi (N.) and Sakamoto (I.). The dependence of filtered resonance radiation	
	C2-654	of 119Sn	C2-53
Görlich (E.A.), Hrynkiewicz (A.Z.), Łątka (K.), Kmieč (R.), Szytula (A.) and		Hayashi (M.), Tamura (I.), Fukano (Y.),	
Tomalo (K.) Mössbauer spectroscopy	C2-656	Kanemaki (S.) and Fujio (Y.) Möss- bauer effect study of lattice vibration	
of DyMe <sub>2</sub> Si <sub>2</sub> compounds	C2-559	of fine particles of iron	C2-661
Goto (H.) Voir Sassa (K.)	C2-97	Helgason (Ö), Oskarsson (N.) and Mérup	
Govaert (A.) Voir Dauwe (C.)	C2-350	(S.) Mössbauer spectroscopy studies of reference samples of Icelandic	
Govaert (A.) Voir Chambaere (D.)	62-330	igneous rocks	C2-452
Govaert (A.), de Grave (E.), Quartier (H.), Chambaere (D.) and Robbrecht (G.)		Herber (R.H.) Atomic and molecular motion	
Mossbauer analysis of glauconites of	C2-442	in covalent solids	C2-386
different belgian finding places	C2-442	Herber (R.H.) Voir Katada (M.)	C2-663
Govaert (A.) Voir Quartier (H.) Govaert (A.) Voir de Grave (E.)	C2-669	Hesse (J.), Müller (J.B.) and Wiechman (B.) Anisotropic hyperfine interac-	
Grandjean (F.) Voir Gerard (A.)	C2-339	tions in cubic metal alloys : Moss-	
Greenwood (N.N.) Voir Tsuji (I.)	C2-630	bauer effect measurements on fcc Fe-Ni	C2-161
Grimsey (R.M.A.) Voir Donaldson (J.D.)	C2-389	Hill (V.G.) Voir Wynter (C.I.)	C2-594
Gubbens (P.C.M.) Voir Van der Kraan		Hine (S.), Shigematsu (T.), Shinjo (T.) and	
(A.M.)	C2-190	Takada (T.) Interface magnetism of	
Gubbens (P.C.M.), Van der Kraan (A.M.),		epitaxial Fe films on Sb by Mössbauer effect	C2-84
Van Oijen (J.A.C.) and Reedjik (J.) Mössbauer effect study of oxalato-		Hine (S.) Voir Shinjo (T.)	C2-86
bridged Fe(II) chain compounds	C2-328	Hirano (E.) Voir Nakai (Y.)	C2-55
Guczi (L.) Voir Dézsi (I.)	C2-76	Hirsch (A.A.) and Galeczki (G.) Valence	
Gupta (M.P.), Kanetkar (S.M.), Date (S.K.), Nigavekar (A.S.) and Sinha (A.P.B.)		instabilities in magnetite down to	00 200
<sup>57</sup> Fe Mössbauer studies in FeCoCrO <sub>4</sub> and		15 K	C2-320
Fe <sub>2</sub> MoO <sub>4</sub> cubic spinels	C2-267	Hisatake (K.) Voir Toriyama (T.)	C2-14
Gupta (G.P.), Dickson (D.P.E.) and Johnson (C.E.) Mössbauer studies of the one-		Hodges (J.A.) and Imbert (P.) Spin-spin relaxation of Yb <sup>3+</sup> in paramagnetic	
dimensional antiferromagnetic systems:		DyAlO <sub>3</sub> , TbAlO <sub>3</sub> and HoAlO <sub>3</sub>	C2-253
A <sub>2</sub> Fe F <sub>5</sub>	C2-304	Honsako (T.) Voir Shimizu (M.)	C2-581
Gütlich (P.) Mössbauer spectroscopic stu- dies of spin crossover compounds	C2-378	Horiike (M.) Voir Ito (A.)	C2-290
Hadari (2.), Gal (J.) and Nowik (I.) Ma-	02 0.0	Horiike (M.) Voir Ito (A.)	C2-323
gnetism and hyperfine interactions		Howe (A.T.) Voir Tsuji (T.)	C2-630
in (Np <sub>1-x</sub> U <sub>x</sub> ) <sub>6</sub> Fe	C2-185	Howes (B.D.), Price (D.C.) and Mackey (D.J.) Reassessment of the Mössbauer	
Häggström (L.), Annersten (H.), Ericsson (T.),Wäppling (R.), Karner (W.) and		spectra of iron(II) pyridine-N-oxide	
Bjarman (S.) Magnetic dipolar and electric quadrupole effects on the		perchlorate : evidence for site dis- tortions enhanced by grinding	C2-286
Mossbauer spectra of magnetite above		Hoy (G.R.) Voir Corson (M.R.)	C2-159
the verwey transition	C2-327	Hrynkiewicz (A.Z.) Voir Görlich (E.A.)	C2-656
Handa (A.) Voir Ujihira (Y.)	C2-586	Huynh (B.H.), Münck (E.) and Orme-Johnson	02 030
Haneda (K.) and Morrish (A.H.) Extraordi- narily low Mössbauer fraction in		(W.H.) Mossbauer studies of the co-	
aerosoled Fe fine particles	C2-91	factor centers of nitrogenase	C2-526
Haneda (K.) and Kojima (H.) Morphology of		Ichiba (S.) - Voir Sakai (H.)	C2-395
nonstoichiometric Fe <sub>3</sub> O <sub>4</sub> particles as magnetic recording media	C2-583	Ichiba (S.) Voir Negita (H)	C2-403
Harada (M.) Voir Endo (K.)	C2-420	Ichiba (S.), Yamada (M.) and Negita (H.) Mössbauer emission spectra of <sup>119m</sup> Sn	
Harada (M.) Voir Sakai (Y.)	C2-431	Cl <sub>2</sub> adducts with some oxygen and ni-	
Harami (T.), Maeda (Y.) and Morita (Y.)		Ichinose (H) Washingto (M)	C2-428
Single crystal studies of ferric	00.400	Ichinose (H.), Hashimoto (M.) and Ishida (Y.) Mossbauer analysis of grain	
myoglobin compounds	C2-498	boundaries as a function of the grain boundary structure	
		Domesty belucture assessment and	1.7-547

Ichinose (H.) Voir Ishida (Y.)	C2-571	Jones (C.H.W.) and Dombsky (M.) 125Te	
Iida (S.) Voir Umemura (S.)	C2-307	Mössbauer emission spectra of tel-	02-617
Iijima (S.)Voir Watanabe (M.)	C2-392	lurium thiourea complexes	C2-417
<pre>Imbert (P.) Voir Hodges (J.A.)</pre>	C2-253	Jones (C.H.W.), Dombsky (M.) and Skinner (A.F.) An <sup>57</sup> Fe Mössbauer study of	
Imbert (P.) Voir Garcin (C.)	C2-413	the heat treatment of alibates flint .	C2-481
Inawashiro (S.), Katsura (S.) and Takahashi		Kabannik (V.A.) Voir Artemiev (A.N.)	C2-23
(M.) Magnetization of amorphous magnets	C2-147	Kachi (S.) Voir Ueda (Y.)	C2-275
Ingalls (R.) High pressure magnetism	C2-147 C2-174	Kai (N.) Voir Takashima (Y.)	C2-566
Ino (H.) Voir Matsuzaki (A.)	C2-174	Kaindl (G.) Voir Abd Elmeguid (M.)	C2-310
Ino (H.) Voir Nanao (S.)	C2-104 C2-123	Kalvius (G.M.) Voir Potzel (W.)	C2-29
Ino (H.) Voir Kawano (K.)	C2-621	Kalvius (G.M.) Voir Rebizant (J.)	C2-31
Ino (H.) and Ito (T.). The structures of	02-021	Kalvius (G.M.) Voir Wagner (F.M.)	C2-140
martensite and bainite	C2-644	Kalvius (G.M.) Voir Asch (L.)	C2-544
Inoue (H.), Fluck (E.), Shirai (T.) and Yanagisawa (S.) Mössbauer spectrorco- pic characterization of prussian blue		Kalvius (G.M.), Cohen (D.), Dunlap (B.D.) and Shenoy (G.K.) Mössbauer resonan- ce in <sup>240</sup> Pu	C2-634
analogues	C2-361	Kaneko (K.) Voir Sassa (K.)	C2-556
Irler (W.) Voir Vogel (H.)	C2-676	Kaneko (Y.) Voir Watanabe (S.)	C2-632
Ishida (Y.) Voir Umeyama (S.)	C2-539	Kanemaki (S.) Voir Hayashi (M.)	C2-661
Ishida (Y.) Voir Ichinose (H.)	C2-542	Kaneta (K.) Voir Abe (M.)	C2-325
Ishida (Y.). Voir Taniwaki (M.)	C2-549	Kanetkar (S.M.) Voir Gupta (M.P.)	C2-267
Ishida (Y.) Voir Ozawa (T.)	C2-551	Kanno (H.) Voir Takeda (M.)	C2-345
Ishida (Y.) Voir Sassa (K.)	C2-556	Karner (W.) Voir Häggström (L.)	C2-327
Ishida (Y.) Voir Sassa (K.)	C2-559	Karger (M.) Voir Pröbst (F.)	C2-635
Ishida (Y.), Ozawa (T.), Ichinose (H.), Sassa (K.), Taniwaki (M.), Umeyama		Kasaya (M.) Voir Coey (J.M.D.)	C2-333
(S.) and Ogawa (S.) Mössbauer stu-		Katada (M.) Voir Matsubara (S.)	C2-363
dies of solute atom associated with lattice defects in metals  Ito (A.) Voir Syono (Y.)	C2-571 C2-115	Katada (M.) and Herber (R.H.) Lattice dynamics of graphite-iron chloride intercalation compounds from Möss-	
Ito (A.), Someya (Y.) and Morimoto (S.)	02 113	bauer spectroscopy	C2-663
Magnetic properties of the perovskite compound RbFeF <sub>3</sub>	C2-264	Katayama (T.), Nishihara (Y.), Yamaguchi (Y.), Ogawa (S.) and Tsuchima (T.)	
Ito (A.) and Horiike (M.) - Mossbauer study		Mossbauer and magnetic measurements in amorphous rare earth-transition metal	
on e critical dynamics of the two- dimensional antiferromagnet	C2-290	films	C2-135
Ito (A.) and Horiike (M.) Mössbauer study		Kato (M.) Voir Umeyama (S.)	C2-539
of the two-dimensional antiferromagnet		Katsura (S.) Voir Inawashiro (S.)	C2-147
in the critical region: Rb <sub>2</sub> CoF <sub>4</sub> : <sup>57</sup> Fe and Rb <sub>2</sub> Co <sub>0.95</sub> Mg <sub>0.05</sub> F <sub>4</sub> : <sup>57</sup> Fe	C2-323	Kawakami (0.) Voir Takeda (M.)	C2-472
Ito (T.) Voir Ino (H.)	C2-644	Kawakami (0.) Voir Takeda (M.)	C2-483
Iwamoto (N.), Tsunawaki (Y.), Nakagawa (H.),		Kawano (K.), Ino (H.) and Nishikawa (S.) Fe atom position in f.c.c. β-La	
Migyago (M.), Yoshimura (T.), and		phase	C2-621
Wakabayashi (N.) Study of calcium- iron-silicate glasses by Mössbauer		Kazakov (Y.) Voir Artemiev (A.N.)	C2-23
spectroscopy	C2-151	Kellershohn (C.), Rimbert (J.N.), Fortier	
Jain (J.) Voir Longworth (G.)	C2-608	(D.) and Mazière (M.) Mössbauer study of rare earth bone uptake	C2-505
Janot (C.) and Delcroix (P.) Diffusion mechanism of iron in vanadium at high temperature	C2-650	Keune (W.), Lauer (J.), Gonser (U.) and Williamson (D.L.) Magnetic proper- ties of Fe layers at Cu and Ag inter-	
Japa (S.), Krop (K.), Radwanski (R.) and		faces	C2-69
Wolinski (J.). The temperature rotation of the easy axis direction in		Keune (W.) Voir Lauer (J.)	C2-561
DyFe <sub>3</sub>	C2-193	Kimball (C.W.), Van Landuyt (G.L.), Barnet	
Jehanno (G.) Voir Sanchez (J.P.)	C2-398	(C.D.), Shenoy (G.K.), Dunlap (B.D.) and Fradin (F.Y.) Mössbauer studies	
Jehanno (G.) Voir Garcin (C.)	C2-413	of ternary superconductors	C2-671
Jex (H.) Voir Maetz (J.)	C2-337	Kitahara (T.) Voir Kobayashi (T.)	C2-411
Johnson (C.E.) Voir Price (D.C.)	C2-226	Kitahara (T.) Voir Kobayashi (T.)	C2-415
Johnson (C.E.) - Voir Gupta (G.P.)	C2-304	Klestov (V.B.) Voir Artemiev (A.N.)	C2-23

Klissurski (D.G.) and Mitov (I.G.) - Mossbaue	r	and Gartstein (E.) Mössbauer study	
studies of the reduction of $\alpha$ -F <sub>2</sub> O <sub>3</sub> containing alkali metal hydroxides	C2-353	of metastable phases in Ti-3at% Mo	
	C2-654	alloy	C2-604
Kmiéc (R.) Voir Görlich (E.A.)		Leu (L.R.) Voir Wei (H.H.)	C2-355
Kmiéc (R.) Voir Görlich (E.A.)	C2-656	Leung (L.K.) Voir Evans (B.J.)	C2-489
Kobayashi (T.) Voir Fukumura (K.)	C2-373	Levy (A.) Voir Bauminger (E.R.)	C2-523
Kobayashi (T.), Kithara (T.) and Shimizu		Litterst (F.J.) Voir Wagner (F.M.)	C2-140
(S.) Time-dependent linewidth and recoilless fraction of the Mössbauer		Liu (Y.S.) Nuclear electric field gradient	
spectrum with <sup>57</sup> Co <sup>2+</sup> [Fe <sup>111</sup> (CN) <sub>6</sub> ] <sup>32</sup>	C2-411	of the iron sites in FeS <sub>2</sub> (pyrite)	C2-400
Kobayashi (T.), Fukumura (K.), Kitahara (T.) and Shimizu (S.) Gamma X-ray		Livi (F.P.) Voir Schmidt (J.E.)	C2-210
coincidence Mössbauer spectroscopy with cobalt chloride	C2-415	Long (G.J.), Wrobleski (J.T.) and Longworth (G.) A Mössbauer effect study of	
	C2-483	relaxation in two iron(III) schiff-	050
Kobayashi (H.) Voir Takeda (M.)	C2-596	base complexes	C2-358
Kobayashi (K.L.I.) Voir Ortalli (I.)		Longworth (G.) Voir Long (G.J.)	C2-358
Kocsis (M.) Voir Kuzmann (E.)	C2-627	Longworth (G.) and Tite (M.S.) Mössbauer	
Koizumi (M.) Voir Shimada (M.)	C2-272	studies on the nature of the red or black glazes on Greek and Indian pain-	
Kojima (H.) Voir Haneda (K.)	C2-583	ted ware	C2-460
Kolk (B.) Voir Corson (M.R.)	C2-159	Longworth (G.) and Jain (J.) Mossbauer	
Kolk (B.) The T temperature dependence of the mean-square displacement of atoms		spectroscopy of iron implanted copper silver and gold alloys	C2-608
in solids	C2-680		C2-129
Komatsubara (K.F.) Voir Ortalli (I.)	C2-596	Luborsky (F.E.) Voir Chien (C.L.)	
Komura (S.) Voir Takeda (T.)	C2-165	Lyubutin (I.S.) Voir Dodokin (A.P.)	C2-342
Koshimura (M.) Voir Takahashi (M.)	C2-144	Mac Grath (R.D.) Voir Mirzababayev (R.M.).	C2-216
Kosuge (K.) Voir Ueda (Y.)	C2-275	Mackey (D.J.) Voir H wes (B.D.)	C2-286
Krack (J.C.) Voir Ladrière (J.)	C2-434	Maeda (Y.) Voir Nanao (S.)	C2-123
Krop (K.) Voir Japa (S.)	C2-193	Maeda (Y.) Voir Sakai (H.)	C2-395
Kulipanov (G.N.) Voir Artemiev (A.N.)	C2-23	Maeda (Y.), Sakai (H.), Onoyama (S.) and Yoshida (E.) Mössbauer studies of	
Kuwano (H.) and Ôno (K.) Mössbauer effect	02 23	japanese ancient pottery	C2-485
study of $Cr_{1-x}Fe_{x}$ alloys	C2-196	Maeda (Y.) Voir Harami (T.)	C2-498
Kuzmann (E.), Domonkos (L.), Kocsis (M.),		Maeda (Y.), Harami (T.), Morita (Y.), Traut-	
Nagy (S.), Vertes (A.) and Mehner (H.) Determination of retained aus-		wein (A.) and Gonser (U.) Determina-	
tenite in steels alloyed with carbide		tion of the electric field gradient tensor in myoglobin-O <sub>2</sub> and -CO com-	
formers	C2-627	pounds	C2-500
Ladrière (J.), Meykens (A.), Coussement (R.), Cogneau ( M.), Boge (M.), Auric (P.),		Maeda (Y.) Voir Sakai (H.)	C2-511
Bouchez (R.), Benabed (A.) and Godard		Maeda (Y.) Mossbauer studies on the iron-	
(J.) Isomer shift calibration of <sup>57</sup> Fe by life-time variations in the		ligand binding in hemoproteins and their related compounds	C2-514
electron-capture decay of <sup>57</sup> Fe	C2-20		02-314
Ladrière (J.), Krack (J.C.) and Apers (D.)		Maeda (Y.) and Takashima (Y.). Study of radiolysis of hypophosphite by means	
Mössbauer studies on the radiation		of Mössbauer spectroscopy	C2-553
damage produced by electron capture and gamma radiolysis in cobalt(II) and		Maetz (J.), Butt (N.M.), Jex (H.) and	
iron(II) selenate	C2-434	Müllner (M.) Investigation of the critical scattering at the structural	
Langouche (G.), Dézsi (I.), de Bruyn (J.),		phase transition in RbCaF <sub>3</sub> using Möss-	
Van Rossum (M.) and Coussement (R.) Mössbauer study of <sup>57</sup> Co implanted in		bauer diffraction	C2-337
silicon and germanium	C2-547	Malik (S.K.) Voir Viccaro (P.J.)	C2-157
Langouche (G.) Voir Dézsi (I.)	C2-573	Manalio (A.A.) Voir Burin (K.)	C2-188
Kątka (K.) Voir Görlich (E.A.)	C2-654	Maniezzi (E.) Voir Fano (V.)	C2-624
Łątka (K.) Voir Görlich (E.A.)	C2-656	Manning (P.G.) Voir Tricker (M.J.)	C2-477
Lauer (J.) Voir Keune (W.)	C2-69	Marie (A.L.) Voir Parak (F.)	C2-528
Lauer (J.), Pfannes (H.D.), and Keune (W.)		Massenet (0.) Conversion electron Moss-	
Valence state change of Fe impurities	00 544	bauer spectroscopy down to liquid helium temperature	C2-26
in LiNbO <sub>3</sub> after X-ray irradiation	C2-561	Massenet (0.) Voir Ballet (0.)	C2-283
Le Caer (G.) Voir Foct (J.)	C2-647		C2-333

Matsubara (S.), Katada (M.), Sato (K.), Motoyama (I.) and Sano (H.) Möss-		Müller (J.B.) Voir Hesse (J.)	C2-161
bauer spectroscopic studies of the		Müller (W.) Voir Asch (L.)	C2-544
intermolecular interaction in the organometallic molecular compounds	00 000	Müllner (M.) Voir Maetz (J.)	C2-337
Matsuzaki (A.), Nanao (S.) and Ino (H.)	C2-363	Mukerji (A.) Voir Chow (Y.W.)	C2-41
Structure and bonding nature of Pd-Si		Münck (E.) Voir Huynh (B.H.)	C2-526
amorphous alloys  Matsuzawa (T.), Okamura (K.), Shishido (T.)	C2-104	Muraoka (Y.), Shiga (M.) and Nakamura (Y.) Mictomagnetism in Zr(Fe-Co) <sub>2</sub>	C2-213
and Yajima (S.) Syntheses of amor-		Musser (D.) Voir Chien (C.L.)	C2-129
phous and "orthorhombic" GIG	C2-149	Nagarajan (R.) Voir Pillay (R.G.)	C2-218
Masumoto (T.) Voir Oshima (R.)  Matthias (E.) Voir West (P.J.)	C2-132 C2-46	Nagy (D.L.) Deformation induced texture in Mössbauer absorbers	C2-49
Mazaki (H.) Voir Takabatake (T.)	C2-46	Nagy (D.L.) Voir Dézsi (I.)	C2-76
Maziere (M.) Voir Kellershohn (C.)		Nagy (S.) Voir Kuzmann (E.)	C2-627
Mehner (H.) Voir Kuzmann (E.)	C2-505	Naka (S.) Voir Takano (M.)	C2-313
	C2-627	Naka (S.) Voir Takeda (Y.)	C2-331
Mekata (M.) Time dependent electric quadrupole interaction at 181 Ta in cubic		Nakagawa (H.) Voir Iwamoto (N.)	C2-151
crystals observed by perturbed angu-			62-131
lar correlations	C2-423	Nakai (Y.) and Hirano (E.). The small angle scattering of Mössbauer γ-rays for the	
Meleshko (E.A.) Voir Artemiev (A.N.)	C2-23	Fe-Ni alloy near the critical concen-	00 55
Mengeristsky (G.) Voir Ron (M.)	C2-639	tration	C2-55
Meykens (A.) Voir Ladrière (J.)	C2-20	Nakamura (Y.) Voir Shiga (M.)	C2-204
Mielczarek (E.V.) Voir Balco (B.)	C2-17	Nakamura (Y.) Voir Mizoguchi (T.)	C2-211
Mielczarek (E.V.), Balko (B.), Berger (R.L.), White (D.K.), Traylor (T.G.) and		Nakamura (Y.) Voir Muraoka (Y.)	C2-213
Mincey (T.) Mössbauer spectroscopy		Nakamura (Y.) Voir Tahara (R.)	C2-592
of the model hemoglobin compound di- chelated protoheme	C2-495	Nakanishi (N.) Voir Takano (M.)	C2-313
Mielczarek (E.V.) The isomer shift cali-	02 475	Nanao (S.), Sugiura (J.), Ino (H.), Maeda (Y.) and Sakai (H.).— A study of local	
bration constant in <sup>57</sup> Fe	C2-508	atomic and electronic structures of liquid - Quenched La-Au alloys by	
Miller (J.F.) Voir Viccaro (P.J.)	C2-198	197 Au and 57 Fe spectroscopy	C2-123
Mincey (T.) Voir Mielczarek (E.V.)	C2-495	Nanao (S.) Voir Matsuzaki (A.)	C2-104
Mirzababayev (R.M.), Mc Grath (R.D.) and		Nasu (S.) Voir Preston (R.S.)	C2-564
Walker (J.C.). The observation of differences between scattering and		Nasu (S.), Gonser (U.), Bläsius (A.) and Fujita (F.E.) Phase analysis in me-	
transmission Mössbauer spectra near the Curie temperature	C2-216	tals and alloys by Mössbauer spectros-	
Witness (T.C.) - Wein Wlinswelli (D.C.)	00 050	copy	C2-619
Mitov (I.G.) - Voir Klissurski (D.G.)	C2-353		
	C2-353	Negita (H.) Voir Sakai (H.)	C2-395
Mizoguchi (T.), Tanaka (Y.), Tsuchida (T.) and Nakamura (Y.) Easy direction of		Negita (H.), Boku (R.) and Ichiba (S.)	
Mizoguchi (T.), Tanaka (Y.), Tsuchida (T.) and Nakamura (Y.) Easy direction of magnetization in GdFe <sub>2</sub>	C2-211	Negita (H.), Boku (R.) and Ichiba (S.) Mossbauer absorption spectra of <sup>119</sup> Sn in the single crystals of (CH <sub>3</sub> ) <sub>2</sub>	
Mizoguchi (T.), Tanaka (Y.), Tsuchida (T.) and Nakamura (Y.) Easy direction of magnetization in GdFe <sub>2</sub> Migyago (M.) Voir Iwamoto (N.)	C2-211 C2-151	Negita (H.), Boku (R.) and Ichiba (S.) Mössbauer absorption spectra of <sup>119</sup> Sn in the single crystals of (CH <sub>3</sub> ) <sub>2</sub> Sn(NCS) <sub>2</sub> , (CH <sub>3</sub> ) <sub>2</sub> SnCl <sub>2</sub> (C <sub>5</sub> H <sub>5</sub> NO) <sub>2</sub> , and	C2-395
Mizoguchi (T.), Tanaka (Y.), Tsuchida (T.) and Nakamura (Y.) Easy direction of magnetization in GdFe2  Migyago (M.) Voir Iwamoto (N.)  Morariu (M.) Voir Barb (D.)	C2-211 C2-151 C2-445	Negita (H.), Boku (R.) and Ichiba (S.)  Mössbauer absorption spectra of <sup>119</sup> Sn in the single crystals of (CH <sub>3</sub> ) <sub>2</sub> Sn(NCS) <sub>2</sub> , (CH <sub>3</sub> ) <sub>2</sub> SnCl <sub>2</sub> (C <sub>5</sub> H <sub>5</sub> NO) <sub>2</sub> , and (CH <sub>3</sub> ) <sub>3</sub> SnCN	C2-395
Mizoguchi (T.), Tanaka (Y.), Tsuchida (T.) and Nakamura (Y.) Easy direction of magnetization in GdFe <sub>2</sub> Migyago (M.) Voir Iwamoto (N.)  Morariu (M.) Voir Barb (D.)  Morcy (M.H.) Voir Eissa (N.A.)	C2-211 C2-151 C2-445 C2-462	Negita (H.), Boku (R.) and Ichiba (S.) Mössbauer absorption spectra of 119 Sn in the single crystals of (CH <sub>3</sub> ) <sub>2</sub> Sn(NCS) <sub>2</sub> , (CH <sub>3</sub> ) <sub>2</sub> SnCl <sub>2</sub> (C <sub>5</sub> H <sub>5</sub> NO) <sub>2</sub> , and (CH <sub>3</sub> ) <sub>3</sub> SnCN	C2-395
Mizoguchi (T.), Tanaka (Y.), Tsuchida (T.) and Nakamura (Y.) Easy direction of magnetization in GdFe2  Migyago (M.) Voir Iwamoto (N.)  Morariu (M.) Voir Barb (D.)  Morcy (M.H.) Voir Eissa (N.A.)  Morimoto (S.) Voir Ito (A.)	C2-211 C2-151 C2-445 C2-462 C2-264	Negita (H.), Boku (R.) and Ichiba (S.)  Mössbauer absorption spectra of <sup>119</sup> Sn in the single crystals of (CH <sub>3</sub> ) <sub>2</sub> Sn(NCS) <sub>2</sub> , (CH <sub>3</sub> ) <sub>2</sub> SnCl <sub>2</sub> (C <sub>5</sub> H <sub>5</sub> NO) <sub>2</sub> , and (CH <sub>3</sub> ) <sub>3</sub> SnCN	C2-395 C2-403 C2-428
Mizoguchi (T.), Tanaka (Y.), Tsuchida (T.) and Nakamura (Y.) Easy direction of magnetization in GdFe2  Migyago (M.) Voir Iwamoto (N.)  Morariu (M.) Voir Barb (D.)  Morcy (M.H.) Voir Eissa (N.A.)  Morimoto (S.) Voir Ito (A.)	C2-211 C2-151 C2-445 C2-462 C2-264 C2-498	Negita (H.), Boku (R.) and Ichiba (S.)  Mossbauer absorption spectra of 119 Sn in the single crystals of (CH <sub>3</sub> ) <sub>2</sub> Sn(NCS) <sub>2</sub> , (CH <sub>3</sub> ) <sub>2</sub> SnCl <sub>2</sub> (C <sub>5</sub> H <sub>5</sub> NO) <sub>2</sub> , and (CH <sub>3</sub> ) <sub>3</sub> SnCN	C2-395 C2-403 C2-428 C2-230
Mizoguchi (T.), Tanaka (Y.), Tsuchida (T.) and Nakamura (Y.) Easy direction of magnetization in GdFe2  Migyago (M.) Voir Iwamoto (N.)  Morariu (M.) Voir Barb (D.)  Morcy (M.H.) Voir Eissa (N.A.)  Morimoto (S.) Voir Ito (A.)  Morita (Y.) Voir Harami (T.)  Morita (Y.) Voir Maeda (Y.)	C2-211 C2-151 C2-445 C2-462 C2-264 C2-498 C2-500	Negita (H.), Boku (R.) and Ichiba (S.)  Mössbauer absorption spectra of 119 Sn in the single crystals of (CH <sub>3</sub> ) <sub>2</sub> Sn(NCS) <sub>2</sub> , (CH <sub>3</sub> ) <sub>2</sub> SnCl <sub>2</sub> (C <sub>5</sub> H <sub>5</sub> NO) <sub>2</sub> , and (CH <sub>3</sub> ) <sub>3</sub> SnCN	C2-403 C2-428 C2-230 . C2-267
Mizoguchi (T.), Tanaka (Y.), Tsuchida (T.) and Nakamura (Y.) Easy direction of magnetization in GdFe2  Migyago (M.) Voir Iwamoto (N.)  Morariu (M.) Voir Barb (D.)  Morcy (M.H.) Voir Eissa (N.A.)  Morimoto (S.) Voir Ito (A.)  Morita (Y.) Voir Harami (T.)  Morita (Y.) Voir Maeda (Y.)  Morrish (A.H.) Voir Haneda (K.)	C2-211 C2-151 C2-445 C2-462 C2-264 C2-498	Negita (H.), Boku (R.) and Ichiba (S.)  Mössbauer absorption spectra of 119 Sn in the single crystals of (CH <sub>3</sub> ) <sub>2</sub> Sn(NCS) <sub>2</sub> , (CH <sub>3</sub> ) <sub>2</sub> SnCl <sub>2</sub> (C <sub>5</sub> H <sub>5</sub> NO) <sub>2</sub> , and (CH <sub>3</sub> ) <sub>3</sub> SnCN	C2-403 C2-428 C2-230 C2-267 C2-566
Mizoguchi (T.), Tanaka (Y.), Tsuchida (T.) and Nakamura (Y.) Easy direction of magnetization in GdFe2  Migyago (M.) Voir Iwamoto (N.)  Morariu (M.) Voir Barb (D.)  Morcy (M.H.) Voir Eissa (N.A.)  Morimoto (S.) Voir Ito (A.)  Morita (Y.) Voir Harami (T.)  Morita (Y.) Voir Maeda (Y.)  Morrish (A.H.) Voir Haneda (K.)  Mørup (S.), Clausen (B.S.) and Topsøe (H.)	C2-211 C2-151 C2-445 C2-462 C2-264 C2-498 C2-500	Negita (H.), Boku (R.) and Ichiba (S.)  Mössbauer absorption spectra of 119 Sn in the single crystals of (CH <sub>3</sub> ) <sub>2</sub> Sn(NCS) <sub>2</sub> , (CH <sub>3</sub> ) <sub>2</sub> SnCl <sub>2</sub> (C <sub>5</sub> H <sub>5</sub> NO) <sub>2</sub> , and (CH <sub>3</sub> ) <sub>3</sub> SnCN	C2-403 C2-428 C2-230 C2-267 C2-566
Mizoguchi (T.), Tanaka (Y.), Tsuchida (T.) and Nakamura (Y.) Easy direction of magnetization in GdFe2  Migyago (M.) Voir Iwamoto (N.)  Morariu (M.) Voir Barb (D.)  Morcy (M.H.) Voir Eissa (N.A.)  Morimoto (S.) Voir Ito (A.)  Morita (Y.) Voir Harami (T.)  Morita (Y.) Voir Maeda (Y.)  Morrish (A.H.) Voir Haneda (K.)  Mørup (S.), Clausen (B.S.) and Topsøe (H.) Mössbauer spectroscopic studies of Ni catalysts: particle size determina-	C2-211 C2-151 C2-445 C2-462 C2-264 C2-498 C2-500	Negita (H.), Boku (R.) and Ichiba (S.)  Mössbauer absorption spectra of 119 Sn in the single crystals of (CH <sub>3</sub> ) <sub>2</sub> Sn(NCS) <sub>2</sub> , (CH <sub>3</sub> ) <sub>2</sub> SnCl <sub>2</sub> (C <sub>5</sub> H <sub>5</sub> NO) <sub>2</sub> , and (CH <sub>3</sub> ) <sub>3</sub> SnCN	C2-403 C2-428 C2-230 C2-267 C2-566
Mizoguchi (T.), Tanaka (Y.), Tsuchida (T.) and Nakamura (Y.) Easy direction of magnetization in GdFe2  Migyago (M.) Voir Iwamoto (N.)  Morariu (M.) Voir Barb (D.)  Morcy (M.H.) Voir Eissa (N.A.)  Morimoto (S.) Voir Ito (A.)  Morita (Y.) Voir Harami (T.)  Morita (Y.) Voir Maeda (Y.)	C2-211 C2-151 C2-445 C2-462 C2-264 C2-498 C2-500	Negita (H.), Boku (R.) and Ichiba (S.)  Mössbauer absorption spectra of 119 Sn in the single crystals of (CH <sub>3</sub> ) <sub>2</sub> Sn(NCS) <sub>2</sub> , (CH <sub>3</sub> ) <sub>2</sub> SnCl <sub>2</sub> (C <sub>5</sub> H <sub>5</sub> NO) <sub>2</sub> , and (CH <sub>3</sub> ) <sub>3</sub> SnCN  Negita (H.) Voir Ichiba (S.)  Nicolini (C.) Voir Reiff (W.M.)  Nigavekar (A.S.) Voir Gupta (M.P.)  Nishida (T.) Voir Takashima (Y.)  Nishiara (Y.) Voir Katayama (T.)  Nishihara (Y.) and Ogawa (S.) Mössbauer effect of 125Te in MnTe <sub>2</sub> - Spin axis in non-collinear antiferromagnetic ordering of the first kind in Fcc lattice	C2-403 C2-428 C2-230 C2-267 C2-566
Mizoguchi (T.), Tanaka (Y.), Tsuchida (T.) and Nakamura (Y.) Easy direction of magnetization in GdFe2	C2-211 C2-151 C2-445 C2-462 C2-264 C2-264 C2-498 C2-500 C2-91	Negita (H.), Boku (R.) and Ichiba (S.).—  Mössbauer absorption spectra of 119 Sn in the single crystals of (CH <sub>3</sub> ) <sub>2</sub> Sn(NCS) <sub>2</sub> , (CH <sub>3</sub> ) <sub>2</sub> SnCl <sub>2</sub> (C <sub>5</sub> H <sub>5</sub> NO) <sub>2</sub> , and (CH <sub>3</sub> ) <sub>3</sub> SnCN	C2-403 C2-428 C2-230 C2-267 C2-566 C2-135
Mizoguchi (T.), Tanaka (Y.), Tsuchida (T.) and Nakamura (Y.) Easy direction of magnetization in GdFe2	C2-211 C2-151 C2-445 C2-462 C2-264 C2-264 C2-498 C2-500 C2-91	Negita (H.), Boku (R.) and Ichiba (S.)  Mössbauer absorption spectra of 119 Sn in the single crystals of (CH <sub>3</sub> ) <sub>2</sub> Sn(NCS) <sub>2</sub> , (CH <sub>3</sub> ) <sub>2</sub> SnCl <sub>2</sub> (C <sub>5</sub> H <sub>5</sub> NO) <sub>2</sub> , and (CH <sub>3</sub> ) <sub>3</sub> SnCN  Negita (H.) Voir Ichiba (S.)  Nicolini (C.) Voir Reiff (W.M.)  Nigavekar (A.S.) Voir Gupta (M.P.)  Nishida (T.) Voir Takashima (Y.)  Nishiara (Y.) Voir Katayama (T.)  Nishihara (Y.) and Ogawa (S.) Mössbauer effect of 125Te in MnTe <sub>2</sub> - Spin axis in non-collinear antiferromagnetic ordering of the first kind in Fcc lattice	C2-403 C2-428 C2-230 C2-267 C2-566 C2-135
Mizoguchi (T.), Tanaka (Y.), Tsuchida (T.) and Nakamura (Y.) Easy direction of magnetization in GdFe2	C2-211 C2-151 C2-445 C2-462 C2-264 C2-498 C2-500 C2-91	Negita (H.), Boku (R.) and Ichiba (S.).—  Mössbauer absorption spectra of 119 Sn in the single crystals of (CH <sub>3</sub> ) <sub>2</sub> Sn(NCS) <sub>2</sub> , (CH <sub>3</sub> ) <sub>2</sub> SnCl <sub>2</sub> (C <sub>5</sub> H <sub>5</sub> NO) <sub>2</sub> , and (CH <sub>3</sub> ) <sub>3</sub> SnCN	C2-403 C2-428 C2-230 C2-267 C2-566 C2-135
Mizoguchi (T.), Tanaka (Y.), Tsuchida (T.) and Nakamura (Y.) Easy direction of magnetization in GdFe2	C2-211 C2-151 C2-445 C2-462 C2-264 C2-498 C2-500 C2-91	Negita (H.), Boku (R.) and Ichiba (S.).—  Mössbauer absorption spectra of 119 Sn in the single crystals of (CH <sub>3</sub> ) <sub>2</sub> Sn(NCS) <sub>2</sub> , (CH <sub>3</sub> ) <sub>2</sub> SnCl <sub>2</sub> (C <sub>5</sub> H <sub>5</sub> NO) <sub>2</sub> , and (CH <sub>3</sub> ) <sub>3</sub> SnCN	C2-395  C2-403 C2-428 C2-230 C2-267 C2-566 C2-135  C2-221  C2-221
Mizoguchi (T.), Tanaka (Y.), Tsuchida (T.) and Nakamura (Y.) Easy direction of magnetization in GdFe2	C2-211 C2-151 C2-445 C2-462 C2-264 C2-498 C2-500 C2-91 C2-78	Negita (H.), Boku (R.) and Ichiba (S.)  Mössbauer absorption spectra of 119 Sn in the single crystals of (CH <sub>3</sub> ) <sub>2</sub> Sn(NCS) <sub>2</sub> , (CH <sub>3</sub> ) <sub>2</sub> SnCl <sub>2</sub> (C <sub>5</sub> H <sub>5</sub> NO) <sub>2</sub> , and (CH <sub>3</sub> ) <sub>3</sub> SnCN	C2-395  C2-403 C2-428 C2-230 C2-267 C2-566 C2-135  C2-221  C2-221  C2-221  C2-2325
Mizoguchi (T.), Tanaka (Y.), Tsuchida (T.) and Nakamura (Y.) Easy direction of magnetization in GdFe2	C2-211 C2-151 C2-445 C2-462 C2-264 C2-498 C2-500 C2-91	Negita (H.), Boku (R.) and Ichiba (S.).—  Mössbauer absorption spectra of 119 Sn in the single crystals of (CH <sub>3</sub> ) <sub>2</sub> Sn(NCS) <sub>2</sub> , (CH <sub>3</sub> ) <sub>2</sub> SnCl <sub>2</sub> (C <sub>5</sub> H <sub>5</sub> NO) <sub>2</sub> , and (CH <sub>3</sub> ) <sub>3</sub> SnCN	C2-395  C2-403 C2-428 C2-230 C2-267 C2-566 C2-135  C2-221  C2-221

	·			
Ofer	(S.) Voir Bauminger (E.R.)	C2-523	Pfannes (H.D.) Voir Lauer (J.)	C2-561
0gawa	(S.) Voir Katayama (T.)	C2-135	Pillay (R.G.), Nagarajan (R.) and Tandon (P.N.) Mössbauer studies in ferroma-	
Ogawa	(S.) Voir Nishihara (Y.)	C2-221	gnetic Ru <sub>2</sub> Fe Sn	C2-218
Ogawa	(S.) Voir Nishihara (Y.)	C2-297	Poinsot (R.) Voir Rebizant (J.)	C2-31
Ogawa	(S.) Voir Ishida (Y.)	C2-571	Polcari (M.R.) Voir Burin (K.)	C2-188
Ogosh	i (H.) Voir Sakai (H.)	C2-511	Pollak (H.), Quartier (R.), Bruyneel (W.) and	
	hi (K.), Shinjo (T.), Takada (T.) and Tsujikawa (I.) Mössbauer study on		Walter (P.) Electron relaxation in deerite	C2-455
	intercalation compounds of graphite with FeCl <sub>3-x</sub>	C2-269	Pollak (H.), Danon (J.), Quartier (R.) and	
Ohkawa	a (A.) Voir Watanabe (S.)	C2-632	Dauwe (C.) An NGR observation of proton jumps in tourmaline	C2-480
Ohyab	u (M.) Voir Ujihira (Y.)	C2-347	Pollak (H.) Voir Quartier (R.)	C2-488
0kada	(T.), Sekizawa (H.) and Yamadaya (T.) Hyperfine interactions of 119Sn in magnetic chalcogen spinels.	C2-299	Potzel (W.), Forster (A.) and Kalvius (G.M.).  The quadrupole interaction in zinc	
Okamo	to (S.) and Sekizawa (H.) Magnetic		metal	C2-29
	properties of amorphous ferric hydro- xide gels	C2-137	Potzel (W.) Voir Asch (L.)	C2-544
Okamu	ra (K.) Voir Matsuzawa (T.)	C2-149	external reflection of gamma-rays and	00.0
Oki (1	K.), Towata (S.), Tamiya (M.) and		Mössbauer spectroscopy	C2-3
	Eguchi (T.) Mössbauer study on recovery of cold-worked Fe-Al alloys.	C2-611	Preston (R.S.), Nasu (S.) and Gonser (U.) Association of defects with iron impu-	
Okubai	ta (M.) Voir Sohmura (T.)	C2-207	rities in FCC aluminium	C2-564
^ .	K.) Voir Kuwano (H.)	C2-196	Preudhomme (J.) Voir Gerard (A.)	C2-339
	ra (H.), Yamamoto (H.) and Watanabe	02 .70	Price (D.C.), Rush (J.D.) and Johnson (C.E.)	
onode	(H.) Temperature dependence of ma-		Charge and related spin perturbations in magnetic metals : an interpretation	
	gnetic anisotropy in amorphous Fe-B alloys	C2-142	of Mössbauer spectra of the heusler	
Onovai	ma (S.) Voir Maeda (Y.)	C2-485	alloys Pd <sub>2</sub> Mn Sn <sub>1-x</sub> Sb <sub>x</sub>	C2-226
	Johnson (W.H.) Voir Huynh (B.H.)	C2-526	Price (D.C.) Voir Howes (B.D.)	C2-286
	li (I.), Fedeli (G.), Kobayashi	02 320	Price (D.C.) Vibronic coupling effects at the Néel temperature in Fe Co <sub>3</sub>	C2-316
Oltal.	(K.L.I.) and Komatsubara (K.F.)		· ·	C2-456
	Observation of successive phase transitions in SnTe single crystals	C2-596	Price (D.C.) Voir Saegusa (N.)	62-436
Ortal:	li (I.) Voir Fano (V.)	C2-624	Pröbst (F.), Wagner (F.E.), Karger (M.) and Wortman (G.) Mössbauer study of hy- drogen diffusion and interstitial site	
Oshima	a (R.), Fujita (F.E.), Fukamichi (K.)		occupancy in <sup>57</sup> Co: PdH <sub>X</sub> and <sup>57</sup> Fe:	
	and Massumoto (T.) Mössbauer spectroscopy of amorphous Fe-B alloys	C2-132	PdH <sub>X</sub>	C2-635
Oskar:	sson (N.) Voir Helgason (Ö)	C2-452		C2-442
Oudet	(H.), Brossard (L.), Dormann (J.L.),		Quartier (R.) Voir Pollak (H.)	
	Gibart (P.) and Goldstein (L.)			C2-480
	Electronic structure of FeII in magnetic thiospinels	C2-258	Quartier (R.), Govaert (A.), Dauwe (C.) and Pollak (H.) CIS - Trans transition	02-499
owens	(A.H.), Chien (C.L.) and Walker (J.C.). Depth profiling of the magne-		and charge transfer in glauconite  Quitmann (D.) Voir Soltwisch (M.)	C2-488 C2-666
	tic hyperfine field in ultrathin films		Rabinkin (A.) Voir Leibovitch (Ch.)	
_	of Fe using Mössbauer spectroscopy	C2-74		C2-604
Ozawa	(T.) and Yshida (Y.) Mössbauer studies on the state of tin atoms segre-		Rachnilewitz (E.A.) Voir Bauminger (E.R.)	C2-502
	gated at the grain boundary of iron		Radcliffe (D.) Voir Wynter (C.I.)	C2-594
	and iron alloys	C2-551	Radwanski (R.) Voir Japa (S.)	C2-193
	(T.) Voir Ishida (Y.)	C2-571	Ramos-Bernal (S.) Lattice dynamics in la-	
Parak	(F.), Bade (D.) and Marie (A.L.) The active center of bacterial cata-		ves phases	C2-683
	lase investigated by Mössbauer spec-		Ratner (E.) Voir Ron (M.)	C2-639
	troscopy	C2-528	Rebizant (J.), Spirlet (J.C.), Friedt (J.M.),	
	ada (J.) Voir Burin (K.)	C2-188	Poinsot (R.) and Kalvius (G.M.) <sup>231</sup> Pa Mössbauer resonance in Pa metal.	C2-31
	(H.) Voir Dézsi (I.)	C2-573	D 1111 (D) TO 1 D 10 (D)	C2-328
	on (D.I.C.) Voir Williams (J.M.)	C2-223	Reiff (W.M.), Nicolini (C.) and Dockum (B.).~	
	on (T.) Voir Dwivedi (A.)	C2-531	Slow paramagnetic relaxation of some	
Petrer	ra (M.) Voir Fano (V.)	C2-624	pseudo-tetrahedral ferrous compounds in zero field	C2-230
				02 230

31

Reiff (W.M.), Wong (H.), Tuiroc (M.) and		Sanchez (J.P.), Friedt (J.M.) and	
Eisman (E.) Slow paramagnetic		Jehanno (G.) Structural, electro-	
relaxation of high spin iron III in a trigonal bipyramidal environ-		nic and magnetic properties of the	
ment a study of the penta-azido		linear chain compounds CsMI <sub>3</sub> (M = V,	
ferrate ion, $Fe(N_3)_5^2$	C2-234	Cr, Mn) from <sup>129</sup> I Mössbauer spectros- copy	C2-398
Reintsema (S.) Voir Dézsi (I.)	C2-573	Saneyoshi (K.) Voir Toriyama (T.)	C2-14
Renard (B.) Voir Dauwe (C.)	C2-97	Sano (H.) Voir Matsubara (S.)	C2-363
Renaudin (P.) Voir Dormann (J.L.)	C2-96	Sano (H.) Voir Watanabe (M.)	C2-392
Renaudin (P.) Voir Brossard (L.)	C2-301	Sano (H.) Voir Akashi (J.)	C2-405
Reschke (R.), Trautwein (A.), Harris (F.E.)		Sano (H.) Voir Endo (K.)	C2-420
and Date (S.K.) Electronic struc-		Sano (H.) Voir Sakai (Y.)	C2-431
ture and electric field gradient ten- sor in potassium ferricyanide	C2-280	Sasaki (K.) Voir Sinohara (T.)	C2-302
Riederer (J.), Wagner (U.) and Wagner		Sassa (K.), Ishida (Y.) and Kaneko (K.)	02 002
(F.E.) Mössbauer spectra and firing		Mössbauer spectroscopy of <sup>57</sup> Fe implan-	
conditions of ancient egyptian cera-		ted to aluminium at liquid nitrogen	
mics with multicoloured layers	C2-487	temperature	C2-556
Rimbert (J.N.) Voir Kellershohn (C.)	C2-505	Sassa (K.), Goto (H.) and Ishida (Y.) On	
Ritter (G.) Voir Vogel (H.)	C2-676	the interaction between <sup>57</sup> Co atoms and the quenched-in vacancies in aluminium.	C2_550
Robbrecht (G.) Voir Chambaere (D.)	C2-350		
Robbrecht (G.) Voir Govaert (A.)	C2-442	Sassa (K.) Voir Ishida (Y.)	C2-571
Robbrecht (G.) Voir de Grave (E.)	C2-669	Sato (M.), Abe (K.) and Endoh (Y.) Neutron diffraction studies on the interface	
Rogalski (M.) Voir Barb (D.)	C2-11	magnetization of Fe-SiO multi-layer	C2-72
Ron (M.) Voir Leibovitch (Ch.)	C2-604	Sato (K.) Voir Matsubara (S.)	C2-363
Ron (M.), Ratner (E.) and Mengeristsky (G.) Metastable $\theta$ and $\omega$ -phases in		Sawicki (J.A.) and Stanek (J.J.) Enhance-	
$\alpha$ -Ti(V), $\alpha$ -Ti(A) and $\alpha$ -Ti(Sn) alloys	C2-639	ment of Mössbauer lines by active data	
Rothberg (G.M.) Voir Burin (K.)	C2-188	acquisition	C2-58
Rush (J.D.) Voir Price (D.C.)	C2-226	Sawicka (B.D.) and Sawicki (J.A.) Electric hyperfine interactions of iron in di-	
Sadanaga (R.) Voir Yamanaka (T.)	C2-475	meric state in metals	C2-576
Saegusa (N.), Price (D.C.) and Smith (G.)		Sawicki (J.A.) Voir Sawicka (B.D.)	C2-576
Analysis of the Mössbauer spectra of several iron-rich tourmalines		Schmidt (J.E.), Livi (F.P.) and Viccaro	
(schorls)	C2-456	$(P.J.)5^7$ Fe Mössbauer effect study of hyperfine interactions in HfFe <sub>2-X</sub>	
Sakai (H.) Voir Nanao (S.)	C2-123	Si <sub>X</sub>	C2-210
Sakai (H.), Maeda (Y.), Ichiba (S.) and		Schulz (C.), Chiang (R.) and Debrunner	
Negita (H.) 129I Mössbauer study		(P.G.) Mössbauer parameters of Fe <sup>4+</sup>	C2-534
of charge transfer complexes of iodi- ne in the frozen solution	C2-395	heme proteins of spin S = 1	62-334
Sakai (Y.) Voir Endo (K.)		Scorzelli (R.), Danon (J.) and Vugman (N.V.) Mössbauer and electron spin	
Sakai (Y.), Harada (M.), Endo (K.), Sano		resonance study of electron irradia-	
(H.) Partial quadrupole splitting		ted ferrocyanide ions in Kcl lattice .	C2-568
of Fe-57 species produced from Co-57 labelled Werner complexes	C2-431	Sekizawa (H.) Voir Okamoto (S.)	C2-137
Sakai (H.) Voir Maeda (Y.)	C2-485	Sekizawa (H.) Voir Asai (K.)	C2-255
Sakai (H.), Maeda (Y.), Ogoshi (H.), Sugi-	02 403	Sekizawa (H.) Voir Okada (T.)	C2-299
moto and Yoshida (Z.) 57Co Möss-		Sella (C.) Voir Dormann (J.L.)	C2-96
bauer emission spectroscopy in co-	C2-511	Senateur (J.P.) Voir Foct (J.)	C2-647
balt-octoothylporphyrin	02 3	Shenoy (G.K.) Voir Viccaro (P.J.)	C2-157
Sakamoto (I.), Hayashi (N.) and Furubayashi (B.) A Mössbauer diffractometer		Shenoy (G.K.), Dunlap (B.D.), Westlake (D.G.) and Dwight (A.E.). Mössbauer studies	
using a microcomputer	C2-39	of dilute erbium impurities in zirco-	
Sakamoto (I.) Voir Hayashi (N.)	C2-53	nium hydrides	C2-180
Sakamoto (1.) Voir Furubayashi (B.)	C2-677	Shenoy (G.K.) Voir Viccaro (P.J.)	C2-198
Sallam (H.A.), Ali (N.A.) and Hassan		Shenoy (G.K.) Voir Friedt (J.M.)	C2-243
(M.Y.) Mössbauer effect study of physiochemical transformation occu-		Shenoy (G.K.) Voir Kalvius (G.M.)	C2-634
ring to iron in fossilized bones	C2-439	Shenoy (G.K.) Voir Kimball (C.W.)	C2-671
Sallam (H.A.) Voir Eissa (N.A.)	C2-449	Shiga (M.) and Nakamura (Y.) Effect of lo- cal environment on formation of local	
Sallam (H.A.) Voir Eissa (N.A.)	C2-462	moments in BCC iron alloys	C2-204
	C2-616		

Shigematsu (T.) Voir Hine (S.)	C2-84	Tahara (R.) and Nakamura (Y.) Two-phase	C2-592
Shigematsu (T.), Bando (Y.) and Takada (T.)		separation in alnico 5 alloy	02 372
Magnetic properties of amorphous iron (III) oxide thin films		Takabatake (T.), Mazaki (H.) and Shinjo (T.) Mössbauer studies on dilute Tc-(Fe) alloys	C2-172
Shimada (M.), Koizumi (M.), Takano (M.),			C2-84
Shinjo (T.) and Takada (T.) Mössbauer effect of SrLnFeO, (Ln = La, Pr, Nd)	C2-272	Takada (T.) Voir Hine (S.)	
	C2-411	Takada (T.) Voir Shinjo (T.)	C2-86
Shimizu (S.) Voir Kobayashi (T.)	C2-415	Takada (T.) Voir Shigematsu (T.)	C2-153
Shimizu (S.) Voir Kobayashi (T.)	62-413	Takada (T.) Voir Ohhashi (K.)	C2-269
Shimizu (M.), Honsako (T.) and Fujimoto (K.) Ordering in commercial silicon		Takada (T.) Voir Shimada (M.)	C2-272
steels	C2-581	Takada (T.) Voir Ueda (Y.)	C2-275
Shinjo (T.) Surface and interface magnetism by Mössbauer spectroscopy	C2-63	Takahashi (M.), Koshimura (M.) and Suzuki (T.) Mossbauer effect of amorphous	C2-144
Shinjo (T.), Hine (S.) and Takada (T.)		Fe-B alloys	
Mössbauer spectra of ultrathin Fe films coated by MgO	C2-86	Takahashi (M.) Voir Inawashiro (S.)	C2-147
Shinjo (T.) Voir Takabatake (T.)	C2-172	Takano (M.) Voir Shimada (M.)	C2-272
Shinjo (T.) Voir Ohhashi (K.)	C2-269	Takano (M.), Nakanishi (N.), Takeda (Y.) and Naka (S.) Charge disproportionation	
Shinjo (T.) Voir Shimada (M.)	C2-272	in Fe4+-oxides with perovskite-type	00 212
Shinohara (T.), Sasaki (K.) and Watanabe		structures	C2-313
(H.). 4s covalent bonding of ferric		Takano (M.) Voir Takeda (Y.)	Ç2-331
ion in MnFe <sub>2</sub> O <sub>4</sub>	C2-302 C2-361	Takashima (M.) Voir Fujioka (M.)	C2-32
Shiraishi (Y.) Voir Watanabe (S.)	C2-632	Takashima (Y.) Voir Maeda (Y.)	C2-553
Shishido (T.) Voir Matsuzawa	C2-149	Takashima (Y.), Kai (N.), Nishida (T.) and Chandler (L.) Mössbauer study of	
Shustrov (A.A.) Voir Yamarkin (V.K.)	C2-375	Fe(II) doped alkali chloride crystals	
Simonyan (S.) Voir Belozerskii (G.)	C2-237	and defect structure	C2-566
Sinha (A.P.B.) Voir Gupta (M.P.) Skinner (A.F.) Voir Jones (C.H.W.)	C2-267 C2-481	Takeda (T.) and Komura (S.) Effect of thermal treatment on Mössbauer spectra in	C2-165
Sklyarevskii (V.V.) Voir Artemiev (A.N.)	C2-23	Fe-Ni invar alloys	C2-313
Smith (G.) Voir Saegusa (N.)	C2-456	Takeda (Y.) Voir Takano (M.)	62-313
Sohmura (T.), Fujita (F.E.) and Okuhata (M.) The effect of hydrogen on the magnetic structure of invar alloys	C2-207	Preparation and characterization of CaFeO <sub>3</sub> and its solid solution with SrFeO <sub>3</sub>	C2-331
Soltwisch (M.) and Quitmann (D.) Mössbauer		Takeda (M.), Kanno (H.) and Tominaga (T.)	
scattering and neutron scattering on liquid glycerol	C2-666	Mössbauer spectroscopic studies of Sn(IV) in glassy aqueous solutions	C2-345
Someya (Y.) Voir Ito (A.)	C2-264	Takeda (M.), Kawakami (O.) and Tominaga	
Spiering (H.) and Vogel (H.) Texture pro- blems and the Goldanskii-Karyagin		(T.) <sup>57</sup> Fe Mössbauer spectroscopic studies of structural changes of mont-	
effect treated by the intensity matrix		morillonite on heating in reducing atmosphere	02-472
method	C2-50 C2-676	Takeda (M.), Kawakami (O.), Kobayashi (H.)	C2-472
Spirlet (J.C.) Voir Rebizant	C2-31	and Tominaga (T.) Estimation of fi-	
Spirlet (J.C.) Voir Asch (L.)	C2-544	ring temperatures of ancient roofing	-2 / 22
Stanek (J.J.) Voir Sawicki (J.A.)	C2-58	tiles by Fe-57 Mössbauer spectroscopy.	C2-483
Stepanov (E.P.) Voir Artemiev (A.N.)	C2-23	Tamiya (M.) Voir Oki (K.)	C2-611
Stevens (V.E.), Stevens (J.G.) and Gettys		Tamura (I.) Hayashi (M.)	C2-661
(W.L.) New directions for the Möss- bauer effect data center	C2-686	Tanaka (Y.) Voir Mizoguchi (T.)	C2-211
Stevens (J.G.) Voir Stevens (V.E.)	C2-686	Tanaka (M.) Mössbauer study of Fe <sup>57</sup> in NiCr <sub>2</sub> O <sub>4</sub>	C2-247
Strinsky (A.N.) Voir Artemiev (A.N.)	C2-23	Tandon (P.N.) - Voir Pillay (R.G.)	C2-218
Sugimoto (H.) Voir Sakai (H.)	C2-511	Taniwaki (M.) Voir Umeyama (S.)	C2-539
Sugiura (J.) Voir Nanao (S.)	C2-123	Taniwaki (M.), Umeyama (S.) and Ishida (Y.)	JE 333
Suzuki (T.) Voir Takahashi (M.)	C2-144	The behavior of tin during aging of	
Syono (Y.) and Ito (A.) Structural and ma-		Al-Cu-Sn alloys	C2-549
gnetic properties of amorphous BaO- Fe <sub>2</sub> O <sub>3</sub> -B <sub>2</sub> O <sub>3</sub> system	C2-115	Taniwaki (M.) Voir Ishida (Y.)	C2-571
Szytuľa (A.) Voir Görlich (E.A.)		Tarte (P.) Voir Gerard (A.)	C2-339
Control (E.R.)	C2-656	Teslenko (S.P.) Voir Yamarkin (V.K.)	C2-375
		Tite (M.S.) Voir Longworth (G.)	C2-460

Tomala (K.) Voir Görlich (E.A.)	C2-654	Viccaro (P.J.), Shenoy (G.K.), Dunlap	
Tomala (K.) Voir Görlich (E.A.)	C2-656	(B.D.), Westlake (D.G.), Malik	
Tominaga (T.) Voir Takeda (M.)	C2-345	(S.K.) and Wallace (W.E.)5'Möss- bauer study of Th <sub>7</sub> Fe <sub>3</sub> and the	
Tominaga (T.) Voir Takeda (M.)	C2-472	hybride Th <sub>7</sub> Fe <sub>3</sub> H <sub>14.2</sub>	C2-157
Tominaga (T.) Voir Takeda (M.)	C2-483	Viccaro (P.J.)Shenoy (G.K.), Dunlap	
Topsøe (H.) Voir Mørup (S.)	C2-78	(B.D.), Westlake (D.G.) and Miller (J.F.) Electronic and structural	
Topsøe (H.) Voir Mørup (S.)	C2-88	studies of the hybrides of ErFea	
Toriyama (T.), Saneyoshi (K.) and Hisatake		from <sup>57</sup> Fe and <sup>166</sup> Er Mössbauer spectroscopy	C2-198
(K.) Electron spectrometer for	-0.4	Viccaro (P.J.) Voir Schmidt (J.E.)	C2-210
Mössbauer spectroscopy	C2-14	Vogel (H.) Voir Spiering (H.)	C2-50
Towata (S.) Voir Oki (K.)	C2-611	Vogel (R.) and Evans (B.J.). Mössbauer	62 30
Trautwein (A.) Voir Reschke (R.)	C2-280	spectroscopy of strontium ferrites	
Trautwein (A.) Voir Maeda (Y.)	C2-500	related to permanent magnet mate-	C2-277
Traylor (T.G.) Voir Mielczarek (E.V.)	C2-495	Vogel (H.), Spiering (H.), Irler (W.),	02 277
Tricker (M.J.) and Manning (P.G.) Can electron exchange processes in vesu-		Volland (U.) and Ritter (G.)	
vianites be detected by Mössbauer		The lamb-Mössbauer factor of metal iron foils at 4.2 K	C2-676
spectroscopy ?	C2-477	Volland (U.) Voir Vogel (H.)	C2-676
Tseng (P.K.) Voir Uen (T.M.)	C2-261	Vugman (N.V.) Voir Scorzelli (R.)	C2-568
Tsuchida (T.) Voir Mizoguchi (T.) Tsuji (T.), Hove (A.T.) and Greenwood (N.N.)	C2-211	Wagner (H.G.) Voir Gonser (U.)	C2-126
Mössbauer evidence of a phase gap		Wagner (F.M.), Litterst (F.J.) and Kalvius	02 120
between Fe <sub>3</sub> Se <sub>4</sub> and Fe <sub>7</sub> Se <sub>8</sub>	C2-630	(G.M.) Rayleigh scattering of Möss-	
Tsujikawa (I.) Voir Ohhashi (K.)	C2-269	bauer radiation on vapour-quenched Te	C2-140
Tsunawaki (Y.) Voir Iwamoto (N.)	C2-151	Wagner (U.) Voir Riederer (J.)	C2-487
Tsushima (T.) Voir Katayama (T.)	C2-135	Wagner (F.E.) Voir Riederer (J.)	C2-487
Tuiroc (M.) Voir Reiff (W.M.)	C2-234	Wagner (F.E.) Voir Pröbst (F.)	C2-635
Ueda (Y.), Kosuge (K.), Kachy and Takada (T.) Metallic antiferromagnetism		Wakabayashi (N.) Voir Iwamoto (N.)	C2-151
of $(V_{1-x}Ti_x)_{2}O_3$ (0.06 < x < 0.30)	C2-275	Walker (J.C.) Voir Owens (A.H.)	C2-74
Uen (T.M.) and Tseng (P.K.) Mossbauer		Walker (J.C.) Voir Mirzababayev (R.M.)	C2-216
spectroscopy on nickel-zin ferrites	C2-261	Wallace (W.E.) Voir Viccaro (P.J.)	C2-157
Ujihira (Y.) and Ohyabu (M.) Chemical state analysis of hydrolysis products		Walter (J.L.) Voir Chien (C.L.)	C2-129
of iron(III) salt solutions by means	~~ ~! ~	Walter (P.) Voir Pollak (H.)	C2-455
of Mössbauer spectrometry	C2-347	Wäppling (R.) Voir Häggström (L.)	C2-327
Ujihira (Y.) and Handa (A.).— Chemical state analysis of nitrided steel surface		Watanabe (H.) Voir Onodera (H.)	C2-142
by means of conversion electron Möss-	00 506	Watanabe (H.) Voir Sihohara (T.)	C2-302
bauer spectrometry	C2-586	Watanabe (M.), Iijima (S.), Motoyama (I.)	
Umemura (S.) and Iida (S.). Mössbauer study of Fe <sup>2+</sup> ions in the low tempe-		and Sano (H.) Mössbauer spectrosco- pic study on the mixed and averaged	
rature phase of magnetite	C2-307	valence ferrocene derivatives	C2-392
Umeyama (S.), Taniwaki (M.), Ishida (Y.)		Watanabe (S.), Ohkawa (A.), Kaneko (Y.) and	
and Kato (M.) Mössbauer spectrum of <sup>119</sup> Sn dissolved in Al	C2-539	Shiraishi (Y.) Application of Möss- bauer spectroscopy to deoxidation from	
Umeyama (S.) Voir Taniwaki (M.)	C2-549	liquid iron by aluminium	C2-632
Umeyama (S.) Voir Ishida (Y.)	C2-571	Wei (H.H.) and Leu (L.R.) - Mössbauer and	
Van der Kraan (A.M.), Gubbens (P.C.M.),		magnetic properties investigation of the spin states in 2 or 3 - pyridyl	
Buschow (K.H.J.) Magnetic behaviour	C2=100	imine complexes on iron(II) dichlori-	
of Y(Fe, Ir) <sub>2</sub>	C2-190 C2-328	de	C2-355
Van der Kraan (A.M.) Voir Gubbens (P.C.M.)	C2-526	Wei (H.H.) Mössbauer emission spectra of <sup>57</sup> Co labelled bis - (β-diketonato)	
Van Landuyt (G.L.) Voir Kumball (C.W.)		Co(II) dihydrate	C2-426
Van Ooijen (J.A.C.) Voir Gubbens (P.C.M.)	C2-328 C2-547	Wei (C.) Voir Wynter (C.I.)	C2-594
Van Rossum (M.) Voir Langouche (G.)	C2-547	West (P.J.) and Matthias (E.) Frequency	
Van Rossum (M.) Voir Dézsi (I.)	C2-627	modulation of the 6.2 keV Mössbauer states of 181 Ta	C2-46
Vertes (A.) Voir Kuzmann (E.)			
Vetterling (W.T.) Voir Pound (R.V.)	C2-3		

West (P.J.), Salomon (D.) The study of		Wrobleski (J.T.) Voir Long (G.J.)	02-338
statical and dynamical properties of oxygen and hydrogen impurities in tantalum metal using the 6.2 keV Mössbauer transition of 181 Ta	C2-616	Wynter (C.I.), Hill (V.G.), Weir (C.), Radcliffe (D.), Collins (R.L.) and Bramwell (F.B.) Application of Mössbauer spectroscopy to iron-57	
Westlake (D.G.) Voir Viccaro (P.J.)	C2-157	in bauxite recovery process	C2-594
Westlake (D.G.) Voir Shenoy (G.K.)	C2-180	Yajima (S.) Voir Matsuzawa (T.)	C2-149
Westlake (D.G.) Voir Viccaro (P.J.)	C2-198	Yamada (M.) Voir Ichiba (S.)	C2-428
White (D.K.) Voir Mielczarek (E.V.)	C2-495	Yamadaya (T.) Voir Okada (T.)	C2-299
Wiechman (B.). Voir Hesse (J.)	C2-161	Yamaguchi (Y.) Voir Katayama (T.)	C2-135
Wildner (W.) and Gonser (U.) A new attempt to observe the resonance in Ag <sup>109</sup>	C2-47	Yamakawa (K) and Fujita (F.E.) Structure and crystallization of Fe-Si amor- phous thin films	C2-101
Williams (J.M.) and Danson (D.P.) A Möss- bauer study of the Heusler alloy		Yamamoto (H.) Voir Onodera (H.)	C2-142
series Ni <sub>2</sub> Mn <sub>x</sub> Ti <sub>1-x</sub> Sn	C2-169	Yamanaka (T.) and Sadanaga (R.) Thermal	
Williams (J.M.) and Pearson (D.I.C.) A study of magnetic interaction in hexa- gonal iron alloys	C2-223	dependence of intracrystalline Fe <sup>2+</sup> - Ca <sup>2+</sup> exchange in metasilicate ferro- bustamite (Ca,Fe)SiO <sub>3</sub>	C2-475
Williamson (D.L.) Voir Keune (W.)	C2-69	Yamarkin (V.K.), Teslenko (S.P.), Motorny	
Williamson (D.L.) and Ellid (M.) Temperature study of a Cu-0.2 at.% Fe alloy	C2-601	A.V.) and Shustrov (A.A.). Mossbauer study of the state of impurity atoms in TiO <sub>2</sub> - and BaTiO <sub>2</sub> -based insulating	
Winkler (H.), Alwardt (P.) and Gerdau (E.)		and semiconductive ceramics	C2-375
The field up-down model and its appli- cation to paramagnetic relaxation in		Yanagisawa (S.) Voir Inoue (H.)	C2-361
YbCl <sub>3</sub> .6H <sub>2</sub> O	C2-250	Yariv (J.) Voir Bauminger (E.R.)	C2-523
Wolinski (J.) Voir Japa (S.)	C2-193	Yoshida (E.) Voir Maeda (Y.)	C2-485
Wong (H.) Voir Reiff (W.M.)	C2-234	Yoshida (Z.) Voir Sakai (H.)	C2-511
Wortmann (C ) - Voir Pröbet (F )	C2-635	Vochimura (T ) - Voir Teremoto (N )	C2-151

a contract of the contract of

## 7º Congrès International sur les cristaux liquides

Bordeaux, 1978

Achard (M. F.). — Voir Hardouin (F.)	C3-371	Blinov (L. M.). — Domain instabilities in liquid crys-	
Achard (M. F.). — Voir Sigaud (G.)	C3-356	Bobylev (Y. P.), Chigrinov (V. G.) and Pikin (S. A.).  Threshold flexoelectric effect in nematic liquid	C3-247
study of phase transition involving ordered biaxial			C3-331
phases	C3-384	Bock (E.). — Voir Dong (R. Y.)	C3-243
Als-Nielsen (J.). — Voir Litster (J. D.)	C3-339	Brodzeli (M. I.). — Voir Chilaya (G. S.)	C3-274
Amer (N. M.). — Voir Birecki (H.)	C3-433		
Aoki (K.). — Voir Yano (S.)	C3-322	Candau (S.). — Voir Lebrun (J.)	C3-298
		Chan (SK.). — Voir Würz (U.)	C3-404
Bacon (W. E.) and Thomas (J. W.). — The effect of		Chandrasekhar (S.), Sadashiva (B. K.), Suresh (K. A.),	
amphiphilic liquid crystalline solvents on the		Madhusudana (N. V.), Kumar (S.), Shashidar (R.)	
hydrolysis of benzylidene t-butylamine N-oxide	C3-438	and Venkatesh (G.). — Disc-like mesogens	C3-120
Baraldi (L.), Gottarelli (G.) and Samorí (B.). — The	05 150	Chevarin (B.). — Voir Barbarin (F.)	C3-153
linear dichroism of cubic molecules : distorsion and		Chigrinov (V. G.). — Voir Bobylev (Y. P.)	C3-331
local field contributions	C3-204	Chilaya (G. S.), Siharulidze (D. G.), Brodzeli (M. I.). —	
Barbarin (F.), Chevarin (B.) et Germain (JP.). — Réso-		Liquid crystals image converter based on the cho-	
nance paramagnétique électronique : étude des		lesteric nematic phase transition with storage	C3-274
corrélations moléculaires dans des phases ordonnées		Chilaya (G. S.). — Voir Elashvili (Z. M.)	C3-22
et isotropes	C3-153	Chistjakov (I. G.). — Voir Gorina (I. I.).	C3-229
Barnik (M. I.) Voir Blinov (L. M.)	C3-263	Clark (N. A.). — Thermodynamics of the re-entrant	C2 245
Barnik (M. I.). — Voir Karamisheva (L. A.)	C3-37	nematic bilayer smectic a transition	C3-345
Barratt (P. J.) and Leslie (F. M.). — Reflection and		Coulon (G.) and Descamps (M.). — Series analysis of steric interaction models in smectic B plane	C3-132
refraction of an obliquely incident shear wave at a	C10 #10	Crellin (D. A.). — Voir Sherrel (P. L.)	C3-211
solid-nematic interface.	C3-73	Cser (F.). — Nematic polymers and related structures.	C3-459
Beguin (A.), Billard (J.), Dubois (J. C.), Nguyen Huu Tinh and Zann (A.). — Discotic mesophases potentialities.	C2 15	, , , , , , , , , , , , , , , , , , ,	
Beguin (A.). — Discour mesophases potentialities.	C3-15		
Beguin (A.), Dubois (J. C.). — Cristaux liquides à noyaux	C3-326	Dana (S. S.). — Voir Litster (J. D.)	C3-339
aromatiques perfluorés	C3-9	Daniels (W. B.). — Voir Keyes (P. H.)	C3-380
	C3-7	Davidov (D.). — Voir Litster (J. D.)	C3-339
Benattar (J. J.), Levelut (A. M.), Liebert (L.) and Moussa (F.). — Phonon dispersion curves of ordered		Dekker (A. J.). — Voir Leenhouts (F.)	C3-291
phases of T.B.B.A	C3-115	<b>Delaye</b> (M.). — Coherence length and angular susceptibility divergences above a smectic-A to smectic-C	
Benguigui (L.). — A landau theory of the NAC point.	C3-419	phase transition observed by Rayleigh scattering.	C3-350
Beresney (L. A.). — Voir Blinoy (L. M.)	C3-269	Derzhanski (A. I.). — Voir Hinov (H. P.)	C3-505
Berreman (D. W.). — Anomalous stiffness and tilt angle	CJ. 207	Descamps (M.). — Voir Coulon (G.)	C3-132
in nematics from nonuniform attachment angle	C3-58	Destrade (C.), Mondon (M. C.) and Malthete (J.).	
	C3-392	Hexasubstituted triphenylenes: a new mesomorphic	
Bertolotti (M.). — Voir Scudieri (F.)	C3-413	order	C3-17
Billard (J.). — Voir Beguin (A.).	C3-15	De Vries (A.), Ekachai (A.) and Spielberg (N.). — X-ray	
Billard (J.). — Voir Fayolle (B.)	C3-485	studies of liquid crystals VI. The structure of the	
Birecki (H.) and Amer (N. M.). — Laser-ripplon scat-		smectic A. C. B <sub>n</sub> and B <sub>t</sub> phases of trans-1. 4-cyclo-	
tering from lecithin monolayers at the air-water		hexane-di-n-octyloxybenzoate	C3-147
interface	C3-433	De Zwart (M.) and Van Doorn (C. Z.). — The field-	
Birgeneau (R. J.). — Voir Litster (J. D.)	C3-339	induced square grid perturbation in the planar	C2 270
Blinc (R.). — Voir Zeks (B.)	C3-409	texture of cholesteric liquid crystals	C3-278
Bline (R.). — Voir Levstik (A.)	C3-303	tions smectiques binaires	C3-413
Blinov (L. M.), Barnik (M. I.), Lazareva (V. T.) and Tru-		Dong (R. Y.), Lewis (J.), Bock (E.) and Tomchuk (E.).	C3-413
fanov (A. N.). — Electrohydrodynamic instabilities		Molecular order and director fluctuation in MBBA	
in the liquid crystalline phases with smectic order-	1	as determined by deuterium magnetic resonance.	C3-243
ing	C3-263	Druon (C.). — Voir Lippens (D.)	C3-306
Blinov (L. M.), Beresnev (L. A.), Shtykov (N. M.) and		Dubini (B.). — Voir Albertini (G.)	C3-384
Elashvili (Z. M.). — Pyroelectric properties of chiral			C3-9 -15
smectic phases	C3-269	Dubois (J. C.). — Voir Zann (A.)	C3-326

Dunmur (D. A.) and Miller (W. H.). — Volumetric		Helfrich (W.). — Structure of liquid crystals. especially order in two dimensions	
studies of the homologous series of alkyl-cyano- biphenyl liquid crystals	C3-141	Herino (R.). — Voir Gaspard (F.)	C3-285
	C3-334	Hinov (H. P.) and Derzhanski (A. I.). — Second-order elasticity and first T-order Frederiks transitions	00 200
Ekachai (A.). — Voir De Vries (A.)	C3-147	in nematic liquid crystals	C3-505
Elashvili (Z. M.), Mkhatvrischvili (M. D.), Piliashvili (T. S.), Chilaya (G. S.) and Japaridze (K. G.). — Visco-		Hosino (M.). — Voir Kimura (H.)	C3-174
sity of nematic-chiral mixtures and their electro-		Ibrahim (I. H.) and Haase (W.). — Molecular properties	
optical characteristics	C3-22	of some nematic liquids. I. Magnetic susceptibility	
Elashvili (Z. M.). — Voir Blinov (L. M.)	C3-269	anisotropy and order parameter	C3-164
Faetti (S.), Fronzoni (L.) and Rolla (P. A.). — Electro-		Ishibashi (T.). — Voir Toriyama (K.)	C3-317
hydrodynamic flow in nematic thin films with two		Ishii (C.) and Yamada (H.). — Thermodynamical properties of dilute binary mixture of nematic liquid	
	C3-497	crystals	C3-374
Fayolle (B.), Noel (C.) and Billard (J.). — Investigation			
or polymer mesophases of april 1	C3-485	Jaffrain (M.). — Voir Le Brumant (J.)	C3-193
Ferrari (A.). — Voir Scudieri (F.)	C3-90 C3-303	Janik (J. A.), Krawczyk (J.), Janik (J. M.) and Otnes (K.).  — Critical studies of molecular reorientation in	
Filipič (C.). — Voir Levstik (A.)	C3-25	oriented PAA with various kinds of deuteration.	C3-169
Friedel (J.). — Plasticity of liquid crystals	C3-45	Janik (J. M.). — Voir Janik (J. A.)	C3-169
Fronzoni (L.). — Voir Faetti (S.)	C3-497	Janovec (V.). — Voir Glogarova (M.)	C3-502
(	125-185	Japaridze (K. G.). — Voir Elashvili (Z. M.)	C3-22
	C3-217 C3-217	Jonker (J. J.). — Voir Leenhouts (F.)	C3-291
Furuhata (K.). — Voir Takezoe (H.)	C3-217	Kaneko (N.). — Voir Matsumoto (S.)	C3-510
Galla (H. J.). — Voir Heithier (H.)	C3-442	Kaplan (M.). — Voir Litster (J. D.)	C3-339
	C3-339	Karamysheva (L. A.), Torgova (S. I.), Kovshev (E. I.)	
Gaspard (F.) et Herino (R.). — Transport dans un cristal		and Barnik (M. I.). — Synthesis and dielectric properties of liquid crystals containing two cyano	
* *	C3-285	groups	C3-37
	C3-356	Kawamoto (M.). — Voir Matsumoto (S.)	C3-510
Gaughan (J. P.). — Voir Leadbetter (A. J.)	C3-153	Kelli (B.). — Voir Leadbetter (A. J.).	C3-178
Glogarova (M.), Janovec (V.) and Tikhomirova (N. A.)	03 133	Keyes (P. H.) and Yang (C. C.). — Dynamics of the isotropic-cholesteric transition: differences bet-	
Alignment of nematic liquid crystals controlled		ween the normal and blue cholesteric phases	C3-376
	C3-502	Keyes (P. H.) and Daniels (W. B.). — The nematic-iso-	
Goodby (J.). — Voir Leadbetter (A. J.)	C3-178	tropic transition at high pressures I: the P-V-T	
in the 4-(2'-methylbutyl) phenyl esters of 4'-n-		equation of state	C3-380
alkoxybiphenyl-4-carboxylic acids and 4'-n-alkyl-		investigation of mesomorphic layers formed at the	
biphenyl-4-carboxylic acids	C3-27	liquid liquid interface	C3-447
Goodby (J. W.) and Gray (G. W.). — Tilted smectic B phase or smectic H phase?	C3-363	Kimura (H.), Hosino (M.) and Nakano (H.). — Tempe-	
Goosens (W. J. A.). — Temperature dependence of the	C5-505	rature dependent pitch in cholesteric phase	C3-174
pitch in cholesteric liquid crystals : a molecular		Kini (U. D.). — Shear flow cholesterics normal to the helical axis.	C3-62
	C3-158	Klar (G.). — Voir Würz (U.)	C3-404
Gorina (I. I.), Rubtsova (M. Ju.) and Chistjakov (I. G.).—  The effect of the molecular structure of the choles-		Kloczkowski (A.). — Voir Stecki (J.)	C3-360
teric component on the composition dependence		Konstantinov (I. I.). — Liquid crystalline properties of	
of the reciprocal helical pitch in binary cholesteric		some monomeric azo- and azoxybenzenes and their	C2 475
	C3-229	polymers	C3-475 C3-37
Gottarelli (G.), Samorí (B.), Folli (U.) and Torre (G.).		Kovshev (E. I.). — Voir Pavluchenko (A. I.)	C3-1
Induction of cholesteric mesophases in nematic liquid crystals by some optically active sulphoxides:		Krawczyk (J.). — Voir Janik (J. A.)	C3-169
relationship between the absolute configurations.		Kumar (S.). — Voir Chandrasekhar (S.).	C3-120
the dimensions of the substituents and the handness		Kuwahara (M.). — Voir Onnagawa (H.) Kuze (E.). — Voir Takezoe (H.)	
of the induced mesophases	C3-25		C3-217
C 0 (71)	C3-204	Lagerwall (S. T.) and Stebler (B.). — Studies of domains,	
Gray (G. W.). — Voir Goodby (J. W.)	C3-199 -27-363	walls and disclinations in the smectic C phase Lauprêtre (F.) et Monnerie (L.). — Relations entre le	C3-53
Gray (G. W.). — Voir Leadbetter (A. J.)	C3-178	caractère mésogène et l'énergie conformationnelle	
Gündüz (E.). — Voir Scudieri (F.)	C3-90	des polymères lyotropes	C3-478
		Lazareva (V. T.). — Voir Blinov (L. M.)	C3-263
Haase (W.). — Voir Ibrahim (I. H.)	C3-164	Leadbetter (A. J.), Gaughan (J. P.), Kelly (B.), Gray (G. W.)	
Hardouin (F.), Achard (M. F.) et Sigaud (G.). — Critical		and Goodby (J.). — Characterisation and structure of some new smectic F phases	C3-178
behaviour of dynamic twist viscosity $\gamma_1$ near poly-		Leadbetter (A. J.), Frost (J.), Gaughan (J. P.) and	C3-178
critical points	C3-371	Mazid (M. A.). — The structure of the crystal.	
Heithier (H.), Galla (H. J.) and Möhwald (H.). — Phase	C3-356	smectic E and smectic B forms of IBPBAC	C3-185
separation and domain interaction in pheophytin		Leadbetter (A. J.), Richardson (R. M.) and Frost (J. C.).— The dynamics of the crystals $S_E$ , $S_B$ and $S_A$ phases	
containing monolayers	C3-442	of IBPBAC	C3-125
			~ 143

Leadbetter (A. J.) and Wrighton (P. G.). — Order para-		Odawara (K.). — Voir Toriyama (K.)	C3-317
meters in S <sub>A</sub> , S <sub>C</sub> and N phases by X-ray diffraction.	C3-234	Onnagawa (H.), Kuwahara (M.) and Miyashita (K.).	0001
Le Brumant (J.), Jaffrain (M.) et Nguyen (A. T.).		Freedericksz transition in pretilted nematic cells	
Etude du polymorphisme du p-méthoxybenzylidène-		in the magnetic field normal to the director	C3-519
p-n-butyl aniline (M.B.B.A.) par spectroscopie		Ohtsuki (T.). — Voir Mitaku (S.)	C3-481
vibrationnelle infrarouge et Raman.	C3-193	Okano (K.). — Voir Mitaku (S.)	C3-481
Lebrun (J.) and Candau (S.), Letcher (S. V.). — Mapping of acoustical fields with liquid crystals		Okano (K.) and Murakami (J.). — Van der Waals dis-	
Leenhouts (F.), Roebers (H. J.), Dekker (A. J.) and	C3-298	persion force contribution to the interfacial free	
Jonker (J. J.). — Relation between elasticity and		energy of nematic liquid crystals	C3-525
molecular structure of nematic liquid crystals	C3-291	Otnes (K.). — Voir Janik (J. A.)	C3-169
Lekkerkerker (H. N. W.). — Thermodynamic analysis	CJ-291	Th. (701) \$7 ' Cl 31 (71)	~~ ~~
of the oscillatory convective instability in homeo-		Papa (T.). — Voir Scudieri (F.)	C3-392
tropic nematics heated from below	C3-67	Paranjpe (A. S.). — Voir Usha Deniz (K.)	C3-136
Leslie (F. M.). — Voir Barratt (P. J.)	C3-73	Parodi (O.) — Voir Marignan (J.)	C3-78
Letcher (S. V.). — Voir Lebrun (J.)	C3-298	Patel (K. S.). — Voir Usha Deniz (K.)	C3-136
Levelut (A. M.). — Voir Benattar (J. J.)	C3-115	Pavloff (Y. V.). — Voir Petrov (A. G.)	C3-455
Levstik (A.), Žekš (B.), Levstik (I.), Blinc (R.) and		Pavluchenko (A. I.), Smirnova (N. I.), Kovshev (E. I.)	05 155
Filipič (C.). — Dielectric dispersion in ferroelectric		and Titov (V. V.). — Liquid crystalline compounds	
liquid crystals	C3-303	in pyridine series	C3-1
Levstik (A.). — Voir Žekš (B.).	C3-409	Pershan (P. S.). — Amphiphilic molecules and liquid	
Levstik (I.). — Voir Levstik (A.) Lewis (J.). — Voir Dong (R. Y.)	C3-303	crystals	C3-423
Liebert (L.). — Voir Benattar (J. J.).	C3-243	Petrov (A. G.), Pavloff (Y. V.). — A new model for flexo-	
Lippens (D.), Druon (C.) and Wacrenier (J. M.). — Dielec-	C3-115	electric polarization of bilayer lipid membranes at	
tric study of a mesomorphous substance in glassy		blocked « flip-flop »	C3-455
nematic phase	C3-306	<b>Petrov</b> (A. G.). — Electrohydrodynamic instability in planar, positive dielectric anisotropy nematic layers	
Litster (J. D.), Als-Nielsen (J.), Birgeneau (R. J.),		at D.C. excitation	C3-310
Dana (S. S.), Davidov (D.), Garcia-Golding (F.),		Photinos (P. J.) and Saupe (A.). — An extension of the	00 010
Kaplan (M.), Safinya (C. R.) and Schaetzing (R.). —		Lennard-Jones and Devonshire model to liquid crys-	
High resolution X-ray and light scattering studies		talline phases	C3-389
of bilayer smectic A compounds	C3-339	Pikin (S. A.). — Voir Bobylev (Y. P.)	C3-331
		Piliashvili (T. S.). — Voir Elashvili (Z. M.)	C3-22
		Ponzi-Bossi (M. G.). — Voir Albertini (G.)	C3-384
Madhusudana (N. V.). — Voir Chandrasekhar (S.)	C3-120	Prost (J.). — Voir Ricard (L.)	C3-83
Malthete (J.). — Voir Destrade (C.)	C3-17	Proust (J.) et Ter-Minassian-Saraga (L.). — Films minces de cristaux liquides.	C2 400
Marignan (J.) and Parodi (O.). — Focal conics motions	C2 70	de cristaux riquides	C3-490
and plasticity in smectics A	C3-78	Ranganath (G. S.). — Interaction between surface and	
Massih (A. R.) and Naghizadeh (J.). — Dynamics of	C3-451	bulk disclinations in nematic liquid crystals	C3-87
bilayer membrane	C3-431	Reinhart (K. F.), Seeliger (R.), Graf (V.) and Noack (F.).	C3-67
Kaneko (N.) and Kawamoto (M.). — Molecular		Proton T <sub>1</sub> NMR investigation of order fluctuations.	
orientation of liquid crystals by organic metal		self-diffusion and rotational motions in isotropic	
complexes	C3-510	MBBA and EBBA	C3-199
Mazid (M. A.) Voir Leadbetter (A. J.)	C3-185	Ribotta (R.) and Durand (G.). — High frequency electro-	
Melone (S.). — Voir Albertini (G.)	C3-384	hydrodynamical instabilities in nematic liquid crys-	
Miller (W. H.). — Voir Dunmur (D. A.)	C3-141	tals	C3-334
Mirza (E. B.). — Voir Usha Deniz (K.)	C3-136	Ricard (L.) and Prost (J.). — « Second sound » propa-	G2 02
Mitaku (S.), Ohtsuki (T.) and Okano (K.). — Mechanical		gation and the smectic response function	C3-83
properties of ordered monodisperse polystyrene latex as a lyoptropic liquid crystal	C3-481	Richardson (R. M.). — Voir Leadbetter (A. J.)	C3-125
Miyashita (K.). — Voir Onnagawa (H.)	C3-519	Roebers (H. J.). — Voir Leenhouts (F.)  Rolla (P. A.). — Voir Faetti (S.)	C3-291 C3-497
Mizunoya (K.). — Voir Matsumoto (S.)	C3-510	Rubtsova (M. Ju.). — Voir Gorina (I. I.)	C3-229
Mkhatvrischvili (M. D.). — Voir Elashvili (Z. M.)	C3-22	Rustichelli (F.). — Voir Albertini (G.)	C3-384
Möhwald (H.). — Voir Heithier (H.).	C3-442	Association (2 ))	
Mondon (M. C.). — Voir Destrade (C.)	C3-17	Sackmann (H.). — The stand of the system of smectic	
Monnerie (L.). — Voir Lauprêtre (F.)	C3-478	liquid crystals by miscibility measurements	C3-5
Moussa (F.). — Voir Benattar (J. J.)	C3-115	Sadashiva (B. K.). — Voir Chandrasekhar (S.)	C3-120
Murakami (J.). — Voir Okano (K.)	C3-525	Safinya (C. R.). — Voir Litster (J. D.)	C3-339
		Samorí (B.). — Voir Gottarelli (G.) C.	3-25-204
		Samulski (E. T.). — Sidechain order parameters via <sup>2</sup> H	
Naemura (S.). — Anisotropic interactions between MBBA		NMR in polypeptide liquid crystals	C3-471
and surface-treated substrates	C3-514	Saupe (A.). — Critical analysis of the cluster integral	C2 202
Naghizadeh (J.). — Voir Massih (A. R.)	C3-451	approach to the nematic state	C3-207
Nakagawa (D.). — Voir Matsumoto (S.)	C3-510	Saupe (A.). — Voir Photinos (P. J.)  Schaetzing (R.). — Voir Litster (J. D.).	C3-339
Nakagiri (T.). — Voir Takezoe (H.)	C3-217 C3-317	Scudieri (F.), Papa (T.), Sette (D.), Bertolotti (M.) and	05-557
Nakagomi (K.). — Voir Toriyama (K.) Nakano (H.). — Voir Kimura (H.)	C3-317	Sturla (E.). — Acoustic emission at transitions in	
Nguyen (A. T.). — Voir Le Brumant (J.)	C3-174	liquid crystals	C3-392
Nguyen Huu Tinh. — Voir Beguin (A.)	C3-15	Scudieri (F.), Ferrari (A.) and Günduz (E.). — Ultrasound	
Noack (F.). — Voir Reinhart (K. F.).	C3-199	instabilities in smectic A	C3-90
Noel (C.). — Voir Fayolle (B.)	C3-485	Seeliger (R.). — Voir Reinhart (K. F.)	C3-199

Shashidhar (R.) and Venkatesh (G.). — High pressure studies on 4'-n-alkyl-4-cyanobiphenyls	Tidianov (iii ivo)	C3-263
ture of flow patterns in nematics	Usha Deniz (K.), Paranjpe (A. S.), Mirza (E. B.), Parvathanathan (P. S.) and Patel (K. S.). — DSC and	C3-136 C3-217
S <sub>A</sub> -S <sub>A</sub> type?	dipole model of the smectic C phase dipole model of the smectic C phase wan Doorn (C. Z.). — Voir De Zwart (M.).  Van Steen (P. J. F.). — Voir Kielman (H. S.).  Venkatesh (G.). — Voir Chandrasekhar (S.).  Vankatesh (G.). — Voir Shashidhar (R.).  Vertogen (G.). — Voir Van der Meer (B. W.)	C3-222 C3-278 C3-447 C3-120 C3-396 C3-222
the orientational distribution of molecules	Wacrenier (J. M.). — Voir Lippens (D.)	C3-306 C3-98 C3-314 C3-322 C3-234
<ul> <li>Fakezoe (H.), Usui (H.), Furuhata (K.), Nakagiri (T.),</li> <li>Fukuda (A.) and Kuze (E.). — Polarized Raman scattering and its electric field effects in DOBAMBC. C3-2</li> <li>Fanaka (Y.) and Tsuchiya (H.). — Photoreaction of</li> </ul>	phase transformation in some cholesteric liquid	C3-404
cholesteryl cinnamate	Yang (C. C.). — Voir Keyes (P. H.)  Yano (S.), Terashima (K.), Watanabe (Y.) and Aoki (K.). — Dielectric relaxations and intermolecular interaction in several binary nematic mixtures of P-methoxy-benzylidene-P'-N-butylaniline and non-mesogenic compound.	C3-374 C3-376
Thomas (J. W.).       — Voir Bacon (W. E.)       C3-4         Tikhomirova (N. A.).       — Voir Glogarova (M.)       C3-5         Titov (V. V.).       — Voir Pavluchenko (A. I.)       C3         Tomchuk (E.).       — Voir Dong (R. Y.)       C3-2         Torgova (S. I.).       — Voir Karamisheva (L. A.)       C3-	02 3-1 Zann (A.). — Voir Beguin (A.)	C3-15
Torre (G.). — Voir Gottarelli (G.)	25 fréquence des permittivités diélectriques	C3-326 C3-303
	or noncolour forrociocitic sincolic C nquiu crystais	C3-402

## 3rd International Conference on the electronic structure of the actinides

Grenoble, 1978

Abbe (D.). — Voir Maurice (V.)	C4-140	Calestani (G.), Spirlet (J. C.) and Müller (W.). — Single	
Allen (R.) and Brooks (M. S. S.). — Band structures of NaCl structure uranium compounds	C4-19	crystal and film growth of actinide pnictides by chemical vapour transport	C4-106
Allen (R.). — Voir Kelly (P. J.)	C4-184	Carter (F. L.). — BOA valence bonding with f-character in highly coordinated actinides	C4-228
Alvani (C.) and Naegele (J.). — Optical reflectivity	G	Conway (J.). — Voir Delamoye (P.)	C4-228
measurements on thorium metal samples	C4-131	Cooper (B. R.) and Vogt (O.) Magnetization beha-	~
	C4-130	viour and the valence of uranium in $(U_x Th_{1-x})Sb$	C4-66
Andreev (A. V.), Belov (K. P.), Deriagin (A. V.), Levitin (R. Z.) and Meňovský (A.). — Magnetic and magnetoelastic properties of the UGa <sub>2</sub> intermetallic compound	C4-82	Cox (L. E.). — Voir Ward (J. W.)  Damien (D. A.), Haire (R. G.) and Peterson (J. R.). —  Techniques of preparation and crystal chemistry of transunaric chalcogenides and pnictides	C4-15
Arko (A. J.) and Schirber (J. E.). — Fermi surface measurements in actinide metals and compounds	C4-9	Delamoye (P.), Hubert (S.), Hussonnois (M.), Krupa (J. C.), Genet (M.), Guillaumont (R.), Edelstein (N.) et	
Armbrüster (H.), Franz (W.), Schlabitz (W.) and Steglich (F.). — Transport properties, susceptibility and		Conway (J.). — Propriétés spectroscopiques de U <sup>4+</sup> dans ThBr <sub>4</sub>	C4-173
specific heat of UAl <sub>2</sub>	C4-150	Delapalme (A.), Busch (G.), Vogt (O.) and Lander (G.	
Auerman (L. N.). — Voir Mikheev (N. B.)	C4-230	H.). — Magnetization and neutron studies on single crystals of ferromagnetic UTe and USb <sub>0.8</sub> Te <sub>0.2</sub>	C4-74
Bacmann (M.). — Voir Wolfers (P.)  Baer (Y.). — Voir Baptist (R.)	C4-194 C4-40	Delapalme (A.). — Voir Fournier (J. M.)	C4-136
Baptist (R.), Naegele (J.) and Baer (Y.). — Energy	C4-40	De Novion (CH.). — Conditions for the appearance of magnetism in metallic actinide systems	C4-1
dependent photoemission (UPS/XPS) for USb single crystal	C4-40	De Novion (CH.). — Voir Gal (J.)	C4-18
Bartholin (H.). — Voir Busch (G.)	C4-64	De Novion (CH.). — Voir Fournier (J. M.)	C4-32
Baybarz (R. D.). — Voir Haire (R. G.)	C4-101	Deriagin (A. V.). — Voir Andreev (A. V.)	C4-82
Bednarczyk (E.). — Voir Spirlet (J. C.)	C4-108	Desclaux (J. P.). — Voir Pyykkö (P.)	C4-222
Beille (J.). — Voir Fournier (J. M.)	4-32-145	Dufour (C.). — Voir Benedict (U.)	C4-103
Belov (K. P.). — Voir Andreev (A. V.)	C4-82	Dunlap (B. D.) and Kalvius (G. M.). — Systematics of hyperfine interactions in actingl compounds	C4-192
Benedict (U.), Dufour (C.) and Mayne (K.). — Low	0.02	Dyachkova (R. A.). — Voir Mikheev (N. B.)	C4-230
temperature XRD study of actinide metals and compounds	C4-103	Edelstein (N.). — Voir Delamoye (P.) Eib (W.), Erbudak (M.), Greuter (F.) and Reihl (B.). —	C4-173
Bjerrum Møller (H.), Lander (G. H.) and Vogt (O.). —		Photoemission from UTe <sub>x</sub> Sb <sub>1-x</sub>	C4-72
Investigation of critical fluctuations near $T_c$ in ferromagnetic UTe	C4-28	Ellis (D. E.), Gubanov (V. A.) and Rosén (A.). — Molecular cluster theory of chemical bonding in	
Blaise (A.), Lagnier (R.), Mulak (J.) and Żołnierek (Z.).		actinide oxides	C4-187
— Magnetic susceptibility and heat capacity anoma-	04.176	Ellis (D. E.). — Voir Rosén (A.)	C4-218
lies of U(OH) <sub>2</sub> SO <sub>4</sub> at 21 K	C4-176	Ensor (D, D.). — Voir Peterson (J. R.)  Erbudak (M.). — Voir Keller (J.)	C4-111
are those measurements useful?	C4-49	Erbudak (M.). — Voir Eib (W.)	C4-22
Boutard (J. L.). — Voir Maurice (V.)	C4-140	Erdős (P.) and Razafimandimby (H. A.). — Crystal field	0112
Brodsky (M. B.) Magnetic susceptibility of		effects and shielding of uranium ions	C4-171
$U_{1-x}Th_xAl_2$	C4-147	Fedro (A. J.) Voir Sinha (S. K.)	C4-214
Brooks (M. S. S.). — Electronic structure calculations for actinide compounds	C4-155	Fellows (R. L.). — Voir Peterson (J. R.)	C4-111 C4-194
Brooks (M. S. S.). — Voir Allen (R.)	C4-19	Fournier (J. M.), Beille (J.) and De Novion (CH.).	C4-19-
Brooks (M. S. S.) Voir Kelly (P. J.)	C4-184	Magnetic properties of UN under pressure	C4-32
Buevoz (J. L.). — Voir Gal (J.)	C4-18	Fournier (J. M.) and Beille (J.). — High field, high	
Burlet (P.). — Voir Rossat-Mignod (J.)	C4-70	pressure magnetic properties of UAl <sub>2</sub>	C4-145
Busch (G.), Hulliger (F.) and Vogt (O.). — Anisotropic susceptibilities of UP, UAs and USb single crystals	C4-62	Fournier (J. M.), Delapalme (A.), Zeyen (C.) and Lander (G. H.). — High resolution neutron diffraction	CA 124
Busch (G.), Vogt (O.) and Bartholin (H.). — Magnetiza-		study of α-uranium	C4-136
tion measurements on UAs single crystals: observation of a ferrimagnetic spin structure	C4-64	Fredo (S.). — Voir Gal (J.)	C4-130
Busch (G.). — Voir Delapalme (A.)	C4-74	Freeman (A. J.), Koelling (D. D.), Watson Yang (T. J.).	
Ruvers (W. J. L.). — Voir Holden (T. M.)	C4-31	Electronic band structure and properties of α-U	C4-134

		Desailli	C4-238
Freeman (A. J.). — Panel I	C4-84	Lander (G. H.). — Panel III	
Fricke (B.). — Voir Rosén (A.) C4		Lander (G. H.). — Voir Bjerrum Møller (H.)	C4-28 C4-31
Friedt (J. M.). — Voir Rebizant (J.)	C4-133	Lander (G. H.). — Voir Holden (T. M.)	
Fuger (J.). — Alkali metal actinide complex halides:		Lander (G. H.). — Voir Mueller (M. H.)	C4-68
thermochemical and structural considerations	C4-207	Lander (G. H.). — Voir Rossat-Mignod (J.)	C4-70
Gal (J.), Fredo (S.), Hadari (Z.), Buevoz (J. L.) and De		Lander (G. H.). — Voir Delapalme (A.)	C4-74
Novion (CH.). — Magnetic and hyperfine proper-	C14.10	Lander (G. H.). — Voir Loewenhaupt (M.)	C4-142
ties of NpFe <sub>2-x</sub> Co <sub>x</sub> Si <sub>2</sub> tetragonal systems	C4-18	Lander (G. H.). — Voir Fournier (J. M.)	C4-136
Gal (J.). — Voir Jove (J.)	C4-190	Laskowski (R. J.). — Voir Huang (C. Y.)	C4-26
Genet (M.). — Voir Delamoye (P.)	C4-173	Leciejewicz (J.). — Voir Murasik (A.)	C4-181
Gonçalves da Silva (C. E. T.). — Voir Razafimandimby	64.007	Lemmer (R. H.). — The coupling of phonons to magne-	
(H. A.)	C4-226	tic excitations in a system with two singlet levels	C4-220
Greuter (F.). — Voir Eib (W.)	C4-72	Levitin (R. Z.). — Voir Andreev (A. V.)	C4-82
Grunzweig-Genossar (J.). — Voir Steinitz (M.)	C4-34	Loewenhaupt (M.), Horn (S.), Steglich (F.), Holland-	
Gubanov (V. A.). — Voir Ellis (D. E.)	C4-187	Moritz (E.) and Lander (G. H.). — Magnetic neu-	
Guillaumont (R.). — Voir Delamoye (P.)	C4-173	tron scattering on intermetallic uranium compounds	C4-142
Hadari (Z.). — Voir Gal (J.)	C4-18	Matzke (Hj.). — Self-diffusion of U and Pu in (U, Pu) C	
Haire (R. G.) and Baybarz (R. D.). — Studies of		and (U, Pu) N	C4-24
einsteinium metal	C4-101	Maurice (V.), Boutard (J. L.), Abbe (D.). — Low	
Haire (R. G.). — Voir Ward (J. W.)	C4-233	temperature specific heat of Rocksalt thorium	01110
Haire (R. G.). — Voir Peterson (J. R.)	C4-111	compounds	C4-1 <del>4</del> 0
Haire (R. G.). — Voir Damien (D. A.)	C4-95	Mayne (K.). — Voir Benedict (U.)	C4-103
Haire (R. G.). — Voir Smith (J. L.)	C4-138	Meňovský (A.). — Voir Andreev (A. V.)	C4-82
Hoff (H. A.). — Voir Mueller (M. H.)	C4-68	Mikheev (N. B.), Spytsin (V. I.), Dyachkova (R. A.) and	
Holden (T. M.), Svensson (E. C.), Buyers (W. J. L.) and		Auerman (L. N.). — Energetics of 5f- and	
Lander (G. H.) Magnetic inelastic scattering in		4f-orbitals and 5f- and 4f-elements similarity	C4-230
uranium nitride	C4-31	Morović (T.). — Voir Rosén (A.)	C4-218
Holland-Moritz (E.) Voir Loewenhaupt (M.)	C4-142	Mortimer (M. J.). — Specific heats of actinide metals	C4-124
Horn (S.). — Voir Loewenhaupt (M.)	C4-142	Mueller (M. H.), Lander (G. H.), Hoff (H. A.), Knott (H.	
Huang (C. Y.), Laskowski (R. J.), Olsen (C. E.) and		W.) and Reddy (J. F.). — Lattice distortions measu-	
Smith (J. L.). — High pressure study of ferroma-		red in actinide ferromagnets PuP, NpFe <sub>2</sub> and NpNi <sub>2</sub>	C4 (9
gnetic US	C4-26	77 11 /7 X 1 70 1 /4 )	C4-68
Huang (C. Y.). — Voir Smith (J. L.)	C4-138	Mulak (J.). — Voir Blaise (A.)	C4-176
Huary (P. G.). — Voir Nave (S. E.)	C4-114	Müller (W.). — Voir Spirlet (J. C.)	C4-108
Hubert (S.) Voir Delamoye (P.)	C4-173	Müller (W.). — Voir Calestani (G.)	C4-106
Hulliger (F.). — Voir Busch (G.)	C4-62	Murasik (A.), Leciejewicz (J.), Niedzielski (R.), Troć (R.).	
Hussonnois (M.). — Voir Delamoye (P.)	C4-173	— Crystal field effects in NdP-UP solid solution	04.404
Ionova (G. V.) and Spytsyn (V. I.). — About the		studied by neutron spectroscopy	C4-181
correlation between electronic configurations of		Naegele (J.). — Voir Alvani (C.)	C4-131
actinide ions and the properties of their compounds	C4-199	Naegele (J.). — Voir Baptist (R.)	C4-40
Johansson (B.). — Voir Skriver (H.)	C4-130	Nave (S. E.) and Huary (P. G.). — Micro-magnetic	
Jove (J.), Gal (J.), Potzel (W.), Kalvius (G. M.), Spirlet		susceptometer for the actinides	C4-114
(J. C.) and Pages (M.). — Mössbauer studies of		Niedzielski (R.). — Voir Murasik (A.)	C4-181
neptunium fluorozirconate glass	C4-190	Noël (H.). — Voir Wolfers (P.)	C4-194
Kalvius (G. M.). — Voir Rebizant (J.)	C4-133	Olsen (C. E.). — Voir Huang (C. Y.)	C4-26
Kalvius (G. M.). — Voir Dunlap (B. D.)	C4-192	Pages (M.). — Voir Jove (J.)	C4-190
Kalvius (G. M.). — Voir Jove (J.)	C4-190	Peterson (J. R.), Ensor (D. D.), Fellows (R. L.), Haire (R.	
Kanellakopulos (B.). — Voir Stollenwerk (A. H.)	C4-179	G.) and Young (J. P.). — Preparation, characteriza-	
Keller (J.) and Erbudak (M.). — Electronic structure of		tion, and decay of einsteinium(II) in the solid state	C4-111
cubic uranium compounds	C4-22	Peterson (J. R.). — Panel II	C4.05
Kelly (P. J.), Brooks (M. S. S.) and Allen (R.).			C4-95
Electronic structure and ionicity of actinide dioxi-		Poinsot (R.). — Voir Rebizant (J.)	C4-133
des	C4-184	Potzel (W.). — Voir Jove (J.)	C4-190
Kleinschmidt (P. D.) Voir Ward (J. W.)	C4-233	Pyykkö (P.) and Desclaux (J. P.). — Dirac-Fock one-cen-	
Klenze (R.). — Voir Stollenwerk (A. H.)	C4-179	tre expansion calculations on the molecular model systems ThH <sub>4</sub> and UH <sub>6</sub>	C4 222
Knott (H. W.). — Voir Mueller (M. H.)	C4-68	Ray (I.). — Voir Spirlet (J. C.)	C4-222
Koelling (D. D.) The band theory approach for			C4-108
actinides	C4-117	Razafimandimby (H. A.) and Gonçalves da Silva (C. E. T.). — Slater-Koster interpolation scheme for acti-	
Koelling (D. D.). — Voir Freeman (A. J.)	C4-134	nides	C4.226
Kowalczyk (S. P.). — Many-electron effects in the X-ray	C+15+	Razafimandimby (H. A.). — Voir Erdös (P.)	C4-226
photoemission spectra of the actinides: a compari-			C4-171
son with the rare earths	C4-224	Rebizant (J.), Spirlet (J. C.), Friedt (J. M.), Poinsot (R.) and Kalvius (G. M.). — <sup>231</sup> Pa Mössbauer resonance	
Krupa (J. C.). — Voir Delamoye (P.)	C4-173	in Pa metal	C4-133
Lagnier (R.). — Voir Blaise (A.)	C4-176	Reddy (J. F.). — Voir Mueller (M. H.)	C4-133
Lander (G. H.), Stirling (W. G.) and Vogt (O.).	21770	Reihl (B.). — Voir Eib (W.)	
Neutron inelastic scattering experiments on ura-		Rosén (A.) and Fricke (B.). — The electronic structure of	C4-72
nium antimonide	C4-36	UF <sub>5</sub>	04.40**
			C4-19/

Rosén (A.), Fricke (B.), Morović (T.) and Ellis (D. E.). — Relativistic molecular calculations of superheavy		Stewart (G. R.), — Voir Ward (J. W.)	C4-15
molecules	C4-218	Stewart (G. R.). — Voir Smith (J. L.)	C4-138
Rosén (A.). — Voir Ellis (D. E.)		Stirling (W. G.). — Voir Lander (G. H.)	C4-36
Rossat-Mignod (J.), Burlet (P.), Vogt (O.) and Lander (G. H.). — Neutron and magnetization studies of USb <sub>0.9</sub> Te <sub>0.1</sub> ; observation of a multiaxial magnetic structure	C4-187	Stollenwerk (A. H.), Klenze (R.), Kanellakopulos (B.). — Magnetic susceptibility of some organometallic compounds of neptunium(IV)	C4-179
	C4-70	properties of the semimetallic, semiconducting and	01.42
Sandenaw (T. A.). — Applicability of a valence fluctua- tion model to the observed physical property res-		ionic compounds of actinides	C4-43
ponse of actinide materials	C4-236	Svensson (E. C.). — Voir Holden (T. M.)	C4-31
Schirber (J. E.). — Voir Arko (A. J.)	C4-9	Thibaut (E.), Verbist (J.) and Troć (R.). — Shake-up satellites in the U4f E.S.C.A. spectra of NaCl-type	04.55
Schlabitz (W.). — Voir Armbrüster (H.)	C4-150	uranium monocompounds: UN, UP, UAs and US	C4-77
Schoenes (J.) and Vogt (O.). — Spectroscopic study of the electronic structure of USb	C4-38	Troć (R.) and Żolnierek (Z.). — Magnetic properties of some tetragonal uranium compounds	C4-79
Sinha (S. K.) and Fedro (A. J.). — Phase transitions in		Troć (R.). — Voir Murasik (A.)	C4-181
highly-correlated f-electron systems with fluctua-		Troć (R.) Voir Thibaut (E.)	C4-77
ting valence	C4-214	Veal (B. W.). — Optical techniques for actinide research	C4-163
Skriver (H.), Andersen (O. K.) and Johansson (B.). — Calculated atomic volumes of the actinide metals	C4 420	Verbist (J.). — Voir Thibaut (E.)	C4-77
Smith (J. L.), Stewart (G. R.), Huang (C. Y.), Haire (R.	C4-130	Vogt (O.). — Voir Schoenes (J.)	C4-38
G.). — Superconducting critical field and low tem-		Vogt (O.). — Voir Delapalme (A.)	C4-74
perature heat capacity of americium	C4-138	Vogt (O.). — Voir Lander (G. H.)	C4-36
Smith (J. L.). — Voir Huang (C. Y.)	C4-26	Vogt (O.). — Voir Rossat-Mignod (J.)	C4-70
Smith (J. L.). — Voir Ward (J. W.)	C4-15	Vogt (O.). — Voir Busch (G.)	
Spirlet (J. C.), Bednarczyk (E.), Ray (I.) and Müller (W.).		Vogt (O.). — Voir Cooper (B. R.)	C4-66
— Crystal growth of actinide dioxides by chemical	C 4 400	Vogt (O.). — Voir Bjerrum Møller (H.)	C4-28
Spirlet (J. C.). — From commercial actinide oxides to	C4-108	Ward (J. W.), Cox (L. E.), Smith (J. L.), Stewart (G. R.) and Wood (J. H.). — Some observations on the electronic structure of β-UD <sub>3</sub>	C4-15
single crystals of their metals and refractory compounds	C4-87	Ward (J. W.), Kleinschmidt (P. D.) and Haire (R. G.).	
Spirlet (J. C.). — Voir Calestani (G.)	C4-106	The vapour pressure and thermodynamics of Cf-249	
Spirlet (J. C.). — Voir Galestani (G.)  Spirlet (J. C.). — Voir Jove (J.)	C4-100	metal	C4-233
Spirlet (J. C.). — Voir Rebizant (J.)	C4-133	Watson Yang (T. J.). — Voir Freeman (A. J.)	C4-134
Spytsin (V. I.). — Voir Mikheev (N. B.)	C4-133	Wolfers (P.), Bacmann (M.), Fillion (G.) and Noël (H.).	C4 404
Spytsyn (V. I.). — Voir Ionova (G. V.)	C4-199	CoU <sub>2</sub> S <sub>5</sub> -magnetic structure and properties	C4-194 C4-15
Steglich (F.). — Voir Armbrüster (H.)	C4-150	Wood (J. H.). — Voir Ward (J. W.)  Young (J. P.). — Voir Peterson (J. R.)	C4-13
	C4-130	Zeven (C.). — Voir Feterson (J. R.)	C4-111
Steglich (F.). — Voir Loewenhaupt (M.)	C4-142	Żołnierek (Z.). — Voir Blaise (A.)	C4-176
Steinitz (M.) and Grunzweig-Genossar (J.). — Volume changes at the magnetic transitions of UP	C4-34	Żołnierek (Z.). — Voir Troć (R.)	C4-79



### Physics of metallic rare-earths

### Saint-Pierre de Chartreuse, 1978

Achard (J. C.), Givord (F.), Percheron-Guégan (A.), Sou- beyroux (J. L.) and Tasset (F.). — Neutron study of Al or Mn substituted LaNi <sub>5</sub> hydrogen sponges	C5-218	Bennemann (K. H.). — Voir Avignon (M.)	C5-377
Alekseev (P. A.), Sadikov (I. P.), Filipov (A. A.),	,	pounds	C5-328
Savitskii (E. M.), Terekhova (V. F.), Markova (I. A.)		Benoit (A.). — Voir Ribault (M.)	C5-391
and Chistyakov (O. D.). — Study of the crystalline electric field in $Pr_xLa_{1-x}Al_3$	C5 147	Berger (A.), Haen (P.), Holtzberg (F.), Lapierre (F.),	
	C5-147 .	Mignot (J. M.), Penney (T.), Peña (O.) and Tournier (R.). — One impurity effect of Tm in YSe. Kondo	
Allen (J. W.), Johansson (L. J.), Bauer (R. S.), Gustafsson (T.), Lindau (I.) and Hagström (S. B. M.).		effect and Van Vleck behavior	C5-364
Electronic structure of Sm surface studied by syn-		Berthier (Y.) and Devine (R. A. B.). — Microscopic and	
chroton-radiation-excited-photoelectron spectrosco-		macroscopic effect of substitution of Dy in DyAl <sub>2</sub>	
pies	C5-346	by trivalent rare-earth ions (Sc, Y, La, Lu)	C5-116
Amado (M. M.). — Voir Sousa (J. B.)	C5-42, 44	Berthier (Y.). — Voir Belorizky (E.)	C5-56
Asomoza (R.), Campbell (I. A.) and Fert (A.). — Transport		Berton (A.), Chaussy (J.), Chouteau (G.), Cornut (B.), Flouquet (J.), Odin (J.), Palleau (J.), Peynard (J.)	
properties of amorphous rare-earth alloys	C5-225	and Tournier (R.). — Magnetization and specific	
Asomoza (R.). — Voir Gasgnier (M.).  Ausloos (M.). — Voir Sousa (J. B.)	C5-253 C5-42	heat of abnormal cerium compounds	C5-326
Aveline (I.) and Iglesias-Sicardi (J. R.). — A theoretical	C3-42	Bhattacharjee (A. K.) and Coqblin (B.). — A model for	
model in $Sm_{1-x}M_xS$ alloys	C5-354	random — anisotropy antiferromagnetism in amor-	~~~~
Avignon (M.), Brouers (F.) and Bennemann (K. H.).		phous rare-earth alloys	C5-246
Effect of phonons in mixed valence systems	C5-377	<b>Biesterbos (J. W. M.).</b> — Properties of amorphous rare earth-transition metal thin films relevant to thermo-	
Avignon (M.). — Voir Spronken (G.)	C5-380	magnetic recording	C5-274
		Bijvoet (J.), Merlijn (G.) and Frings (P.). — Magneto-	00 27 .
Baberschke (K.), Bachor (B.), Luft (H.) and Pellisson (J.).		resistance and anomalous Hall effect of magnesium	
Observation of the $Er^{3+}$ $\Gamma_8$ groundstate ESR-	05.51	single crystals with heavy rare earth impurities	C5-38
resonance in YAl <sub>2</sub> single crystals	C5-51	Bijvoet (J.). — Voir De Jong (M.).	C5-17
Bachor (B.). — Voir Baberschke (K.)	C5-51 C5-308	Bjerrun Møller (H.) and Mackintosh (A. R.). — Magnon	CE 20
Barbara (B.), Cyrot (M.), Lacroix-Lyon-Caen (C.) and	C5 500	Boucher (B.) and Barbara (B.). — Magnetic after-effect	C5-28
Rossignol (M. F.). — Magnetic properties of CeAl <sub>2</sub>		in the $Tb_{52}Ag_{48}$ bulk amorphous alloy	C5-250
at low temperature	C5-340	Boucherle (J. X.), Givord (D.), Laforest (J.), Schweizer (J.)	
Barbara (B.), Boucherle (J. X.), Buevoz (J. L.), Rossi-		and Tasset (F.). — Determination of exchange and	
gnol (M. F.), Schweizer (J.). — Neutron diffraction	C/E 221	crystal field effects in Sm alloys by polarized neutron	~
studies of CeAl <sub>2</sub> at low temperature	C5-321 C5-250	diffraction	C5-180
Bartholin (H.), Burlet (P.), Quezel (S.), Rossat-Mignot (J.)	C3-230	Braga (M. E.). — Voir Sousa (J. B.)	C5-321
and Vogt (O.). — Hydrostatic pressure effects and		Bredl (C. D.). — Voir Steglich (F.)	C5-301
neutron diffraction studies of CeBi phase diagram.	C5-130	Brewer (W. D.) Voir Grimm (J.).	C5-58
Batlogg (B.), Kaldis (E.) and Wachter (P.). — Valence		Brouers (F.), Bennemann (K. H.), De Menezes (O. L. T.),	
changes and semiconductor-to-metal transitions in	~ ~ ~ ~	Troper (A.) and Gomes (A. A.). — On the valence	
$Tm_{1-x}Eu_xSe$ and $TmSe_{1-x}Te_x$	C5-370	fluctuation phenomena in SmS compounds	C5-352
Bauer (R. S.). — Voir Allen (J. W.)	C5-346 C5-145	Broken (F.). — Voir Avignon (M.)	C5-377
Beaudry (B. J.). — Voir Gschneidner (K. A. Jr.).	C5-114	Bucher (E.). — Voir Jayaraman (A.)  Buevoz (J. L.). — Voir Debray (D.)	C5-350 C5-358
Beck (H.). — Voir Delley (B.)	C5-258	Buevoz (J. L.). — Voir Barbara (B.)	C5-331
Becker (K. W.), Fulde (P.), Keller (J.) and Thalmeier (P.).		Burlet (P.). — Voir Bartholin (H.)	C5-130
Theory of ultrasonic attenuation in metallic rare earth		Burzo (E.). — Magnetic properties and resonance studies	
systems	C5-35	of some pseudobinary gadolinium or yttrium com-	
Beille (J.), Liénard (A.) and Rebouillat (J. P.). — High		pounds	C5-184
pressure magnetic behaviour of amorphous Y <sub>x</sub> Ni <sub>1-x</sub>	C5-256	Buschow (K. H. J.). — Voir Gubbens (P. C. M.)	C5-200 C5-132
alloys	C5-250	Buyers (W. J. L.). — Voir Kjems (J. K.)	C3-132
and Niez (J. J.). — Determination through symmetry			
arguments of the various contributions to the self		Camley (R.), Parlebas (J. C.), Subbaswamy (K. R.) and	
polarisation field at rare earth nuclei in cubic com-		Mills (D. L.). — Influence of fd mixing on electronic	
pounds	C5-56	impurity levels in rare earth semiconducting com-	C5 272
Bennemann (K. H.). — Voir Brouers (F.)	C5-352	pounds	C5-372

Campbell (I. A.) Voir Asomoza (R.)	C5-225	Durand (J.) and Poon (S. J.). — Spin glasses in amorphous	OF 221
Campbell (S. J.). — Voir McKenna (T. J.)	C5-22	and crystalline R.E. alloys	C5-231
Capponi (J. J.). — Voir Meyer (C.)	C5-191	Dvunitkin (V. G.) Voir Vedernikov (M. V.)	C5-46
Carter (F. L.). — Valence, coordination number, and			
PAV cells in metallic rare earth compounds	C5-216	Elschner (B.). — Voir Gambke (T.)	C5-331
Caudron (R.). — Voir Levesque (B.)	C5-266	Entel (P.) and Leder (H. J.). — On the role of phonons	
Chaplin (D. H.). — Voir McKenna (T. J.)	C5-22	in intermediate valence compounds	C5-375
Chaussy (J.). — Voir Berton (A.)	C5-326	Etourneau (J.). — Voir Kasaya (M.)	C5-393
Chetal (A. R.). — Voir Sarode (P. R.)	C5-86	Etourneau (o.).	
Chistyakov (O. D.). — Voir Alekseev (P. A.)	C5-147		
Chouteau (G.), Holtzberg (F.), Peña (O.), Penney (T.),		Fairbairn (W. M.), Sharland (A. J.) and P. Strange. —	
Tournier (R.). — Observation of the characteristics		Anisotropic effects from spin-split bands	C5-81
of Tm <sup>2+</sup> and Tm <sup>3+</sup> in homogeneous and inhomo-	07.3/1	Ferguson (P.). — Optical conductivity and direct inter-	
geneous TmSe	C5-361	band transitions in Gd	C5-78
Chouteau (G.). — Voir Berton (A.)	C5-326	Ferrer (R.), Harris (R.), Sung (S. H.) and Zucker-	
Chouteau (G.). — Voir Ribault (M.)	C5-391	mann (M. J.). — Random magnetic anisotropy in	
Clark (G. F.), Tanner (B. K.), Sery (R. S.) and		amorphous alloys containing rare earth atoms :	
Savage (H. T.). — The magnetization process in	C5-183	some recent developments	C5-221
rare earth iron laves phase compounds	C5-163	Fert (A.) and Spanjaard (D.). — Non axial electric field	07.040
Clippe (P.). — Voir Sousa (J. B.)	C5-245	gradients in amorphous rare-earth alloys	C5-248
Coey (J. M. D.). — Voir Kasaya (M.)	C5-393	Fert (A.). — Voir Ousset (JC.)	C5-40
Coles (B. R.). — Voir Sarkissian (B. V. B.)	C5-264	Fert (A.). — Voir Asomoza (R.).	C5-225
Colliex (C.). — Voir Gasgnier (M.).	C5-253	Fields (J. N.). — Voir Julien (R.)	C5-293
Cooper (B. R.) and Siemann (R.). — Magnetoelastic	00 200	Filipov (A. A.). — Voir Alekseev (P. A.)	C5-147
effects and the anomalous anisotropic magnetic		Fink (J.). — Voir Götz (F.)	C5-19 C5-245
behavior of cerium monopnictides	C5-126	Fink (J.). — Voir Czjzek (G.) Fischer (Ø.), Ishikawa (M.), Pelizzone (M.) and Trey-	C3-243
Coqblin (B.). — Voir Bhattacharjee (A. K.)	C5-246	vaud (A.). — Coexistence of superconductivity and	
Cornut (B.). — Voir Berton (A.)	C5-326	long range magnetic order	C5-89
Costa (P.). — Voir Levesque (B.)	C5-266	Fischer (P.). — Voir Girgis (K.).	C5-159
Creuzet (G.). — Voir Ousset (J. C.)	C5-40	Fish (G. E.). — Voir Rhyne (J. J.)	C5-209
Croft (M. C.). — Voir Parks (R. D.)	C5-323	Flouquet (J.). — Voir Berton (A.)	C5-326
Crow (J. E.). — Voir Kjems (J. K.)	C5-132	Flouquet (J.). — Voir Benoit (A.)	C5-328
Cyrot (M.), Gignoux (D.), Givord (F.) and Lavagna (M.). —		Flouquet (J.). — Voir Ribault (M.)	C5-391
Magnetism of the rare earth — 3d: Theoretical review	C5-171	Franz (W.), Steglich (F.) and Wohlleben (D.). — Transport	00 071
Cyrot (M.). — Voir Barbara (B.)	C5-340	anomalies in CeCu <sub>2</sub> Si <sub>2</sub>	C5-342
Czjzek (G.), Fink (J.), Gotz (F.), Schmidt (H.), Rebouil-		Friedt (J. M.). — Voir Dunlap (B. D.)	C5-211
lat (J. R.), Liénard (A.) and Coey (J. M. D.). — An		Frings (P.). — Voir Bijvoet (J.)	C5-38
investigation of amorphous Gd-Ni alloys by Möss-	~	Fritzler (B.). — Voir Kaldis (E.)	C5-366
bauer spectroscopy	C5-245	Fujita (T.). — Voir Kasuya (T.)	C5-308
Czjzek (G.). — Voir Götz (F.)	C5-19	Fulde (P.). — Voir Becker (K. W.)	C5-35
Czopnik (A.). — Voir Staliński (B.)	C5-149	Fulde (P.). — Voir Götz (F.)	C5-19
		Fuller (C.). — Voir Déportes (J.)	C5-154
Dariel (M. P.), Mintz (M. H.) and Hadari (Z.). — Hydro-		Furrer (A.), Haelg (W.), Heer (H.) and Vogt (O.).	
gen absorption characteristics of oxygen-stabilized		Magnetic excitations in cerium antimonide	C5-122
rare-earth iron intermetallic compounds	C5-213		
Debray (D.), Decker (D. L.), Sougi (M.), Kahn (R.) and			
Buévoz (J. L.). — Magnetic properties and magnetic		Gama (S.). — Voir Torikachvili (M. S.)	C5-30
structures of TmSe at low temperatures	C5-358	Gambke (T.) and Elschner (B.). — ESR of some RE-ions	
Decker (D. L.). — Voir Debray (D.) De Jong (M.), Touborg (P.) and Bijvoet (J.). — Magnetic	C5-358	in CePd <sub>3</sub>	C5-331
susceptibility of dilute alloys of rare earths in magne-		Gao (J. J.). — Voir Wang (Y. J.)	C5-239
sium	C5-17	Garton (G.). — Voir Sousa (J. B.).	C5-44
Delley (B.), Beck (H.), Künzi (H. U.) and Güntherodt	C3-17	Gasgnier (M.), Asomoza (R.), Colliex (C.), Mory (C.)	
(HJ.). — The resistivity of liquid rare earths	C5-258	and Trebbia (P.). — About some properties of amorphous gadolinium-iron thin films	05.252
De Menezes (O. L. T.). — Voir Troper (A.)	C5-54	Gignoux (D.), Nait-Saada (A.) and Perrier de la Bâthie (R.).	C5-253
De Menezes (O. L. T.). — Voir Brouers (F.)	C5-352	- Magnetic properties of TbNi <sub>5</sub> and HoNi <sub>5</sub> single	
De Novion (C. H.). — Voir Morrillo (J.)	C5-348	crystals	C5-188
Deryagin (A. V.). — Magnetic moment, magnetic aniso-		Gignoux (D.). — Voir Cyrot (M.)	C5-171
tropy and spin-reorientation phase transition in		Girgis (K.) and Fischer (P.). — Magnetic properties and	C3-1/1
(4f-3d) intermetallic compounds	C5-165	phase transitions of $RA1_xGa_{2-x}$ (R = Tb, Ho)	C5-159
Déportes (J.), Givord (D.), Kebe (B.) and Fuller (C.).		Givord (D.), Liénard (A.), Rebouillat (J. P.) and	05 157
Magnetic structures and interactions in RZn <sub>12</sub> and		Sadoc (J. F.). — Atomic structure in amorphous	
RCu <sub>4</sub> Al <sub>8</sub> compounds	C5-154	YNi <sub>2</sub>	C5-237
Déportes (J.). — Voir Hardman (K.)	C5-204	Givord (D.). — Voir Déportes (J.)	C5-154
Devine (R. A. B.). — Voir Belorizky (E.)	C5-56	Givord (F.). — Voir Cyrot (M.)	C5-171
Devine (R. A. B.). — Voir Berthier (Y.)	C5-116	Givord (D.). — Voir Boucherle (J. X.)	C5-180
Donoho (P. L.). — Voir Torikachvili (M. S.)	C5-30	Givord (A.). — Voir Achard (J. C.)	C5-218
Doniach (S.). — Voir Julien (R.)	C5-293	Glötzel (D.). — Density functional theory of f-band	
Dunlap (B. D.), Shenoy (G. K.), Friedt (J. M.) and West- lake (D. G.). — Electronic and magnetic properties		metals: Lanthanum, cerium and thorium	C5-83
and the dile - Electronic and magnetic properties			
of some rare-earth dihydrides and dideuterides	C5-211	Gomes (A. A.). — Voir Brouers (F.) Gomes (A. A.). — Voir Troper (A.).	C5-352

Górecki (T.). — Heat capacity of rare earth metals near the melting point and the vacancy mechanism of melting	C5-63	Hukin (H. D.). — Voir Sousa (J. B.).  Hulliger (F.) and Ott (H. R.). — Crystal-field effects and	C5-44
Götz (F.), Czjzek (G.), Fink (J.), Schmidt (H.) and Fulde (P.). — Magnetic interactions in Pr : Eu		phase transitions in Rocksalt-type cerium compounds	C5-128
alloys  Götz (F.) Voir Czjzek (G.)  Gratz (E.), Sassik (H.), Nowotny (H.), Steiner (W.) and Mair (G.). — Electrical resistivity, thermopower and X-Ray structure investigations on RECo <sub>2</sub> (RE=Nd.	C5-19 C5-245	Iglesias-Sicardi (J. R.). — Voir Aveline (I.) Iliew (N.). — Voir Staliński (B.) Isci (C.). — Voir Palmer (S. B.) Ishikawa (M.). — Voir Fischer (Ø.)	C5-354 C5-149 C5-33 C5-89
Tb, Dy, Ho, Er) as a function of temperature	C5-186		
Grayevsky (A.). — Voir Levin (R.)  Grimm (J.), Brewer (W. D.) and Wilson (G. V. H.). — A  nuclear orientation study of hyperfine interactions in terbium	C5-48 C5-58	James (W. J.), Hardman (K.), Yelon (W.) and Kebe (B.).  — Structural and magnetic properties of $Y_6(Fe_{1-x}Mn_x)_{2,3}$	C5-206
Gros (Y.). — Voir Meyer (C.) Grössinger (R.) and Hilscher (G.). — Pulsed field measu-	C5-191	James (W. J.). — Voir Hardman (K.).  Jayaraman (A.) and Bucher (E.). — Pressure-induced	C5-204
rements of the lower critical field in Er <sub>6</sub> Fe <sub>23</sub>	C5-202	valence instability in Sm <sub>4</sub> Bi <sub>3</sub>	C5-350 C5-1
Gruber (J. B.). — Voir Gschneidner (K. A. Jr.)	C5-114	Jérome (L. E.) and Mohanty (G. P.). — Deformation induced structural effects in cerium.	C5-381
McMasters (O. D.), Taher (S. M. A.), Ho (J. C.), King (G. B.) and Gruber (J. B.). — Low temperature		Jiles (D.). — Voir Palmer (S. B.)	C5-33
heat capacity studies on intermetallic and semimetallic rare earth compound	C5-114	Jilek (E.). — Voir Kaldis (E.).  Johansson (L. J.). — Voir Allen (J. W.).	C5-366 C5-346
Gubbens (P. C. M.), Van der Kraan (A. M.) and Bus-		Julien (R.), Pfeuty (P.), Fields (J. N.) and Doniach (S.).	C5 202
chow (K. H. J.). — Spin reorientation in Er		Theoretical study of the Kondo lattice	C5-293
$(Fe_{1-x}Co_x)_3$ compounds	C5-200		
Güntherodt (H.J.). — Voir Delley (B.)	C5-258	Kahn (R.). — Voir Debray (D.)	C5-358
Güntherodt (J. J.). — Voir Müller (M.)	C5-260 C5-323	Kaino (K.) and Kasuya (T.). — Nonlinear s-f exchange interaction effect and magnetic properties of rare-	
Gustafsson (T.). — Voir Allen (J. W.)	C5-346	earth metals	C5-24
(-1,		Kaldis (E.), Fritzler (B.), Jilek (E.) and Wisard (A.).	0021
Haberer (J. P.) and Lemaire (H.). — The Physics and the		Phase relationships and structural investigations in	
technology of rare-earth permanent magnets	C5-273	TmSe and alloys	C5-366
Hadari (Z.). — Voir Dariel (M. P.)	C5-213	Kaldis (E.). — Voir Batlogg (B.)	C5-370
Haelg (W.). — Voir Furrer (A.)	C5-122	Kale (B. M.). — Voir Torikachvili (M. S.)	C5-30
Haen (P.). — Voir Berger (A.)	C5-364	Kamm (G.). — Voir Seitz (E.)	C5-76 C5-385
Hagenmuller (P.). — Voir Kasaya (M.)	C5-393	Karlsson (S. E.). — Voir Plateau (A.)	C3-363
Hagström (S. B. M.). — Voir Allen (J. W.).	C5-346	muller (P.) and Coey (J. M. D.). — Effects of carbon	
Hardman (K.), James (W. J.), Déportes (J.), Lemaire (R.) and Perrier de la Bâthie (R.). — Magnetic properties		on the magnetism of EuB <sub>6</sub>	C5-393
of R <sub>6</sub> Mn <sub>23</sub> compounds	C5-204	Kasuya (T.), Takegahara (K.), Fujita (T.), Tanaka (T.)	
Hardman (K.). — Voir James (W. J.)	C5-206	and Bannai (K.). — Valence fluctuating state in	G5 200
Harmon (B. N.). — Band structures of rare-earth metals	C5-65	SmB <sub>6</sub>	C5-308 C5-24
Harris (R.). — Voir Ferrer (R.)	C5-221	Kasuya (T.). — Voir Kaino (K.)	C5-154
Hartmann-Boutron (F.). — Voir Meyer (C.)	C5-191 C5-122	Kebe (B.). — Voir James (W. J.)	C5-206
Henrion (B.) and Pierre (J.). — Magnetic excitations in	CJ-122	Keller (J.). — Voir Becker (K. W.)	C5-35
HoZn and ErCu compounds	C5-141	Khvostantsev (L. G.) and Nickolaev (N. A.). — Behaviour	
Hessel Andersen (N.) and Vogt (O.). — The effect of the		of thermo-E.M.F. of cerium under hydrostatic pres-	C5 202
4f-quadrupole charge distribution on the electrical		sure up to 75 kbars	C5-383 C5-177
resistivity of TmSb	C5-118	King (G. B.). — Voir Gschneidner, Jr. (K. A.).	C5-114
Hilscher (G.) and Kirchmayr (H.). — The onset of magnetic order in Y(Fe <sub>1-x</sub> Mn <sub>x</sub> ) <sub>2</sub>	C5-196	Kirchmayr (H.). — Voir Hilscher (G.)	C5-196
Hilscher (G.). — Voir Grössinger (R.)	C5-202	Kjems (J. K.), Nielsen (M.), Buyers (W. J. L.) and	
Ho (J. C.). — Voir Gschneidner (K. A. Jr.).	C5-114	Crow (J. E.). — Pressure dependence of the critical	
Ho (W. W.). — Voir Yang (Y. T.)	C5-177	fluctuations in the singlet-ground-state system, Pr <sub>3</sub> Tl	C5-132
Hoenig (H. E.) and Loewenhaupt (M.). — Linewidth of	G5 126	Kletowski (Z.), Staliński (B.) and Bazan (C.). — High	C3 132
crystal field transitions in doped superconductors	C5-136	field magnetoresistance in antiferromagnetic mono-	
Holland-Moritz (E.) and Loewenhaupt (M.). — Linewidths of TmSe studied by magnetic neutron scattering	C5-359	crystalline PrSn <sub>3</sub> and NdSn <sub>3</sub>	C5-145
Holtzberg (F.). — Voir Chouteau (G.)	C5-361	Koon (N. C.) and Williams (C. M.). — Effect of magneto-	
Holtzberg (F.). — Voir Berger (A.)	C5-364	striction on the anisotropy energy of cubic rare-earth	C5 104
Holtzberg (F.), Penney (T.) and Tournier (R.). — Valence		komura (Y.). — Voir Yamamoto (T.)	C5-194 C5-120
instabilities of Tm in its compounds and solid	OF C14	Kopp (J.). — Voir Seitz (E.)	C5-76
solutions	C5-314	Künzi (H. U.). — Voir Delley (B.)	C5-258
Holzapfel (W. B.), Ramesh (T. G.) and Syassen (K.). —		Kupferberg (L. C.). — Voir Parks (R. D.)	C5-323
Structural and electronic changes in europium and ytterbium under pressures of 200 kbar and above	C5-390		
Hrubec (J.) and Steiner (W.). — Magnetic properties of	,	Lacroix-Lyon-Caen (C.). — Voir Barbara (B.)	C5-340
RE(Fe <sub>x</sub> Rh <sub>1-x</sub> ) <sub>2</sub> , RE = Y, Gd, Dy, Ho	C5-198	Laforest (J.) Voir Boucherle (J. X.)	C5-180
Huber (E.). — Voir Müller (M.)	C5-260	Lapierre (F.). — Voir Berger (A.)	C5-364

Lavagna (M.). — Voir Cyrot (M.)	C5-171	Possible appearance of Sm <sup>3+</sup> ions during neutron	
Lebech (B.). — Two-dimensionally-modulated, magnetic	C5 14	irradiation at 21 K of samarium monosulphide	
structure of neodumium metal	C5-14	doped with phosphorus impurities	C5-348
Leburton (J. P.). — Voir Sousa (J. B.)	C5-42	Mory (C.). — Voir Gasgnier (M.)	C5-253
Leder (H. J.). — Voir Entel (P.)	C5-375	Müller (M.), Huber (E.) and Güntherodt (H. J.).	05 255
Léger (J. M.). — Voir Yacoubi (N.)	C5-356 C5-273	Magnetic susceptibility of liquid heavy rare-earth	
Lemaire (H.). — Voir Haberer (J. P.)	C5-273	metals	C5-260
Lemaire (R.). — Voir Hardman (K.)	C5-204	Murasik (A.), Ptasiewicz-Bak (H.) and Zygmunt (A.).	00 200
Lengeler (B.). — Voir Seitz (E.).	C3-70	Crystal field and exchange effects in CeZn	C5-143
Levesque (B.), Caudron (R.) and Costa (P.). — Low		Mydlarz (T.). — Voir Staliński (B.)	C5-149
temperature specific heat of the Y-Gd and Sc-Gd	C5-266	Trigular (1.)	
spin glasses	CJ-200		
E.P.R. and susceptibility measurements in XAl <sub>2</sub>		N. C. O. L. (A) W. C. Channer (D.)	C5-188
(X = Sc, Y, La, Yb, Lu) compounds containing Gd.		Nait-Saada (A.). — Voir Gignoux (D.)	C5-262
Er, Dy and Nd impurities	C5-48	Nguyen (V. T.). — Voir Rainford (B. D.)	C5-202
Levy (P. M.). — Voir Belorizky (E.)	C5-56	Nickolaev (N. A.). — Voir Khvostantsev (L. G.)	C5-383
Levy (P. M.). — The evidence for anisotropic rare-earth-		Nielsen (M.). — Voir Kjems (J. K.)	C5-56
conduction electron interactions	C5-8	Niez (J. J.). — Voir Belorizky (E.)	C5-156
Li (F. H.). — Voir Wang (Y. J.)	C5-239	Niggli (A.). — Voir Schobinger-Papamantellos (P.)	C5-186
Liénard (A.). — Voir Beille (J.)	C5-256	Nowotny (H.). — Voir Gratz (E.)	CJ-100
Liénard (A.). — Voir Czjzek (G.)	C5-245		
Liénard (A.). — Voir Givord (D.)	C5-237		06.006
Lindau (I.). — Voir Allen (J. W.)	C5-346	Odin (J.). — Voir Berton (A.)	C5-326
	-16, 134	Olcese (G. L.). — Phenomenological behaviour of cerium	CC 224
Liu (L. F.). — Voir Zen (D. Z.)	C5-243	in binary and pseudobinary intermetallic compounds.	C5-334
Loewenhaupt (M.). — Voir Holland-Moritz (E.)	C5-359	Olcese (G. L.). — Voir Sereni (J. C.)	C5-337
Loewenhaupt (M.). — Voir Hoenig (H. E.)	C5-136	Ott (H. R.). — Voir Hulliger (F.)	C5-128
Loewenhaupt (M.). — Voir Steglich (F.)	C5-301	Oudet (X.). — Valency, ionicity and electronic configu-	CE 205
Loriers (C.) Voir Yacoubi (N.)	C5-356	ration in rare-earths	C5-395
Luft (H.). — Voir Baberschke (K.)	C5-51	Ousset (JC.), Creuset (G.) and Fert (A.). — High field	
Lundin (C. F.). — Hydrogen storage properties and cha-		magnetoresistance of silver containing rare-earth impurities.	C5-40
racteristics of rare earth compounds	C5-286	impurities	C 3-40
Lüthi (B.), Sommer (R.) and Morin (P.). — Structural			
instabilities in rare earth intermetallic compounds			00.000
with CsCl structure	C5-139	Palleau (J.). — Voir Berton (A.)	C5-326
		Palmer (S. B.), Jiles (D.) and Isci (C.). — Ultrasonic	CE 22
		study of magnetic structure of rare earth metals	C5-33
Machado da Silva (J. M.). — The specific heat of TbPd <sub>3</sub>		Parks (R. D.), Kupferberg (L. C.), Croft (M. C.), Sha-	
and ErPd <sub>3</sub> at low temperatures	C5-152	properties and energy parameters of the Anderson	
Mackintosh (A. R.). — Voir Bjerrum Møller (H.)	C5-28	lattice system, CeAl <sub>2</sub>	C5-323
Mande (C.). — Voir Sarode (P. R.)	C5-86	Parks (R. D.). — Voir Manheimer (M. A.)	C5-323
Mair (G.). — Voir Gratz (E.).	C5-186	Parlebas (J. C.). — Voir Camley (R.)	C5-372
Manheimer (M. A.) and Parks (R. D.). — Scaling studies	C16 200		
		Pelizzone (M.). — Voir Eischer (O)	C589
of the valence transition in cerium-based alloys	C5-388	Pellisson (J.). — Voir Fischer (Ø.)  Pellisson (J.). — Voir Baherschke (K.)	C5-89
Markova (I. A.). — Voir Alekseev (P. A.)	C5-366 C5-147	Pellisson (J.). — Voir Baberschke (K.)	C5-51
Markova (I. A.). — Voir Alekseev (P. A.)		Pellisson (J.). — Voir Baberschke (K.) Peña (O.). — Voir Berger (A.).	C5-51 C5-364
Markova (I. A.). — Voir Alekseev (P. A.)	C5-147	Pellisson (J.). — Voir Baberschke (K.) Peña (O.). — Voir Berger (A.). Peña (O.). — Voir Chouteau (G.)	C5-51 C5-364 C5-361
Markova (I. A.). — Voir Alekseev (P. A.)		Pellisson (J.). — Voir Baberschke (K.) Peña (O.). — Voir Berger (A.). Peña (O.). — Voir Chouteau (G.) Penney (T.). — Voir Berger (A.).	C5-51 C5-364
Markova (I. A.). — Voir Alekseev (P. A.)	C5-147	Pellisson (J.). — Voir Baberschke (K.) Peña (O.). — Voir Berger (A.). Peña (O.). — Voir Chouteau (G.) Penney (T.). — Voir Berger (A.). Penney (T.). — Voir Holtzberg (F.).	C5-51 C5-364 C5-361 C5-364
Markova (I. A.). — Voir Alekseev (P. A.)	C5-147 C5-191	Pellisson (J.). — Voir Baberschke (K.) Peña (O.). — Voir Berger (A.). Peña (O.). — Voir Chouteau (G.) Penney (T.). — Voir Berger (A.). Penney (T.). — Voir Holtzberg (F.). Penney (T.). — Voir Chouteau (G.)	C5-51 C5-364 C5-361 C5-364 C5-314
Markova (I. A.). — Voir Alekseev (P. A.).  Meyer (C.), Hartmann-Boutron (F.), Gros (Y.), Srour (B.)  and Capponi (J. J.). — Preparation and magnetic properties of YbFe <sub>2</sub> , NdFe <sub>2</sub> , PrFe <sub>2</sub> McEwen (K. A.), Vettier (C.) and Stirling (W. G.). —  Stress-induced magnetic ordering in single crystal praseodymium	C5-147	Pellisson (J.). — Voir Baberschke (K.) Peña (O.). — Voir Berger (A.). Peña (O.). — Voir Chouteau (G.) Penney (T.). — Voir Berger (A.). Penney (T.). — Voir Holtzberg (F.). Penney (T.). — Voir Chouteau (G.). Percheron-Guégan (A.). — Voir Achard (J. C.).	C5-51 C5-364 C5-361 C5-364 C5-314 C5-361
Markova (I. A.). — Voir Alekseev (P. A.).  Meyer (C.), Hartmann-Boutron (F.), Gros (Y.), Srour (B.) and Capponi (J. J.). — Preparation and magnetic properties of YbFe <sub>2</sub> , NdFe <sub>2</sub> , PrFe <sub>2</sub> McEwen (K. A.), Vettier (C.) and Stirling (W. G.). — Stress-induced magnetic ordering in single crystal praseodymium  McKenna (T. J.), Campbell (S. J.), Chaplin (D. H.), Wante-	C5-147 C5-191	Pellisson (J.). — Voir Baberschke (K.)  Peña (O.). — Voir Berger (A.).  Peña (O.). — Voir Chouteau (G.)  Penney (T.). — Voir Berger (A.).  Penney (T.). — Voir Holtzberg (F.).  Penney (T.). — Voir Chouteau (G.).  Percheron-Guégan (A.). — Voir Achard (J. C.).  Perrier de la Bâthie (R.). — Voir Hardman (K.).	C5-51 C5-364 C5-361 C5-364 C5-314 C5-361 C5-218
Markova (I. A.). — Voir Alekseev (P. A.).  Meyer (C.), Hartmann-Boutron (F.), Gros (Y.), Srour (B.) and Capponi (J. J.). — Preparation and magnetic properties of YbFe <sub>2</sub> , NdFe <sub>2</sub> , PrFe <sub>2</sub> McEwen (K. A.), Vettier (C.) and Stirling (W. G.). — Stress-induced magnetic ordering in single crystal praseodymium  McKenna (T. J.), Campbell (S. J.), Chaplin (D. H.), Wantenaar (G. H. J.) and Wilson (G. V. H.). — Critical	C5-147 C5-191 C5-26	Pellisson (J.). — Voir Baberschke (K.)  Peña (O.). — Voir Berger (A.).  Peña (O.). — Voir Chouteau (G.)  Penney (T.). — Voir Berger (A.).  Penney (T.). — Voir Holtzberg (F.).  Penney (T.). — Voir Chouteau (G.).  Percheron-Guégan (A.). — Voir Achard (J. C.).  Perrier de la Bâthie (R.). — Voir Hardman (K.).  Perrier de la Bâthie (R.). — Voir Gignoux (D.).	C5-51 C5-364 C5-361 C5-364 C5-314 C5-361 C5-218 C5-204
Markova (I. A.). — Voir Alekseev (P. A.).  Meyer (C.), Hartmann-Boutron (F.), Gros (Y.), Srour (B.) and Capponi (J. J.). — Preparation and magnetic properties of YbFe <sub>2</sub> , NdFe <sub>2</sub> , PrFe <sub>2</sub> McEwen (K. A.), Vettier (C.) and Stirling (W. G.). — Stress-induced magnetic ordering in single crystal praseodymium  McKenna (T. J.), Campbell (S. J.), Chaplin (D. H.), Wantenaar (G. H. J.) and Wilson (G. V. H.). — Critical magnetic studies of Tb by AC techniques	C5-147 C5-191 C5-26 C5-22	Pellisson (J.). — Voir Baberschke (K.)  Peña (O.). — Voir Berger (A.).  Peña (O.). — Voir Chouteau (G.)  Penney (T.). — Voir Berger (A.).  Penney (T.). — Voir Holtzberg (F.).  Penney (T.). — Voir Chouteau (G.).  Percheron-Guégan (A.). — Voir Achard (J. C.).  Perrier de la Bâthie (R.). — Voir Hardman (K.).  Perrier de la Bâthie (R.). — Voir Gignoux (D.).  Peyrard (J.). — Voir Berton (A.).	C5-51 C5-364 C5-361 C5-364 C5-314 C5-361 C5-218 C5-204 C5-188
Markova (I. A.). — Voir Alekseev (P. A.).  Meyer (C.), Hartmann-Boutron (F.), Gros (Y.), Srour (B.) and Capponi (J. J.). — Preparation and magnetic properties of YbFe <sub>2</sub> , NdFe <sub>2</sub> , PrFe <sub>2</sub> McEwen (K. A.), Vettier (C.) and Stirling (W. G.). — Stress-induced magnetic ordering in single crystal praseodymium  McKenna (T. J.), Campbell (S. J.), Chaplin (D. H.), Wante- naar (G. H. J.) and Wilson (G. V. H.). — Critical magnetic studies of Tb by AC techniques  McMasters (O. D.). — Voir Gschneidner, Jr. (K. A.).	C5-147 C5-191 C5-26	Pellisson (J.). — Voir Baberschke (K.)  Peña (O.). — Voir Berger (A.).  Peña (O.). — Voir Chouteau (G.)  Penney (T.). — Voir Berger (A.)  Penney (T.). — Voir Holtzberg (F.).  Penney (T.). — Voir Chouteau (G.)  Percheron-Guégan (A.). — Voir Achard (J. C.).  Perrier de la Bâthie (R.). — Voir Hardman (K.).  Perrier de la Bâthie (R.). — Voir Gignoux (D.)  Peyrard (J.). — Voir Berton (A.).  Pfeuty (P.). — Voir Julien (R.)  Pierre (J.). — Voir Hennion (B.)	C5-51 C5-364 C5-361 C5-364 C5-314 C5-361 C5-218 C5-204 C5-188 C5-326
Markova (I. A.). — Voir Alekseev (P. A.).  Meyer (C.), Hartmann-Boutron (F.), Gros (Y.), Srour (B.) and Capponi (J. J.). — Preparation and magnetic properties of YbFe <sub>2</sub> , NdFe <sub>2</sub> , PrFe <sub>2</sub> McEwen (K. A.), Vettier (C.) and Stirling (W. G.). — Stress-induced magnetic ordering in single crystal praseodymium  McKenna (T. J.), Campbell (S. J.), Chaplin (D. H.), Wante- naar (G. H. J.) and Wilson (G. V. H.). — Critical magnetic studies of Tb by AC techniques  McMasters (O. D.). — Voir Gschneidner, Jr. (K. A.).  McWhan (D. B.) and Vettier (C.). — Neutron scattering	C5-147 C5-191 C5-26 C5-22	Pellisson (J.). — Voir Baberschke (K.)  Peña (O.). — Voir Berger (A.).  Peña (O.). — Voir Chouteau (G.)  Penney (T.). — Voir Berger (A.)  Penney (T.). — Voir Holtzberg (F.).  Penney (T.). — Voir Chouteau (G.)  Percheron-Guégan (A.). — Voir Achard (J. C.).  Perrier de la Bâthie (R.). — Voir Hardman (K.).  Perrier de la Bâthie (R.). — Voir Gignoux (D.)  Peyrard (J.). — Voir Berton (A.).  Pfeuty (P.). — Voir Julien (R.)  Pierre (J.). — Voir Hennion (B.)  Pinatti (D. G.). — Voir Torikachvili (M. S.)	C5-51 C5-364 C5-361 C5-364 C5-314 C5-218 C5-204 C5-188 C5-326 C5-293 C5-141 C5-30
Markova (I. A.). — Voir Alekseev (P. A.).  Meyer (C.), Hartmann-Boutron (F.), Gros (Y.), Srour (B.) and Capponi (J. J.). — Preparation and magnetic properties of YbFe <sub>2</sub> , NdFe <sub>2</sub> , PrFe <sub>2</sub> .  McEwen (K. A.), Vettier (C.) and Stirling (W. G.). — Stress-induced magnetic ordering in single crystal praseodymium  McKenna (T. J.), Campbell (S. J.), Chaplin (D. H.), Wante- naar (G. H. J.) and Wilson (G. V. H.). — Critical magnetic studies of Tb by AC techniques  McMasters (O. D.). — Voir Gschneidner, Jr. (K. A.).  McWhan (D. B.) and Vettier (C.). — Neutron scattering studies at high pressure on rare earth intermetallic compounds	C5-147 C5-191 C5-26 C5-22	Pellisson (J.). — Voir Baberschke (K.)  Peña (O.). — Voir Berger (A.).  Peña (O.). — Voir Chouteau (G.)  Penney (T.). — Voir Berger (A.).  Penney (T.). — Voir Holtzberg (F.).  Penney (T.). — Voir Chouteau (G.).  Percheron-Guégan (A.). — Voir Achard (J. C.).  Perrier de la Bâthie (R.). — Voir Hardman (K.).  Perrier de la Bâthie (R.). — Voir Gignoux (D.).  Peyrard (J.). — Voir Berton (A.).  Pfeuty (P.). — Voir Julien (R.)  Pierre (J.). — Voir Hennion (B.)  Pinatti (D. G.). — Voir Torikachvili (M. S.)	C5-51 C5-364 C5-361 C5-364 C5-314 C5-218 C5-204 C5-188 C5-326 C5-293 C5-141 C5-30
Markova (I. A.). — Voir Alekseev (P. A.).  Meyer (C.), Hartmann-Boutron (F.), Gros (Y.), Srour (B.) and Capponi (J. J.). — Preparation and magnetic properties of YbFe <sub>2</sub> , NdFe <sub>2</sub> , PrFe <sub>2</sub> .  McEwen (K. A.), Vettier (C.) and Stirling (W. G.). — Stress-induced magnetic ordering in single crystal praseodymium  McKenna (T. J.), Campbell (S. J.), Chaplin (D. H.), Wante- naar (G. H. J.) and Wilson (G. V. H.). — Critical magnetic studies of Tb by AC techniques.  McMasters (O. D.). — Voir Gschneidner, Jr. (K. A.).  McWhan (D. B.) and Vettier (C.). — Neutron scattering studies at high pressure on rare earth intermetallic compounds.  Meeks (S. W.). — Voir Timme (R. W.)	C5-147 C5-191 C5-26 C5-22 C5-114	Pellisson (J.). — Voir Baberschke (K.)  Peña (O.). — Voir Berger (A.).  Peña (O.). — Voir Chouteau (G.)  Penney (T.). — Voir Berger (A.).  Penney (T.). — Voir Holtzberg (F.).  Penney (T.). — Voir Chouteau (G.).  Percheron-Guégan (A.). — Voir Achard (J. C.).  Perrier de la Bâthie (R.). — Voir Hardman (K.).  Perrier de la Bâthie (R.). — Voir Gignoux (D.).  Peyrard (J.). — Voir Berton (A.).  Pfeuty (P.). — Voir Julien (R.)  Pierre (J.). — Voir Hennion (B.).  Pinatti (D. G.). — Voir Torikachvili (M. S.).  Pinto (R. P.). — Voir Sousa (J. B.).  Plateau (A.) and Karlsson (S. E.). — Position of the 4f	C5-51 C5-364 C5-361 C5-364 C5-314 C5-218 C5-204 C5-188 C5-326 C5-293 C5-141 C5-30
Markova (I. A.). — Voir Alekseev (P. A.).  Meyer (C.), Hartmann-Boutron (F.), Gros (Y.), Srour (B.) and Capponi (J. J.). — Preparation and magnetic properties of YbFe2, NdFe2, PrFe2  McEwen (K. A.), Vettier (C.) and Stirling (W. G.). — Stress-induced magnetic ordering in single crystal praseodymium  McKenna (T. J.), Campbell (S. J.), Chaplin (D. H.), Wante- naar (G. H. J.) and Wilson (G. V. H.). — Critical magnetic studies of Tb by AC techniques  McMasters (O. D.). — Voir Gschneidner, Jr. (K. A.).  McWhan (D. B.) and Vettier (C.). — Neutron scattering studies at high pressure on rare earth intermetallic compounds  Meeks (S. W.). — Voir Timme (R. W.)  Merlijn (G.). — Voir Bijvoet (J.)	C5-147 C5-191 C5-26 C5-22 C5-114 C5-107	Pellisson (J.). — Voir Baberschke (K.) Peña (O.). — Voir Berger (A.). Peña (O.). — Voir Chouteau (G.) Penney (T.). — Voir Berger (A.). Penney (T.). — Voir Holtzberg (F.). Penney (T.). — Voir Chouteau (G.). Percheron-Guégan (A.). — Voir Achard (J. C.). Perrier de la Bâthie (R.). — Voir Hardman (K.). Perrier de la Bâthie (R.). — Voir Gignoux (D.). Peyrard (J.). — Voir Berton (A.). Pfeuty (P.). — Voir Julien (R.). Pierre (J.). — Voir Hennion (B.). Pinatti (D. G.). — Voir Torikachvili (M. S.). Pinto (R. P.). — Voir Sousa (J. B.). — Collateau (A.) and Karlsson (S. E.). — Position of the 4f level in γ-cerium.	C5-51 C5-364 C5-361 C5-364 C5-314 C5-218 C5-204 C5-188 C5-326 C5-293 C5-141 C5-30
Markova (I. A.). — Voir Alekseev (P. A.).  Meyer (C.), Hartmann-Boutron (F.), Gros (Y.), Srour (B.) and Capponi (J. J.). — Preparation and magnetic properties of YbFe2, NdFe2, PrFe2  McEwen (K. A.), Vettier (C.) and Stirling (W. G.). — Stress-induced magnetic ordering in single crystal praseodymium  McKenna (T. J.), Campbell (S. J.), Chaplin (D. H.), Wante- naar (G. H. J.) and Wilson (G. V. H.). — Critical magnetic studies of Tb by AC techniques  McMasters (O. D.). — Voir Gschneidner, Jr. (K. A.).  McWhan (D. B.) and Vettier (C.). — Neutron scattering studies at high pressure on rare earth intermetallic compounds  Meeks (S. W.). — Voir Timme (R. W.)  Merlijn (G.). — Voir Bijvoet (J.).  Mignot (J. M.). — Voir Berger (A.)	C5-147 C5-191 C5-26 C5-22 C5-114 C5-107 C5-280	Pellisson (J.). — Voir Baberschke (K.) Peña (O.). — Voir Berger (A.). Peña (O.). — Voir Chouteau (G.) Penney (T.). — Voir Berger (A.). Penney (T.). — Voir Holtzberg (F.). Penney (T.). — Voir Chouteau (G.). Percheron-Guégan (A.). — Voir Achard (J. C.). Perrier de la Bâthie (R.). — Voir Hardman (K.). Perrier de la Bâthie (R.). — Voir Gignoux (D.). Peyrard (J.). — Voir Berton (A.). Pfeuty (P.). — Voir Julien (R.). Pierre (J.). — Voir Hennion (B.). Pinatti (D. G.). — Voir Torikachvili (M. S.). Pinto (R. P.). — Voir Sousa (J. B.). — Collateau (A.) and Karlsson (S. E.). — Position of the 4f level in γ-cerium. Poirrier (P.). — The Industry of metallic rare earths (R. E.).	C5-51 C5-364 C5-361 C5-364 C5-314 C5-361 C5-218 C5-204 C5-188 C5-326 C5-293 C5-141 C5-30
Markova (I. A.). — Voir Alekseev (P. A.).  Meyer (C.), Hartmann-Boutron (F.), Gros (Y.), Srour (B.) and Capponi (J. J.). — Preparation and magnetic properties of YbFe2, NdFe2, PrFe2  McEwen (K. A.), Vettier (C.) and Stirling (W. G.). — Stress-induced magnetic ordering in single crystal praseodymium  McKenna (T. J.), Campbell (S. J.), Chaplin (D. H.), Wante- naar (G. H. J.) and Wilson (G. V. H.). — Critical magnetic studies of Tb by AC techniques  McMasters (O. D.). — Voir Gschneidner, Jr. (K. A.).  McWhan (D. B.) and Vettier (C.). — Neutron scattering studies at high pressure on rare earth intermetallic compounds  Meeks (S. W.). — Voir Timme (R. W.)  Merlijn (G.). — Voir Bijvoet (J.)  Mignot (J. M.). — Voir Berger (A.)  Mills (D. L.). — Voir Camley (R.)	C5-147 C5-191 C5-26 C5-22 C5-114 C5-107 C5-280 C5-38	Pellisson (J.). — Voir Baberschke (K.) Peña (O.). — Voir Berger (A.). Peña (O.). — Voir Chouteau (G.) Penney (T.). — Voir Berger (A.). Penney (T.). — Voir Holtzberg (F.). Penney (T.). — Voir Chouteau (G.). Percheron-Guégan (A.). — Voir Achard (J. C.). Perrier de la Bâthie (R.). — Voir Hardman (K.). Perrier de la Bâthie (R.). — Voir Gignoux (D.). Peyrard (J.). — Voir Berton (A.). Pfeuty (P.). — Voir Julien (R.) Pierre (J.). — Voir Hennion (B.) Pinatti (D. G.). — Voir Torikachvili (M. S.) Pinto (R. P.). — Voir Sousa (J. B.). — Collateau (A.) and Karlsson (S. E.). — Position of the 4f level in γ-cerium Poirrier (P.). — The Industry of metallic rare earths (R. E.). Poon (S. J.). — Voir Durand (J.)	C5-51 C5-364 C5-361 C5-364 C5-314 C5-361 C5-204 C5-188 C5-326 C5-293 C5-141 C5-30 C5-342, 44 C5-385
Markova (I. A.). — Voir Alekseev (P. A.).  Meyer (C.), Hartmann-Boutron (F.), Gros (Y.), Srour (B.) and Capponi (J. J.). — Preparation and magnetic properties of YbFe <sub>2</sub> , NdFe <sub>2</sub> , PrFe <sub>2</sub> McEwen (K. A.), Vettier (C.) and Stirling (W. G.). — Stress-induced magnetic ordering in single crystal praseodymium  McKenna (T. J.), Campbell (S. J.), Chaplin (D. H.), Wante- naar (G. H. J.) and Wilson (G. V. H.). — Critical magnetic studies of Tb by AC techniques  McMasters (O. D.). — Voir Gschneidner, Jr. (K. A.).  McWhan (D. B.) and Vettier (C.). — Neutron scattering studies at high pressure on rare earth intermetallic compounds  Meeks (S. W.). — Voir Timme (R. W.)  Merlijn (G.). — Voir Bijvoet (J.).  Mignot (J. M.). — Voir Berger (A.)  Mills (D. L.). — Voir Camley (R.)  Mintz (M. H.). — Voir Dariel (M. P.).	C5-147 C5-191 C5-26 C5-22 C5-114 C5-107 C5-280 C5-38 C5-364	Pellisson (J.). — Voir Baberschke (K.) Peña (O.). — Voir Berger (A.). Peña (O.). — Voir Chouteau (G.) Penney (T.). — Voir Berger (A.). Penney (T.). — Voir Holtzberg (F.). Penney (T.). — Voir Chouteau (G.). Percheron-Guégan (A.). — Voir Achard (J. C.). Perrier de la Bâthie (R.). — Voir Hardman (K.). Perrier de la Bâthie (R.). — Voir Gignoux (D.). Peyrard (J.). — Voir Berton (A.). Pfeuty (P.). — Voir Julien (R.). Pierre (J.). — Voir Hennion (B.). Pinatti (D. G.). — Voir Torikachvili (M. S.). Pinto (R. P.). — Voir Sousa (J. B.). Plateau (A.) and Karlsson (S. E.). — Position of the 4f level in γ-cerium. Poirier (P.). — The Industry of metallic rare earths (R.E.). Poon (S. J.). — Voir Durand (J.) Probst (C.) and Wittig (J.). — Pressure-induced electronic	C5-51 C5-364 C5-361 C5-364 C5-314 C5-218 C5-204 C5-188 C5-326 C5-293 C5-293 C5-242, 44 C5-385 C5-269 C5-231
Markova (I. A.). — Voir Alekseev (P. A.).  Meyer (C.), Hartmann-Boutron (F.), Gros (Y.), Srour (B.) and Capponi (J. J.). — Preparation and magnetic properties of YbFe <sub>2</sub> , NdFe <sub>2</sub> , PrFe <sub>2</sub> McEwen (K. A.), Vettier (C.) and Stirling (W. G.). — Stress-induced magnetic ordering in single crystal praseodymium  McKenna (T. J.), Campbell (S. J.), Chaplin (D. H.), Wante- naar (G. H. J.) and Wilson (G. V. H.). — Critical magnetic studies of Tb by AC techniques  McMasters (O. D.). — Voir Gschneidner, Jr. (K. A.).  McWhan (D. B.) and Vettier (C.). — Neutron scattering studies at high pressure on rare earth intermetallic compounds  Meeks (S. W.). — Voir Timme (R. W.)  Merlijn (G.). — Voir Bijvoet (J.).  Mignot (J. M.). — Voir Berger (A.)  Mills (D. L.). — Voir Camley (R.)  Mintz (M. H.). — Voir Dariel (M. P.).  Mohanty (G. P.). — Voir Jerome (L. E.)	C5-147 C5-191 C5-26 C5-22 C5-114 C5-107 C5-280 C5-38 C5-364 C5-364 C5-372 C5-213 C5-381	Pellisson (J.). — Voir Baberschke (K.)  Peña (O.). — Voir Berger (A.).  Peña (O.). — Voir Chouteau (G.)  Penney (T.). — Voir Berger (A.).  Penney (T.). — Voir Holtzberg (F.).  Penney (T.). — Voir Chouteau (G.).  Percheron-Guégan (A.). — Voir Achard (J. C.).  Perrier de la Bâthie (R.). — Voir Hardman (K.).  Perrier de la Bâthie (R.). — Voir Gignoux (D.).  Peyrard (J.). — Voir Berton (A.).  Pfeuty (P.). — Voir Julien (R.)  Pierre (J.). — Voir Hennion (B.).  Pinatti (D. G.). — Voir Torikachvili (M. S.).  Pinto (R. P.). — Voir Sousa (J. B.).  Plateau (A.) and Karlsson (S. E.). — Position of the 4f level in \(\gamma\)-cerium.  Poirier (P.). — The Industry of metallic rare earths (R.E.).  Poon (S. J.). — Voir Durand (J.)  Probst (C.) and Wittig (J.). — Pressure-induced electronic transition in CeAl2.	C5-51 C5-364 C5-361 C5-364 C5-314 C5-218 C5-204 C5-188 C5-326 C5-293 C5-293 C5-42, 44 C5-385 C5-269 C5-231 C5-330
Markova (I. A.). — Voir Alekseev (P. A.).  Meyer (C.), Hartmann-Boutron (F.), Gros (Y.), Srour (B.) and Capponi (J. J.). — Preparation and magnetic properties of YbFe2, NdFe2, PrFe2  McEwen (K. A.), Vettier (C.) and Stirling (W. G.). — Stress-induced magnetic ordering in single crystal praseodymium  McKenna (T. J.), Campbell (S. J.), Chaplin (D. H.), Wante- naar (G. H. J.) and Wilson (G. V. H.). — Critical magnetic studies of Tb by AC techniques  McMasters (O. D.). — Voir Gschneidner, Jr. (K. A.).  McWhan (D. B.) and Vettier (C.). — Neutron scattering studies at high pressure on rare earth intermetallic compounds  Meeks (S. W.). — Voir Timme (R. W.)  Merlijn (G.). — Voir Bijvoet (J.).  Mignot (J. M.). — Voir Berger (A.)  Mills (D. L.). — Voir Camley (R.)  Mintz (M. H.). — Voir Dariel (M. P.).  Mohanty (G. P.). — Voir Jerome (L. E.)  Moreira (J. M.). — Voir Sousa (J. B.)	C5-147 C5-191 C5-26 C5-22 C5-114 C5-107 C5-280 C5-38 C5-364 C5-372 C5-213 C5-381 5-42, 44	Pellisson (J.). — Voir Baberschke (K.) Peña (O.). — Voir Berger (A.). Peña (O.). — Voir Chouteau (G.) Penney (T.). — Voir Berger (A.). Penney (T.). — Voir Holtzberg (F.). Penney (T.). — Voir Chouteau (G.). Percheron-Guégan (A.). — Voir Achard (J. C.). Perrier de la Bâthie (R.). — Voir Hardman (K.). Perrier de la Bâthie (R.). — Voir Gignoux (D.). Peyrard (J.). — Voir Berton (A.). Pfeuty (P.). — Voir Julien (R.). Pierre (J.). — Voir Hennion (B.). Pinatti (D. G.). — Voir Torikachvili (M. S.). Pinto (R. P.). — Voir Sousa (J. B.). Plateau (A.) and Karlsson (S. E.). — Position of the 4f level in γ-cerium. Poirier (P.). — The Industry of metallic rare earths (R.E.). Poon (S. J.). — Voir Durand (J.) Probst (C.) and Wittig (J.). — Pressure-induced electronic	C5-51 C5-364 C5-361 C5-364 C5-314 C5-218 C5-204 C5-188 C5-326 C5-293 C5-293 C5-242, 44 C5-385 C5-269 C5-231
Markova (I. A.). — Voir Alekseev (P. A.).  Meyer (C.), Hartmann-Boutron (F.), Gros (Y.), Srour (B.) and Capponi (J. J.). — Preparation and magnetic properties of YbFe2, NdFe2, PrFe2  McEwen (K. A.), Vettier (C.) and Stirling (W. G.). — Stress-induced magnetic ordering in single crystal praseodymium  McKenna (T. J.), Campbell (S. J.), Chaplin (D. H.), Wante- naar (G. H. J.) and Wilson (G. V. H.). — Critical magnetic studies of Tb by AC techniques  McMasters (O. D.). — Voir Gschneidner, Jr. (K. A.).  McWhan (D. B.) and Vettier (C.). — Neutron scattering studies at high pressure on rare earth intermetallic compounds  Meeks (S. W.). — Voir Timme (R. W.)  Merlijn (G.). — Voir Bijvoet (J.).  Mignot (J. M.). — Voir Berger (A.)  Mills (D. L.). — Voir Camley (R.)  Mintz (M. H.). — Voir Dariel (M. P.).  Mohanty (G. P.). — Voir Jerome (L. E.)  Moreira (J. M.). — Voir Sousa (J. B.). — C  Moreva (N. I.). — Voir Vedernikov (M. V.).	C5-147 C5-191 C5-26 C5-22 C5-114 C5-107 C5-280 C5-38 C5-364 C5-372 C5-213 C5-381 5-42, 44 C5-46	Pellisson (J.). — Voir Baberschke (K.)  Peña (O.). — Voir Berger (A.).  Peña (O.). — Voir Chouteau (G.)  Penney (T.). — Voir Berger (A.).  Penney (T.). — Voir Holtzberg (F.).  Penney (T.). — Voir Chouteau (G.).  Percheron-Guégan (A.). — Voir Achard (J. C.).  Perrier de la Bâthie (R.). — Voir Hardman (K.).  Perrier de la Bâthie (R.). — Voir Gignoux (D.).  Peyrard (J.). — Voir Berton (A.).  Pfeuty (P.). — Voir Julien (R.)  Pierre (J.). — Voir Hennion (B.).  Pinatti (D. G.). — Voir Torikachvili (M. S.).  Pinto (R. P.). — Voir Sousa (J. B.).  Plateau (A.) and Karlsson (S. E.). — Position of the 4f level in \(\gamma\)-cerium.  Poirier (P.). — The Industry of metallic rare earths (R.E.).  Poon (S. J.). — Voir Durand (J.)  Probst (C.) and Wittig (J.). — Pressure-induced electronic transition in CeAl2.	C5-51 C5-364 C5-361 C5-364 C5-314 C5-218 C5-204 C5-188 C5-326 C5-293 C5-293 C5-42, 44 C5-385 C5-269 C5-231 C5-330
Markova (I. A.). — Voir Alekseev (P. A.).  Meyer (C.), Hartmann-Boutron (F.), Gros (Y.), Srour (B.) and Capponi (J. J.). — Preparation and magnetic properties of YbFe2, NdFe2, PrFe2  McEwen (K. A.), Vettier (C.) and Stirling (W. G.). — Stress-induced magnetic ordering in single crystal praseodymium  McKenna (T. J.), Campbell (S. J.), Chaplin (D. H.), Wante- naar (G. H. J.) and Wilson (G. V. H.). — Critical magnetic studies of Tb by AC techniques  McMasters (O. D.). — Voir Gschneidner, Jr. (K. A.).  McWhan (D. B.) and Vettier (C.). — Neutron scattering studies at high pressure on rare earth intermetallic compounds  Meeks (S. W.). — Voir Timme (R. W.)  Merlijn (G.). — Voir Bijvoet (J.).  Mignot (J. M.). — Voir Berger (A.)  Mills (D. L.). — Voir Camley (R.)  Mintz (M. H.). — Voir Dariel (M. P.).  Mohanty (G. P.). — Voir Jerome (L. E.)  Moreira (J. M.). — Voir Sousa (J. B.)  C Moreva (N. I.). — Voir Vedernikov (M. V.)  Morin (P.). — Voir Sousa (J. B.)	C5-147 C5-191 C5-26 C5-22 C5-114 C5-107 C5-280 C5-38 C5-364 C5-372 C5-213 C5-381 5-42, 44	Pellisson (J.). — Voir Baberschke (K.) Peña (O.). — Voir Berger (A.). Peña (O.). — Voir Chouteau (G.) Penney (T.). — Voir Berger (A.). Penney (T.). — Voir Holtzberg (F.). Penney (T.). — Voir Chouteau (G.) Percheron-Guégan (A.). — Voir Achard (J. C.). Perrier de la Bâthie (R.). — Voir Hardman (K.). Perrier de la Bâthie (R.). — Voir Gignoux (D.). Peyrard (J.). — Voir Berton (A.). Pfeuty (P.). — Voir Julien (R.). Pierre (J.). — Voir Hennion (B.). Pinatti (D. G.). — Voir Torikachvili (M. S.). Pinto (R. P.). — Voir Sousa (J. B.). — Collateau (A.) and Karlsson (S. E.). — Position of the 4f level in γ-cerium. Poirier (P.). — The Industry of metallic rare earths (R.E.). Poon (S. J.). — Voir Durand (J.) Probst (C.) and Wittig (J.). — Pressure-induced electronic transition in CeAl <sub>2</sub> . Ptasiewicz-Bak (H.). — Voir Murasik (A.)	C5-51 C5-364 C5-361 C5-364 C5-314 C5-361 C5-218 C5-204 C5-188 C5-293 C5-141 C5-30 C5-42, 44 C5-385 C5-269 C5-231 C5-330 C5-143
Markova (I. A.). — Voir Alekseev (P. A.).  Meyer (C.), Hartmann-Boutron (F.), Gros (Y.), Srour (B.) and Capponi (J. J.). — Preparation and magnetic properties of YbFe2, NdFe2, PrFe2  McEwen (K. A.), Vettier (C.) and Stirling (W. G.). — Stress-induced magnetic ordering in single crystal praseodymium  McKenna (T. J.), Campbell (S. J.), Chaplin (D. H.), Wante- naar (G. H. J.) and Wilson (G. V. H.). — Critical magnetic studies of Tb by AC techniques  McMasters (O. D.). — Voir Gschneidner, Jr. (K. A.).  McWhan (D. B.) and Vettier (C.). — Neutron scattering studies at high pressure on rare earth intermetallic compounds  Meeks (S. W.). — Voir Timme (R. W.)  Merlijn (G.). — Voir Bijvoet (J.).  Mills (D. L.). — Voir Berger (A.)  Mills (D. L.). — Voir Dariel (M. P.).  Mohanty (G. P.). — Voir Jerome (L. E.)  Moreva (N. I.). — Voir Sousa (J. B.)  Moreva (N. I.). — Voir Sousa (J. B.)  Morin (P.). — Voir Sousa (J. B.)  Morin (P.). — Voir Sousa (J. B.)	C5-147 C5-191 C5-26 C5-22 C5-114 C5-107 C5-280 C5-38 C5-364 C5-372 C5-213 C5-381 5-42, 44 C5-46	Pellisson (J.). — Voir Baberschke (K.)  Peña (O.). — Voir Berger (A.).  Peña (O.). — Voir Chouteau (G.)  Penney (T.). — Voir Berger (A.).  Penney (T.). — Voir Holtzberg (F.).  Penney (T.). — Voir Chouteau (G.).  Percheron-Guégan (A.). — Voir Achard (J. C.).  Perrier de la Bâthie (R.). — Voir Hardman (K.).  Perrier de la Bâthie (R.). — Voir Gignoux (D.).  Peyrard (J.). — Voir Berton (A.).  Pfeuty (P.). — Voir Julien (R.)  Pierre (J.). — Voir Hennion (B.).  Pinatti (D. G.). — Voir Torikachvili (M. S.).  Pinto (R. P.). — Voir Sousa (J. B.).  Plateau (A.) and Karlsson (S. E.). — Position of the 4f level in \(\gamma\)-cerium.  Poirier (P.). — The Industry of metallic rare earths (R.E.).  Poon (S. J.). — Voir Durand (J.)  Probst (C.) and Wittig (J.). — Pressure-induced electronic transition in CeAl2.	C5-51 C5-364 C5-361 C5-364 C5-314 C5-218 C5-204 C5-188 C5-326 C5-293 C5-293 C5-42, 44 C5-385 C5-269 C5-231 C5-330
Markova (I. A.). — Voir Alekseev (P. A.).  Meyer (C.), Hartmann-Boutron (F.), Gros (Y.), Srour (B.) and Capponi (J. J.). — Preparation and magnetic properties of YbFe2, NdFe2, PrFe2  McEwen (K. A.), Vettier (C.) and Stirling (W. G.). — Stress-induced magnetic ordering in single crystal praseodymium  McKenna (T. J.), Campbell (S. J.), Chaplin (D. H.), Wante- naar (G. H. J.) and Wilson (G. V. H.). — Critical magnetic studies of Tb by AC techniques  McMasters (O. D.). — Voir Gschneidner, Jr. (K. A.).  McWhan (D. B.) and Vettier (C.). — Neutron scattering studies at high pressure on rare earth intermetallic compounds  Meeks (S. W.). — Voir Timme (R. W.)  Merlijn (G.). — Voir Bijvoet (J.).  Mignot (J. M.). — Voir Berger (A.)  Mills (D. L.). — Voir Camley (R.)  Mintz (M. H.). — Voir Dariel (M. P.).  Moreira (J. M.). — Voir Jerome (L. E.)  Moreira (J. M.). — Voir Sousa (J. B.)  Morin (P.). — Voir Sousa (J. B.)  Morin (P.), Rouchy (J.), Schmitt (D.) and Du Trémolet de Lacheisserie (E.). — Quadrupole interactions in	C5-147 C5-191 C5-26 C5-22 C5-114 C5-107 C5-280 C5-38 C5-364 C5-372 C5-213 C5-381 5-42, 44 C5-46 C5-42	Pellisson (J.). — Voir Baberschke (K.) Peña (O.). — Voir Berger (A.). Peña (O.). — Voir Chouteau (G.) Penney (T.). — Voir Berger (A.). Penney (T.). — Voir Holtzberg (F.). Penney (T.). — Voir Chouteau (G.). Percheron-Guégan (A.). — Voir Achard (J. C.). Perrier de la Bâthie (R.). — Voir Hardman (K.). Perrier de la Bâthie (R.). — Voir Gignoux (D.). Peyrard (J.). — Voir Berton (A.). Pfeuty (P.). — Voir Julien (R.). Pierre (J.). — Voir Hennion (B.). Pinatti (D. G.). — Voir Torikachvili (M. S.). Pinto (R. P.). — Voir Sousa (J. B.). Plateau (A.) and Karlsson (S. E.). — Position of the 4f level in γ-cerium. Poirier (P.). — The Industry of metallic rare earths (R.E.). Poon (S. J.). — Voir Durand (J.). Probst (C.) and Wittig (J.). — Pressure-induced electronic transition in CeAl <sub>2</sub> .  Ptasiewicz-Bak (H.). — Voir Murasik (A.)	C5-51 C5-364 C5-361 C5-364 C5-314 C5-361 C5-218 C5-204 C5-188 C5-293 C5-141 C5-30 C5-42, 44 C5-385 C5-269 C5-231 C5-330 C5-143
Markova (I. A.). — Voir Alekseev (P. A.).  Meyer (C.), Hartmann-Boutron (F.), Gros (Y.), Srour (B.) and Capponi (J. J.). — Preparation and magnetic properties of YbFe2, NdFe2, PrFe2  McEwen (K. A.), Vettier (C.) and Stirling (W. G.). — Stress-induced magnetic ordering in single crystal praseodymium  McKenna (T. J.), Campbell (S. J.), Chaplin (D. H.), Wante- naar (G. H. J.) and Wilson (G. V. H.). — Critical magnetic studies of Tb by AC techniques  McMasters (O. D.). — Voir Gschneidner, Jr. (K. A.).  McWhan (D. B.) and Vettier (C.). — Neutron scattering studies at high pressure on rare earth intermetallic compounds  Meeks (S. W.). — Voir Timme (R. W.)  Merlijn (G.). — Voir Bijvoet (J.).  Mills (D. L.). — Voir Berger (A.)  Mills (D. L.). — Voir Dariel (M. P.).  Mohanty (G. P.). — Voir Jerome (L. E.)  Moreva (N. I.). — Voir Sousa (J. B.)  Moreva (N. I.). — Voir Sousa (J. B.)  Morin (P.). — Voir Sousa (J. B.)  Morin (P.). — Voir Sousa (J. B.)	C5-147 C5-191 C5-26 C5-22 C5-114 C5-107 C5-280 C5-38 C5-364 C5-372 C5-213 C5-381 5-42, 44 C5-46	Pellisson (J.). — Voir Baberschke (K.) Peña (O.). — Voir Berger (A.). Peña (O.). — Voir Chouteau (G.) Penney (T.). — Voir Berger (A.). Penney (T.). — Voir Holtzberg (F.). Penney (T.). — Voir Chouteau (G.) Percheron-Guégan (A.). — Voir Achard (J. C.). Perrier de la Bâthie (R.). — Voir Hardman (K.). Perrier de la Bâthie (R.). — Voir Gignoux (D.). Peyrard (J.). — Voir Berton (A.). Pfeuty (P.). — Voir Julien (R.). Pierre (J.). — Voir Hennion (B.). Pinatti (D. G.). — Voir Torikachvili (M. S.). Pinto (R. P.). — Voir Sousa (J. B.). — Collateau (A.) and Karlsson (S. E.). — Position of the 4f level in γ-cerium. Poirier (P.). — The Industry of metallic rare earths (R.E.). Poon (S. J.). — Voir Durand (J.) Probst (C.) and Wittig (J.). — Pressure-induced electronic transition in CeAl <sub>2</sub> . Ptasiewicz-Bak (H.). — Voir Murasik (A.)	C5-51 C5-364 C5-361 C5-364 C5-314 C5-361 C5-218 C5-204 C5-188 C5-293 C5-141 C5-30 C5-141 C5-30 C5-269 C5-231 C5-330 C5-143

Ramesh (T. G.) and Shubha (V.). — Resistivity and		Sousa (J. B.), Amado (M. M.), Pinto (R. P.), Moreira (J.	
thermo-electric behaviour of some mixed-valence		M.), Braga (M. E.), Hukin (H. D.) and Garton (G.).	
systems at high pressures and high temperatures	C5-344	Critical behaviour of the electrical resistivity and	
Ramesh (T. G.). — Voir Holzapfel (W. B.)	C5-390	thermopower in ferromagnetic Tb-Gd alloys	C5-44
Rebouillat (J. P.). — Voir Beille (J.).  Rebouillat (J. P.). — Voir Givord (D.)	C5-256	Spanjaard (D.). — Voir Fert (A.).	C5-248
Rebouillat (J. R.). Voir Czjzek (G.)	C5-237 C5-245	Spronken (G.) and Avignon (M.). — Phase transition in	
Rhyne (J. J.), Fish (G. E.), Sankar (S. G.) and Wallace	C3-243	the Falicov-Kimball model.  Srour (B.). — Voir Meyer (C.).	C5-380 C5-191
(W. E.). — Magnetic properties of laves-phase rare-		Staliński (B.), Czopnik (A.), Iliew (N.) and Mydlarz (T.).	C3-191
earth hydrides	C5-209	Magnetization of NdIn <sub>3</sub> , GdIn <sub>3</sub> and DyIn <sub>3</sub> single	
Ribault (M.), Benoit (A.), Flouquet (J.) and Chouteau (G.).		crystals	C5-149
— The low temperature magnetic properties of		Staliński (B.). — Voir Kletowski (Z.)	C5-145
ytterbium in f.c.c. phase	C5-391	Steglich (F.), Bredl (C. D.), Loewenhaupt (M.) and	
Ribault (M.). — Voir Benoit (A.).	C5-328	Schotte (K. D.). — Antiferromagnetic ordering bet-	
Rizzuto (C.). — Voir Sereni (J. C.)	C5-337	ween unstable 4f shells in CeAl <sub>2</sub>	C5-301
Rossat-Mignod (J.). — Magnetic structures of rare earth	05.05	Steglich (F.). — Voir Franz (W.)	C5-342
intermetallics	C5-95 C5-130	Steiner (W.). — Voir Hrubec (J.) Steiner (W.). — Voir Gratz (E.).	C5-198 C5-186
Rossignol (M. F.). — Voir Barbara (B.)		Stirling (W. G.). — Voir McEwen (K. A.)	C5-26
Rouchy (J.). — Voir Morin (P.)	C5-101	Strange (P.). — Voir Fairbairn (W. M.)	C5-20
	00 101	Subbaswamy (K. R.). — Voir Camley (R.)	C5-372
		Sung (S. H.). — Voir Ferrer (R.)	C5-221
		Syassen (K.). — Voir Holzapfel (W. B.)	C5-390
Sadikov (I. P.). — Voir Alekseev (P. A.)	C5-147	Szytuła (A.). — Voir Siek (S.)	C5-162
Sadoc (J. F.). — Voir Givord (D.)	C5-237		
Sakurai (J.). — Voir Yamamoto (T.)	C5-120	Taken (C. M. A.) Vain Casharithan In (V. A.)	05.114
Sankar (S. G.). — Voir Rhyne (J. J.)	C5-209	Taher (S. M. A.). — Voir Gschneidner, Jr. (K. A.).  Takegahara (K.). — Voir Kasuya (T.).	C5-114 C5-308
Sarkissian (B. V. B.) and Coles (B. R.). — Onset of		Takeshita (T.). — Voir Gschneidner, Jr. (K. A.)	C5-308
magnetic order in solid solutions of rare-earths in	C5-264	Takhar (P. S.). — The process of multiple scattering in	05 11 1
praseodymium	C3-204	rare earths	C5-84
absorption spectra and electronic structure of		Tanaka (T.). — Voir Kasuya (T.)	C5-308
Haucke-phase-type intermetallic compounds	C5-86	Tanner (B. K.). — Voir Clark (G. F.)	C5-183
Sassik (H.). — Voir Gratz (E.)	C5-186	Tarascon (J. M.). — Voir Kasaya (M.)	C5-393
Savage (H. T.). — Voir Clark (G. F.)	C5-183	Tasset (F.). — Voir Achard (J. C.)	C5-218
Savitskii (E. M.). — Voir Alekseev (P. A.)	C5-147	Tasset (F.). — Voir Boucherle (J. X.)	C5-180
Schirber (J. E.) and Weaver (H. T.). — Effect of pressure		Tchou (T. S.). — Voir Yang (Y. T.)  Terekhova (V. F.). — Voir Alekseev (P. A.).	C5-177 C5-147
on the crystal field splitting in rare earth pnictides	05.104	Thalmeier (P.). — Voir Becker (K. W.)	C5-35
and chalcogenides.	C5-124 C5-245	Timme (R. W.) and Meeks (S. W.). — Magnetostrictive	00 00
Schmidt (H.). — Voir Czjzek (G.) Schmidt (H.). — Voir Götz (F.)	C5-243	underwater sound transducers	C5-280
Schmitt (D.). — Voir Morin (P.)	C5-101	Torikachvili (M. S.), Gama (S.), Kale (B. M.),	
Schobinger-Papamantellos (P.) and Niggli (A.). — The		Pinatti (D. G.) and Donoho (P. L.). — Magnetoelastic	
two magnetic structures of Ho <sub>5</sub> Ge <sub>4</sub> . A neutron		contribution to the elastic constants of terbium,	CE 20
diffraction study	C5-156	dysprosium and erbium	C5-30 C5-17
Schotte (K. D.). — Voir Steglich (F.)	C5-301	Touborg (P.). — Voir De Jong (M.)	C5-326
Schweizer (J.). — Voir Barbara (B.)	C5-321	Tournier (R.). — Voir Holtzberg (F.)	C5-314
Schweizer (J.). — Voir Boucherle (J. X.)	C5-180	Tournier (R.). — Voir Berger (A.)	C5-364
Seitz (E.), Lengeler (B.), Kamm (G.) and Kopp (J.). —  De Haas-van Alphen effect in LaAl <sub>2</sub>	C5-76	Tournier (R.). — Voir Chouteau (G.)	C5-361
Sénateur (J. P.). — Voir Morillo (J.)	C5-348	Trebbia (P.). — Voir Gasgnier (M.)	C5-253
Sereni (J. C.), Olcese (G. L.) and Rizzuto (C.). — Inter-		Du Trémolet de Lacheisserie (E.). — Voir Morin (P.)	C5-101
configurational fluctuations in Ce cubic compounds	C5-337	Treyvaud (A.). — Voir Fischer (Ø.)	C5-89
Sery (R. S.). — Voir Clark (G. F.)	C5-183	Troper (A.), De Menezes (O. L. T.) and Gomes (A. A.). — Hyperfine fields of S-rare-earth impurities in noble	
Sha (K. T.). — Voir Zen (D. Z.)	C5-243	hosts	C5-54
Shaltiel (D.). — Voir Levin (R.)	C5-48	Troper (A.). — Voir Brouers (F.)	C5-352
Shapiro (S. M.). — Voir Parks (R. D.)	C5-323 C5-81	Ts'Eng (S. S.). — Voir Yang (Y. T.)	C5-177
Sharland (A. J.). — Voir Fairbairn (W. M.)	C5-211		
Shenoy (G. K.). — Voir Dunlap (B. D.)	C5-344	Unadhuava (I.C.) Lattice dynamics of lanthanides	C5-61
Siek (S.) and Szytula (A.). — Magnetic properties of	00 5 11	Upadhyaya (J. C.). — Lattice dynamics of lanthanides	C3-01
the $CeMn_2[Si_xGe_{1-x}]_2$ , $Ce[Mn_{1-x}Cu_x]_2Si_2$ and			
$Ce[Mn_{1-x}Cu_x]_2Si_2$ compounds	C5-162	Van der Kraan (A. M.). — Voir Gubbens (P. C. M.)	C5-200
Siemann (R.) Voir Cooper (B. R.)	C5-126	Van Hay (JC.). — Voir Sousa (J. B.)	C5-42
Sommer (R.). — Voir Lüthi (B.)	C5-139	Varma (C. M.). — Theory for the mixed-valence state.	IC 5-374
Soubeyroux (J. L.) Voir Achard (J. C.)	C5-218	Vedernikov (M. V.), Dvunitkin (V. G.) and Moreva (N. I.).	C5 46
Sougi (M.). — Voir Debray (D.)	C5-358	— High-temperature hall effect in rare earth metals  Vettier (C.). — Voir McWhan (D. B.)	C5-46 C5-107
Sousa (J. B.), Amado (M. M.), Pinto (R. P.), Moreira (J. P.)		Vettier (C.). — Voir McEwen (K. A.)	C5-26
M.), Braga (M. E.), Ausloos (M.), Leburton (J. P.), Clippe (P.) and Van Hay (JC.), Morin (P.). — Cri-		Vogt (O.). — Voir Furrer (A.)	C5-122
trical behaviour of transport coefficients at a struc-		Vogt (O.) Voir Hessel Andersen (N.)	C5-118
tural-ferromagnetic transition	C5-42	Vogt (O.) Voir Bartholin (H.)	C5-130

Wachter (P.). — Voir Batlogg (B.)	C5-370	Yang (D.) and Lindgård (PA.). — First principles cal-	
Wallace (W. E.). — Voir Rhyne (J. J.)	C5-209	culation of the damping and quasielastic mode of	05.16
Wang (YL.). — Green's function theory and high tem-		DHCP Pr	C5-16
perature series expansion for magnetic systems with		Yang (D.) and Lindgård. — Theory of the transition tem-	
crystal fields	C5-112	perature and the magnetization in Pr <sub>3</sub> Tl under	
Wang (Y. J.), Li (F. H.), Wang (Z. Q.) and Gao (J. J.). —		change of volume	C5-134
The structure and magnetic anisotropy of amor-		Yang (Y. T.), Ho (W. W.), Yang (K. L.), Tchou (T. S.),	
phous Gd-Co films	C5-239	Ts'Eng (S. S.) et Kin (L.). — Etude de la diffraction	
Wang (T. S.). — Voir Zen (D. Z.)	C5-243	de neutrons des composés Y(Co <sub>1-x</sub> Cu <sub>x</sub> ) <sub>5</sub>	C5-177
Wang (Z. Q.). — Voir Wang (Y. J.)	C5-239	Yang (K. L.) Voir Yang (Y. T.)	C5-177
Wantenaar (G. H. J.) Voir McKenna (T. J.)	C5-22	Yelon (W.). — Voir James (W. J.)	C5-206
Weaver (H. T.) Voir Schirber (J. E.)	C5-124	Young (R. C.). — The de Haas-van Alphen effect and the	
Westlake (D. G.). — Voir Dunlap (B. D.)	C5-211	Fermi surfaces of rare earth metals	C5-71
Wisard (A.). — Voir Kaldis (E.).	C5-366	Yung-Li Wang. — Green's function theory and high tem-	
Williams (C. M.). — Voir Koon (N. C.)	C5-194	perature series expansion for magnetic systems with	
Wilson (G. V. H.) Voir McKenna (T. J.)	C5-22	crystal-fields	
Wilson (G. V. H.). — Voir Grimm (J.)	C5-58		
Wittig (J.). — Voir Probst (C.)	C5-330		
Wohlleben (D.). — Voir Franz (W.)	C5-342	Zai (J. W.). — Voir Zen (D. Z.)	C5-243
		Zen (D. Z.), Wang (T. S.), Liu (L. F.), Zai (J. W.) and	
		Sha (K. T.). — Etude de l'alliage amorphe TbFe,	
Yacoubi (N.), Leger (J. M.), Loriers (C.). — SmO, un		par spectroscopie Mössbauer	C5-243
nouveau composé à valence intermédiaire ?	C5-356	Zevin (V.). — Voir Levin (R.)	C5-48
\$7 4 (TEX CL ) 1/EX 1.72 (TEX CE)		Zuckermann (M. J.) Voir Ferrer (R.)	C5-221
	C5-120	Zygmunt (A.). — Voir Murasik (A.).	C5-143
7 7 7 2			

### International Symposium on dislocations in tetrahedrally coordinated semiconductors

#### Hünfeld/Fulda, 1978

Ahearn (J.S.), Mills (J.J.) and Westwood (A.R.C.) Chemomechanical effects in ZnO	C6-173	Grazhulis (V.A.) Application of EPR and electric measurements to study dislocation energy spectrum in silicon	C6-59
Ahlborn (K.) Diffusion of gallium in germanium along dislocations	C6-185	Gutmanas (E.Y.) and Haasen (P.) Photo-	C6-169
Alexander (H.) Models of the dislocation structure	C6-1	Gwinner (D.) and Labusch (R.) Electrical effects of dislocations in gallium ar-	
Alexander (H.) Voir Weber (E.)	C6-101	senide	C6-75
Auleytner (J.) Voir Liliental (Z.)	C6-217	Haasen (P.) Kink formation and migration as dependent on the Fermi level	C6 <b>~</b> 111
Blumtritt (H.) Voir Heydenreich (J.)	C6-23	Haasen (P.) Voir Gutmanas (E.Y.)	C6-169
Booker (G.R.), Ourmazd (A.) and Darby (D.B.) Electrical recombination behaviour at dislocations in gallium phosphide and silicon	C6-19	Hagen (W.) Voir Strunk (H.)  Heydenreich (J.), Blumtritt (H.), Gleich- mann (R.) and Johansen (H.) High vol- tage electron microscopy and scanning	C6-213
Bourret (A.) and Desseaux (J.) Lattice images of dislocations in germanium	C6-7	electron microscopy (EBIC MODE) of the same dislocation	C6-23
Brown (N.) and Willoughby (A.F.W.) Determination of slip planes in $Cd_X$ $Hg_{(1-x)}$ Te by etching of dislocations		Hirsch (P.B.) Recent results on the structure of dislocations in tetrahedrally coordinated semiconductors	C6-27
introdúced by microhardness identa- tions	C6-151	Hirsch (P.B.) A mechanism for the effect of doping on dislocation mobility.	C6-117
Castaldini (A.) Voir Gondi (P.)	C6-71	Holt (D.B.) Device effects of dislocations	C6-189
Cavallini (A.) Voir Gondi (P.)	C6-71	Hons (A.) Voir Cockayne (D.J.H.)	C6-11
Claesson (A.) Effect of disorder and long range strain field on the elec-		Johansen (H.) Voir Heydenreich (J.)	C6-23
tron states	C6 <b>-</b> 39	Jones (R.) Theoretical calculations of	
Cockayne (D.J.H.) and Hons (A.) Dislo- cations in semiconductors as studied by weak-beam electron microscopy	C6-11	electron states associated with dislo- cations	C6-33
Darby (D.B.) Voir Booker (G.R.)	C6-19	Kamieniecki (E.) Photoconductivity pro- duced by polarized light in plastical-	
Desseaux (J.) Voir Bourret (A.)	C6-7	ly deformed Ge	
Ewaldt (H.) Voir Möller (H.J.)	C6-139	Kimerling (L.C.) Voir Patel (J.R.)	
Farvacque (J.L.) and Ferre (D.) Expe-	00 101	Klassen (N.V.) and Ossipyan (Yu.A.) Optical properties of II-VI compounds with dislocations	
rimental evidence for an asymmetrical dislocation glide in indium antimo-	C6-157	Kolbesen (B.O.) Voir Strunk (H.)	
Ferre (D.) Voir Farvacque (J.L.)	C6-157	Labusch (R.) Recombination of nonequili- brium carriers in the presence of dis-	
Fiegielski (T.) Spin effects in electron transitions via dislocation		locations in semiconductors	
states in silicon	C6-95	Labusch (R.) Voir Gwinner (D.)	C6-/5
George (A.) Measurements of the dislo- cation velocities in silicon	C6-133	Liliental (Z.) and Auleytner (J.) Some remarks to the problem of the dislocation loops creation in the region of interface	C6-217
Gerlach (E.) Scattering of charge- carriers by dislocations	C6-47	Mantovani (S.) and Mazzega (E.) Disloca-	00 21,
Gleichmann (R.) Voir Heydenreich (J.).	C6-23	tion electronic states from Schottky diodes in silicon	C6-63
Gondi (P.), Cavallini (A.) and Castaldini		Mazzega (E.) Voir Mantovani (S.)	
(A.) Hall effect results on Ge de- formed at relatively low temperatures.	C6-71	Mills (J.J.) Voir Ahearn (J.S.)	
Gottschalk (H.) Motion of partial dis- locations	C6-127	Mil'shtein (S.) Application of dislocation-induced electric potentials in Si and Ge	C6-207
Gouyet (J.F.) Magnetic properties of dislocations. Spin polarons	C6-107	Mimkes (J.) Calculations of dislocation pipe diffusion	

Möller (H.J.) Statistics of kink forma- tion on dissociated dislocations		Schröter (W.) Influence of dislocations on the Hall effect in silicon and ger-	
Möller (H.J.)and Ewaldt (H.) Disloca-		manium	C6-51
tion motion near a surface	C6-139	Siethoff (H.) Dynamical recovery and diffusion	C6-177
Ninomiya (T.) Velocities and internal friction of dislocations in III-V compounds	C6-143	Strunk (H.), Hagen (W.) and Kolbesen (B. O.) Observation of individual mis- fit dislocations by high-voltage	06 016
Ossipyan (Yu.A.) and Petrenko (V.F.)		electron microscopy	Cb-213
Motion of charged dislocations in semiconductors A <sup>II</sup> B <sup>VI</sup>	C6-161	Sumino (K.) Dislocation mobility and mechanical behaviour of Si crystals	C6-147
Ossipyan (Yu.A.) Voir Klassen (N.V.)	C6-91		
Ourmazd (A.) Voir Booker (G.R.)	C6-19	Teichler (H.) Effect of dislocation dissocation on the localized electron	
Patel (J.R.) and Kimerling (L.C.) Dis- location effect states in silicon	C6-67	and hole states at screw dislocations in germanium	C6-43
Petrenko (V.F.) Voir Ossipyan (Yu.A.).	C6-161	Weber (E.) and Alexander (H.) EPR of	06 101
Petroff (P.M.) Point defects and dis-		dislocations in silicon	C6-101
location climb in III-V compounds		Westwood (A.R.C.) Voir Ahearn (J.S.)	C6-173
semiconductors	C6-201	Willoughby (A.F.W.) Voir Brown (M.)	C6-151

# XIVe Conférence Internationale sur les phénomènes d'ionisation dans les gaz

Grenoble, 1979

#### Volume I

ABBAS (I.) and BAYLE (P.) Numerical simulation of nitro- gen discharge : formation of	ALI(A.) Voir KOOPMAN (D.) C7-419 ALLEN(N.L.), ALLIBONE (T.E.) and
electron shock wave	DRING (D.) Variation of Corona inception and sparkover with positive impulse voltage in a rod/plane gap: effect of negative
coherent whistler wave inter- action and particle precipita-	small ion variation C7-423
ABED (S.) Voir BOUVIER (A.) C7-19	(N.St.J.) C7-491
ABDEL-SALAM (M.) and MORUZZI	ALLEN (J.E.) Voir SAELEE (H.T.) C7-179
(J.L.) Attachment and ion mo- lecule reaction in SF <sub>6</sub> mixtures C7-53	ALLEN (J.E.) and WICKENS (L.M.) Hydromagnetic rarefaction waves C7-547
ABDULLA (R.R.), DUTTON (J.) and	ALLIBONE (T.E.) Voir ALLEN (N.L.).C7-423
WILLIAMS (A.W.) Ionization growth in argon C7-73	ALLIBONE (T.E.) and SAUNDERSON (J.C.) Breakdown of sphere/plane gaps stressed with d.c. voltage;
ABOU-SEADA (M.S.) and ALI (KH.I.M) "Static breakdown analysis of compressed SF, in a positive	the effect of "CONDITIONING"C7-425
rod-to-plane gaps C7-31	
ADAM (J.C.), LAVAL (G.) and PESME (D.) Phase space granulation as a result of mode-mode coupling effects	ALTYNTSEV (A.T.), KRASOV (V.I.), LEBEDEV (N.V.) and PAPERNY (V.V.) - Measurements of electron energy
ADEMA (S.) Voir VAN DER SIJDE (B) C7-85	C7-723
	AMEMIYA (H.), DOTE (T.) and KAWAMOTO
AKAZAKI (M.), NISHIJIMA (K.) and HARA (M.) Processes of impulse breakdown in N <sub>2</sub> -O <sub>2</sub> gas mixtures and in air at low pressure C7-14	(S.) Relation between the striation and the stimulated emission
AKIYAMA (H.), YAMADA (T.) and TAKEDA (S.) Wave propagation in a cylindrical geometry C7-54.	AMIRANOFF (F.), FABBRO (R.), FABRE (E.), GARBAN (C.) and VIRMONT (J.)
ALAYLI (Y.) and SKOWRONEK (M.) Etalonnage d'une chaîne de dif- fusion en vue du diagnostic des	AMIRANOFF (F.), FABBRO (R.), FABRE
plasmas	Effect of pulse shaping on in- teraction processes in laser pro-
(G.N.) C7-41	duced plasmas
ALEXANDROV (V.V.), DANILYCHEV (V.A.), KOTEROV (V.N.), PUSTOVALOV (V.V.) and SOROKA (A.M.). To the theory	ANGELOV (0.), BLAGOEV (A.) and POPOV (Tc.) Investigations of the electron energy distribution
of electroionized discharge C7-35	function in krypton afterglow
ALGE (E.) Voir PESKA (K.) C7-21	plasma
ALGE (E.), VILLINGER (H.), PESCA (K.), RAMLER (H.), STÖRI (H.) and	ANTONIOS VLASTÓS (E.) Effect of polarity on the impulse break-down of SF <sub>6</sub>
LINDINGER (W.) The influence of ion vibrational excitation on ion molecule reactions	APOSTOL (I.), COJOCARU (E.), DINESCU (M.), DRAGANESCU (V.), JULEA (Th.),
ALI (KH.I.M.) Voir ABOU-SEADA (M.S.)	MORJAN (I.), MOLDOVAN (M.), MIHAI- LESCU (I.N.) and KONOV (V.I.)
ALIEV (Yu.M.), GRADOV (O.M.) and STEFAN (V.) Magnetized plasma	Plasma target coupling in the case of tea-CO <sub>2</sub> laser produced break- down in front of solid targetC7-765
parametric resonance in non- monochromatic pump-wave C7-55	ADMAND (N A ) BOCACHVOV (C A ) and
ALI (A.W.), GREIG (J.R.), VITKOVIT- SKY (I.M.), FIORITO (R.B.) and FERNSLER (R.F.) Interaction of	the intense microwaves with a flow of low temperature plasma (1. The experiment)
an intense relativistic electron	

ARMAND (N.A.), ROGASHKOV (S.A.) and SHUSTIN (E.G.) The UHF discharge with preliminary locally ionized gaseous medium C7-643	BAKSHT (F.G.) and RYBAKOV (A.B.).— Theory of hollow cathode in atmospheric arc in noble gas C7-341 BALANCEANU (M.).— Voir POPOVICI (C.) C7-171
ARUTUNIAN (G.G.) and GALECHIAN (G.A.)  The peculiarities of the dif- fusion processes in the electro- negative gas plasma	BALESCU (R.) and PAIVA-VERETENNICOFF  (I.) Kinetic equation for a plasma in a strong high frequency electro-magnetic field
ARUTYUNYAN (S.G.), GEKKER (I.R.), KARFIDOV (D.M.) and RUCHADZE (A. A.) Ionization of gases in strong electromagnetic fields C7-219	BALTOG (A.) and MUSA (G.).— Surface phenomena in cesium and cesium—noble gas filled thermionic diode C7-455
ASHRAF (A.), ROYCHOWDHURY (U.K.) and GHOSH (P.K.) Population densities of triplet excited states in a diffuse nitrogen plasma C7-129	BALTOG (A.) and MUSA (G.).— Influence of the interelectrodic charge diffusion outside of the gap on the thermionic diode VI characteristics
ASSADULIN (F.F.), BATANOV (G.M.),	BARASSIN (A.) Voir THOMAS (R.) C7- 41
VERIAEV (A.A.), SAPOZHNIKOV (A.V.) and SARKSIAN (K.A.) Modulation	BARASSIN (J.) Voir THOMAS (R.) C7- 41
of spectra of drift waves due to	BARBIAN (E.P.) Voir OEPTS (D.) C7-793
the high-frequency fields C7-653  AUBES (M.) Voir DAMELINCOURT (J.J.) C7-273	BARDOS (L.) and MUSIL (J.) Micro- wave generation of a magnetoactive oxygen plasma for oxidation C7-449
AUPHELLE (D.), EUVE (F.), FITAIRE (M.), POINTU (A.M.), VIALLE (M.) and WARTSKY (L.). Study of nitro- gen-neon nuclear induced plasma . C7-397	BARKHUDAROV (E.M.), BEREZOVSKII (V.R.) CHELIDZE (T.Ya.), GELASHIVILI (G.V.) TAKTAKISHVILI (M.T.) and TSINTSADZE (N.L.) A holographic study of
AVERIN (V.I.), BREKHOV (O.M.), GORBENKO (B.S.), KLEPOV (A.F.), KOLESOV (G.V.), KONDRASHOVA (L.I.)	laser-produced plasma at the 10.6 µm wavelength C7-869  BARONNET (J.M.) Voir COUDERT (J.F.) C7-355
LEBEDEV (V.V.), MILLER (V.A.) and STEPANOV (B.M.) Streak image camera "agat" with picosecond time resolution used for investigations in plasma physics C7-875	BARONNET (J.M.), RAKOWITZ (J.), COU- DERT (J.F.), BOURDIN (E.), FAUCHAIS (P.) ERCHOV and PAVLOV (E.) Spec- troscopic diagnostics of A.D.C.
AVIVI (P.) Voir KAUFMAN (Y.) C7-31	nitrogen plasma jet C7-247
AVRAM (E.) Voir POPOVICI (C.) C7-171 BABANIN (V.I.), KAPLAN (V.B.), KO-	BARRETO (E.) and JURENKA (H.) A subsonic electron fluid and the formation of small sparks C7-301
LYSHKIN (I.N.), KUZNETSOV (V.I.), MARTSINOVSKII (A.M.), MUSTAFAEV (A.S.), SITNOV (V.I.) and ENDER (A.Ya.) Optical investigations of the spontaneous extinction of the high-current knudsen arc dis-	BASOV (N.G.), GLOTOV (E.P.), DANILY-CHEV (V.A.), MILANICH (A.I.) and SOKORA (A.M.) Self-sustained electrophotoionized discharge in compressed gases
charge in Cs-Ba gas mixture C7-201	BATANOV (G.M.) Voir ASSADULIN
BACAL (M.), HAMILTON (G.W.), BRUNE-	(F.F.)
TEAU (A.M.), DOUCET (H.J.) and TAILLET (J.) Measurement of H <sup>-</sup> density in a plasma by photode- tachment	BAUER (G.H.) Spectroscopic analysis of prebreakdown-phase from positive corona into spark in N <sub>2</sub> C7-295
BAILEY (W.F.) and GARSCADDEN (A.) Non-equilibrium dissociation phe- nomena	BAUMACKER (H.), BRINKSCHULTE (H.), RIEDMULLER (W.), SALVAT (M.) and SUDO (S.) Ionization of isolated deuterium pellets by neodynium
BAKANOVICH (G.I.), MIN'KO (L.Ya.) and CHUMAKOV (A.N.) Investiga-	laser radiation
tion of plasma formation dynamics and properties of underexpanded	BAYLE (M.) Voir BAYLE (P.) C7-249
supersonic erosive laser plasma flares C7-761	BAYLE (P.), BAYLE (M.) and MORALES (E.) Experimental determination of the
BAKSHT (F.G.) and IVANOV (V.G.) Theory of low-voltage arc in noble gas	spatio-temporal distribution of the pace charge field in a breakdown. C7-249
BAKSHT (V.G.), MARTSINOVSKIY (A.M.)	BEHRINGER (K.) and THOMA (P.) The high power hydrogen arc as a precise
and YUR'YEV (V.G.) Low-voltage arc plasma in three-electrode sys-	standard source of continuum radia- tion between 53 and 92 nm C7-829
tem C7-497	BEIJERINCK (H.C.W.) Voir THEUWS

BEL'CHENKO (Yu.I.) and DUDNIKOV (V.G.)  - Negative ion production in sur- face-plasma sources with unclosed electron drift discharge C7-501	BOGDANOV (S. Yu.), MARKOV (V.S.), FRANCK (A.G.) and KHODZHAEV (A.Z.) Experimental study of fast re- connection of the magnetic fields	
BEL'KOV (S.A.) and TSYTOVICH (V.N.) - Magnetic field generation by intense Langmuir plasma waves C7-651	through plane pinch current sheet.  BOGDANOVA (N.B.), PEVCHEV (B.G.) and POPKOV (V.I.) Electrical field	C7-221
BELYANKO (A.E.), LIPATOV (N.I.), PASHININ (P.P.) and PROKHOROV (A.M.) Ultraviolet radiation of	strength on the positive corona electrode with the counterflow of negative ions	C7-361
the surface discharge is a pre- ionizer of high pressure atomic- molecular impurities C7-505	BOKHAN (P.A.), KLIMKIN (V.M.), MALT- SEV (A.N.), PROKOPIEV (V.E.) and SOKOVIKOV (V.G.) Investigation	
BENATTAR (R.), POPOVICS (C.) SIGEL (R.) and VIRMONT (J.) Interferome- tric measurements of density profi- les in laser-target interaction C7-767	of anomalously high-speed de- excitation of Eu <sup>+</sup> metastable sta- tes in gas discharge plasma using modulation of induced radiation	C7 <b>-</b> 115
BENENSON (D.M.) Voir BHANSALI (C.K.) C7-263	BONNET (J.) Voir FORT (J.)	
	BONNET (J.) Voir FOURNIER (G.)	
BENGTSON Voir CHU (E.) C7-747	BONNET (J.) Voir PIGACHE (D.)	
BEN JEMAA (N.) Voir GAUCHEREL (Ph.) C7- 91	BONTE (L.) Voir SANCTORUM (C.)	C7-33
BEREZOVSKII (V.R.) Voir BARKHUDA-	BORISOVA (T.S.) Voir POKROVSKAJA- SOBOLEVA (A.S.)	C7-405
ROV (E.M.)	BORZHOV (A.P.) Voir RYKALIN (N.N.)	C7-229
BERGER (E.) and HEISEN (A.) Electron energy distribution, electric field and transport coefficients in the Faraday Darc Space C7-191	BOULLOUD (A.), CHARRIER (J.) and LE NY (R.) Positive glow corona along a cylindrical rod between	
BEYER (H.), FUNK (W.) and KLOSS (H.G.)	two parallel plates	
Plasma diagnostics in horizon-	BOURDIN (E.) Voir BARONNET (J.M.).	
tally burning metal halide dis- charges	BOURDIN (E.) Voir COUDERT (J.F.)	
BHANSALI (C.K.) and BENENSON (D.M.)	BOURQUARD (S.) Voir KOCIAN (P.)	C7-169
Numerical analysis of arcs in supersonic flow	BOURQUARD (S.), MAYOR (J.M.) and KOCIAN (P.) Measurement of the electron energy distribution in	
BICHKOV(Yu.I.), OSIPOV (V.V.) and TELNOV (V.A.) Characteristics	a CO <sub>2</sub> laser plasma	C7-385
of the combined discharge in ave- rage pressure gas C7-161	and BOUVIER (A.) Investigation of	
BIGIO (I.J.) Electron-attaching	an early helium afterglow plasma produced by a microwave surfaguide	C7_107
gases in laser discharges : alte-	BOUVIER (A.) Voir BOUVIER (A.)	
red discharge parameters and negative-ion production C7-365	BOYD (T.J.M.), GARDNER (G.A.) and	C/ <b>-</b> 19/
BLAGOEV (A.) Voir ANGELOV (O.) C7-19	HUMPHREYS-JONES (G.J.) Self-	
BLEACH (R.D.), WHITNEY (K.G.), SAN-	generated magnetic fields and har- monic emission	C7-551
DELIN (J.W.), FINN (T.G.) and	BOYD (T.J.M.) Voir TURNER (J.G.)	
NAGEL (D.J.) Carbon spectra from CO <sub>2</sub> laser-produced plasmas C7-749	BRACKE (T.), SOMMER (H.T.) and STO-	
BLEVIN (H.A.) Voir FLETCHER (J.). C7-811	JANOFF (C.G.) Numerical simula-	
BLOYET (E.) Voir CICCONI (G.) C7-827	tion of a decaying argon arc	C7-239
BOFFI (V.C.), MOLINARI (V.G.) and SPIGA (G.) Electron distribution	BRADLEY (L.P.) and ORHAM (E.L.) Characteristics of a high density directed plasma source	C7=307
function and ionization in space- dependent plasma theory C7-535	BRAGLIA (G.L.) and LOWKE (J.J.) Comparison of Monte-Carlo and Bolt-	
BOGDANKEVICH (L.S.), KUZELEV (M.V.) and RUCHADZE (A.A.) On the theo-	zmann calculations of electron diffusion to an anode	C7-17
ry of excitation of rippled plasma resonators by a relativistic electron beam	BRAITHWAITE (N. St.J.) and ALLEN (J.E.) Pulsed current voltage	
BOGDANOV (A.A.), KAPLAN (V.B.), MAR-	characteristics of a thermally produced plasma	C7-491
TSTNOVSKIY and YUR'YEV (V.G.)	BREGNSBO (E.) Voir CHRICHTON	
Plasma formation kinetic at knud- sen arc ignition C7-337	(G.C.)	C7-287
DOI: GLO SALESTANIA CONTRACTOR CO	BREIZMAN (B.N.) WKB model of the collapse of Langmuir waves	C7-563

BREKHOV (O.M.) VOIT AVERIN (V.I.)	magnetic field on convection in
BRIDET (J.) Voir FOURNIER (G.) C7-777	rotating star
BRIDGES (J.M.) Voir OTT (W.R.) C7-803	CAMBRAY (P.) Recombinaison de l'ion moléculaire Het à haute température C7-65
BRINKSCHULTE (H.) Voir BAUMHACKER (H.) C7-743	CANDER (Lj.R.) and STANIC (B.V.) Interaction of EM waves with a com-
BRIZHINEV (M.P.), EGOROV (S.V.),	pressible plasma column
EREMIN (B.G.), KOSTROV (A.V.) and STEPANUSHKIN (A.D.) Measurement of electric field in turbulent plasma by the method of satellites of forbidden transitions in helium	CAPITELLI (M.), DILONARDO (M.) and GORSE (C.). Self consistent electron energy distribution functions in nonequilibrium oxygen
	CARLHOFF (C.), SCHÄFER (J.H.), SCHIL-
BROOKS (R.D.), PIETRZYK (Z.A.) and	DBACH (K.) and UHLENBUSCH (J.)
VLASES (G.C.) Multiple-pass	High pressure optical discharges C7-757
laser heating of a short plasma column C7-751	CAROLAN (P.G.) Voir MUIR (D.G.) C7-833
BRUNETEAU (A.M.) Voir BACAL (M.). C7-791	CATHERINOT (A.) and DUBREUIL (B.) Quenching of n = 3,4 singlet HeI
BRUYNOOGHE (W.) Voir WIEME (W.) C7- 3	excited states by molecular nitro- gen in a low-pressure glow dis-
BRZOSKO (J.S.) Voir KIOBUKOWSKA	charge
(J.) C7-469	CATHERINOT (A.) Voir DUBREUIL (B.). C7-5
BRZOSKO (J.S.), ZUKOWSKI (E.), GRUDZINSKI (J.), ZUKOWSKI (W.)	CEAUSESCU (N.) Voir POPOVICI (C.)C7-171
and KONARZEWSKI (A.) Probabili-	CERNOGORA (G.), GOUSSET (G.) and
ty of the creep discharges C7-471	RICARD (A.) N (2D,2P) metastable atoms production in a N2 d.c. glow
BUCHELNIKOVA (N.S.) and MATOCHKIN (E.P.) The instability of one-	discharge
dimensional Langmuir wave. Solitons	CHAPELLE (J.) Voir FLEURIER (C.) C7-81
and collapse C7-631	CHAPELLE (J.) Voir GLASSER (J.) C7-687
BUCHELNIKOCA (N.S.) and MATOCHKIN	CHAPELLE (J.) Voir RANSON (P.) C7-25
(E.P.) The instability and dam- ping of the Langmuir waves with	CHAPELLE (J.) Voir RANSON (P.) C7-93
different amplitudes and phase velocities	CHARIL (P.) Voir LESAGE (A.) C7-805
BUCHET (G.), HAUG (R.) and MAFTOUL	CHARLET (B.) Voir BOUVIER (A.) C7-197
(J.) CN molecular bands in a	CHARRIER (J.) Voir BOULLOUD (A.) C7-241
free burning metal electrodes arc	CHEBOTAEV (P.Z.) and VEKSTEIN (G.E.)
BUNTING (K.A.) The arc diameter	The Bohm-type thermal losses from a high-plasma
and rate of rotation of a magne-	CHELIDZE (T. Ya.) Voir BARKHUDAROV
tically rotated arc with super- imposed gas flow C7-243	(E.M.) C7-869
BURNS (E.J.T.) JOHNSON (D.J.), FARNS-	CHEN ZHI-FAN Voir LU QUAN-KANG C7-667
WORTH (A.V.), Jr., FEHL (D.L.),	CHERON (B.), JAROSZ (J.) and VER-
LEEPER (R.J.), MIX (L.P.) and	VISCH (P.) Mesure des probabili-
KUSWA (G.W.) Diagnostics pro- gram for a magnetically insulated	tés de transition des raies $5^1D_2$ , $6^{-1}D_2$ , $7^{-1}D_2 \rightarrow 5^{-1}P_1$ du cadmium C7-847
ion diode for inertial confinement fusion C7-775	CHU (E.), DRUCE (R.), KRISTIANSEN
BURTSEV (V.A.), DUBYANSKI (V.A.),	(M.), HAGLER (M.) and BENGTSON (R.)
EGOROV (N.P.), KASATKINA (M.P.),	Beat heating in plasmas using
PRODUVNOV (A.B.) and SHESTAKOV	CO <sub>2</sub> lasers C7-747
(I.V.) Investigation of electrical explosion of cylindrical	CHUMAKOV (A.N.) Voir BAKANOVICH (G.I.) C7-761
foils in air. Coaxial high-cur-	CHYRCZAKOWSKI (S.), MELZACKI (K.) and
rent discharges C7-485	SADOWSKI (M.) Spectral lines emis-
BURTSEV (V.A.), ZELENOV (L.A.), KON- DAKOV (A.A.), KURUNOV (R.F.), SMIR-	sion from carbon-hydrogen plasmas generated by TEM <sub>10</sub> laser pulses C7-741
NOV (V.G.) and SHANSKY (V.F.);-	CIBIN (P.K.) Influence of dissipa-
Optical homogeneity and molecular gas heating in a semi-self-sustai-	tive processes on the propagation
ned discharge	of guided electron plasma waves on a planar plasma slab
BUSCH (P.J.) Voir OEPTS (D.) C7-793	CICCONI (G.), BLOYET (E.), LEPRINCE
BUSHIK (A.I.) Dynamics of the	(P.) and MAREC (J.) Microwave
electrode processes on the rein-	reflexion in rectangular waveguides
forced materials at high-current	by high pressure R.F. plasma co-

POLLACHINI (L.) A nonlinear	DEIGAT (F.) Voir VALIGNAT (S.) C7-7
kinetic theory for HF plasma	DELVAUX (J.), DEVIN (A.), NICOLAS
generation and electron hea- ting C7-193	(A.), PEUGNET (C.), WOLFF (G.) and KUBALA (A.) Experience d'in-
COHEN (CH.) Voir LUDMIRSKY	ter-action electrons-matière à
(A.) C7-373	Valduc
COJOCARU (E.) Voir APOSTOL (I.). C7-765	DETTMER (J.W.) and GARSCADDEN (A.) Role of O <sup>*</sup> (a'\Delta) in the oxygen
COMBIER (M.) Voir LESAGE (A.) C7-805	plasma
COOKE (M.J.) Voir SAELEE (H.T.). C7-179	DEUTSCH (C.) Voir GOMBERT (M.M.). C7-695
COTSAFTIS (M.) Voir SY (W.N.C.) C7-669	DEUTSCH (C.) Voir MINOO (H.) C7-697
COUDERT (J.F.) Voir BARONNET	DEVIN (A.) Voir DELVAUX (J.) C7-785
(J.M.)	DEVYATOV (A.M.) Voir VOLKOVA (L.M.) C7-231
COUDERT (J.F.), BOURDIN (E.), BARONNET (J.M.), RAKOWITZ (J.) and FAUCHAIS (P.) Chemical kinetics study of nitrogen oxide	DIELIS (J.W.H.), DE HOOG (F.J.) and SCHRAM (D.C.) Decay of metastable Ne (3P2)-atoms
synthesis in a d.c. plasma jet: a proposed model C7-355	DIELIS (J.W.H.) Voir VAN DER KRAAN (P.A.M.)
COULAUD (G.) Voir FLEURIER (C.) C7-81	DILONARDO (M.) Voir CAPITELLI
COUMANS (J.J.H.) Voir POTS	(M.) C7-13
(B.F.M.) C7-797  COUTURAUD (J.C.) Voir THIELL	DIMITRIJEVIĆ (M.S.) and GRUJIĆ (P.) A modified adiabatic theory
(G.) C7-877	calculation for the stark broadening of He I $(3^1p^0-2^1s)$ C7-119
COXON (P.A.) and MORUZZI (J.L.) Positive ion mobilities in car-	DIMITRIJEVIC (M.S.), GRUJIC (P.) and KOLEDIN (D.) Quantum mechanical
bon dioxide C7-117	calculations of the stark broade-
CRAWFORD (F.W.) Voir LEVINE (J.S.) C7-139	ning of some He I lines from plas- mas
CRAWFORD (F.W.) Voir VIDMAR	DIMITRIJEVIC (M.) and KONJEVIC (N.)
(R.J.) C7-559	On the approximative semi- classical formula for the electron
CRICHTON (G.C.), McALLISTER (I.W.) and BREGNSBO (E.) Positive co-	impact width of multiply ionized atom lines in plasmas C7-815
rona onset in atmospheric air-	DINESCU (M.) Voir APOSTOL (I.) C7-765
a multiple avalanche process C7-287	DIXON (A.J.) and VON ENGEL (A.)
CROITORU (P.) Voir POPA (G.) C7-187	Energy spread of cluster ions from
CRUMLEY (R.) Voir WILLIAMS (P.F.)	a molten metal C7-441
CYBULSKI (A.) Voir WROBLESWKI	DJENIZE (S.) Voir LABAT (J.M.) C7-9
(D.)	DJENIŽE (S.) and LABAT (J.M.) In- fluence of perturbation of popula- tion processes of 4p argon levels. C7-47
DAMELINCOURT (J.J.), SEVIGNE (M.), AUBES (M.) and SCOARNEC (L.)	DJORDJEVIC (D.) Voir MIHAJLOV
Axial segregation in Hg-T1-I	(A.) C7-689
discharges operated at 50 Hz C7-273  DANCER (P.) Voir DROUET (M.G.) C7-437	DOBRENIN (A.V.) Voir ZORINA
DANG DUC (H.) Voir KAFROUNI (H.) C7-237	(E.N.) C7-473
DANILYCHEV (V.A.) ALEXANDROV	DOLIQUE (J.M.) Instabilités à faisceaux tournants multiples dans
(V.V.) C7-357	les faisceaux d'ions négatifs uti-
DANILYCHEV (V.A.) Voir BASOV (N.G.) C7-393	lisés à la génération de faisceaux de neutres
DANILYCHEV (V.A.) Voir GLOTOV	DOTE (T.) Voir AMEMIYA (H.) C7-389
(E.P.) C/-3/1	DOTHAN (F.) and KAGAN (Yu.M.) The composition of the positive
DAVIES (A.J.), DUTTON (J.), EVANS (C.J.), GOODINGS (A.) and STE-	column of a helium glow discharge at intermediate pressures C7-127
WART (P.K.) Monte-Carlo simu- lations of electron drift velo-	DOTHAN (F.) Voir KAUFMAN (Y.) C7-31
cities in the noble gases and	DOUCET (H.J.) Voir BACAL (M.) C7-791
their mixtures C7-63	DRAGANESCU (V.) Voir APOSTOL (I.).C7-765
DAVYDOVA (T.A.) and SHAMRAI (K.P.) Modulational instability and	DRAWIN (H.W.) Voir TRUONG BACH C7-69
evolution of non-uniform Langmuir fields in plasmas	DRING (G.) Voir ALLEN (N.L.) C7-423

DROUET (M.G.), DANCER (P.), KIEFFER (P.) and MERCURE (H.) Simultaneous measurements of microcrater emissions of current and copper		1000 41040 1111111111111111111111111111	-523
light at the cathode of a moving arc	C7-437	Bitchov: toll bittomine (o test)	-247
DRUCE (R.) Voir CHU (E.)	C7-747	EREMIN (B.G.) Voir BRIZHINEV (M.P.)	-867
DUBOIS (D.F.), ROSE (H.A.) and GOLDMAN (M.V.) A statistical theory of Langmuir turbulence	C7-601	ERSHOV (A.P.) and KUZOVNIKOV (A.A.) Electron energy distribution function in Xe plasma in the pre-	
DUBREUIL (B.) and CATHERINOT (A.) Excitation transfer and quen-		sence of Coulomb collisions C7 EUVE (F.) Voir AUPHELLE (D.) C7	
ching of the n = 3 excited sta- tes of helium in a low-pressure		EVANS (C.J.) Voir DAVIES (A.J.) C7	
glow discharge  DUBREUIL (B.) Voir CATHERINOT  (A.)	C7-5	EVRARD (M.P.), MESSIAEN (A.M.), VAN- DENPLAS (P.E.) and VAN OOST (G.) Drift dissipative waves and en-	
DUBROVSKY (A.V.) Voir GRIBKOV (V.A.)	C7-763	sueing steady state of a plasma column C7	-617
DUBYANSKI (V.A.) Voir BURTSEV	C7-485	EZUBCHENKO (A.N.) Voir GORBUNOVA (E.F.) C7	-211
DUDNING (V. C.) Voir DELIGHENCO	C/-403	FABBRO (R.) Voir AMIRANOFF (F.) C7	
DUDNIKOV (V.G.) Voir BEL'CHENKO (Yu.I.)	C7-501	FABBRO (R.) Voir AMIRANOFF (F.) C7	-769
DUDNIKOV (V.G.) and FIKSEL' (G.I.)		FABRE (E.) VOIR AMIRANOFF (F.) C7	-729
Surface plasma source of hydrogen atoms with an energy of hun-	-	FABRE (E.) Voir AMIRANOFF (F.) C7	-769
dreds eV	C7-479	FABRY (M.) Voir THIELL (G.) C7	-453
DUTTON (J.) Voir ABDULLA (R.R.).	C7-73	FAINSTEIN (V.G.) Voir YESSELEVICH	
DUTTON (J.) Voir DAVIES (A.J.)	C7-63	(V.G.)	-359
DVININ (S.A.) Voir SOLNTZEV (G.S.)	C7-227	FANG (M.T.C.) and KUHN (S.) On the linear stability of a colli- sionless single-ended Q-machine. C7	-579
DYUZHEV (G.A.), MITROFANOV (N.K.), SHKOLNIK (S.M.) and YUR'EV (V.G.) Anode region of high current		FARNSWORTH (A.V.), Jr Voir BURNS (E.J.T.) C7	<b>-7</b> 75
arc discharge	C7-463	FAUCHAIS (P.) Voir BARONNET (J.M.)	-247
DYUZHEV (G.A.), STARTSEV (E.A.) and YUR'EV (V.G.) Physical pro-		FAUCHAIS (P.) COUDERT (J.F.) C7	
cesses in arc hollow cathode	C7-199	FAUCHAIS (P.) Voir KASSABJI (F.). C7	
EARL (R.G.) and PREST (A.) Obser-		FEDOROV (V.A.) Voir KOSTYLEV	
vations of harmonics of the dis- charge current in electrodeless R.F. discharges in gas mixtures	C7-167	(A.A.)	-367
EGOROV (I.I.), LESNEVSKY (L.N.),	C7-107	(A.A.)	-369
POPOV (G.A.), SOBOL (A.G.) and TURIN (V.N.) Optimisation of		FEDOSEEVA (T.N.) Voir KOL'CHUGINA (I.A.) C7	
the characteristics of the plas- ma flow from a dielectric cham-		FEHL (D.L.) Voir BURNS (E.J.T.) C7	
ber	C7-349	FEIGIN (A.M.) Voir LITVAK (A.G.). C7	
EGOROV (N.V.) Voir FURSEY (G.N.).	C7-403	FELTS (B.) Réalisation et expéri-	033
EGOROV (N.P.) Voir BURTSEV (V.A.)	C7-485	mentation d'un laser à vapeur de cuivre	7-383
EGOROV (S.V.) Voir BRIZHINEV	0, 103	FERNSLER (R.F.) Voir ALI (A.W.) C7	
(M.P.)	C7-867	FERNSLER (R.) Voir KOOPMAN (D.) C7	-419
EICHLER (H.J.), KOCH (H.), PAFFEN- HOLZ (J.), SALK (J.) and SKROBOL (G.) Two novel HCD-structures		FIKSEL' (G.I.) Voir DUDNIKOV (V.G.) C7	7-479
for Cu II-lasers and their performance	C7-379	FILENKO (Yu.I.), STEPANOV (B.M.) and USHAKOV (L.S.) Holographic time-differential cine-interfero-	
ELIASSON (B.) and KOGELSCHATZ (U.) Ozone production in a homo-		metry of the gas discharge plasma	
geneous oxygen discharge	C7-271	C7	7-873
ELIEZER (S.) Voir SALZMANN (D.).	C7-57	FILIPPOV (Ju.V.) Voir GEBALOV (V.I.)	7-347
ENDER (A. Ya.) Voir BABANIN		FINN (T.G.) Voir BLEACH (R.D.) C7	
(V.T.)	07-201		. 20

FIORITO (R.B.) Voir ALI (A.W.)	C7-773	FURSEY (G.N.), ZHUKOV (V.M.), SHIRO-	
FISUN (O.I.) Voir GRIGORIADY (A.K.)	C7-105	CHIN (L.A.), ALEKSANDROV (A.K.), and GALUSO (S.Y.) Formation of	
FITAIRE (M.) Voir AUPHELLE (D.).	C7-397	high-current and density electron beam on gallium cathode with the	
FLETCHER (J.) and BLEVIN (H.A.) Use of emitted photons as a pro-		limited emission surface	C7-415
be for low pressure gas discharge	•	GALECHIAN (G.A.) Voir ARUTUNIAN (G.G.)	C7-205
TINDED (2)	C7-811	GALUSO(S.Y.) Voir FURSEY (G.N.).	C7-415
FLEURIER (C.), COULAUD (G.) and CHAPELLE (J.) Effect of the ion		GANEVA (J.) Voir KOLEVA (I.)	C7-845
motion at low electron densities		GARBAN (C.) Voir AMIRANOFF (F.)	C7-729
on the profiles of the lines 4471 Å and 4922 Å of He I	C7-81	GARBAN (C.) Voir AMIRANOFF (F.).	C7-769
FORREST (M.J.), KIRK (R.E.) and			C7-551
PEACOCK (N.J.) A CO <sub>2</sub> laser- plasma interaction experiment the scattered spectrum of Lang-		GARSCADDEN (A.) Voir BAILEY (W.F.)	C7-377
muir waves driven via the electron-ion decay instability.	C7-745	GARSCADDEN (A.) Voir DETTMER (J.W.)	C7-135
FORT (J.), BONNET (J.), FOURNIER		GAUCHEREL (Ph.), ROWE (B.), QUEF-	
(G.) and PIGACHE (D.) Cathode density wave in an electron beam controlled discharge	C7-315	FELEC (J.L.), BEN JEMAA (N.) et GOMET (J.C.) Observation de l'émission de l'exciplexe Ar H*	
FORT (J.) Voir FOURNIER (G.)	C7-777	dans des jets de plasmas d'argon- hydrogène raréfiés	C7-91
FORT (J.) Voir PIGACHE (D.)	C7-317	GAUTHIER (J.C.), GEINDRE (J.P.) and	
FOURNIER (G.), BONNET (J.), BRIDET		GRANDJOUAN (N.) Spectroscopic *	
(J.), FORT (J.) and PIGACHE (D.) - Electron beam energy branching in oxygen	C7-777	study of the ionization dynamics in a CO <sub>2</sub> laser-produced plasma of helium	C7-735
FOURNIER (G.) Voir FORT (J.)	C7-315	GAUTHIER (J.C.), GEINDRE (J.P.) and	
FOURNIER (G.) Voir PIGACHE (D.).	C7-317	GRANDJOUAN (N.) Space and time resolved measurements of electron	
FOURNIER (G.) Voir TRAN NGOC AN		and atomic excited states densi-	
FOURRIER (C.), LEMPERIERE (G.) and		ties in a CO <sub>2</sub> laser-produced plasma of helium	
POITEVIN (J.M.) Metal atom density by atomic absorption spectro scopy in a d.c. sputtering discharge		GEBALOV (V.I.), SAMOILOVITCH (V.G.) and FILIPPOV (Ju.V.) The numerical simulation of silent dis-	<i>C, , s,</i>
FRAIMAN (G.M.) Voir KOL'CHUGINA		charge in oxygen. Integral characteristics of discharge channel	
(T.A.)	C7-629	and the role of excited species	
FRANCK (A.G.) Voir BOGDANOV	C7-221	reactions	C7-34/
S. Yu.) FRANKEL (N.E.), HINES (K.C.) and	C7-221	GEINDRE (J.P.) Voir GAUTHIER (J.C.)	C7-735
SPEIRS (R.D.B.) Dielectric res- ponse and energy loss for an		GEINDRE (J.P.) Voir GAUTHIER (J.C.)	
intermediate quantum plasma	C7-513	GEKKER (I.R.) On the generation	
FRANKLIN (R.N.) Stability of the plasma-sheath		of fast electrons during inter- action of microwave fields with	
FRANKLIN (R.N.) Voir WALL (D.N.).	C7-593	collisionless plasma of subcritical density	C7-217
FREISINGER (J.), REINECK (S.) and LOEB (H.W.) The RF-ion source		GEKKER (I.R.) Voir ARUTYUNYAN (S.G.)	
rig 10 for intense hydrogen ion beams	C7-477	GELASHVILI (G.V.) Voir BARKHU-	
FRÖHLICH (K.) and WIDL (W.) Deter	-	DAROV (E.M.)	C/-869
mination of the microscopic field enhancement factor β of prestres- sed vacuum interrupter contacts .	C7-407	GERASIMOV (V.P.), KAREV (S.A.), OBUKHOV (V.A.) and SHISHKIN (G.G H.F. instabilities in the hete	
FUJITA (H.) Voir IMAZU (S.)		rogeneous plasma of a penning dis-	
FUJIWAKA (S.) VOIT INUTAKE (M.)		charge ion source with a hollow a cathode	C7-647
FUNK (W.) Voir BEYER (H.)		GHOSH (P.K.) Voir ASHRAF (A.)	
FURSEY (G.N.), PTYTSIN (V.E.) and		GIL'DENBURG (V.B.), LITVAK (A.G.)	
gnetic field on the effects pre- ceeding the transition of field		and YUNAKOVSKY (A.D.) The dyna- mics of a high-frequency discharg in a wave beam	e C7-215
emission into the vacuum break-	C7=403		

GIPPIUS (E.F.), ILJUKHIN (B.I.) and KOLESNIKOV (V.N.) Some remarks on the nonequilibrium plasma diag- nostics	GORBATOV (A.V.) and SAMUILOV (E.V.) Electrophysical properties of non-equilibrium aerosol plasma C7-519 GORBENKO (B.S.) Voir AVERIN (V.I.)C7-875
GIRY (L.) Voir SKOWRONEK (M.) C7-303	GORBUNOVA (E.F.), EZUBCHENKO (A.N.),
GLASSER (J.), VILADROSA (R.) and CHAPELLE (J.). Non ideality effects in a high pressure argon arc measured by infrared conti- nuum absorption	KARCHEVSKY (A.I.) and MUROMKIN (Yu.A.) The separation of isotopes of noble gases in stationary high frequency discharge with travelling magnetic field
GLAVONJIC (V.) Voir PURIC (J.) C7-795	GORMAN (J.G.) Voir KIMBLIN (C.W.) C7-413
GLAVONJIC (V.) Voir PURIC (J.) C7-835	GORSE (C.) Voir CAPITELLI (M.) C7- 13
GLEIZES (A.), KAFROUNI (H.) and VACQUIE (S.) Mechanisms of electron disappearance in a decaying plasma arc	GOUESBET (G.) Laser-Doppler velo- cimetry in ionized gases: a re- view paper C7-789 GOUSSET (G.) Voir CERNOGORA (G.) C7- 59
GLEIZES (A.) Voir KAFROUIN (H.) C7-237	GRADOV (O.M.) VOIT CERMOGORY (C., C., C., C., C., C., C., C., C., C.,
GLOTOV (E.P.) BASOV (N.G.) C7-393	GIADOV (O:III) + VOLL IIIII ( - IIII)
	GRANDJOUAN (N.) Voir GAUTHIER (J.C.)
GLOTOV (E.P.), DANILYCHEV (V.A.), MILANICH (A.I.) and SOROKA (A.M.) Current voltage characteristics	GRANDJOUAN (N.) Voir GAUTHIER (J.C.) C7-737
of a self-sustained electrophoto- ionized discharge in laser mix- tures	GRANNEMAN (E.H.A.) Voir WIJNAKKER (M.M.B.) C7-487
GODYAK (V.A.) and KHANNEH (A.S.) Experimental investigation of ra- dio-frequency discharge in helium C7-125	GRAY (E.W.) and PHARNEY (J.R.) Enhanced arcing as a function of organic exposure and arc current Pd and Pd/Ag electrodes C7-267
GODYAK (V.A.) and KHANNEH (A.S.)	GREIG (J.R.) Voir ALI (A.W.) C7-773
Theoretical investigation of radio-frequency discharge in y-regime	GREIG (J.) Voir KOOPMAN (D.) C7-419 GRIBKOV (V.A.), DUBROVSKY (A.V.), KALACHEV (N.V.), KOZLOVA (T.A.), and NIKULIN (V.Ya.) Dynamics of plasma phenomena in "plasma focus" under the action of powerful
diagnostics	laser radiation
trode in radio-frequency dischar- ge	plasma C7-105
GOLDMAN (M.V.) Voir DUBOIS (D.F.) C7-601	GRISHINA (I.A.) Voir VASILIEVA (A.N.)
GOLDMAN (A.) and SIGMOND (R.S.) Effects of negative air coronas on plane anode foils	GRISHUTIN (G.S.) Voir POKROVSKAJA- SOBOLEVA (A.S.)
GOLUBEV (A.V.) Voir TISHCHENKO (E.A.)	GROH (K.H.) and WALTER (S.E.) Operation modes of hollow cathode arcs with reduced gas flow C7-277
GOLUBEV (A.V.) Voir ZATSEPIN (V.G.) C7-799	GRÖSSL (M.), HELM (H.), LANGENWAL- TER (M.) and MÄRK (T.D.) Stationa-
GOLUBEV (A.V.) Voir ZATSEPIN (V.G.) C7-861	ry afterglow study of the singly charged atomic ions in pure Ar and
GOLUBKOV (G.V.), KUZNETSOV (N.M.) and YEGOROV (V.V.) The role of single-step ionization by thermal electron-atom collisions C7- 89	GROSU (D.) and GROSU (C.S.) Remarks on the breakdown of an electric gas discharge
GOLUBOWSKY (Yu.B.) and SONNENBURG (R.) Investigations of the con- traction mechanism in a helium medium pressure discharge C7-155	GROSU (C.S.) Voir GROSU (D.) C7-181 GROZDANOV (T.P.) and JANEV (R.K.) Two electron capture processes in plasmas containing multiply char-
GOMBERT (M.M.), DEUTSCH (C.) and MINOO (H.) Thermodynamical func- tions for dense multicomponent plasmas	ged ions
GOMBERT (M.M.) Voir MINOO (H.) C7-697	GRUJIĆ (P.) Voir DIMITRIJEVIC
	(M.S.) C7-119
GOMET (J.C.) Voir GAUCHEREL (Ph.) C7- 91 GOODINGS (A.) Voir DAVIES (A.J.). C7- 63	GRUJIC (P.) Voir DIMITRIJEVIC
(A.J.). C/- 63	(M.S.) C7-825

and JASINSKII (V.M.) Laser gas-	HOLMES (F.A.) Voir KIMBLIN (C.W.) C7-413
discharge plasma diagnostics based on Faraday rotation	DE HOOG (F.J.) Voir DIELIS (J.W.H.) C7- 75
GUENTHER (A.H.) Voir HATFIELD (L.L.) C7-483	DE HOOG (F.J.) Voir VAN DER KRAAN (P.A.M.) C7- 15
GUNDERSEN (M.A.) Voir WILLIAMS (P.F.)	HOPMAN (H.J.) Voir MASSMAN (P.) . C7-435 HOPPER (D.G.) Ab initio studies of
GUNTHER (K.), LANG (S.), RADTKE (R.) and ULBRICHT (R.) Experimental investigation of the balmer spec- trum from a dense hydrogen plasma near the photorecombination thres-	ion-molecule reactions. The N <sub>2</sub> 0 <sup>+</sup> (a <sup>4</sup> A'') potential energy hypersur- face for the 0 <sup>+</sup> (N <sub>2</sub> ,N)N0 <sup>+</sup> reaction C7- 79  HRABOVSKY (M.), KONRAD (M.) and SKODA (P.) Theoretical model of
hold	current-zero behaviour of axially blown arc in SF <sub>6</sub>
	HSUEH-CHI (H.):- An investigation
HAGLER (M.) Voir CHU (E.) C7-747 HAHAEV (A.D.) Voir VDOWIN (V.G.) . C7-177	on the frequency characteristics
	of the RF discharge in Ar-Hg mix- tures
HAMILTON (G.W.) Voir BACAL (M.) C7-791	
HANTZSCHE (E.) Impact and resistive heat sources of cathode spots in arc discharges	de la vitesse d'ascension du  "Return stroke" en fonction de l'intensité pour deux éclairs dé-
HARA (M.) Voir AKAZAKI (M.) C7-145	clenchés C7-421
HARGES (H.C.) Voir HATFIELD (L.L.) C7-483	HUGEL (H.) Voir HOFFMANN (P.) C7-489
HARUO ITOH and NOBUAKI IKUTA Temporal increase of ionization current in N <sub>2</sub> gas	HUMPHREYS-JONES (G.J.) Voir BOYD, (T.J.M.) C7-551
HASHIGUCHI (S.) and INUTAKE (M.)	IAGODOVSKAIA (T.V.) Voir TEMKO (S.W.)
Electrical conductivity of high-	IBADOV (S.) On the formation of
density, shock-heated Ar and Xe plasmas	plasma carbon component in the hollow cathode anomalous glow dis-
HATFIELD (L.L.), HARJES (H.C.),	charge C7-173
KRISTIANSEN, GUENTHER (A.H.) and SCHONBACK (K.H.) Laser fiber optic breakdown of a pulse charged 90 % Ar - 10 % N <sub>2</sub> gas switch C7-483	ICHIRO MORI, LEPPERT (H.D.) and WIESEMANN (K.) Characteristics of spatial wave echoes at the lo-
HAUG(R.) Voir BUCHET (G.) C7-327	wer hybrid branch C7-555
HAUSCHILD (W.) and MOSCH (W.)	IDO (K.) Voir SUGAI (H.) C7-703
Reasons for the dispersion of break- down voltages in SF <sub>6</sub>	IH (C.S.) Voir KOPEIKA (N.S.) C7-755 IKEZAWA (S.) and NAKAMURA (Y.) A
HAVELKO (O.) and VAVRA (Z.) Quantitative analysis of interaction	physical picture of the higher- order Landau modes of electron plasma wave
between a high-pressure plasma co- lumn and surrounding liquid C7-291	ILJUKHIN (B.I.) Voir GIPPIUS
HAYASHI (M.) Monte Carlo simulation	(E.F.) C7-871
of electron avalanche in hydrogen C7- 45	IMAZU (S.), FUJITA (H.), MIURA (K.). and TAKAMATSU (T.) Nonlinear
HEISEN (A.) Voir BERGER (E.) C7-191	effect of the ionization waves on
HELM (H.) Voir GRÖSSL (M.) C7- 51	the temperatures charged particles in a magnetized positive column . C7-153
HEYLEN (A.E.D.) Electron molecule collision frequencies from break-down data in a crossed magnetic field for ethane gas	IMASAKI (K.), MIYAMOTO (S.), HIGAKI (S.), NAKAI (S.), NISHIHARA (K.) and YAMANAKA (C.) An evidence of
HIGAKI (S.) Voir IMASAKI(K.) C7-779	anomalous deposition of REB ener- gy to the low Z target C7-779
HIMMEL (G.) and SOWA (L.) A method	IMIZU (S.) Voir SHINDO (H.) C7-259
of estimating the level of collective electric field fluctuations	INABA (T.) Voir SHINDO (H.) C7-259
in a nonthermal plasma with a two-	INUTAKE (M.) Voir HASHIGUCHI (S.) C7-681
temperature electron gas C7-837	INUTAKE (M.), SUZUKI (K.) and FUJI-
HINES (K.C.) Voir FRANKEL (N.E.) . C7-513	WAKA (S.) Sound velocity in me-
HOFFMANN (P.), HUGEL (H.), SCHALL (W.) and SCHOCK (W.) Microwave	tal-nonmetal transition region of high pressure mercury plasmas C7-685
discharge in a supersonic flow C7-489	IRIE (M.) Voir JONES (G.R.) C7-269

IVANOV (V.G.) Voir BAKSHT (F.G.). C7-339	KAWAMOTO (S.) Voir AMEMIYA (H.) C7-389
IVANOV (A.A.) Voir WINKLER (R.) . C7-131 IVANOV (A.A.) Voir WINKLER (R.) . C7-261 JANEV (R.K.) Voir GROZDANOV (T.P.)C7- 71 JANOS (W.A.) Thomson-like RF scat-	KCHUZEEV (A.P.), KOROLEV (Yu.D.), KUZMIN (V.A.), MESYATS (G.A.), ROTSHTEIN (V.P.) and SHEMYAKIN (I.A.) - High-current diffuse discharge with the explosive cathode
tering by small overdense plasma particles	process
JAROSZ (J.) VOIR CHERON (B.) C7-847  JASINSKII (V.M.) VOIR GUDELEV  (V.G.) C7-865	KEKEZ (M.M.), LOUGHEED (G.D.) and SAVIC (P.) Shock waves in spark channels, part II C7-257
JAYARAM (K.) and TSUI (K.H.) Par- ticle distributions in metal va- pour-rare gas arc discharges C7-275 JOHNSON (D.J.) Voir BURNS (E.J.T.)C7-775	KERVALISHVILI (N.A.) and KORTKHONJIA (V.P.) Ionization average frequency in anode sheath of penning type high-voltage discharge C7-111
JONES (G.R.), SMITH (M.R.), IRIE (M.), WALMSLEY (H.L.) and STRACHAN (D.C.) The correlation of local voltage and cross-sectional areas for very high current gas blast	KHAKIMOV (F.K.H.) and TSYTOVICH (V.N.) On the example of fast Langmuir solitons existence in non- equilibrium plasma
arcs in air and SF <sub>6</sub> C7-269	KHANNEH (A.S.) Voir GODYAK (V.A.) C7-147
JULEA (Th.) Voir APOSTOL (I.) C7-765  JURENKA (H.) Voir BARRETO (E.) C7-301  KAFROUNI (H.) Voir GLEIZES (A.) . C7-235	KHIET (Tu.) Ion tail formation and saturation of the ion-acoustic instability C7-605
KAFROUNI (H.), GLEIZES (A.) and DANG DUC (H.) Difference between elec- tron temperature and heavy parti- cles temperature in arc plasma C7-237	KHODNENKO (V.P.), SHISHKIN (G.G.) and TRIFONOV (Ju.V.) Analysis of the H.F. drift instability onboard "meteor" satellite C7-717
KAGAN (Yu.M.) Voir DOTHAN (F.) C7-127	KHODZHAEV (A.Z.) Voir BOGDANOV
KAGAN (Yu.) Voir LUDMIRSKY (A.) . C7-373	(S.Yu.) C7-221
KALACHEV (N.V.) Voir GRIBKOV (V.A.) C7-763	KIDRASOV (F.Kh.) Excitation of magnesium atoms in hollow cathode discharge
KAMIŃSKA-PRANKE (A.) Voir KRÓLI-	KIEFFER (P.) Voir DROUET (M.G.) . C7-437
KOWSKI (Cz.)	KIMBLIN (C.W.), HOLMES (F.A.), GOR-MAN (J.G.) and SLADE (P.G.) Extinction of a vacuum arc by application of a transverse magnetic field
RASULOV (F.N.) and YURIEV (V.G.) Kinetic of negative grid pulse influence upon discharge palsma . C7-495	KIOBUKOWSKA (J.) and BRZOSKO (J.S.) Note on the self-sustaining
KARCHER (T.) Voir KOPEIKA (N.S.) C7-755	creep discharges in gas at the dielectric surface C7-469
KARCHEVSKY (A.I.) Voir GORBUNOBA (E.F.)	KIRK (J.G.) Declaration of a fast ion in an accretion column C7-705
"Mass-diffusion" mechanism of isotope separation in gaseous discharge system with travelling magnetic field	KIRK (R.E.) Voir FORREST (M.J.) . C7-745  KISELEVSKII (L.I.), KLYGIN (N.Ya.),  MAKAREVICH (A.N.) and SOLOVIYAN- CHIK (D.A.) Effect of discharge
KAREV (S.A.) Voir GERASIMOV (V.P.)C7-647	radiation on electrode processes
KARFIDOV (D.M.) Voir ARUTYUNYAN	in hellium
(S.G.) C7-219	
KASATKINA (M.P.) Voir BUTSEV (V.A.)	KLIMKIN (V.M.) Voir BOKHAN (P.A.) C7-115 KLIMKIN (V.F.) and PICKALOV (V.V.)
KASSABJI (F.) and FAUCHAIS (P.)  Heat transfer and flow in a hydro- gen plasma reactor C7-321	Optical interferometry of pulsed micro-discharges C7-329
KAUFMAN (Y.), AVIVI (P.) and DOTHAN (F.) Ion clusters in the posi- tive column of He-Co and Ar-Co discharges	KLOPOVSKY (K.S.), LOPANTSEVA (G.B.) PAL (A.F.), PERSIANTSEV (I.G.) and STAROSTIN (A.N.) Peculiarities of pulsed non-self-sustained dis- charges in mixtures containing

KLOSE (J.Z.) Voir OTT (W.R.) C7-803	KOSHILEV (N.A.), STROKIN (N.A.) and
KLOSS (H.G.) Voir BEYER (H.) C7-325	SHISKO (A.A.) Some properties of interaction of magnetic piston with
KLUCHAREV (A.N.), LAZARENTO (A.V.) and VUJNOVIC (V.) The ionization	non-magnetized plasma C7-721 KOSTROV (A.V.) - Voir BRIZHINEV
rate coefficients for some radia- tively excited rubidium states C7-87	(M.P.) C7-867
KLYGIN (N.Ya.) Voir KISELEVSKII (L.I.) C7-465	KOSTYLEV (A.A.), LONDER (J.I.), TERENTYEV (A.P.), ULYANOV (K.N.)
KOCH (H.) Voir EICHLER (H.J.) C7-379	and FEDOROV (V.A.) On the mecha- nism of glow discharge instability
KOCIAN (P.), MAYOR (J.M.) and BOUR- QUARD (S.) Some properties of the low-pressure discharge in	following the turn-off a non-self- sustained ionization source C7-367
silane C7-169	KOSTYLEV (A.A.), PEREVODCHIKOV (V.I.) TERENTYEV (A.P.), ULYANOV (K.N.)
KOCIAN (P.) Voir BOURQUARD (S.) . C7-385	and FEDOROV (V.A.) Investigations of instabilities in a non-self-
KOLEDIN (D.) Voir DIMITRIJEVIC (M.S.) C7-825	sustained repetitively pulsed discharge
KOGELSCHATZ (U.) Voir ELIASSON (B.) C7-271	KOTEROV (V.N.) Voir ALEXANDROV (V.V.) C7-357
KOL'CHUGINA (I.A.), LITVAK (A.G.), FEDOSEEVA (T.N.) and FRAIMAN (G.M.). Modulational instability of Langmuir oscillations in the field of an electromagnetic	KOVAL (N.N.), KREINDEL (Yu.E.) and SHANIN (P.M.). The arc discharge of low pressure with two constrited channels and the anode plas-
wave	ma of large cross-section C7-481 KOVALEV (A.S.) Voir VASILIEVA
KOLESNIKOV (V.N.) Voir GIPPIUS (E.F.) C7-871	(A.N.)
KOLESOV (G.V.) Voir AVERIN (V.I.) C7-875	KOVALEV (V.F.), PUSTOVALOV (V.V.), ROMANOV (A.B.) and STEPHAN (V.)
KOLEVA (I.) Voir PETRAKIEV (A.) . C7-845	Turbulent plasma in the field of intense high frequency radiation . C7-609
KOLYSHKIN (I.N.) Voir BABANIN (V.I.) C7-201	KOVALEV (A.S.), POPOV (A.M.) and
KONARZEWSKI (A.) Voir BRZOSKO (J.S.) C7-471	RAKHIMOV (A.T.) On the mechanism of breakdown of gases by the emission from a CO <sub>2</sub> laser near a
KONDAKOV (A.A.) Voir BURTSEV (V.A.) C7-387	metal surface
KONDRASHOVA (L.I.) Voir AVERIN	(A.A.) C7-459
(V.I.) C7-875  KONJEVIC (N.) Voir DIMITRIJEVIC	KOVITYA (P.), LOWKE (J.J.) and STOKES (A.D.) Theory of arc clogging in
(M.) C7-815	nozzles
KONOV (V.I.) Voir APOSTOL (I.) C7-765	KOZLOV (N.P.), NORMAN (G.E.) and
KONRAD (M.) Voir HRABOVSKY (M.) . C7-293 KOOPMAN (D.), GREIG (J.), PECHACEK	PROTASOV (Yu.S.) Superradiation from non-ideal plasmas in elec-
(R.), ALI (A.), VITKOVITSKY (I.) and FERNSLER (R.) CO <sub>2</sub> laser pro-	tric field
duced channels for guiding long	KOZLOVA (T.A.) Voir GRIBKOV (V.A.) C7-763
sparks in air	KRALKINA (E.A.) Voir VOLKOVA (L.M.)C7-231 KRASA (J.) Voir SKÄLA (J.) C7-587
KOPEIKA (N.S.), KARCHER (T.) and IH (C.S.) Effects of space	KRASOV (V.I.) VOIT SKALA (U.) C/-58/
charge on the "Effective cross-section" C7-755	(A.T.) C7-723
KORGE (H.) Voir LAAN (M.) C7-351	KREINDEL (Yu.E.) Voir KOVAL (N.N.) C7-481
KOROLEV (Yu.D.) - Voir KCHUZEEV	KRISTIANSEN (M.) Voir MIKKELSON
(A.P.)	(K.) C7-401 KRISTIANSEN (M.) Voir HATFIELD
KORTKHONJIA (V.P.) VOIR KERVALISH- VILI (N.A.) C7-111	(L.L.) C7-483
KOSHILEV (N.A.), STROKIN (N.A.),	KRISTIANSEN (M.) CHU (E.) C7-747
SHISKO (A.A.) and MIKHALEV (A.V.)  - Application of the magnetic	KRÓLIKÓWSKI (Cz.), KAMIŃSKA-PRANKE (A.) An attempt to describe
flux plasma trap to generation of current sheets in a rarefied plas-	voltage-current characteristics of an arc when utilizing equations of
ma C7-507	magnetohydrodynamics C7-353

	TANDA (D.C.) and DONOMADEN (VII IV ) -
KTITOROV (V.I.) Voir VASILIEVA (A.N.)	LANDA (P.S.) and PONOMAREV (Yu.V.) Influence of the metastable atoms lifetime on the running striation
KUBALA (A.) Voir DELVAUX (J.) C7-785	excitation C7-223
KUDU (K.) Voir LAAN (M.) C7-351	LANG (S.) Voir GUNTHER (K.) C7-679
KUHN (S.) Voir FANG (M.T.C.) C7-579 KUHN (S.) Voir SCHRITTWIESER (R.) C7-581	LANGDON (A.B.) Nonlinear inverse bremsstrahlung and heated electron
KULIK (P.P.) Voir VOROBIOV (V.V.) C7-693	distributions C7-731
	LANGENWALTER (M.) Voir GRÖSSL (M.) C7- 51
KUPLIAUSKIENE (A.V.) and KUPLIAU- SKIS (Z.J.) Rayleigh and Comp- ton scattering cross-sections of	LARIGALDIE (S.) Linear gliding discharge over dielectric surfaces C7-429
X-rays by oxygen ions C7-853	LAROUR (J.) Voir LEYCURAS (A.) C7-683
KUPLIAUSKIS (Z.J.) Voir KUPLIAU- SKIENE (A.V.)	LAVAL (G.) Voir ADAM (J.C.) C7-671  LAZARENKO (A.V.) Voir KLUCHAREV
KURALOVA (A.V.) Voir VOLKOVA (L.M.) C7-231	(A.N.) C7- 87  LAZAREV (V.B.) - Voir TISHCHENKO
KURUNOV (R.F.) Voir BURTSEV (V.A.) C7-387	(E.A.)
KUSWA (G.W.) Voir BURNS (E.J.T.) . C7-775	LAZAREV (V.B.) Voir ZATSEPIN (V.G.)C7-857
KUTEEV (B.V.), SMIRNOV (A.S.) and ZHILINSKY (A.P.) Application of	LEBEDEV (N.V.) Voir ALTYNTSEV (A.T.)
RF discharge with rotating elec-	LEBEDEV (V.V.) Voir AVERIN (V.I.) C7-875
tric field for excitation of CO <sub>2</sub> laser C7-395	LECLAIR (J.) Voir ROSADO (R.J.) C7-285
KUZELEV (M.V.) Voir BOGDANKEVICH	LEEPER (R.J.) Voir BURNS (E.J.T.) C7-775
(L.S.) C7-783	LE GROUPE DE RECHERCHES DE SAINT-
KUZMIN (V.A.) Voir KCHUZEEV (A.P.) C7-281	PRIVAT-D'ALLIER Recherches sur
KUZMIN (S.K.) Voir TEMKO (S.W.) C7-433	la foudre en France
KUZMIN (S.K.) Voir TEMKO (S.W.) C7-677  KUZNETSOV (N.M.) Voir GOLUBKOV	LEMBEGE (B.) Theoretical method for predicting the properties of cyclotron harmonic waves from the per-
(G.V.) C7- 89	pendicular dispersion C7-615
KUZNETSOV (V.I.) Voir BABANIN           (V.I.)	LEMPERIERE (G.) Voir FOURRIER (C.) C7-819
KUZNETSOV (V.I.) Voir ENDER (A.Ya) C7-523	LENAERTS (J.) Voir WIEME (W.) C7- 37
KUZOVNIKOV (A.A.), KOVALEVSKII (V.L.) SAVINOV (V.P.) and YAKUNIN (V.G.)	LENGYEL (L.L.) Effect of transport processes on tokamak refueling by pellet injection C7-529
The investigation of physical properties of the near electrode	LE NY (R.) Voir BOULLOUD (A.) C7-241
region of HF discharge C7-459	LEPPERT (H.D.) Voir ICHIRO MORI C7-555
KUZOVNIKOV (A.A.) Voir ERSHOV	LEPRINCE (P.) Voir CICCONI (G.) C7-827
(A.P.)	LERGON (H.G.) and MULLER (K.G.) Positive ion extraction by an
The field strength and electron density calculations for the coro-	anodic orifice probe C7-821
na pulses C7-351 LABAT (J.M.) Voir DJENIŽE (S.) C7-47	LESAGE (A.), RICHOU (J.), CHARIL (P.) and COMBIER (M.) An unambiguous
LABAT (0.) Voir LABAT (J.M.) C7- 9	methode of electron density measu- rement in a shock-generated plasma
	using a laser interferometer C7-805
LABAT (J.M.), VUĶIČEVIČ (J.), LABAT (O.) and DJENIŽE (S.) Line radia-	LESNEVSKY (L.N.) Voir EGOROV (I.I.)C7-349
tion of argon plasma in early	LEVEAU (J.) Voir VALIGNAT (S.) C7- 7
LAFON (J.P.J.) On plasma sheath	LEVINE (J.S.) and CRAWFORD (F.W.) Fluid theory of plasma double-
problems	layers
LAGAR'KOV (A.N.) and SARYCHEV (A.K.)  The conductivity of dense caesium plasma near the saturation line	LEYCURAS (A.) and LAROUR (J.) General expression of the drift velocity of excess electrons in dense fluid argon C7-683
LAKDAWALA (V.K.) Voir MORUZZI	LIN (J.) Voir MIKKELSON (K.) C7-401
(J.L.)	LINDBERG (L.) and TORVEN (S.) Some
LAKICEVIC (I.) Voir PURIC (J.) C7-795	Characteristics of an electric
LAKICEVIC (I.) Voir PURIC (J.) C7-835	double layer in a magnetized plas-

LINDINGER (W.) Voir ALGE (E.) C7- 83	LOWKE (J.J.) Voir KOVITYA (P.) C7-299
LINDINGER (W.) Voir PESKA (K.) C7- 21	LUCHES (A.), NASSISI (V.), PERRONE
LINHJELL (D.) Voir SIGMOND (R.S.) C7-323	(A.) and PERRONE (M.R.) Excita-
LIPATOV (N.I.) Voir BELYANKO (A.E.)	tion of 3 <sup>3</sup> P level of He and 4 <sup>2</sup> F level of He <sup>+</sup> with electron beamsC7-67
LIPEROVSKY (V.A.) Voir LIVSHITS (M.A.)	LUDMIRSKY (A.), COHEN (CH.) and KAGAN (Yu.) Kinetic process in non-heated copper vapour laserC7-373
LIPEROVSKY (V.A.) Voir VOLOSE- VICH (A.V.)	LUKASHENKO (V.I.) Formation of $K_2(A'\Sigma_n^+)$ molecules caused by
LIPEROVSKY (V.A.) Voir VOLOSE- VICH (A.V.)	K(4P) atoms in potassium dis- charge
LITVAK (A.G.) Voir GIL'DENBURG (V.B.) C7-215	LU QUAN-KANG A generalized ohm's law of unsteady state in partial-ly ionized gases
LITVAK (A.G.) Voir KOL'CHUGINA (I.A.) C7-629	LU QUAN-KANG and CHEN ZHI-FAN On
LITVAK (A.G.), MIRONOV (V.A.) and FEIGIN (A.M.) Modulation instability and plasma electrodynamic cha-	some properties of anisotropic plasmas
racteristics	SELI (H.L.) and RASMUSSEN (J.J.) - Interaction between solitary
SHAKHOVA (N.A.) Self-action of quasi-optical beams in a magneto-	structures in a magnetized, plas- ma-loaded waveguide C7-567
plasma C7-637 LIVSHITS (M.A.), LIPEROVSKY (V.A.),	LYNOV (J.P.), MICHELSEN (P.), PÉC- SELI (H.L.), RASMUSSEN (J.J.) and
TOMOZOV (V.M.) and TSYTOTICH (V.N.) The strong ion acoustic turbu-	SUGAI (H.) Nonlinear waves in a magnetized plasma waveguide C7-571
lence and the electron spectrum in an electric fields C7-627	MACHABELI (G.Z.)Voir LOMINADZE (J.G.) C7-713
LIVSHITS (M.A.) Voir VOLOSEVICH (A.V.)	MACHABELI (G.Z.) and USOV (V.V.) A plasma model of crab nebula and
LIVSHITS (M.A.) Voir VOLOSEVICH (A.V.)	pulsarNp0532 radiation in roent- gen and gamma ranges C7-715
LOEB (H.W.) Voir FREISINGER (J.)C7-477	MAFTOUL (J.) Voir BUCHET (G.) C7-327
LOMINADZE (J.G.), MACHABELI (G.Z.) and MIKHAILOVSKY (A.B.) Relati-	MAKABE (T.) and MORI (T.) Electron swarn having an anisotropic velocity distribution function
vistic electron-positron plasma quasi-linear relaxation at the presence of magnetic bremsstrah-	MAKAREVICH (A.N.) Voir KISELEVSKII (L.T.) C7-465
lung C7-713	MAKASHIN (I.N.) Voir ZILTSOV (V.A.)
LONDER (J.I.) A current-voltage characteristic of non-self-main-	MALTSEV (A.N.) Voir BOKHAN (P.A.). C7-115
tained discharge C7-203	MANFRED (F.) About the generation
LONDER (J.I.) Voir KOSTYLEV (A.A) C7-367	of a "Resultant drift in wards" from the boundary of a D-T-plasma
LONDER (J.I.), MENAHIN (L.P.) and ULYANOV (K.N.) Efficiency of excitation of rotational and vi-	by electromagnetic fields C7-527 MAREC (J.) Voir CICCONI (G.) C7-827
brational levels in a nitrogen molecule	MARGOLIN (L. Ya.), PYATNISKII (L.N.)
LONDER (J.I.) Voir PROZOROV (E.F.) C7-863	and SHTERNOV (N.P.) Low-tempera- ture plasma investigations by reso-
LOPANTSEVA (G.B.) Voir KLOPOV- SKY (K.S.)	nance Rayleigh scattering of weak intensity radiation
LOPANTSEVA (G.B.), PAL' (A.F.),	MÄRK (T.D.) Voir GRÖSSL (M.) C7-51
PEREVOZNOV (A.F.), PERSIANTSEV (I.G.) and STAROSTIN (A.N.)	MÄRK (E.) Voir SCHRITTWIESER (R.).C7-581 MARKOV (V.S.) Voir BOGDANOV
Effect of gas purity on the current of a non-self sustained discharge in nitrogen C7-499	(S.Yu.) C7-221 MARKOV (G.A.), MIRONOV (V.A.) and
LOS (J.) Voir MASSMANN (P.) C7-435	SERGEEV (A.M.) Self-trapping of
	lower hybrid waves at the RF break-
LOUGHEED (G.D.) Voir KEKEZ (M.M.) C7-257	down of gas
LOUIS-JACQUET (M.) Voir THIELL (G.) C7-877	MARODE (E.) Voir SEGUR (P.) C7-539
LOWKE (J.J.) Voir BRAGLIA (G.L.). C7-17	MARODE (E.) Voir TRAN NGOC AN C7-533

POPOVIC (M.M.) On the modification of the quantum defect method applicable to dense plasmas C7-689  MIKHAILOVSKY (A.B.) Voir LOMINADZE
(J.G.)
(N.A.)
MIKKELSEN (T.) and PECSELI (H.L.) Strong turbulence in partially ionized plasmas
MIKKELSON (K.), KRISTIANSEN (M.), LIN (J.) and THOMPSON (J.)
Electro-optical measurements of insulator surface flashover in
vacuum C7-401 MILANICH (A.I.) Voir BASOV (N.G.). C7-393
MILANICH (A.I.) Voir GLOTOV
(E.P.) C7-371 MILANTIEV (V.P.) and MIROSHNIKOV
(A.G.) Drift motion of charged particle in resonance conditions C7-611
MILANTIEV (V.P.) and SAIKA (P.) Quasioptics in anisotropic and
dispersive media
MILEY (G.H.) Voir PRELAS (A.M.) C7-391
MILIC (B.) Voir PAVLOVIC-BRAJUS- KOVIC (N.)
MILIC (B.S.) Voir ZIGMAN (V.J.) C7-589
MILJEVIĆ (V.I.) A spectroscopic study of the DC gas magnetron dis-
charge C7- 61
MILLER (V.A.) Voir AVERIN (V.I.) C7-875 MIN'KO (L.Ya.) Voir BAKANOVICH
(G.I.) C7-761
MINOO (H.) Voir GOMBERT (M.M.) C7-695
MINOO (H.), GOMBERT (M.M.) and DEUTSCH (C.) Two particle ef- fective potential of a dense hy- drogeneous plasma
MIRONOV (V.A.) Voir LITVAK (A.G.). C7-635
MIRONOV (V.A.) Voir MARKOV (G.A.). C7-639
MIROSHNIKOV (A.G.) Voir MILANTIEV
(V.P.) C7-611 MITROFANO (N.K.) Voir DYUZHEV
(G.A.)
MIURA (K.) Voir IMAZU (S.) C7-153
MIX (L.P.) Voir BURNS (E.J.T.) C7-775
MIYAMOTO (S.) Voir IMASAKI (K.) C7-779
MOHAMAD (S.Z.) and PETKOV (A.P.) Use of time-resolving high resolu- tion spectroscopy in the investiga- tion of pulse hollow-cathode dis- charges
MOITY (J.) Experimental determina-
tion of FeII Gf-values C7-709 MOLDOVAN (M.) Voir APOSTOL (I.) C7-765
MOLDOVAN (M.) VOIT APOSTOL (I.) C7-765 MOLDOVAN (C.) VOIT POPA (G.) C7-187
MOLINARI (V.G.) Voir BOFFI (V.C.). C7-535
MOLINARI (V.G.) VOIR BOFFI (V.C.). C7-535

MOLL (R.) and SCHADE (E.) Measu- rements at current zero in a SF <sub>6</sub>	NEIGER (M.) Theoretical study of negative absorption for H- affi-
gas blast breaker C7-309	nity radiation C7-381
MORALES (E.) Voir BAYLE (P.) C7-249	NEIGER (M.) Voir SCHMITT (J.) C7-279
MOREIRA (A.M.) Voir ABECASIS (T.M.) C7-701	NEUFELD (C.R.) Interaction of a TEA-CO <sub>2</sub> laser pulse with a dense
MORJAN (I.) - Voir APOSTOL (I.) C7-765	hydrogen plasma
MORI (T.) Voir MAKABE (T.) C7- 43	NEUSTROEV (S.A.) Voir ZORINA (E.N.) C7-473
MOROZOV (I.I.) and TALROSE (V.L.) Molecular dissociation on bombar-	NICOLAS (A.) Voir DELVAUX (J.) C7-785
dment by electrons of an energy	NICULESCU (N.) Voir MUSA (G.) C7-137
lower than the ionization poten-	NIKI (H.) Voir SUGAI (H.) C7-703
MORUZZI (J.L.) Voir ABDEL-SALAM	NIKOLAEV (A.V.) Voir RYKALIN (N.N.) C7-229
(M.) C7- 53	NIKULIN (V.Ya.) Voir GRIBKOV (V.A.) C7-763
MORUZZI (J.L.) Voir COXON (P.A.). C7-117	NISCONEN (I.S.) Voir WAGNER (S.D.). £7-209
MORUZZI (J.L.) and LAKDAWALA (V.K.)	NISHIHARA (K.) Voir IMASAKI (K.) C7-779
Electron attachment in SO2 C7- 11	NISHIJIMA (K.) Voir AKAZAKI (M.) C7-145
MOSCH (W.) Voir HAUSCHILD (W.) C7-251	NOBUAKI IKUTA Voir HARUO ITOH C7-445
MOUGET (G.) Voir HUBERT (P.) C7-421	NORMAN (G.E.) Voir KOZLOV (N.P.) C7-675
MUIR (D.G.) and CAROLAN (P.G.) Faraday rotation applied to a	NOVIKOVA (K.P.) Voir PROZOROV (E.F.) C7-863
reverse field pinch	NUMANO (M.) and ONISHI (H.) Exci- tation temperature of a rapidly ,
MÜLLER (K.G.) Voir LERGON (H.G.). C7-821	varying plasma C7- 49
MULLER (S.) Voir ZAHN (R.J.) C7-319	OBUKHOV (V.A.) Voir GERASIMOV
MUROMKIN (Yu.A.) Voir GORBUNOVA (E.F.) C7-211	(V.P.)
MUSA (G.) Voir BALTOG (A.), C7-455	OCHIROV (B.D.) Voir MUSHER (S.M.). C7-649
MUSA (G.) Voir BALTOG (A.) C7-457	OEPTS (D.), BARBIAN (E.P.) and BUSCH (P.J.) Measurement of elec-
MUSA (G.), POPESCU (A.) and NICU- LESCU (N.) Positive column cons-	tron density and temperature profi- les by means of multiposition Thom-
triction in cesium plasma discharge	son scattering
	OHEBSIAN (D.), SADEGHI (N.), TRASSY (C.) and MERMET (J.M.) Argon-
MUSIL (J.) Voir BARDOS (L.) C7-449	titanium hollow cathode afterglow. C7- 99
MUSHER (S.M.), OCHIROV (B.D.) and RUBENCHIK (A.M.) On nonlinear	ØIEN (A.H.) A plasma kinetic equa- tion including strong fields and
stage of parametric instabilities of waves excited by localized	inhomogenities
pumping C7-649	ONISHI (H.) Voir NUMANO (M.) C7- 49
MUSTAFAEV (A.S.) Voir BABANIN	ORHAM (E.L.) Voir BRADLEY (L.P.) C7-307
(V.I.)	OSIPOV (V.V.) Voir BICHKOV (Yu.I.).C7-161
NAGEL (D.J.) Voir BLEACH (R.D.) C7-749	OJRINGEL (I.M.) Inverted population
NAIDIS (G.V.) and SINELSHIKOV (V.A.) Determination of quenching	of hydrogen atoms in a turbulent cosmic plasma
cross section of resonant Cs(6P)	OTT (W.R.), BRIDGES (J.M.) and KLOSE
state by CO <sub>2</sub> molecules in dis- charge in He-CO <sub>2</sub> -Cs	(J.Z.) The use of gas discharges as ultraviolet radiometric stan-
NAIDU (M.S.) Voir RISBUD (A.V.) C7- 77	dards C7-803
NAKAI (S.) Voir IMASAKI (K.) C7-779	OX (S.N.) Voir GODYAK (V.A.) C7-807
NAKAMURA (Y.) Voir IKEZAWA (S.) C7-573	OX (S.N.) Voir GODYAK (V.A.) C7-809
NASSISI (V.) Voir LUCHES (A.) C7- 67	PAFFENHOLZ (J.) Voir EICHLER
NASTITCH (J.N.) Voir POKROVSKAJA- SOBOLEVA (A.S.)	(H.J.)
NAUMOVETS (V.G.), PASECHNIK (L.L.)	BALESCU (R.) C7-511
and VAGOLA (V.V.) Anomalous con-	PAL (A.F.) Voir KLOPOVSKY (K.S.) C7-343
ductivity of low pressure HF dis- charge in magnetic field C7-207	PAL'(A.F.) Voir LOPANTSEVA (G.B.). C7-499
NEHMZOW (B.), RUTSCHER (A.) and WAGNER (H.E.) Dissociation of	PAL (A.F.), PERSIANTSEV (I.G.), PETRU- SHEVITH (Yu.V.) and STAROSTIN (A.N.) On the peculiarities of passage
water vapour in the hollow cathode glow discharge	of a low-current electron beam

PESEIC (S.S.).— Parametric decay of C7-53 PARENEWN (V.V.).— Voir ALTYNTSEV (A.T.).— Voir SEGUR (P.).— C7-53 PAREATHUNEW (S.S.).— Voir SEGUR (P.).— C7-53 PAREATHUNEWN (S.S.).— Voir SEGUR (P.).— C7-53 PAREATHUNEWN (S.S.).— Voir NAUMOUTS (V.C.).— High free and SWALL (I.L.). ROWANYUK (I.T.).— High free and SWALL (I.L.).— ROWANYUK (I.T.).— STABILITY of the non-linear periodic waves in plasma. C7-619 PARLIENNE (V.P.).— Voir EELVANKO (A.E.).— Voir SABININ (P.).— Voir EARONNET (J.M.).— C7-417 PERKOV (W.P.).— Voir RABRONNET (J.M.).— C7-427 PARLICUTC—BRAJUSKOVIC (N.) and MILIC (B.).— Three precision of the properties of high pressure discharge (C7-335 PARLICUTC—BRAJUSKOVIC (N.).— C7-427 PARLICUTC—BRAJUSKOVIC (N.).— C7-427 PARLICUTC—BRAJUSKOVIC (N.).— C7-435 PARLICUTC—BRAJUSKOVIC (N.).— C7-435 PARLICUTC—BRAJUSKOVIC (N.).— C7-435 PERCENCLE (R.).— Voir FORREST (M.).— Voir FORREST (M.).— Voir FORREST (M.).— Voir LINNOV (J.P.)— C7-545 PECESELI (H.L.).— Voir INNOV (J.P.)— C7-547 PECESELI (H.L.).— Voir INNOV (J.P.)— C7-549 PEC	PALLO (A.V.) Voir VOROBIOV (V.V.).C7-693	PESCA (K.) Voir ALGE (E.) C7- 83
AREATHUNEY (S.) Voir SEGUR (P.). C7-539 PAREATHUNEY (S.) Voir NAUMOVETS (Y.G.) - NOMENTUX (L.I.) PAREATHUNEY (N.Y.) - High free- mages SVAILINY (N.Y.) - Work BELYANKO (A.E.) - C7-619 PASHINN (V.P.) - NOIR BELYANKO (A.E.) - Voir SAILINY (J.M.) - C7-621 PANLLONKO (V.P.) and PETIASHVILI (V.I.) - Stability of the non- linear periodic waves in plasma . C7-621 PANLLONY (E.) - Voir BABONNET (J.M.) - C7-447 PANLOYIC-BRAJUSKOVIC (N.) and HILLIN (C.) - Voir LABADNINET (J.M.) - C7-447 PANLOYIC-BRAJUSKOVIC (N.) and HILLIN (S.) - Voir WARMAD (S.C.) - C7-67 PANLONY (E.) - Voir KOOPMAN (D.) - C7-67 PANLONY (E.) - Voir KOOPMAN (D.) - C7-67  PERACOK (N.J.) - Voir KOOPMAN (D.) - C7-67  PERACOK (N.J.) - Voir KOOPMAN (D.) - C7-67  PERECELL (H.L.) - Voir LIVNOV (J.P.) - C7-567  PECESELI (H.L.) - Voir LIVNOV (J.P.) - C7-567  PECESELI (H.L.) - Voir LIVNOV (J.P.) - C7-567  PECESELI (H.L.) - Voir LIVNOV (J.P.) - C7-567  PERECENTRY (V.A.) - VOIR SAILA (J.) - C7-289  PERECENTANCY (V.I.) - VOIR SAILA (J.) - C7-587  PERMONT (C.E.E.) - VOIR LOCANTEES (A.) - C7-67  PERMONT (C.E.E.	PANOV (D.A.) Voir ZILTSOV (V.A.)C7-663	PESIC (S.S.) Parametric decay of lower hybrid waves C7-553
PARSCENIK (L.L.). Voir NAUSAUVES (V.G.). — Graph (V.G.). — Gra	(A.T.)	(H.), STORI (H.) and LINDINGER
PASSCRINK (L.J.), ROMANYOU (P.P.) and SYNTHING (A.E.).  and SYNVIL'NY (N. 16). Fin Higherton gas-discharge planear content of the properties of high pressure discharge (A.E.).  (A.E.).  ACASHININ (P.P.). Voir BELYANKO (A.E.).  (A.E.).  ACASHININ (P.P.). Voir DELYANKO (A.E.).  (A.E.).  ACASHININ (P.P.). Voir BELYANKO (A.E.).  (A.E.).  ACASHININ (P.P.). Voir BELYANKO (A.E.).  (A.E.).  ACASHININ (P.P.). Voir DELYANKO (A.E.).  (A.E.).  ACASHININ (P.P.). Voir DELYANKO (A.E.).  (A.E.).  ACASHININ (P.P.). Voir CORINA (C.C.).  (E.N.).  ACASHINI (V.P.). And PETIASHVILI (T.I.). Voir ZORINA (E.N.).  CA-473  PENALUZU (E.). Voir BARONNET (J.M.).  (E.). Threshold electron drift for the spontaneous excitation of non-electrostatic ion-cyclotron oscillations in weakly ionized plasmas.  (C7-655  PECAGOCK (N.J.). Voir FORREST (M.J.).  (A.F.).  PECAGOCK (N.J.). Voir FORREST (C.).  (A.F.).  PECESELI (H.L.). Voir LYNOV (J.P.) (C7-574  PECESELI (H.L.). Voir LYNOV (J.P.) (C7-575  PECENCE (L.). Voir LYNOV (J.P.) (C7-575  PECENCE (L.). Voir LYNOV (J.P.) (C7-575  PECENCE (L.). (L.). (L.) (L.) (L.) (L.) (L.) (L	PASECHNIK (L.L.) Voir NAUMOVETS (V.G.) C7-207	ged ions with various neutrals C7- 21
beam relaxation in homogeneous gas—discharge plasma () C7-619 gas—discharge plasma () C7-619 (A.E.) Voir BELYANKO (A.E.) C7-619 (A.E.) Voir SELYANKO (V.P.) and PETIASHVILI (V.I.) - Stability of the non-linear periodic waves in plasma. C7-617 (Z.N.) C7-619 (Z.N.) C7-619 (Z.N.) C7-619 (Z.N.) C7-619 (Z.N.) C7-619 (Z.N.) C7-619 (Z.N.) C7-610 (Z.N	PASECHNIK (L.L.), ROMANYUK (L.I.) and SVAVIL'NY (N.Ye) High fre-	tion of Townsend avalanches C7-331
PASSIMIN (P.P.) Voir BELYANKO (A.E.)	beam relaxation in homogeneous	electrodes on the properties of
PECALCEK (R.) Voir EDENKEY (L.) Voir UTRENKEY (L.) Voir DELVAUX (J.) C7-85 PECKACEK (R.) Voir UTRENKEY (L.) Voir MIKKELSEN (T.). C7-87 PECKACEK (L.) Voir UTRENKOV (J.P.) C7-57 PECKACEK (L.) Voir UTRENKOV (H.). C7-287 PECKACEK (L.) Voir UTRENKOV (H.). C7-37 PECKACEK (L.) Voir UTRENKOV (H.) C7-37 PECKACEK (L.) Voir SKALA (J.)		bilities of high pressure dis-
PAVLIASHVILI (T.I.) - Voir ZORINA (E.N.)	(V.T.) - Stability of the non-	PESME (D.) Voir ADAM (J.C.) C7-671
graphic and equidensitometric junctions of the provided sicharge consistent of two discharges and six post of two discharges (R.) Voir BARONNET (J.M.) C7-445 (R.) Voir KOOPMAN (D.) C7-457 (M.J.) - Voir LYNOV (J.P.) C7-557 (M.J.) - Voir WINKELSEN (T.) - Voir MIKKELSEN (T.) - Voir URBÁNKOVA (H.) C7-358 (M.J.) - Voir URBÁNKOVA (H.) C7-359 (M.J.) - Voir URBÁNKOVA (H.) C7-359 (M.J.) - Voir LYNOV (J.P.) C7-569 (M.J.) - Voir WINKELSEN (T.) - Voir WINKELSEN (T.) - Voir URBÁNKOVA (H.) C7-359 (M.J.) - Voir WINKELSEN (M.J.) - Voir LOPANTSE-VA (G.B.) - Voir LOPANTSE-VA (G.B.) - Voir SKALA (J.) - C7-587 (M.J.) - Voir SKALA (J.) - C7-587 (M.J.) - Voir SKALA (J.) - C7-587 (M.J.) - Voir LUCHES (A.) - C7-67 (M.J.) - Voir WINKELSEN (T.) - Voir THEUWS (P.G. A.) - Voir LUCHES (A.) - C7-67 (M.J.) - Voir WINKELSEN (M.J.) - Voir SKALA (J.) - C7-67 (M.J.) - Voir WINKELSEN (M.J.) - Voir SKALA (J.) - C7-589 (M.J.) - Voir WINKELSEN (M.J.) - Voir SKALA (J.) - C7-589 (M.J.) - Voir WINKELSEN (M.J.) - Voir WINKELSEN (M.J.) - Voir SKALA (J.) - C7-589 (M.J.) - Voir WINKELSEN (M.J.) - Voir SKALA (J.) - C7-589 (M.J.) - Voir WINKELSEN (M.J.) - Voir SKALA (J.) - C7-589 (M.J.) - Voir WINKELSEN (	DAVITASHVILI (T.I.) Voir ZORINA	
ded discharge	PAVLOV (E.) Voir BARONNET (J.M.). C7-247	graphic and equidensitometric
non-electrostatic ion-cyclotron oscillations in weakly ionized plasmas	(B.) Threshold electron drift	ded discharge
PARSINES	non-electrostatic ion-cyclotron	(A.F.) C7-345
PECHACEK (R.) Voir KOOPMAN (D.). C7-419 PECSELI (H.L.) Voir LYNOV (J.P.) C7-567 PECSELI (H.L.) Voir LYNOV (J.P.) C7-571 PECSELI (H.L.) Voir LYNOV (J.P.) C7-571 PECSELI (H.L.) Voir MKKELSEN (T.) Voir MKKELSEN (T.) Voir VIBHOLM (S.) C7-289 PECKÄREK (L.) Voir VIBHOLM (S.) C7-289 PECKÄREK (L.) Voir URBÁNKOVA (H.) C7-375 PECKÄREK (L.) Voir URBÁNKOVA (H.) C7-375 PECKÄREK (L.) Voir VIBHOLM (S.) C7-289 PECKÄREK (L.) Voir VIBHOLM (S.) C7-657 PEREVODENHKOV (V.I.) Voir KOSTY- LEV (A.A.)	plasmas	(V.P.) C7-621
PECKALCK (R.) Voir KOOPMAN (D.) C7-419 PECSELI (H.L.) Voir LYNOV (J.P.) C7-567 PECSELI (H.L.) Voir LYNOV (J.P.) C7-571 PECSELI (H.L.) Voir LYNOV (J.P.) C7-571 PECSELI (H.L.) Voir MIKKELSEN (T.)	(M.J.) C7-745	
PERCSELI (H.L.) Voir LYNOV (J.P.) C7-571  PECSELI (H.L.) Voir MIKKELSEN (T.)	PECHACEK (R.) Voir KOOPMAN (D.) C7-419	
PECSELI (H.L.) Voir MIKKELSEN (T.)		PFAU (S.) Voir MICHEL (P.) C7-133
PERENOT (C.E.E.) Voir LUCHES (A.) . C7-499 PERROT (C.E.E.) Voir LUCHES (A.) . C7-499 PERRONE (M.R.) Voir LUCHES (A.) . C7-67 PERRONE (M.R.) Voir LUCHES (A.) . C7-67 PERRIANTSEV (I.G.) Voir LUCHES (A.) . C7-67 PERSIANTSEV (I.G.) Voir LOPANTSE-VA (G.B.) . C7-499 PERSIANTSEV (I.G.) Voir LOPANTSE-VA (G.B.) . C7-499 PERSIANTSEV (I.G.) Voir LOPANTSE-VA (A.A.)		PFAU (S.) Voir MICHEL (P.) C7-157
PERESENSEN (A.) Voir VIBHOLM (S.) C7-329 PERKÁREK (L.) Voir URBÁNKOVA (H.) C7-375 PERKÉMEK (L.) Voir KOSTY- LEV (A.) Restoration of two- dimensional radiation for an opti- cally thick plasma C7-855 PIEL (A.) and A. PINNEKAMP (F.) The role of molecular lines in the study of plasma satellites C7-813 PIETRZYK (Z.A.) Voir BROOKS (R.D.) C7-751 PIGACHE (D.), BONNET (J.), FORT (J.) and FOURNIER (G.) Production of hydrazine from ammonia in an atmospheric pressure electron-beam controlled discharge C7-317 PERRONE (A.) Voir LUCHES (A.) C7-67 PERRIANTSEV (I.G.) Voir KLOPOVSKY (K.S.) C7-343 PERSIANTSEV (I.G.) Voir LOPANTSE- VA (G.B.) C7-345 PERSIANTSEV (I.G.) Voir KLOPOVSKY (T.S.) C7-315 POBERSIANTSEV (I.G.) Voir PAL (A. F.) C7-345 PERSIANTSEV (I.G.) Voir PAL (A. F.) C7-345 PERSIANTSEV (I.A.) Voir PAL (A. F.) C7-345 PERSIANTSEV (I.A.) Voir PAL (A. F.) C7-345 POBERSIANTSEV (I.G.) Voir PAL (A. F.)		
PEKÉAREK (L.) Voir URBÁNKOVA (H.) C7-375  PELLETIER (G.) Renormalization group method applied to large scale Langmuir turbulence	PEDERSEN (A.) Voir VIBHOLM (S.) . C7-289	
dimensional radiation for an optically thick plasma	PEKÁREK (L.) Voir URBÁNKOVA (H.) C7-375	
The role of molecular lines in the study of plasma satellites		dimensional radiation for an opti-
PIERZYK (Z.A.). Voir BROOKS (R.D.) C7-751  PERINA (V.). Voir SKALA (J.) C7-587  PERNOT (C.E.E.). Voir THEUWS (P.G. A.) C7-141  PERRONE (M.R.). Voir LUCHES (A.) C7- 67  PERRONE (A.). Voir LUCHES (A.) C7- 67  PERSIANTSEV (I.G.). Voir KLOPOVSKY (K.S.) C7-343  PERSIANTSEV (I.G.). Voir LOPANTSE-VA (G.B.) Voir LOPANTSE-VA (G.B.) C7-345  PERSIANTSEV (I.G.). Voir PAL (A. F.) C7-345  PERSIANTSEV (I.G.). Voir PAL (A. F.) C7-345  PERSIANTSEV (A.A.). Ion sound dissemination in moving plasma jet C7-645  PERTSEV (A.A.) and SHADOV (V.P.). The experimental study of arc cathode microspots life-time by the velocity microphotography C7-409  PIETZYK (Z.A.). Voir BROOKS (R.D.) C7-751  PIGACHE (D.), BONNET (J.), FORT (J.) and FOURNIER (G.) Production of hydrazine from ammonia in an atmospheric pressure electron-beam controlled discharge C7-315  PIGACHE (D.). Voir FORT (J.) C7-317  PIGACHE (D.). Voir FORT (J.) C7-315  PIGACHE (D.). Voir FORT (J.) C7-317  PIGACHE (D.). Voir FOURNIER (G.). C7-777  PINNEKAMP (F.). Voir PIEL (A.) C7-813  POBERAJ (S.). Propagation of condensation in coronal plasma C7-711  POHLE (G.). Voir SCHMIDT (M.) C7-461  POINTU (A.M.). Voir AUPHELLE (D.). C7-397  POKROVSKAJA-SOBOLEVA (A.S.), BORISUTIN (G.S.) and NASTITCH (J.N.). Studies of discharge phenomena during transition from breakdown in vacuum to break-	PEREVODCHIKOV (V.I.) Voir KOSTY- LEV (A.A.) C7-369	The role of molecular lines in the
PIGACHE (D.), BONNET (J.), FORT (J.) and FOURNIER (G.) Production of hydrazine from ammonia in an atmospheric pressure electron-beam controlled discharge	PEREVOZNOV (A.F.) Voir LOPANTSE-	
DERROT (C.E.E.) Voir THEUWS (P.G. A.)	V	PIGACHE (D.), BONNET (J.), FORT (J.)
Controlled discharge	PERNOT (C.E.E.) Voir THEUWS (P.G.	and FOURNIER (G.) Production of hydrazine from ammonia in an at-
PIGACHE (D.) Voir FOURNIER (G.). C7-777  PINNEKAMP (F.) Voir PIEL (A.) C7-813  POBERSIANTSEV (I.G.) Voir LOPANTSE- VA (G.B.)	PERRONE (M.R.) Voir LUCHES (A.) . C7- 67	controlled discharge
PINNEKAMP (F.).— Voir PIEL (A.) C7-813 POBERAJ (S.).— Propagation of condensation in coronal plasma C7-711 POERSIANTSEV (I.G.).— Voir PAL (A. F.)	PERRONE (A.) Voir LUCHES (A.) C7- 67	PIGACHE (D.) Voir FORT (J.) C7-315
PERSIANTSEV (I.G.) Voir LOPANTSE- VA (G.B.)	PERSIANTSEV (I.G.) Voir KLOPOVSKY	
VA (G.B.)		
PERTSEV (A.A.) - Ion sound dissemination in moving plasma jet C7-645  PERTSEV (A.A.) and SHADOV (V.P.) - The experimental study of arc cathode microspots life-time by the velocity microphotography C7-409  Totals (G.). Voil Schmidt (M.) C7-461  POITEVIN (J.M.) - Voir FOURRIER (C.) C7-819  POKROVSKAJA-SOBOLEVA (A.S.), BORI- SOVA (T.S.), GRISHUTIN (G.S.) and NASTITCH (J.N.) - Studies of discharge phenomena during transition from breakdown in vacuum to break-	VA (G.B.) C7-499	densation in coronal plasma C7-711
POITEVIN (J.M.) Voir FOURRIER (C.) C7-819 POINTU (A.M.) Voir AUPHELLE (D.). C7-397 POKROVSKAJA-SOBOLEVA (A.S.), BORI- The experimental study of arc ca- thode microspots life-time by the velocity microphotography C7-409  POITEVIN (J.M.) Voir FOURRIER (C.) C7-819 POKROVSKAJA-SOBOLEVA (A.S.), BORI- SOVA (T.S.), GRISHUTIN (G.S.) and NASTITCH (J.N.) Studies of dis- charge phenomena during transition from breakdown in vacuum to break-		
PERTSEV (A.A.) and SHADOV (V.P.)  The experimental study of arc cathode microspots life-time by the velocity microphotography C7-409  POKROVSKAJA-SOBOLEVA (A.S.), BORI-SOVA (T.S.), GRISHUTIN (G.S.) and NASTITCH (J.N.) Studies of discharge phenomena during transition from breakdown in vacuum to break-	PERTSEV (A.A.) Ion sound dissemi-	
The experimental study of arc ca- thode microspots life-time by the velocity microphotography C7-409  SOVA (T.S.), GRISHUTIN (G.S.) and NASTITCH (J.N.) Studies of dis- charge phenomena during transition from breakdown in vacuum to break-		
down in gas	The experimental study of arc cathode microspots life-time by the	SOVA (T.S.), GRISHUTIN (G.S.) and NASTITCH (J.N.) Studies of dis- charge phenomena during transition
2 2 2 2 2 2 2 2 2 2 2 2 2 2 2 2 2 2 2 2		down in gas

POLLACHINI (L.) Voir CICCONI (G.)	C7 <b>-</b> 193	PROZOROV (E.F.), LONDER (J.I.), NOVIKOVA (K.P.) and ULYANOV (K.N.) - Prove diagnostic by non-self maintained ionization	C7 <del>-</del> 863
POORTER (T.) Voir VAN DER SIJDE (B.)		PTYTSIN (V.E.) Voir FURSEY (G.N.). PUCHKAREV (V.F.) Voir PROSKOUROV-	C7-403
POPA (G.). The influence of the electron-neutral collisions on the ionization waves in a helium plasma		PURIC (J.), LAKICEVIC (I.) and GLA- VONJIC (V.) Some regularities wi- thin the stark widths and shifits of resonance lines of neutral atoms	
TORU (P.) and MOLDOVAN (C.) Electron beam generation by a hollow cathode discharge	C7-187	PURIC (J.), LAKICEVIC (I.) and GLA-VONJIC (V.) Some regularities	C7-795
POPESCU (A.) Voir MUSA (G.) (POPKOV (V.I.) Voir BOGDANOVA.	C7-137	within the stark widths and shifts of resonance lines of singly char- ged ions from He to Ca	C7=835
(N.B.)		PUTSTOVALOV (V.V.) Voir ALEXANDROV (V.V.)	
		PUSTOVALOV (V.V.) Voir KOVALEV	C1-337
POPOV (G.A.) Voir EGOROV (I.I.)		(V.F.)	C7-609
POPOV (A.M.) Voir KOVALEV (A.S.)		PYATNISKII (L.N.) Voir MARGOLIN	
POPOVA (T.O.) Voir ZORINA (E.N.)	07-473	(L. Ya.)	C7-801
POPOVIC (M.M.) Voir MIHAJLOV (A.):	C7-689	QUEFFELEC (J.L.) Voir GAUCHEREL	
POPOVICI (C.), BALACEANU (M.), CEAUSESCU (N.) and AVRAM (E.)		(Ph.)	
On the characteristics of a high		RADTKE (R.) Voir GÜNTHER (K.)	C7-679
voltage glow discharge		RAKHIMOV (A.T.) Voir VASILIEVA (A.N.)	C7-103
POPOVICS (C.) Voir BENATTAR (R.).	C7-767	RAKHIMOV (A.T.) Voir KOVALEV	
POTANIN (E.P.) Voir KARCHEVSKY (A.I.)		(A.S.),	C7-759
POTS (B.F.M.), COUMANS (J.J.H.) and		RAKITIN (A.A.) Voir VOROBIOV	a7 coo
SCHRAM (D.C.) Collective scatte-		DAVONITOR (T.) - Voir DADONNE	C/-693
ring of CO <sub>2</sub> -laser light by the highgly ionized argon plasma of a		RAKOWITZ (J.) Voir BARONNET (J.M.)	C7-247
hollow cathode arc dis harge	C7-797	RAKOWITZ (J.) Voir COUDERT (J.F.).	C7-355
POTS (B.F.M.) Voir VAN DER MULLEN	C7_222	RAMLER (H.) Voir ALGE (E.)	c7- 83
(J.J.A.M.)	C1-203	RANSON (P.) and CHAPELLE (J) Cal-	
(V.)	C7- 23	culation of the photoionization cross sections of excited levels	<b>43</b> 05
POTS (B.F.M.) Voir VAN DER SIJDE (B.)	C7 <b>-</b> 851	of rare gas atoms	C/- 25
PRELAS (A.M.) and MILEY (G.H.)		RANSON (P.) and CHAPELLE (J.) Calculation of the free-bound continuum of rare gases	C7- 93
Collisional processes in the He-		RASMUSSEN (J.J.) Voir LYNOV	<b>C</b> , 33
laser 1.454 μ (	C7-391	(J.P.)	C7-567
PREOBRAZHENSKY (N.G.) Voir PICKALOV (V.V.)	C7-855	RASMUSSEN (J.J.) Voir LYNOV	C7-571
PREST (A.) Voir EARL (R.G.)	C7-167	RASULOV (F.N.) Voir KAPLAN (V.B.).	C7-495
PRODUNOV (A.B.) Voir BURTSEV	7-485	REINECK (S.) Voir FREISINGER (J.).	C7-477
(V.A.)	C7 403	RIABYI (V.A.) Voir VOROBIOV	
PROKHOROV (A.M.) Voir BELYANKO (A.E.)	c7-505	(V.V.)	
PROKOPIEV (V.E.) - Voir BOKHAN		RICARD (A.) Voir CERNOGORA (G.)	
(P.A.)		RICHOU (J.) Voir LESAGE (A.)	C7-805
PROSKOUROVSKY (D.I.) and PUCHKAREV (V.F.) The effect of non-metal-		RIEDMÜLLER (W.) Voir BAUMHACKER (H.)	c7-743
lic inclusions and films on the cathode on some processes during		RIEMANN (K.U.) Theory of the	
vacuum discharges	C7-411	seath edge in a weakly ionized collision dominated plasma	C7-831
PROTASOV (Yu.S.) Voir KOZLOV		RISBUD (A.V.) and NAIDU (M.S.)	1
(N.P.)	C7-675	Ionization and attachment in water vapour and ammonia	C7- 77

ROGASHKOV (S.A.) Voir ARMAND (N.A.)	RYKALIN (N.N.), NIKOLAEV (A.V.) and BORZHOV (A.P.). Temperature of
ROGASHKOV (S.A.) Voir ARMAND	heavy current cylindrical hollow cathode C7-229
(N.A.) C7-643  ROGASHKOVA (A.I.) Interaction of	RYZKO (H.) Propagation of the lea-
the intense microwave beam with a flow of low temperature plasma.	der of a long spark in air without participation of thermal ionization processes
(Pt.2. The theory)	SADEGHI (N.) Voir OHEBSIAN (D.) C7- 99
ROGASHKOVA (A.I.) and SHATALOVA (T.I.) A theory of the interaction of double-beam with plas-	SADOWSKI (M.) Voir CHYRCZAKOWSKI (S.) C7-741
ma	SAELEE (H.T.), COOKE (M.J.) and
ROGOFF (L.G.) A general characteristic equation for a diffusion-controlled positive column of	ALLEN (J.E.) E-I characteristics of an optically pumped mercury positive column
circular cross section with one-	SAIKA (P.) Voir MILANTIEV (V.P.). C7-613
step and two-step ionization processes	SALK (J.) Voir EICHLER (H.J.) C7-379
ROMANOV (A.B.) Voir KOVALEV	SALVAT (M.) Voir BAUMHACKER (H.). C7-743
(V.F.) C7-609	SALZMANN (D.) and ELIEZER (S.)
ROMANYUK (L.I.) Voir PASECHNIK (L.L.) C7-619	The use of effective Feynman diagrams for atomic cross-section calculations
ROMEAS (P.) Voir SKOWRONEK (M.) C7-303	SAMUILOV (E.V.) Voir GORBATOV
ROSADO (R.J.), SCHRAM (D.C.) and LECLAIR (J.) Continuous emis-	(A.V.)
sion, lowering of the ionization potential and total excitation cross-sections of an atmospheric	SANCTORUM (C.) and BONTE (L.). Time dependence of cataphoresis in a neon-argon mixture C7- 33
thermal plasma C7-285	SANDELIN (J.W.) Voir BLEACH
ROSE (H.A.) Voir DUBOIS (D.F.) C7-601	(R.D.) C7-749
ROTSHTEIN (V.P.) Voir KCHUZEEV (A.P.)	SANDULOVICIU (M.) Voir POPA (G.). C7-187
ROWE (B.) Voir GAUCHEREL (Ph.) C7- 89	SAPOZHIKOV (A.V.) Voir ASSADULIN (F.F.)
ROYCHOWDHURY (U.K.) Voir ASHRAF (A.)	SARKSIAN (K.A.) Voir ASSADULIN (F.F.) C7-653
ROZANOV (E.K.) Voir VOROBIOV (V.V.) C7-693	SARYCHEV (A.K.) Voir LAGAR'KOV (A.N.)
ROZHANSKY (V.A.) Effective bound-	SAUNDERSON (J.C.) Voir ALLIBONE
ary conditions for a plasma in a magnetic field, adjacent with an	(T.E.)
electrode C7-515	SAVIC (P.) Voir KEKEZ (M.M.) C7-255
ROZMUS (W.) The time dependent transport coefficients for the	SAVIC (P.) Voir KEKEZ (M.M.) C7-257
two-component plasma C7-525	SAVINOV (V.P.) Voir KUZOVNIKOV (A.A.) C7-459
ROZNERSKI (W.) and MECHLINSKA- DREWKO (J.) The ratio of late-	SAYASOV (Yu.S.) Viscous damping of the magneto-acoustic oscillations,
ral diffusion coefficient to mobility for electrons in oxygen	MAO, in bounded plasmas C7-585
and carbon dioxide C7-149	SCHAAL (G.) and ZABEL (J.) Exter- nal and internal probe measure-
RUBENCHIK (A.M.) Voir MUSHER (S.M.)	ments in discharges of luminescence lamp type
RUCHADZE (A.A.) Voir ARUTYUNYAN (S.G.) C7-219	SCHADE (E.) Voir MOLL (R.) C7-309
RUCHADZE (A.A.) Voir BOGDANKEVICH	SCHÄFER (J.H.) Voir CARLHOFF (C.).C7-757
(L.S.)	SCHALL (W.) Voir HOFFMANN (P.) C7-489 SCHERBAKOV (A.G.) Voir ZILTSOV
RUTSCHER (A.) VOIR MICHEL (P.) C7-133	(V.A.) C7-663
RUTSCHER (A.) VOIT MICHEL (P.) C7-157	SCHILDBACH (K.) Voir CARLOFF (C.).C7-757
RYBAKOV (A.B.) Voir BAKSHT (F.G.). C7-341	SCHMIDT (M.), SEEFELDT (R.) and POHLE (G.) Mass-spectrometric
RYUTOVA (M.P.) Spectrum of charge	investigation of the ions in an Ar-hexamethyldisiloxane dischar-
exchange neutrals from rotating plasma	ge
p.a.s C/=503	SCHMITT (J.) and NEIGER (M.) Vi- sible and infrared continuum radiation from a low temperature
	Cl <sub>2</sub> -arc C7-279

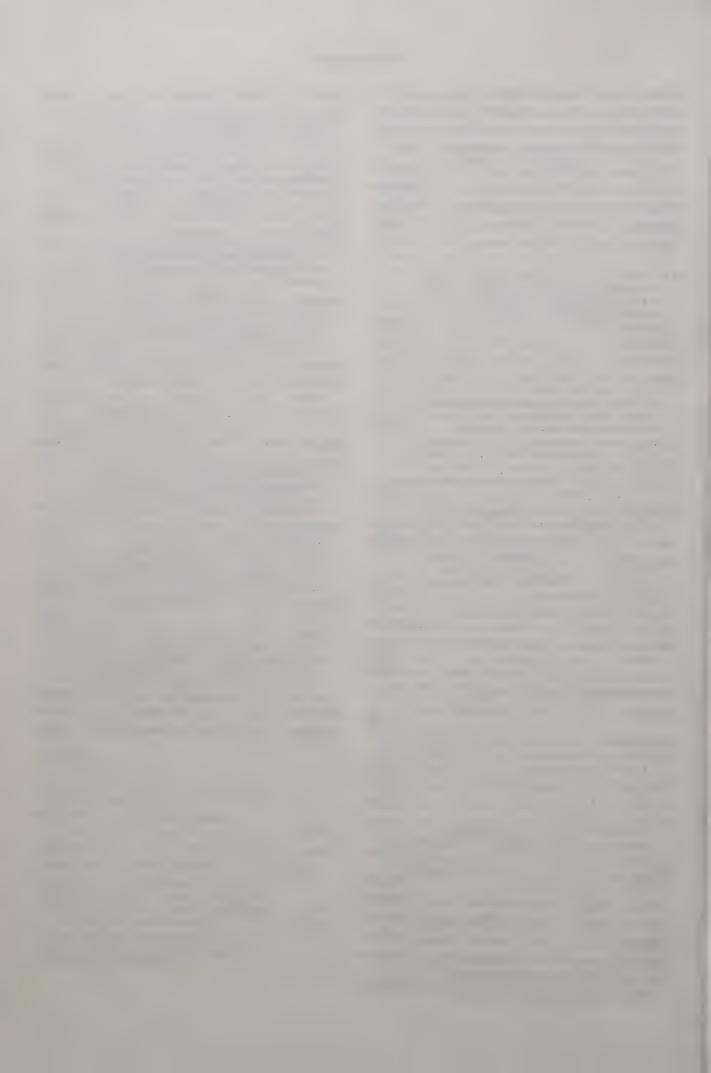
SCHOCK (W.) VOIR HOFFMANN (P.) C7-489	SHISKO (A.A.) Voir KOSHILEV
SCHÖNBACK (K.H.) Voir HATFIELD (L.L.) C7-483	(N.A.)
SCHRAM (D.C.) Voir VAN DER SIJDE	SHISKO (A.A.) Voir KOSHILEV (N.A.) C7-721
(V.) C7- 23 SCHRAM (D.C.) - Voir DIELIS	SHIVAROVA (A.) and STOYCHEV (T.) Second order harmonic surface wa-
(J.W.H.)	ves generated by one fundamental wave C7-607
SCHRAM (D.C.) Voir THEUWS (P.G.A.) C7-141	SHKIADAREVICH (A.P.) Voir GUDELEV (V.G.) C7-865
SCHRAM (D.C.) Voir VAN DER MULLEN (J.J.A.M.) C7-283	SHKOLNIK (S.M.) Voir DYUZHEV
SCHRAM (D.C.) Voir ROSADO (R.J.). C7-285	(G.A.)
SCHRAM (D.C.) Voir POTS (B.F.M.). C7-797	SHOUCRI (M.M.) Computer simulation of the sideband instability C7-575
SCHRAM (D.C.) Voir VAN DER SIJDE (B.) C7-851	SHTERNOV (N.P.) Voir MARGOLIN (L.Ya.) C7-801
SCHRITTWIESER (R.), MÄRK (E.) and	SHUKLA (P.K.) Voir YU (M.Y.) C7-739
KUHN (S.) Grid versus plate ex- citation of the electron current	SHUSTIN (E.G.) Voir ARMAND (N.A.). C7-565
driven ion wave instability C7-581	SHUSTIN (E.G.) Voir ARMAND (N.A.). C7-643
SCOARNEC (L.) Voir DAMELINCOURT	SIGEL (R.) Voir BENATTAR (R.) C7-767
(J.J.)	SIGMOND (R.S.) and LINHJELL (D.)
SEEFELDT (R.) Voir SCHMIDT (M.) C7-461	The excitation of thermal energy positive ions from corona dis-
SEGUR (P.) Voir TRAN NGOC AN C7-533	charges in air C7-323
SEGUR (P.), PAREATHUMBY (S.), YOUSFI (M.) and MARODE (E.) Determina-	SIGMOND (R.S.) Voir GOLDMAN (A.). C7-443
tion of macroscopic quantities for a Townsend discharge in helium by	SINELSHIKOV (V.A.) Voir NAIDIS
both Boltzmann equation and Monte	(G.V.)
Carlo methods C7-539	SITNOV (V.I.) Voir BABANIN (V.I.). C7-201
SELIM (E.O.) Voir WATERS (R.T.) C7-245	SITENKO (A.G.) Nonlinear wave in- teraction and critical fluctua-
SERGEEV (A.M.) Voir LITVAK (A.G.). C7-637	tions in plasmas C7-661
SERGEEV (A.M.) Voir MARKOV (G.A.).C7-639	SKALA (J.), KRASA (J.) and PERINA (V.) Two dimensional Fourier
SERRA (F.M.) Voir ABECASIS (T.M.). C7-701	spectrum of turbulent ionization
SEVIGNE (M.) Voir DAMELINCOURT (J.J.) C7-273	waves C7-587
SHADOV (V.P.) Voir PERTSEV (A.A.) C7-409	SKODA (P.) Voir HRABOVSKY (M.) C7-293
SHAKHOVA (N.A.) Voir LITVAK (A.G.)	SKORIC (M.M.) and STANIC (B.V.) A time domain method for transient scattering of electromagnetic
SHAMRAT (K.P.) Voir DAVYDOVA	waves in plasmas C7-595
(T.A.) C7-561	SKOVORODA (A.A.) Voir ZILTSOV
SHANIN (P.M.) Voir KOVAL (N.N.) C7-481	(V.A.)
SHANSKY (V.F.) Voir BURTSEV (V.A.) C7-387	SKOVORODA (A.A.) and ZILTSOV (V.A.) ECR as a diagnostic for mirror trap plasma
SHATALOVA (T.I.) Voir ROGASHKOVA	SKOWRONEK (M.) Voir ALAYLI (Y.) C7-817
(A.I.) C7-781	SKOWRONEK (M.), GIRY (L.), VU TIEN
SHEMYAKIN (I.A.) Voir KCHUZEEV (A.P.) C7-281	GIA and ROMEAS (P.) Conductivity measurements of high current, high
SHESTAKOV (I.V.) Voir BURTSEV (V.A.) C7-485	pressure discharges C7-303 SKROBOL (G.) Voir EICHLER (H.J.). C/-379
SHINDO (H.), IMIZU (S.) and INABA	SKURIDIN (G.A.) VOIT VOLOSEVICH
(T.) Electron energy relaxation effect on the dynamic characteris-	(A.V.)
tic of argon plasma arc C7-259	SLADE (P.G.) Voir KIMBLIN (C.W.). C7-413
SHIROCHIN (L.A.) Voir FURSEY (G.N.) C7-415	SMIRNOV (V.G.) Voir BURTSEV (V.A.) C7-387
SHISHKIN (G.G.) Voir GERASIMOV	SMIRNOV (A.S.) Voir KUTEEV (B.V.). C7-395
(V.P.)	
SHISHKIN (G.G.) Voir KHODNENKO (V.P.) C7-717	

SMITH (M.R.) Voir JONES (G.R.) C7-269	STOJANOFF (C.G.) Voir BRACKE (T.). C/-239
SOBOL (A.G.) Voir EGOROV (I.I.) C7-349	STOKES (A.D.) Voir KOVITYA (P.) C7-299 STÖRI (H.) Voir ALGE (E.) C7-83
SOKOLOV (E.B.) VOII ZORINA (E.M.)	STORI (H.) Voir PESKA (K.) C7- 21
SOKOVIKOV (V.G.) Voir BOKHAN (P.A.)	STÖSSEL (F.P.) Electrostatic
SOLNTZEV (G.S.), DVININ (S.A.) and	trivelpiece - gould modes in a
TSVETKOVA (L.I.) The comparison	torus C7-603
of some characteristics of elec-	STOYCHEV (T.) Voir SHIVAROVA (A.) C7-607
trodeless UHFD in waveguide and of DCD C7-227	STRACHAN (D.C.) Voir JONES (G.R.) C7-269
SOLOVIYANCHIK (D.A.) Voir KISELEV- SKII (L.I.)	STROKIN (N.A.) Voir KOSHILEV (N.A.) C7-507
SOMMER (H.T.) Voir BRACKE (T.) C7-239	STROKIN (N.A.) Voir KOSHILEV (N.A.)C7-721
SAMOTLOVITCH (V.G.) Voir GEBALOV	SU (C.H.) Interaction of nonlinear
(V.I.) C7-347	ion-acoustic waves
SONNENBURG (R.) Voir GOLUBOWSKY	SUDO (S.) Voir BAUMHACKER (H.) C7-743
(Yu.B.) C7-155	SUGAI (H.), IDO (K.), NIKI (H.) and TAKEDA (S.) Propagation of whis-
SOROKA (A.M.) Voir ALEXANDROV (V.V.) C7-357	tler waves trapped in a narrow
SOROKA (A.M.) Voir BASOV (N.G.) C7-393	density trough
SOROKA (A.M.) Voir GLOTOV (E.P.) . C7-371	SUGAI (H.) Voir LYNOV (J.P.) C7-571
SOWA (L.) Voir HIMMEL (G.) C7-837	SULIC (D.M.) Measurement of elec-
SPATSCHEK (K.H.) Voir YU (M.Y.) C7-739	tron density by electromagnetic waves which propagate on a magne-
SPEIRS (R.D.B.) Voir KRANKEL (N.E.)C7-513	tized plasma column C7-823
SPIGA (G.) Voir BOFFI (V.C.) C7-535	SUZUKI (K.) Voir INUTAKE (M.) C7-685
STANIC (B.V.) Voir CANDER (Lj.R.) C7-597	SVAVIL'NY (N.Ye.) Voir PASECHNIK
STANIC (B.V.) VOIT CAMBER (M.M.) . C7-595	(L.L.)
STAROSTIN (A.N.).) Voir KLOPOVSKY (K.S.)	SY (W.N.C.) and COTSAFTIS (M.) An equation for wave propagation in a hot nonuniform magnetized plasma . C7-669
STAROSTIN (A.N.) Voir LOPANTSEVA (G.B.)	SZYMANSKI (Z.) Voir WROBLEWSKI (D.) C7-733
STAROSTIN (A.N.) Voir PAL (A.F.) . C7-345	TAILLET (J.) The radio frequency
STARTSEV (E.A.) Voir DYUZHEV (G.A.)C7-199	sheath in self sustained plasmoids C7-159
STARYKH (V.V.) Voir WINKLER (R.) . C7-131	TAILLET (J.) Voir BACAL (M.) C7-791
STARYKH (V.V.) Voir WINKLER (R.) . C7-261	TAKAMATSU (T.) Voir IMAZU (S.) C7-153
STEENHUIJSEN (L.W.G.), VAN SCHAIK	TAKEDA (S.) Voir AKIYAMA (H.) C7-543
(N.), VAN DE NIEUWENHUYZEN (L.C.A.M.) and VERSPAGET (F.H.P.)	TAKEDA (S.) Voir SUGAI (H.) C7-703
Measurements of the production of neon 2p atoms by dissociative	TAKEDA (Y.) and YOKOTA (M.) Spiky density fluctuation and relaxation oscillation in an anomalously re-
recombination C7- 95	sistive phase
STEENHUIJSEN (L.W.G.) Voir VAN SCHAIK (N.)	TAKTAKISHVILI (M.T.) Voir BARKHU- DAROV (E.M.) C7-869
STEENHUIJSEN (L.W.G.) Voir VAN SCHAIK (N.)	TALAAT (M.E.) Radiofrequency discharge tests with helium flow C7-165
STEFAN (V.) Voir ALIEV (Yu.M.) C7-557	TALROSE (V.L.) Voir MOROZOV (I.I.) C7-109
STEFAN (V.) Voir KOVALEV (V.F.) C7-609	TELNOV (V.A.) Voir BICHKOV (Yu.I.) C7-161
STEPANOV (B.M.) Voir AVERIN (V.I.) C7-875	TEMKO (S.W.), KUZMIN (S.K.), HADGY-
STEPANOV (B.M.) Voir FILENKO (Yu. I.) C7-873	OGLY (M.R.) and IAGODOVSKAIA (T.V.) - On the formation of the thin
STEPANUSHKIN (A.D.) Voir BRIZHINEV (M.P.) C7-867	solid pellicle of nitric oxides on the liquid ozone surface in the atmosphere of smouldering dis-
STERN (W.) Voir STIEBER (M.) C7-493	charge in nitrogen C7-433
STEWART (P.K.) Voir DAVIES (A.J.) C7- 63	TEMKO (S.W.), TEMKO (K.W.) and KUZMIN
STIEBER (M.) and STERN (W.) The effective overvoltage of AC plasma	(S.K.) On the thermodynamical stability of the plasma of gas discharge in the real gas C7-677
display discharges C7-493	TEMKO (K.W.) Voir TEMKO (S.W.) C7-677
	- (-1117, 111 67 077

(A.A.)	TSYTOVICH (V.N.) Voir BEL'KOV
TERENTYEV (A.P.) Voir KOSTYLEV	(S.A.) C7-651
(A.A.) C7-369	TSYTOVICH (V.N.) Voir KHAKIMOV (F.Kh.)
THEUWS (P.G.A.), BEIJERINCK (H.C.W.) PERNOT (C.E.E.), SCHRAM (D.C.) and VERSTER (N.F.) Molecular beam	TSYTOVICH (V.N.) Voir LIVSHITS (M.A.) C7-627
sampling of metastable atoms from a hollow cathod arc as a probe for	TUMAKAEV (G.K.) Voir VASIL'EV (M. G.) C7-101
the electron temperature C7-141	TURIN (V.N.) Voir EGOROV (I.I.) C7-349
THIELL (G.) and FABRY (M.) Etude théorique des phénomènes liés à une cathode liquide : estimation	TURNER (J.G.) and BOYD (T.J.M.) Upper hybrid solitons C7-549
du taux d'érosion C7-453	UHLENBUSCH (J.) Voir CARLHOFF (C.) C7-757
THIELL (G.), MEYER (B.), LOUIS-	ULBRICHT (R.) Voir GÜNTHER (K.) C7-679
JACQUET (M.) and COUTURAUD (J.C.)	ULYANOV (K.N.) Voir LONDER (J.I.) C7- 29
- Spectrométrie X dans les plasmas crées par laser ; application à	ULYANOV (K.N.) Voir KOSTYLEV (A.A.)C7-367
l'étude des phénomènes de trans-	ULYANOV (K.N.) Voir KOSTYLEV (A.A.)C7-369
port de l'énergie C7-877	ULYANOV (K.N.) Voir PROZOROV (E.F.)C7-863
THOMAS (R.), BARASSIN (J.) and BARASSIN (A.) Reaction CH <sub>3</sub> <sup>+</sup> + NH <sub>3</sub> - évolution des produits en fonc-	URBÁNKOVA (H.) and PEKÁREK (L.) Long-time changes of an ionization wave in the CO <sub>2</sub> + N <sub>2</sub> + He mixture C7-375
tion de la concentration de NH <sub>3</sub> C7- 41	USHAKOV (L.S.) Voir FILENKO (Yu.
THOMA (P.) Voir BEHRINGER (K.) C7-829	I.)
THOMPSON (J.) Voir MIKKELSON (K.) C7-401	USOV (V.V.) Voir MACHABELI (G.Z.) C7-715
THYREGOD (P.) Voir VIBHOLM (S.) C7-289	VACQUIE (S.) Voir GLEIZES (A.) C7-235
TILLER (W.) The mass flow field of the full circle arc C7-313	VAN BOMMEL (P.J.M.) Voir VAN SCHAIK (N.)
TISHCHENKO (E.A.), GOLUBEV (A.V.) and LAZAREV (V.B.) Radiation temperature measurement of argon arc	VAN BOMMEL (P.J.M.) Voir VAN SCHAIK (N.)
plasma by submillimeter diagnostic techniques	VAN DE NIEUWENHUYZEN (L.C.A.M.) Voir STEENHUIJSEN (L.W.G.) C7- 95
TISHCHENKO (E.A.) Voir ZATSEPIN (V.G.) C7-799	VAN DE NIEUWENHUYZEN (J.C.A.M.) Voir VAN SCHAIK (N.) C7- 27
TISHCHENKO (E.A.) Voir ZATSEPIN (V.G.) C7-857	VANDENPLAS (P.E.) Voir EVRARD (M.P.) C7-617
TODD (T.N.) A fully automatic continuous electron temperature measurement system using a double Langmuir probe	VAN DER KRAAN (P.A.M.), DIELIS (J.W.H.) and DE HOOG (F.J.) For- mation and destruction of neon mo- lecular ions in Townsend dis-
TOLMATSHOVA (O.V.) Voir ZORINA	charges
(E.N.) C7-473	VAN DER MULLEN (J.J.A.M.), POTS (B.F.M.), SCHRAM (D.C.) and VAN
TOMOZOV (V.M.) Voir LIVSHITS (M.A.)C7-627	DER SIJDE (B.) The reduction of
TORVEN (S.) Voir LINDBERG (L.) C7-151	diffusion by plasma rotation and
TRAN NGOC AN, MARODE (E.), FOURNIER (G.) and SEGUR (P.) Electron distribution function in a very non-uniform electric field C7-533	ion dissipative effects C7-283  VAN DER SIJDE (B.), POORTER (T.), ADEMA (S.), POTS (B.F.M.) and SCHRAM (D.C.) Thomson scattering
TRASSY (C.) Voir OHEBSIAN (D.) C7- 99	with a high background level of
TRIFONOV (Ju.V.) Voir KHODNENKO	plasma radiation C7-851
(V.P.)	VAN DER SIJDE (V.), POTS (B.F.M.) and SCHRAM (D.C.) A collisional
TRUONG BACH and DRAWIN (H.W.) In- fluence of boundary layer of a Al-	radiative model of the argon ion system tested for a large range of electron densities
seeded shock-heated plasma on the profiles of the All resonance lines	VAN DER SIJDE (B.) Voir VAN DER MULLEN (J.J.A.M.)
TSINTSADZE (N.L.) - Voir BARKHUDAROV (E.M.) C7-869	VALIGNAT (S.), LEVEAU (J.), DEIGAT
TSUI (K.H.) Voir JAYARAM (K.) C7-275	(F.) Investigation of excitation mechanisms in neon with the aid of
TSEVTKOVA (L.I.) Voir SOLNTZEV	the radial distribution of excited
(C.S.) C7-227	atoms C7-, 7

VILLINGER (H.).—Voir PESKA (K.). C7- 21 VINNARCKE (M.) and WIEWE (W.).— Theory of resonance radiation imprisonment	VANMARCKE (M.) Voir WIEME (W.) C7- 3	VILADROSA (R.) Voir GLASSER (J.) C7-687
of a pulsed xenon discharge	VANMARCKE (M.) and WIEME (W.)	VILLINGER (H.) Voir ALGE (E.) C7- 83
VINNORT (J.).— VOIR AMIRANOFF (F.) C7-29 Theory of resonance radiation imprisonment  C7-39 VAN OOST (G.).— VOIR EVRARD (M.P.) VAN OOST (G.).— VOIR EVRARD (M.P.) C7-67 VAN OOST (G.).— VOIR EVRARD (M.P.) C7-67 VAN OOST (G.).— VOIR EVRARD (M.P.) C7-67 VAN SCHAIK (N.).— VOIR STEENHUIJSEN (L.W.G.), VAN BOMMEL (P.J.M.) and VAN SCHAIK (N.).— STEENHUIJSEN (L.W.G.), VAN BOMMEL (P.J.M.) and VEREPAGET (F.H.P.).— Determination of the coefficients of collisional transfer between the 2p levels of neon  C7-27 VASIL'EV (M.G.), ZHIKHAREVA (T.V.) and TUMAKAEV (G.K.).— The relative contribution of associative ionization and photolonization photolonization and photolonization and photolonization and photolonization and photolonization and photolonization photolonization and photolonization photolonization photolonization photolonization photolonization and photolonization p	Visible line afterglow emission	VILLINGER (H.) Voir PESKA (K.) C7- 21
Theory of resonance radiation imprisonment	-	VIRMONT (J.) Voir AMIRANOFF (F.) C7-729
prisonment	Theory of resonance radiation im-	VIRMONT (J.) Voir AMIRANOFF (F.) C7-769
VAN SCHAIK (N.) Voir STEENHUIJSEN (L.W.G.)	prisonment C7- 39	VIRMONT (J.) Voir BENATTAR (R.) . C7-767
VLASES (G.S.) VOIT BROOKS (R.D.) C7-751  VLASSES (G.S.) VOIT BROOKS (R.D.) C7-751  VLASES (G.S.) VOIT PAVELOW (A.N.)  KRALKINA (R.A.) AND AND KWALKINA (R.A.) AND KRALKINA (R.A.) AND		VITKOVITSKY (I.M.) Voir ALI (A.W.)C7-773
VAN SCHAIK (N.), STEENHULISEN (L.W.G.), VAN BOMMEL (P.J.M.) and VAN DE NIEUWENHUYZEN (J.C.A.M.) and VAN DE NIEUWENHUYZEN (J.M.) and VAN DE NIE	VAN SCHAIK (N.) Voir STEENHUIJSEN	VITKOVITSKY (I.) Voir KOOPMAN (D.)C7-419
VOLKOVA (L.M.), DEVYATOV (A.M.), VAND EN INELUMENHUZEN (J.C.A.M.)  - Atom densities of the first excited state in 10 wpressure neon discharges		VLASES (G.S.) Voir BROOKS (R.D.) C7-751
.— Atom densities of the first excited state in 10w pressure neon discharges  WAN SCHARK (N.), STEENHUISEN (L.W. G.), VAN BOMMEL (P.J.M.) and VERSPAGET (F.H.P.).— etermination of the coefficients of collisional transfer between the 2p levels of neon  WASILIEV (M.G.), ZHIKHAREVA (T.V.) And LIPERVISEN (A.N.), C7-623 (VOLOSEVICH (A.V.), LIVSHITS (M.A.) and LIPERVISEN (V.A.).— Nonlinear decay interactions for the instability of buneman-Farley C7-623 (VOLOSEVICH (A.V.), LIVSHITS (M.A.) and LIPERVISEN (V.A.).— Nonlinear decay interactions for the instability of buneman-Farley C7-623 (VOLOSEVICH (A.V.), LIVSHITS (M.A.) and SURIDIN (A.N.), GRISHINA (I.A.), KRITOROV (V.I.), KOVALEV (A.S.) and RAKHIMOV (A.T.).— On the three body electron attachment to oxygen in the plasma of a non-self-maintain of TL, IN, NA normal atom concentration by resonance lines broadened with mercury pressure		VOLKOVA (L.M.), DEVYATOV (A.M.),
excited state in low pressure neon discharges		the contract of the contract o
NAN SCHAIK (N.), STEENHUIJSEN (L.W. G.), VAN BOMMEL (F.J.M.) and VERSPAGET (F.H.P.). Determination of the coefficients of collisto- nal transfer between the 2p levels of neon		
VAN SCHAIK (N.), STEEMHOLDSEN (D.W. G.), VAN BOMMEL (F.J.M.) and VERSPACET (F.H.P.). Determination of the coefficients of collisional transfer between the 2p levels of one non	neon discharges C7- 27	
VERSPAGET (F.H.P.) Determination of the coefficients of collisional transfer between the 2p levels of neon	VAN SCHAIK (N.), STEENHUIJSEN (L.W.	
decay interactions for the instability of buneman-Farley		VOLOSEVICH (A.V.), LIVSHITS (M.A.)
OF ROON		
VOLUMENT (M.G.), ZHIKHAREVA (T.V.) and TUMAKAEV (G.K.).— The relative contribution of associative ionization and photoionization in xenon precursors		
and TUMAKABY (G.K.).— The relative contribution of associative ionization and photoionization in xenon precursors		VOLOSEVICH (A.V.), LIVSHITS (M.A.),
bulence regions and anomalous resistance in the magneto-sphere plasma	and TUMAKAEV (G.K.) The rela-	LIPEROVSKY (V.A.) and SKURIDIN
in xenon precursors		
VARITHEWA (N.1.), KOVALEV (A.S.)  and RAKHIMOV (A.T.).— On the three body electron attachment to oxygen in the plasma of a non-self-maintain of a discharge		sistance in the magneto-sphere
and RAKHIMOV (A.T.).—On the three body electron attachment to oxygen in the plasma of a non-self-maintained discharge	VASILIEVA (A.N.), GRISHINA (I.A.),	
body electron attachment to oxygen in the plasma of a non-self-main-tained discharge		
Tained discharge	body electron attachment to oxygen	
VAVRA (Z.) Voir HAVELKO (O.) C7-291  VDOVIN (V.G.) and VDOVINA (N.A.) On determination of TL, IN, NA normal atom concentration by resonance lines broadened with mercury pressure C7-839  VDOVINA (N.A.) Voir VDOVIN (V.G.) C7-839  VDOWIN (V.G.) and HAHAEV (A.D.) Experimental study on plasma non equilibrium of high pressure metal-halide discharge C7-177  VEKSTEIN (G.E.) Voir CHEBOTAEV (P.Z.) C7-537  VERSPAGET (F.H.P.) Voir ASSADULIN (F.F.) C7-653  VERSPAGET (F.H.P.) Voir VAN SCHAIK (N.) C7-97  VERSPAGET (F.H.P.) Voir STEEN-HUIJSEN (L.W.G.) C7-97  VERSTER (N.F.) Voir THEUWS (P.G.A.) C7-141  VERVISCH (P.) Voir CHERON (B.) C7-847  VIBHOLM (S.), PEDERSEN (A.) and THYREGOD (P.) Determination of low probability first breakdown C7-291  LEXPERIMENTAL INVESTIGATION (electrical and heat conductivities of alkali dense plasmas C7-693  VUNNOUIC (V.) Voir KLUCHAREV (A.N.) C7-87  VUNKICEVIC (J.) Voir SKOWRONEK (M.) . C7-303  WAGNER (B.E.) Voir NEHMZOW (B.) . C7-55  WAGNER (S.D.) and NISCONEN (I.S.) Electron energy distribution function and atom ionization processes in high frequency discharge mercury-argon plasma C7-209  WALL (D.N.) and FRANKLIN (R.N.) - Nonlinear interaction of beam waves and plasma waves C7-593  WALL (D.N.) and FRANKLIN (R.N.) - Nonlinear interaction of beam waves and plasma waves C7-593  WALTERS (R.T.) and SELIM (E.O.) Temporal space-charge field-changes at the cathode in negative polarity discharge C7-245  WHITNEY (K.G.) Voir BLEACH (R.D.) C7-749  WICKENS (L.M.) - Voir ALEEN (J.) Exci-		ROZANOV (E.K.) and RIABYI (V.A.)
Of alkali dense plasmas		
On determination of TL, IN, NA normal atom concentration by resonance lines broadened with mercury pressure		
VURICEVIC (J.) Voir LABAT (J.M.) C7- 9  VDOVINA (N.A.) Voir VDOVIN (V.G.) C7-839  VDOWIN (V.G.) and HAHAEV (A.D.) Experimental study on plasma non equilibrium of high pressure metal-halide discharge C7-177  VEKSTEIN (G.E.) Voir CHEBOTAEV (P.Z.) C7-537  VERIAEV (A.A.) Voir ASSADULIN (F.F.) C7-653  VERSPAGET (F.H.P.) Voir VAN SCHAIK (N.) C7-97  VERSPAGET (F.H.P.) Voir STEEN-HUIJSEN (L.W.G.) C7-97  VERSPAGET (N.F.) Voir THEUWS (P.G.A.) C7-141  VERVISCH (P.) Voir CHERON (B.) C7-847  VIALLE (M.) Voir AUPHELLE (D.) C7-847  VIBHOLM (S.), PEDERSEN (A.) and THYREGOD (P.) Determination of low probability first breakdown  VUNKICEVIC (J.) Voir LABAT (J.M.) C7- 9  VU TIEN GIA Voir NEHMZOW (B.) . C7-303  WAGNER (H.E.) Voir NEHMZOW (B.) . C7-55  WAGNER (S.D.) and NISCONEN (I.S.) Electron energy distribution function and atom ionization processes in high frequency discharge mer-cury-argon plasma C7-209  WALL (D.N.) and FRANKLIN (R.N.) Nonlinear interaction of beam waves and plasma waves C7-593  WALMSLEY (H.L.) Voir JONES (G.R.) C7-269  WALTERS (R.T.) and SELIM (E.O.) Temporal space-charge field-changes at the cathode in negative polarity discharge C7-245  WHITNEY (K.G.) Voir BLEACH (R.D.) C7-749  WICKENS (L.M.) Voir ALLEN (J.E.) C7-547	On determination of TL, IN, NA	
VDOVINA (N.A.) Voir VDOVIN (V.G.) C7-839  VDOVINA (N.A.) Voir VDOVIN (V.G.) C7-839  VDOWIN (V.G.) and HAHAEV (A.D.) Experimental study on plasma non equilibrium of high pressure metal-halide discharge		
VDOWIN (V.G.) and HAHAEV (A.D.) - Experimental study on plasma non equilibrium of high pressure metal-halide discharge	C7-930	VURICEVIC (J.) VOIT LABAT (J.M.) C7- 9
Experimental study on plasma non equilibrium of high pressure metal-halide discharge	cury pressure	
Electron energy distribution function and atom ionization processes in high frequency discharge mercury-argon plasma	VDOVINA (N.A.) Voir VDOVIN (V.G.) C7-839	
tion and atom ionization processes in high frequency discharge mercury-argon plasma	VDOVINA (N.A.) Voir VDOVIN (V.G.) C7-839 VDOWIN (V.G.) and HAHAEV (A.D.)	WAGNER (H.E.) Voir NEHMZOW (B.) . C7- 55
CT-537  VERIAEV (A.A.) Voir ASSADULIN  (F.F.)  VERSPAGET (F.H.P.) Voir VAN  SCHAIK (N.)  VERSPAGET (F.H.P.) Voir STEEN-  HUIJSEN (L.W.G.)  VERSTER (N.F.) Voir THEUWS  (P.G.A.)  VERVISCH (P.) Voir CHERON (B.)  VERVISCH (P.) Voir AUPHELLE (D.)  VERVISCH	VDOVINA (N.A.) Voir VDOVIN (V.G.) C7-839  VDOWIN (V.G.) and HAHAEV (A.D.)  Experimental study on plasma non equilibrium of high pressure	WAGNER (H.E.) Voir NEHMZOW (B.) . C7- 55 WAGNER (S.D.) and NISCONEN (I.S.)
VERIAEV (A.A.) Voir ASSADULIN (F.F.)  VERSPAGET (F.H.P.) Voir VAN SCHAIK (N.)  VERSPAGET (F.H.P.) Voir STEEN- HUIJSEN (L.W.G.)  VERSTER (N.F.) Voir THEUWS (P.G.A.)  VERSTER (N.F.) Voir CHERON (B.)  VERVISCH (P.) Voir AUPHELLE (D.)  VERVISCH (M.) Voir BLEACH (R.D.)  VERVISCH (M.) Voir BLEACH (R.D.)  VERVISCH (M.) Voir ALLEN (J.E.)  VERVISCH (M.) Voir ALLEN (J.E.)  VERVISCH (M.) Voir BLEACH (R.D.)  VERVISCH (M.) Voir ALLEN (J.E.)  VERVISCH (M.) Voir ALLEN (M.).	VDOVINA (N.A.) Voir VDOVIN (V.G.) C7-839  VDOWIN (V.G.) and HAHAEV (A.D.)  Experimental study on plasma non equilibrium of high pressure	WAGNER (H.E.) Voir NEHMZOW (B.) . C7- 55 WAGNER (S.D.) and NISCONEN (I.S.) Electron energy distribution func- tion and atom ionization processes
VERSPAGET (F.H.P.) Voir VAN SCHAIK (N.)	VDOVINA (N.A.) Voir VDOVIN (V.G.) C7-839  VDOWIN (V.G.) and HAHAEV (A.D.) Experimental study on plasma non equilibrium of high pressure metal-halide discharge C7-177  VEKSTEIN (G.E.) Voir CHEBOTAEV	WAGNER (H.E.) Voir NEHMZOW (B.) . C7- 55 WAGNER (S.D.) and NISCONEN (I.S.) Electron energy distribution func- tion and atom ionization processes in high frequency discharge mer-
VERSPAGET (F.H.P.) Voir VAN SCHAIK (N.)	VDOVINA (N.A.) Voir VDOVIN (V.G.) C7-839  VDOWIN (V.G.) and HAHAEV (A.D.) Experimental study on plasma non equilibrium of high pressure metal-halide discharge C7-177  VEKSTEIN (G.E.) Voir CHEBOTAEV (P.Z.) C7-537	WAGNER (H.E.) Voir NEHMZOW (B.) . C7- 55 WAGNER (S.D.) and NISCONEN (I.S.) Electron energy distribution func- tion and atom ionization processes in high frequency discharge mer- cury-argon plasma
VERSPAGET (F.H.P.) Voir STEEN- HUIJSEN (L.W.G.)	VDOVINA (N.A.) Voir VDOVIN (V.G.) C7-839  VDOWIN (V.G.) and HAHAEV (A.D.) Experimental study on plasma non equilibrium of high pressure metal-halide discharge C7-177  VEKSTEIN (G.E.) Voir CHEBOTAEV (P.Z.)	WAGNER (H.E.) Voir NEHMZOW (B.) . C7- 55 WAGNER (S.D.) and NISCONEN (I.S.) Electron energy distribution func- tion and atom ionization processes in high frequency discharge mer- cury-argon plasma
WARTSKY (L.) Voir AUPHELLE (D.) . C7-397  VERSTER (N.F.) Voir THEUWS  (P.G.A.)	VDOVINA (N.A.) Voir VDOVIN (V.G.) C7-839  VDOWIN (V.G.) and HAHAEV (A.D.) Experimental study on plasma non equilibrium of high pressure metal-halide discharge C7-177  VEKSTEIN (G.E.) Voir CHEBOTAEV (P.Z.)	WAGNER (H.E.) Voir NEHMZOW (B.) . C7- 55  WAGNER (S.D.) and NISCONEN (I.S.) Electron energy distribution function and atom ionization processes in high frequency discharge mercury-argon plasma
VERSTER (N.F.) Voir THEUWS  (P.G.A.)	VDOVINA (N.A.) Voir VDOVIN (V.G.) C7-839  VDOWIN (V.G.) and HAHAEV (A.D.) Experimental study on plasma non equilibrium of high pressure metal-halide discharge	WAGNER (H.E.) Voir NEHMZOW (B.) . C7- 55  WAGNER (S.D.) and NISCONEN (I.S.) Electron energy distribution function and atom ionization processes in high frequency discharge mercury-argon plasma
(P.G.A.)	VDOVINA (N.A.) Voir VDOVIN (V.G.) C7-839  VDOWIN (V.G.) and HAHAEV (A.D.) Experimental study on plasma non equilibrium of high pressure metal-halide discharge C7-177  VEKSTEIN (G.E.) Voir CHEBOTAEV (P.Z.) C7-537  VERIAEV (A.A.) Voir ASSADULIN (F.F.)	WAGNER (H.E.) Voir NEHMZOW (B.) . C7- 55 WAGNER (S.D.) and NISCONEN (I.S.) Electron energy distribution function and atom ionization processes in high frequency discharge mercury-argon plasma
VERVISCH (P.) Voir CHERON (B.) C7-847  VIALLE (M.) Voir AUPHELLE (D.) C7-397  VIBHOLM (S.), PEDERSEN (A.) and  THYREGOD (P.) Determination of low probability first breakdown  WICKENS (L.M.) Voir ALLEN (J.E.) C7-547  WIEME (W.) and LENAERTS (J.) Exci-	VDOVINA (N.A.) Voir VDOVIN (V.G.) C7-839  VDOWIN (V.G.) and HAHAEV (A.D.) Experimental study on plasma non equilibrium of high pressure metal-halide discharge C7-177  VEKSTEIN (G.E.) Voir CHEBOTAEV (P.Z.)	WAGNER (H.E.) Voir NEHMZOW (B.) . C7- 55  WAGNER (S.D.) and NISCONEN (I.S.) Electron energy distribution function and atom ionization processes in high frequency discharge mercury-argon plasma
VIABLE (M.) VOIT AUPHELLE (D.) C7-39/  VIBHOLM (S.), PEDERSEN (A.) and  THYREGOD (P.) Determination of low probability first breakdown  WICKENS (L.M.) Voir ALLEN (J.E.) C7-547  WHITNEY (K.G.) Voir BLEACH (R.D.) C7-749  WICKENS (L.M.) Voir ALLEN (J.E.) C7-547	VDOVINA (N.A.) Voir VDOVIN (V.G.) C7-839  VDOWIN (V.G.) and HAHAEV (A.D.) Experimental study on plasma non equilibrium of high pressure metal-halide discharge	WAGNER (H.E.) Voir NEHMZOW (B.) . C7- 55  WAGNER (S.D.) and NISCONEN (I.S.) Electron energy distribution function and atom ionization processes in high frequency discharge mercury-argon plasma
THYREGOD (P.) Determination of WICKENS (L.M.) Voir ALLEN (J.E.) C7-547 low probability first breakdown WIEME (W.) and LENAERTS (J.) Exci-	VDOVINA (N.A.) Voir VDOVIN (V.G.) C7-839  VDOWIN (V.G.) and HAHAEV (A.D.) Experimental study on plasma non equilibrium of high pressure metal-halide discharge	WAGNER (H.E.) Voir NEHMZOW (B.) . C7- 55  WAGNER (S.D.) and NISCONEN (I.S.) Electron energy distribution function and atom ionization processes in high frequency discharge mercury-argon plasma
low probability first breakdown WIEME (W.) and LENAERTS (J.) - Exci-	VDOVINA (N.A.) Voir VDOVIN (V.G.) C7-839  VDOWIN (V.G.) and HAHAEV (A.D.) Experimental study on plasma non equilibrium of high pressure metal-halide discharge	WAGNER (H.E.) Voir NEHMZOW (B.) . C7- 55  WAGNER (S.D.) and NISCONEN (I.S.) Electron energy distribution function and atom ionization processes in high frequency discharge mercury-argon plasma
The same state of the same sta	VDOVINA (N.A.) Voir VDOVIN (V.G.) C7-839  VDOWIN (V.G.) and HAHAEV (A.D.) Experimental study on plasma non equilibrium of high pressure metal-halide discharge	WAGNER (H.E.) Voir NEHMZOW (B.) . C7- 55  WAGNER (S.D.) and NISCONEN (I.S.) Electron energy distribution function and atom ionization processes in high frequency discharge mercury-argon plasma
n mor rormation in rate was discharge	VDOVINA (N.A.) Voir VDOVIN (V.G.) C7-839  VDOWIN (V.G.) and HAHAEV (A.D.) Experimental study on plasma non equilibrium of high pressure metal-halide discharge	WAGNER (H.E.) Voir NEHMZOW (B.) . C7- 55  WAGNER (S.D.) and NISCONEN (I.S.) Electron energy distribution function and atom ionization processes in high frequency discharge mercury-argon plasma
VIDMAR (R.J.) and CRAWFORD (F.W.) afterglows	VDOVINA (N.A.) Voir VDOVIN (V.G.) C7-839  VDOWIN (V.G.) and HAHAEV (A.D.) Experimental study on plasma non equilibrium of high pressure metal-halide discharge C7-177  VEKSTEIN (G.E.) Voir CHEBOTAEV (P.Z.) C7-537  VERIAEV (A.A.) Voir ASSADULIN (F.F.) C7-653  VERSPAGET (F.H.P.) Voir VAN SCHAIK (N.) C7- 97  VERSPAGET (F.H.P.) Voir STEEN- HUIJSEN (L.W.G.) C7- 95  VERSTER (N.F.) Voir THEUWS (P.G.A.)	WAGNER (H.E.) Voir NEHMZOW (B.) . C7- 55 WAGNER (S.D.) and NISCONEN (I.S.) Electron energy distribution function and atom ionization processes in high frequency discharge mercury-argon plasma
Dispersion characteristics of WIEME (W.), VANMARCKE (M.) and	VDOVINA (N.A.) Voir VDOVIN (V.G.) C7-839  VDOWIN (V.G.) and HAHAEV (A.D.) Experimental study on plasma non equilibrium of high pressure metal-halide discharge C7-177  VEKSTEIN (G.E.) Voir CHEBOTAEV (P.Z.) C7-537  VERIAEV (A.A.) Voir ASSADULIN (F.F.) C7-653  VERSPAGET (F.H.P.) Voir VAN SCHAIK (N.) C7- 97  VERSPAGET (F.H.P.) Voir STEEN- HUIJSEN (L.W.G.) C7- 95  VERSTER (N.F.) Voir THEUWS (P.G.A.)	WAGNER (H.E.) Voir NEHMZOW (B.) . C7- 55  WAGNER (S.D.) and NISCONEN (I.S.) Electron energy distribution function and atom ionization processes in high frequency discharge mercury-argon plasma
Plasma wave-packets C/-559 BRUYNOOGHE (W.) Radiative and	VDOVINA (N.A.) Voir VDOVIN (V.G.) C7-839  VDOWIN (V.G.) and HAHAEV (A.D.) Experimental study on plasma non equilibrium of high pressure metal-halide discharge	WAGNER (H.E.) Voir NEHMZOW (B.) . C7- 55  WAGNER (S.D.) and NISCONEN (I.S.) Electron energy distribution function and atom ionization processes in high frequency discharge mercury-argon plasma
COLLISIONAL GOGGVOSTATION OF IN	VDOVINA (N.A.) Voir VDOVIN (V.G.) C7-839  VDOWIN (V.G.) and HAHAEV (A.D.) Experimental study on plasma non equilibrium of high pressure metal-halide discharge	WAGNER (H.E.) Voir NEHMZOW (B.) . C7-55  WAGNER (S.D.) and NISCONEN (I.S.) Electron energy distribution function and atom ionization processes in high frequency discharge mercury-argon plasma
and <sup>3</sup> P <sub>1</sub> resonance states in xenon C7-3	VDOVINA (N.A.) Voir VDOVIN (V.G.) C7-839  VDOWIN (V.G.) and HAHAEV (A.D.) Experimental study on plasma non equilibrium of high pressure metal-halide discharge	WAGNER (H.E.) Voir NEHMZOW (B.) . C7- 55  WAGNER (S.D.) and NISCONEN (I.S.) Electron energy distribution function and atom ionization processes in high frequency discharge mercury-argon plasma

WIEME (W.) Voir VANMARCKE (M.) C7- 35	ZABEL (J.) Voir SCHAAL (G.) C7-849
WIEME (W.) Voir VANMARCKE (M.) C7- 39 WIESEMANN (K.) Voir ICHIRO MORI . C7-555	ZAHN (R.J.) and MULLER (S.) Gas temperature dependence of AC dis-
WIJNAKKER (M.M.B.) and GRANNEMAN	charges between isolated electrodes
(E.H.A.) A study of a weakly	ZATSEPIN (V.G.) and GOLUBEV (A.V.)
ionized, rotating plasma C7-487 WIDL (W.) Voir FRÖHLICH (K.) C7-407	Determination of the ray phase for
	plasma cylinder using modulus of the probing radiation transmitti-
WILHELM (J.) Voir WINKLER (R.) C7-131 WILHELM (J.) Voir WINKLER (R.) C7-261	vity C7-861
WILLIAMS (A.W.) Voir ABDULLA (R.	ZATSEPIN (V.G.), LAZAREV (V.B.) and
R.) C7- 73	TISHCHENKO (E.A.) Application of field visualization technique to smm diagnostics of axisymmetric
WILLIAMS (P.F.), CRUMLEY (R.J.) and GUNDERSEN (M.A.). Studies of the	plasma
basic processes responsible for	ZATSEPIN (V.G.), TISHCHENKO (E.A.)
laser-triggered breakdown in gases C7-305	and GOLUBEV (A.V.) Numerical methods of data processing for
WINKLER (R.) Voir MICHEL (P.) C7-133	active submillimeter diagnostics
WINKLER (R.) Voir MICHEL (P.) C7-157	of plasma cylinder
WINKLER (R.), WILHELM (J.), IVANOV	ZELENOV (L.A.) Voir BURTSEV (V.A.) C7-387
(A.A.) and SI RYKH (V.V.) Com- parison between some macroscopic	ZHIKHAREVA (T.V.) Voir VASIL'EV (M.G.)
properties of the beam and glow	ZHILINSKY (A.P.) Voir KUTEEV (B.
discharge plasma in nitrogen C7-131 WINKLER (R.), WILHELM (J.), IVANOV	V.)
(A.A.) and STARYKH (V.V.) Kine-	KHUKOV (V.M.) Voir FURSEY (G.N.) . C7-415 ZIGMAN (V.J.) and MILIC (B.S.) On
tics of the electrons in the sta- tionary beam discharge plasma in	the behaviour of weakly ionized
diatomic gases	plasma with non-zero neutrals tem- perature placed in external elec-
WITTING (H.L.) An investigation	tric field of moderate intensity . C7-589
of arc starting on cold cathodes C7-451	ZILTSOV (V.A.), KOZAREV (P.M.),
WOLFF (G.) Voir DELVAUX (J.) C7-785	MAKASHIN (I.N.), PANOV (D.A.), SKOVORODA (A.A.) and SCHERBAKOV
WROBLEMSKI (D.), CYBULSKI (A.) and SZYMANSKI (Z.) An exterimental	(A.G.) Study of low frequency
investigation of the continuous	oscillations in the open trap with minimum B magnetic field C7-663
optical discharge	ZILTSOV (V.A.) Voir SKOVORODA (A.
YAGOLA (V.V.) Voir NAUMOVETS (V.G.) C7-207	A.) C7-665
YAKUNIN (V.G.) Voir KUZOVNIKOV	ZORINA (E.N.), DOBRENIN (A.V.), POPOVA (T.O.), PAVLIASHVILI (T.I.), TOL-
(A.A.)	MATSHOVA (O.V.), NEUSTROEV (S.A.)
YAMADA (T.) Voir AKIYAMA (H.) C7-543	and SOKOLOV (E.B.) Some parti- cularities of the molecular exchan-
YAMANAKA (C.) Voir IMASAKI (K.) . C7-779	ge in a HF low pressure discharge C7-473
YEGOROV (V.V.) Voir GOLUBKOV (G.V.)	ZUKOWSKI (W.) Voir BRZOSKO (J.S.) C7-471
YESELEVICH (V.G.) and FAINSTEIN	ZUKOWSKI (E.) Voir BRZOSKO (J.S.) C7-471
(V.G.) On expansion of the collisionless plasma into vacuum C7-359	
YOKOTA (M.) Voir TAKEDA (Y.) C7-577	
YOUSFI (M.) Voir SEGUR (P.) C7-539	
YU (M.Y.), SHUKLA (P.K.) and SPATSCHEK (K.H.) Curvature effects in laser plasma interac-	
tions C7-739	
YUNAKOVSKY (A.D.) Voir GIL'DENBURG (V.B.)	
YUR'EV (V.G.) Voir DYUZHEV (G.A.) C7-199	
YUR'EV (V.G.) Voir DYUZHEV (G.A.) C7-463	
YURIEV (V.G.) Voir KAPLAN (V.B.) C7-495	
YUR'YEV (V.G.) Voir BAKSHT (V.G.) C7-497	
YUR'YEV (V.G.) Voir BOGDANOV (A.A.) C7-337	



## COLLOQUE Nº 7 - 1979

## Volume II

Aliven (H.). — Plasma in laboratory and space	C7-1	Kuswa (G. W.). — Voir Clauser (M. J.)	C7-81
Ali-Khan (I.). — Voir Waelbroeck (F.)	C7-313	Llewellyn-Jones (F.). — Contact electrode processes and	
Berger (K.). — Survey on actual knowledge and physical		microplasma diagnostics	C7-47
problems	C7-57	Long (W. H.) Jr. and Bhaumik (M. L.). — Electric dis-	
Bhaumik (M. L.). — Voir Long (W. H.)	C7-127	charge pumping of excimer lasers	C7-127
Burns (E. J. T.). — Voir Clauser (M. J.)	C7-81	Manheimer (W. M.). — Anomalous transport from	
Chang (J.). — Voir Clauser (M. J.)	C7-81	plasma waves	C7-269
Clauser (M. J.), Burns (E. J. T.), Chang (J.), Farns-		Massey (H. S. W.). Ionic reactions with laboratory	
worth (A. V.), Goldstein (S. A.), Johnson (D. J.),		and in planetary atmospheres	C7-21
Kuswa (G. W.), Mehlhorn (T. A.), Mendel (C. W.),		Mehlhorn (T. A.). — Voir Clauser (M. J.)	C7-81
Mix (L. P.), Poukey (J. W.), Quintenz (J. P.),		Mendel (C. W.). — Voir Clauser (M. J.)	C7-81
Sweeney (M. A.), Vandevender (J. P.) and Wid-		Mix (L. P.). — Voir Clauser (M. J.)	C7-81
ner (M. M.). — Particle beam interactions with		Poukey (J. W.). — Voir Clauser (M. J.)	C7-81
plasmas and their application to inertial fusion	C7-81	Presnyakov (L. P.) and Urnov (A. M.). — X-ray plasma	
Crawford (F. W.). — Phenomena in ionized gases : some		diagnostics	C7-279
reflections on the XIVth ICPIG	C7-317	Quintenz (J. P.). — Voir Clauser (M. J.)	C7-81
Dietz (K. J.). — Voir Waelbroeck (F.)	C7-313	Raizer (Yu. P.). — Optical discharges	C7-141
Farnsworth (A. V.). — Voir Clauser (M. J.)	C7-81	Rakowitz (J.). — Voir Fauchais (P.)	C7-289
Fauchais (P.) and Rakowitz (J.). — Physics on plasma		Sigov (Yu. S.) and Zakharov (V. E.). — Strong turbulence	
chemistry	C7-289	and its computer simulation	C7-63
Goldstein (S. A.). — Voir Clauser (M. J.)	C7-81	Sweeney (M. A.). — Voir Clauser (M. J.)	C7-81
Grieger (G.) Progress in toroidal magnetic confine-		Urnov (A. M.). — Voir Presnyakov (L. P.)	C7-279
ment	C7-87	Vandevender (J. P.). — Voir Clauser (M. J.)	C7-81
Gryziński (M.). — Theoretical description of collisions		Waelbroeck (F.), Ali-Khan (I.), Dietz (K. J.) and Wien-	
in plasma: classical methods	C7-171	hold (P.). — Surface problems in magnetic confine-	
Heyvaerts (J.) Plasma and solar physics. The solar		ment systems	C7-313
flare phenomenon	C7-37	Widner (M. M.). — Voir Clauser (M. J.)	C7-81
Hiskes (J. R.). — Formation of hydrogen negative ions		Wienhold (P.). — Waelbroeck (F.)	C7-313
by surface and volume processes with application to		Wilhelm (J.) and Winkler (R.). — Progress in the kinetic	
negative ion sources	C7-179	description of non-stationary behaviour of the	
Johnson (D. J.). — Voir Clauser (M. J.)	C7-81	electron ensemble in non-isothermal plasmas	C7-251
Klimontovich (Yu. L.). — Kinetic theory of spectral line		Winkler (R.). — Voir Wilhelm (J.)	C7-251
broadening in a nonequilibrium plasma	C7-113	Zakharov (V. E.). — Voir Sigov (Yu. S.)	C7-63



## 8<sup>e</sup> Symposium International sur l'acoustique non linéaire

Paris, 1978

Adamou (A.), Alippi (A.), Palma (A.), Palmieri (L.) and Socino (G.) Strength of nonlinear interaction between collinear surface	Cambray (P.), Deshaies (B.) et Clavin (P.) Solution des équations d'Euler associées à l'expansion d'une sphère à vitesse constante C8-19
acoustic waves C8-262	Cason (C.) voir Karr (G.R.) C8-353
Alais (P.), Hennion (P.Y.) et Lagrève (M.)	Castaing (J.) voir Berger (J.) C8-183
Théorie de Fournier de la pro-	Cheng (M.T.) voir Shaw (D.) C8-356
pagation linéaire et non liné-	Clavin (P.) voir Cambray (P.) C8-19
aire dans un fluide absorbant- Applications à la transduction	, .,
paramétrique C8-83	Cramer (E.) and Lauterborn (W.) An response curves of bubbles
Alexander (D.E.) voir Webster	the oscillations of which are
(D.A.) C8-325	damped by sound radiation C8-296
Alippi (A.) voir Adamou (A.) C8-262	Crum (L.A.)
Alippi (A.) Palma (A.), Palmieri	Surface oscillations and jet development in pulsating bub-
(L.), Socino (G.) and Verona	bles C8-285
(E.) Experimental evidence of dis-	Davidson (G.A.)
torted rippling profiles of	Finite - amplitude acoustic wave
finite amplitude acoustic sur-	propagation through gas-droplet mixtures : A Burgers' equation
face waves	model
Badhvalov (N.S.) Khokhlov (R.V.), Zabolotskaja(E.A.) and Zhilei-	Deshaies (B.) voir Cambray (P.) C8-19
kin (I.M.)	Dugue (C.) voir Emery (J.) C8-231
Focused acoustic beam in non- linear medium C8-56	Dyba (R.) and Zoltogórski (B.)
	Sound Gaussian noise and its
Berger (J.), Castaing (J.) et Fischer (M.)	certain transformation caused by moving boundary condition effect C8-25
Influence de la nonstoéchiomé-	Eldin (G.), Laheurte (J.P.) and
trie sur les propriétés élas- tiques non linéaires de mono-	Peyraud (J.)
cristaux de cuprite C8-183	Non linear effects in the vicinity of a solid transducer in air. C8-333
Bjørnø (L.), Folsberg (J.) and	Elliott (S.J.)
Pedersen (L.)	Non-linear regeneration mechanis-
Parametric arrays in shallow- Water C8-71	ms in wind instruments C8-341
	Emery (J.), Gasse (S.) et Dugue (C.) Coéfficient de non linéarité ac-
Bjørnø (L.) and Grinderslev (S.)	oustique dans les mélanges eau-
Parametric echoscanner for medi-	méthanol et eau-éthanol C8-231
cal diagnosis C8-111	Faure (A.), Maze (G.) et Ripoche
Blackstock (D.T.) voir Webster C8-325	(J.) Interaction non linéaire d'ondes
(D.A.)	de surface ultrasonores C8-267
Bosquet (J.) Fonctions périodiques et pro-	Fenlon (F.H.)
blèmes non linéaires C8-1	On the axial field of a parame- tric acoustic radiator C8-119
Breazeale (M.A.)	Fischer (M.) voir Berger (J.) C8-183
Nonlinear acoustics and solid	
Scace physics	Fischer (M.) voir Zarembowitch (A.)
Brendel (R.) Coéfficients élastiques indé-	Folsberg (J.) voir Bjørnø (L.) C8-71
pendants du 4ème ordre pour les	Francescutto (A.) voir Nabergoj
trente deux classes cristalli- nes	(R.) C8-306
Bridoux (E.) voir Rouvaen (J.M.).C8-179	Fridman (V.E.)
	Comparison of empirical and theoretical laws of parameter
Brower (N.G.) and Mayer (W.G.) Acousto-optic interaction of	variation of explosion waves
second harmonics in Lamb waves C8-175	in the sea
Burvingt (R.)	Gaete-Garreton (L.) voir Gallego-
Solutions approchées non linéai- res pour le rayonnement acousti- que d'une source à symétrie de	Juarez (J.A.)
révolution	

Gagnepain (J.J.) voir Theobald (G.) C8-199	Orientational acoustic nonlinea- rity in fluids with anisotropic
Gallego-Juarez (J.A.) and Gaete-	particles C8-235
Garretón (L.) Experimental study of non-line- arity in free progressive acous- tic waves in air at 20 kHz C8-336	Longuemard (J.P.) et Odero (D.) Etude expérimentale des condi- tions de pénétration des ondes acoustiques créées par une an-
Gasse (S.) voir Emery (J.) C8-231	tenne paramétrique en fonction des caractères physico-mécani-
Gautier (H.) voir Maerfeld (C.). C8-243	ques des sédiments marins C8-131
Gerlich (D.) voir Gross (M.) C8-203	Maerfeld (C.) et Gautier (H.)
Gimenez (G.) Quelques caractéristiques des	Corrélateur à mémoire à ondes de surface
impulsions de sonoluminescence. C8-289	Maksimov (V.N.) voir Timoshenco C8-98
Ginsberg (J.H.) Two-dimensional finite amplitu-	Malykh ( N.V.) and Ogorodnikov
<pre>de acoustic waves radiating from a flat plate in arbitrary periodic vibration C8-35</pre>	(I.A.) The structure of pressure pulses in liquids with gas bubbles C8-300
Grinderslev (S.) voir Bjørnø (L.)	Markenscoff (X.) Fourth-order elastic constants: general method for determination
Szapiro (S.)	and applications C8-213 Mayer (G.) voir Brower (N.G.) C8-175
Hypersonic investigation of the λ-type phase transition in am-	Maze (G.) voir Faure (A.) C8-267
monium-Chloride	Moffett (M.B.)
Hennion (P.Y.) Etude de l'émission paramétrique en champ proche par analyse de Fourier. Application à un émet-	Measurement of fundamental and second harmonic pressures in the field of a circular piston source
teur focalisant	Mook (D.T.) voir Nayfeh (A.H.) C8-310
Hennion(P.Y.) voir Alais (P.) C8-83	Muir (T.G.) and Vestrheim (M.)
Hoback (H.) and Tjøtta (S.) Theory of parametric acoustic arrays	Parametric arrays in air with applications to atmospheric sounding
Hsieh (D.Y.) Forced oscillations of nonsphe- rical bubbles	Nabergoj (R.) and Francescutto (A.) On thresholds for surface waves on resonant bubbles
<pre>Karr (G.R.), Shih (C.C.), Cason (C.) and Werkheiser (A.H.) Investigation and management of acoustical waves in closed cycle high energy pulsed lasersC8-353</pre>	Narasimham (A.V.) Resonance absorption of an ultra- sonic wave in a weakly associated liquid
Kedrinskii (V.K.) and Plaksin (S.I.) Structure of periodical distur- bances in real liquid8-293	Naugolnikh (K.A.) and Rybak (S.A.) On Landau damping in the interac-
Kelly (S.G.) voir Nayfeh (A.H.).C8-8	ting the regular wave with the noise
Khokhlov (R.V.) voir Badhvalov (N.S.)C8-56	Nayfeh (A.H.) and Kelly (S.G.) Nonlinear propagation of waves
Khokhlov (R.V.) and Pushkina (N.I.)  Nonlinear sound interaction in superfluid solutions	induced by an infinite vibra- ting cylinder C8-8
Kluwick (A.) and Nayfeh (A.H.) Nonlinear waves in homogeneous and heterogeneous elastic so- lids	Nayfeh (A.H.) and Mook (D.T.)  Nonlinear response of a spheri- cal bubble to a multi-frequency excitation
Komatsu (K.) voir Urabe (Y.)C8-315	Nelson (D.F.)
Lagrève (M.) voir Alais (P.)C8-83	Nonlinear electroacoustics of dielectric crystals : fundamen-
Laheurte (J.P.) voir Eldin (G.). C8-333	tals and applications C8-149
Lauterborn (W.)	Odero (D.) voir Longuemard (J.P.) C8-131
Optic cavitation	Ogorodnikov (I.A.) voir Malykh (N.V.)
Lauterborn (W.) voir Cramer (E.). C8-296	

Ostrovsky (L.A.) voir Lebedev (V.T.)	C8-235	Timoshenko (V.I.), Voronin (V.A.) and Maksimov (V.N.)
Otani (T.) voir Urabe (Y.)	C8-315	Investigation of non linear parametric sound reception C8-98
Palma (A.) voir Adamou (A.)	C8-262	Tjøtta (S.) voir Hobaek (H.) C8-101
Palma (A.) voir Alippi (A.)	C8-249	Torquet (R.) voir Rouvaen (J.M.).C8-179
Palmieri (L.) voir Adamou (A.)	C8-262	Truchard (J.J.)
Palmieri (L.). voir Alippi (A.)	C8-249	Modulation characteristics for
Patel (S.) - voir Shaw (D.)	C8-356	parametric receiving arrays C8-140
Pedersen (L.) voir Bjørnø (L.)	C8-71	Urabe (Y.), Otani (T.) and Komatsu (K.)
Pederson (T.B.) A parametric sonar performance calculator	C8-137	Experimental investigation on nonlinear reflection of short impulsive underwater sound at
Perrin (B.)		water surface C8-315
Quelques aspects de la compa- raison entre optique et acous-		Verona (E.) voir Alippi (A.) C8-249
tique non linéaires	C8-216	Vestrheim (M.) voir Muir (T.G.). C8-89
Perrin (B.) voir Zarembowitch (A.)	C8-168	Volluet (G.)  Effets magnétoélastiques non- linéaires dans une couche mince de grenat d'yttrium-fer C8-256
Etude expérimentale du champ des vitesses à l'embouchure		Voronin (V.A.) voir Timoshenko (V.I.)
d'un tuyau sonore excité à de fortes amplitudes	C8-346	Waxin (G.) voir Rouvaen (J.M.) C8-179
Peyraud (J.) voir Eldin (G.)	C8-333	Webster (D.A.), Alexander (D.E.)
Plaksin (S.I.) voir Kedrinskii (V.K.)	C8-293	and Blackstock (D.T.) Outdoor propagation of finite amplitude
Poirée (B.)		noise
Représentations Lagrangienne et Eulérienne de l'acoustique		Wegrzyn (J.) voir Shaw (D.) C8-356
non linéaire	C8-48	Werkheis er (A.H.) voir Karr (G.R.)
Pushkina (N.I.) voir Khokhlov (R.V.)	C8-239	Westervelt (P.J.) Nonlinear sound generation by
Ripoche (J.) voir Faure (A.)	C8-267	hadrons showers C8-95
Rouvaen(J.M.), Waxin (G.), Torquet (R.) et Bridoux (E.) Propriétés non linéaires élas-		Zabolotskaja (E.A.) voir Bakhvalov (N.S.) C8-56
tiques d'un verre flint dense	C8-179	Zarembowitch (A.), Perrin (B.) et Fischer (M.) Constantes élastiques des troi-
Rybak (S.A.) voir Naugolnikh (K.A.)	C8-44	sième et quatrième ordres C8-168
Shaw (D.), Wegrzyn (J.), Patel (S.)		Zhileikin (I.M.) voir Bakhvalov
and Cheng (MT.) The application of sonic agglo-		(N.S.)
meration for the control of	00 256	Zoltogorski (B.) voli byba (k.). co-23
particulate emission	C8-356	
Shih (C.C.) The diffusivity of nonlinear		
wave propagation in pipes	C8-53	
Shih (C.C.) voir Karr (G.R.)	C8-353	
Sladký (P.) Ultrasonic monitoring of local phase transitions during vinyl chloride polymerization	C8-319	
Socino (G.) voir Adamou (A.)	C8-262	
Socino (G.) voir Alippi (A.)	C8-249	
Szapiro (S.) voir Gross (M.)	C8-203	
Théobald (G.) et Gagnepain (J.J.)		
Couplages non linéaires thermo		
élastiques dans le résonateur à quartz	C8-199	

Commission paritaire Nº 26.741



RÉDACTION ET ADMINISTRATION : Z.I. de Courtabœuf. — B.P. 112 91402 ORSAY — Téléphone : 907.36.88

Prix de ce Numéro : France F. 50. —

Etranger F. 60. \_